

فصل چهارم

مقدمه‌ای بر روش‌های المان محدود

Finite Element Analysis (FEA)

۱-۴ مقدمه

هر پدیده‌ای در طبیعت را می‌توان به کمک قوانین فیزیکی بر حسب معادلات جبری، دیفرانسیلی یا انتگرالی توصیف کرد. تعیین توزیع تنش در خطوط لوله پرفشار با سوراخ‌ها و تقویت‌کننده‌های متعدد و تحت بارهای مکانیکی، حرارتی و یا آیرودینامیک، یافتن غلط آلاینده‌ها در آب دریاها یا در هوا و شبیه‌سازی شرایط آب و هوایی برای درک و پیش‌بینی مکانیک شکل‌گیری تندرهای مثال‌هایی از مسایل مهم مورد علاقهٔ محققان هستند. مهندسین و دانشمندان علوم پایه، برای مطالعهٔ پدیده‌های فیزیکی مد نظر خود سه کار اصلی باید انجام بدهند:

(۱) فرمول‌بندی ریاضیاتی فرآیند فیزیکی؛

(۲) حل عددی مدل ریاضی بند(۱)؛

(۳) طراحی و تدوین برنامه‌های رایانه‌ای برای اجرای تحلیل عددی و نمایش نتایج.

در حالیکه فرمول‌بندی ریاضیاتی فرآیند برای اکثر مسایل، کار چندان دشواری نیست حل معادلات حاکم با روش‌های تحلیلی کار سنگینی است. در اینگونه موارد روش‌های تقریبی حل، جایگزین مناسبی برای پیدا کردن جواب‌هایست. از جمله روش‌های عددی به کار رفته عبارتند از: روش تفاضل محدود، روش‌های حجم محدود یا روش‌های سنتی مانند ریلی ریتز و گالرکین و بالاخره روش المان محدود (*Finite Element Analysis: FEA*).

گرچه رگه‌ها و بعضی ویژگی‌های کلیدی FEA طی مقالاتی در آغاز دهه ۴۰ قرن بیستم معرفی شدند معرفی رسمی این روش را به سال‌های ۱۹۵۶ تا ۱۹۶۰ نسبت می‌دهند. اصطلاح «المان محدود» اولین بار در ۱۹۶۰ بکار برده شده است. طی سال‌های گذشته، این رشته از مباحث رشد تصاعدي داشته‌اند؛ بطوریکه در حال حاضر بیش از سه دو جین کتاب درسی و تعداد بسیار زیادی نشریات تخصصی در این زمینه وجود دارند.

مثال ۱. تقریب محیط یک دایره

حل: بر اساس شکل ۱-۴؛ مراحل تحلیل عبارتند از:

(۱) گسترش‌سازی المان محدود: تقسیم محیط دایره به تعداد محدودی (n) از زیر دامنه‌ها (یعنی پاره خطوط)

(۲) نوشتن معادلات المان: برای یک المان نمونه شماره^(e)

$$l^{(e)} = \gamma R \sin \frac{\theta^{(e)}}{n} \quad (1-4)$$

(۳) مونتاژ معادلات المان و حل:

$$P_n = \sum_{e=1}^n l^{(e)} \quad (2-4)$$

$$\text{برای مش یکنواخت } \theta^{(e)} = \frac{\pi}{n}$$

$$P_n = n \left(2R \sin \frac{\pi}{n} \right) \quad (3-4)$$

۴) تخمین همگرایی و خطای هر المان عبارت است از:

$$E^{(e)} = |S^{(e)} - l^{(e)}| \quad (4-4)$$

در حالت مش یکنواخت که $S^{(e)} = R\theta^{(e)}$ و $l^{(e)} = 2R \sin \frac{\pi}{n}$ خطای هر المان برابر است با:

$$E^{(e)} = R \left(\frac{\pi}{n} - 2 \sin \frac{\pi}{n} \right) \quad (5-4)$$

بنابراین خطای کل عبارت است از:

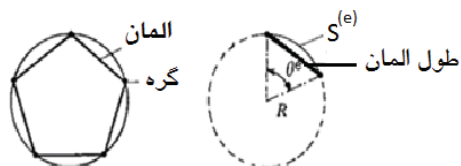
$$E = nE^{(e)} = 2R(\pi - nsin\frac{\pi}{n}) \quad (6-4)$$

و اگر $n \rightarrow \infty$ آنگاه $E \rightarrow 0$

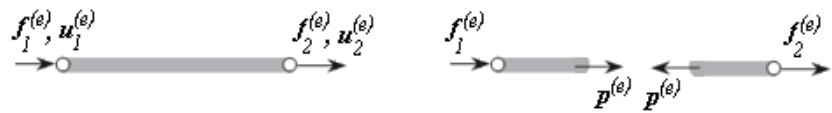
$$P_n = 2Rnsin\frac{\pi}{n} = \frac{2Rsinn\pi x}{x} \quad \text{اگر } x = 1/n \text{ فرض شود آنگاه:}$$

$$\lim_{n \rightarrow \infty} P_n = \lim_{x \rightarrow 0} 2R \frac{\sin \pi x}{x} = 2\pi R \quad (7-4)$$

که همان حل دقیق محیط دایره است و به این صورت اثبات همگرایی کامل می شود.



شکل ۴-۱ تقریب دایره با المان‌های خطی



شکل ۴-۲ میله نمونه به شماره (۶) و نیروهای فرضی دو انتهای داخل آن

۴-۲ رویکرد مستقیم برای سیستم‌های گسسته

خرپاها می‌توانند نمونه خوبی از سیستم‌های گسسته باشند. معمولاً فرض می‌شود میله‌های تشکیل‌دهنده خرپاها آنقدر نازکند که مقاومت به پیچش، خمش و برش آنها ناچیز است و در نتیجه نیروهای خمشی، برشی و پیچشی وجود ندارند. برای یک میله نمونه (شکل ۴-۲) داریم:

معادله تعابیر میله:

$$f_{\gamma}^{(e)} + f_{\lambda}^{(e)} = \cdot \quad (8-4)$$

معادله بنیادین تنش-کرنش (ماده هوکی):

$$\sigma^{(e)} = E^{(e)} \varepsilon^{(e)} \quad (9-4)$$

تنش محوری:

$$\sigma^{(e)} = \frac{P^{(e)}}{A^{(e)}} \quad (10-4)$$

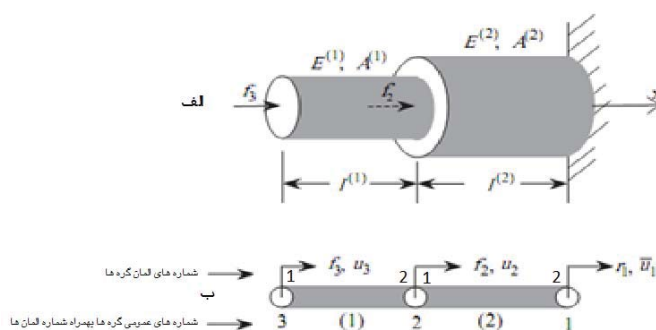
کرنش محوری: $\delta^{(e)}$ [تغییر طول میله است]

$$\varepsilon^{(e)} = \frac{\delta^{(e)}}{l^{(e)}} \quad (11-4)$$

نیروی محوری و تنش، در صورت کششی بودن مثبت و در صورت فشاربودن، منفی فرض خواهند شد. نیروی داخلی $P^{(e)}$ هم در کشش مثبت و در فشار منفی است. یعنی وقتی به سمت خارج سطحی باشد که روی آن اثر می‌کند، مثبت است. نیروهای داخلی گریه مثبتاند اگر در جهت مثبت محور x باشند. ماتریس سفتی المان ($K^{(e)}$) بصورت زیر بدست می‌آید:

$$f_{\gamma}^{(e)} = p^{(e)} = A^{(e)} \sigma^{(e)} = A^{(e)} E^{(e)} \varepsilon^{(e)} \quad (12-4)$$

$$= A^{(e)} E^{(e)} \frac{\delta^{(e)}}{l^{(e)}} = \frac{A^{(e)} E^{(e)}}{l^{(e)}} (u_{\gamma}^{(e)} - u_{\lambda}^{(e)}) = k^{(e)} (u_{\gamma}^{(e)} - u_{\lambda}^{(e)})$$



شکل ۴-۳ یک سازه دو میله‌ای نمونه (الف) و مشبندی انتخابی برای آن (ب)

از معادله تعادل میله داریم:

$$f_{\gamma}^{(e)} = -f_{\gamma}^{(e)} = k^{(e)}(u_{\gamma}^{(e)} - u_{\gamma}^{(e)}) \quad (13-4)$$

بنابراین به صورت ماتریسی می‌توان نوشت:

$$\begin{bmatrix} f_{\gamma}^{(e)} \\ f_{\gamma}^{(e)} \end{bmatrix} = k^{(e)} \begin{bmatrix} 1 & -1 \\ -1 & 1 \end{bmatrix} \begin{bmatrix} u_{\gamma}^{(e)} \\ u_{\gamma}^{(e)} \end{bmatrix} \quad (14-4)$$

و یا

$$F^{(e)} = K^{(e)} d^{(e)} \quad (15-4)$$

در رابطه (15-4)، $K^{(e)}$ ، ماتریس سفتی المان (e) ، $d^{(e)}$ بردار درجات آزادی المان و $F^{(e)}$ بردار بار المان نامیده می‌شوند.

برای سازه‌ای به شکل ۴-۳، با توجه به تفاوت سطح مقطع و بارگذاری نشان داده شده، از دو المان به معادلات شبیه بالا استفاده می‌شود. معادلات تعادل برای سه گره (شکل ۴-۴) عبارتند از:

$$\begin{bmatrix} \dot{f}_{\gamma}^{(1)} \\ f_{\gamma}^{(1)} \\ \dot{f}_{\gamma}^{(1)} \end{bmatrix} + \begin{bmatrix} \dot{f}_{\gamma}^{(2)} \\ f_{\gamma}^{(2)} \\ \cdot \end{bmatrix} = \begin{bmatrix} \dot{r}_{\gamma} \\ f_{\gamma} \\ \cdot \end{bmatrix} = \begin{bmatrix} \dot{f}_{\gamma} \\ f_{\gamma} \\ \cdot \end{bmatrix} + \begin{bmatrix} \dot{r}_{\gamma} \\ r_{\gamma} \\ \cdot \end{bmatrix} \quad (16-4)$$

و یا

$$\tilde{F}^{(1)} + \tilde{F}^{(2)} = \sum_{e=1}^z \tilde{F}^{(e)} = F \quad (17-4)$$

از طرفی معادلات المان‌ها از بخش قبل بر حسب شماره‌های عمومی عبارتند از:

$$\begin{bmatrix} f_{\gamma}^{(1)} \\ f_{\gamma}^{(1)} \end{bmatrix} = k^{(1)} \begin{bmatrix} 1 & -1 \\ -1 & 1 \end{bmatrix} \begin{bmatrix} u_{\gamma} \\ u_{\gamma} \end{bmatrix} \quad (18-4)$$

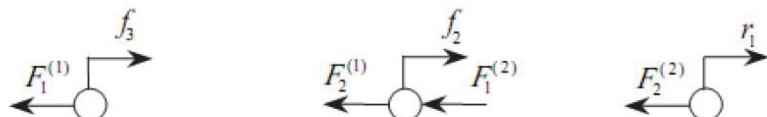
$$\begin{bmatrix} f_{\gamma}^{(2)} \\ f_{\gamma}^{(2)} \end{bmatrix} = k^{(2)} \begin{bmatrix} 1 & -1 \\ -1 & 1 \end{bmatrix} \begin{bmatrix} u_{\gamma} \\ u_{\gamma} \end{bmatrix}$$

با بازنویسی معادلات بالا به صورت عمومی (global) داریم:

$$\begin{bmatrix} \dot{f}_{\gamma}^{(1)} \\ f_{\gamma}^{(1)} \\ \dot{f}_{\gamma}^{(1)} \end{bmatrix} = \begin{bmatrix} \cdot & \dot{k}^{(1)} & -k^{(1)} \\ \cdot & -k^{(1)} & k^{(1)} \end{bmatrix} \begin{bmatrix} u_{\gamma} \\ u_{\gamma} \\ u_{\gamma} \end{bmatrix} \rightarrow \tilde{F}^{(1)} = \tilde{K}^{(1)} d \quad (19-4)$$

و

$$\begin{bmatrix} \dot{f}_{\gamma}^{(2)} \\ f_{\gamma}^{(2)} \\ \cdot \end{bmatrix} = \begin{bmatrix} k^{(2)} & -k^{(2)} & \cdot \\ -k^{(2)} & k^{(2)} & \cdot \\ \cdot & \cdot & \cdot \end{bmatrix} \begin{bmatrix} u_{\gamma} \\ u_{\gamma} \\ u_{\gamma} \end{bmatrix} \rightarrow \tilde{F}^{(2)} = \tilde{K}^{(2)} d \quad (20-4)$$



شکل ۴-۴ نمودار تعادل گره‌ها

از جمع این روابط خواهیم داشت:

$$\begin{bmatrix} \cdot & \cdot & \cdot \\ \cdot & k^{(1)} & -k^{(1)} \\ \cdot & -k^{(1)} & k^{(1)} \end{bmatrix} \begin{bmatrix} u_1 \\ u_{\gamma} \\ u_{\tau} \end{bmatrix} + \begin{bmatrix} k^{(\gamma)} & -k^{(\gamma)} & \cdot \\ -k^{(\gamma)} & k^{(\gamma)} & \cdot \\ \cdot & \cdot & \cdot \end{bmatrix} \begin{bmatrix} u_1 \\ u_{\gamma} \\ u_{\tau} \end{bmatrix} = \begin{bmatrix} \cdot \\ f_{\gamma} \\ f_{\tau} \end{bmatrix} + \begin{bmatrix} r_1 \\ \cdot \\ \cdot \end{bmatrix} \quad (21-4)$$

$$(\tilde{K}^{(1)} + \tilde{K}^{(\gamma)})d = f + r \quad \text{و یا}$$

$$Kd = f + r \quad (22-4)$$

در این حالت $K = \sum_{e=1}^n \tilde{K}^{(e)}$ به ماتریس سفتی سیستم و d به بردار درجات آزادی سیستم معروف هستند. برای مونتاژ ماتریس‌های سفتی المان‌ها به صورت دستی، یک روش مستقیم، نوشتن شماره عمومی گره‌ها در محل سطراها و ستون‌های مربوطه از ماتریس سفتی المان‌ها و سپس تعیین مولفه‌های ماتریس سفتی سیستم از روی این شماره‌ها می‌باشد. یعنی:

$$[K]^{(1)} = \begin{bmatrix} k^{(1)} & -k^{(1)} \\ -k^{(1)} & k^{(1)} \\ \cdot & \cdot \end{bmatrix} \begin{bmatrix} 1 \\ 2 \\ 2 \end{bmatrix}, \quad [K]^{(\gamma)} = \begin{bmatrix} k^{(\gamma)} & -k^{(\gamma)} \\ -k^{(\gamma)} & k^{(\gamma)} \\ \cdot & \cdot \end{bmatrix} \begin{bmatrix} 1 \\ 1 \\ 1 \end{bmatrix}$$

$$K_{11} = k^{(1)}, \quad K_{12} = -k^{(1)}, \quad K_{21} = -k^{(1)}, \quad K_{22} = k^{(1)} + k^{(1)} \quad (23-4)$$

$$K_{23} = -k^{(1)}, \quad K_{32} = -k^{(1)}, \quad K_{33} = k^{(1)}$$

مولفه‌هایی که مقدار نظیرشان در ماتریس‌های سفتی المان‌ها نیست، صفر فرض می‌شوند؛ مانند $K_{13} = K_{31} = 0$.

۴-۳ معادلاتی برای مونتاژ ماتریس‌های سفتی و بار

روش زیر رویه مونتاژ ماتریس سفتی المان را بصورت یک رابطه ارائه می‌کند. این رویه معادل مونتاژ مستقیم بخش قبل است.

$$\begin{aligned} d^{(1)} &= \begin{bmatrix} u_1^{(1)} \\ u_{\gamma}^{(1)} \\ u_{\tau}^{(1)} \end{bmatrix} = \begin{bmatrix} u_1 \\ u_{\gamma} \\ u_{\tau} \end{bmatrix} = \begin{bmatrix} \cdot & \cdot & \cdot \\ \cdot & \cdot & \cdot \\ \cdot & \cdot & \cdot \end{bmatrix} \begin{bmatrix} u_1 \\ u_{\gamma} \\ u_{\tau} \end{bmatrix} = L^{(1)}d \\ &\rightarrow d^{(e)} = L^{(e)}d \quad (24-4) \\ d^{(\gamma)} &= \begin{bmatrix} u_1^{(\gamma)} \\ u_{\gamma}^{(\gamma)} \\ u_{\tau}^{(\gamma)} \end{bmatrix} = \begin{bmatrix} u_1 \\ u_{\gamma} \\ u_{\tau} \end{bmatrix} = \begin{bmatrix} \cdot & \cdot & \cdot \\ 1 & \cdot & \cdot \\ \cdot & \cdot & \cdot \end{bmatrix} \begin{bmatrix} u_1 \\ u_{\gamma} \\ u_{\tau} \end{bmatrix} = L^{(\gamma)}d \end{aligned}$$

ماتریس‌های بولی (Boolean) هستند که از صفر و یک‌ها تشکیل می‌شوند.

$$\text{چون از رابطه (۱۵-۴) لذا } K^{(e)}d^{(e)} = F^{(e)} \quad (۲۵-۴)$$

$$K^{(e)}L^{(e)}d = F^{(e)} \quad (۲۵-۴)$$

همچنین داریم:

$$\begin{bmatrix} \dot{f}_\gamma^{(\gamma)} \\ f_\gamma^{(\gamma)} \end{bmatrix} = \begin{bmatrix} \cdot & \cdot \\ \backslash & \cdot \end{bmatrix} \begin{bmatrix} f_\gamma^{(\gamma)} \\ f_\gamma^{(\gamma)} \end{bmatrix} = L^{(\gamma)T}F^{(\gamma)} \rightarrow F^{(e)} = L^{(e)+}F^{(e)} \quad (۲۶-۴)$$

$$\begin{bmatrix} \dot{f}_\gamma^{(\gamma)} \\ f_\gamma^{(\gamma)} \end{bmatrix} = \begin{bmatrix} \cdot & \cdot \\ \backslash & \cdot \end{bmatrix} \begin{bmatrix} f_\gamma^{(\gamma)} \\ f_\gamma^{(\gamma)} \end{bmatrix} = L^{(\gamma)T}F^{(\gamma)}$$

و با جایگذاری $F^{(e)}$ از رابطه (۲۶-۴) در (۱۷-۴) خواهیم داشت:

$$F = \sum_{e=1}^{\gamma} F^{(e)} \sum_{e=1}^{\gamma} L^{(e)T}F^{(e)} = f + r \quad (۴-۲۷)$$

با جایگذاری $F^{(e)}$ از رابطه (۱۵-۴) و $d^{(e)}$ از رابطه (۲۴-۴) در رابطه (۲۷-۴) داریم:

$$\sum_{e=1}^{\gamma} (L^{(e)T}K^{(e)}L^{(e)})d = f + r \quad (۴-۲۸)$$

که معادل $Kd = f + r$ است و در آن $K = \sum_{e=1}^{\gamma} L^{(e)T}K^{(e)}L^{(e)}$ ماتریس سفتی سیستم می‌باشد. این رابطه نشان می‌دهد با معلوم بودن ماتریسهای المانی $K^{(e)}L^{(e)}$ می‌توان ماتریس منفی سیستم را بصورت رایانه‌ای محاسبه کرد.

۴-۴ اعمال شرایط مرزی و حل سیستم معادلات

روش اول: اگر $\frac{\epsilon}{k^{(\gamma)}}u_1 = \bar{u}$ و $f_\gamma = -\epsilon$ باشند به روش تجزیه ماتریس سفتی سیستم داریم:

$$\begin{bmatrix} k^{(\gamma)} & -k^{(\gamma)} & \cdot \\ -k^{(\gamma)} & k^{(\gamma)} + k^{(\gamma)} & -k^{(\gamma)} \\ \cdot & -k^{(\gamma)} & k^{(\gamma)} \end{bmatrix} \begin{bmatrix} \bar{u} \\ u_\gamma \\ u_\gamma \end{bmatrix} = \begin{bmatrix} r_\gamma \\ -\epsilon \\ 0 \end{bmatrix} \quad (۲۹-۴)$$

و یا

$$\begin{bmatrix} K_E & K_{EF} \\ K_{EF}^T & K_F \end{bmatrix} \begin{bmatrix} \bar{d}_E \\ d_F \end{bmatrix} = \begin{bmatrix} r_E \\ f_F \end{bmatrix} \quad (۳۰-۴)$$

اندیس E نشان دهنده کمیتی مربوط به گره نظیر شرط لازم یا $\bar{u} = u$ است که نیرو در آن مجهول و u معلوم است. اندیس F اول کلمه آزاد (Free) نشان دهنده کمیتی مربوط به گره آزاد یعنی بدون تکیه گاه است که u آن مجهول و f در آن معلوم است. مجهولات سیستم معادلات بالا d_F و r_E هستند.

حل معادله دوم:

$$K_{EF}^T \bar{d}_E + K_F d_F = f_F \rightarrow d_F = K_F^{-1} (f_F - K_{EF}^T \bar{d}_E) \quad (۳۱-۴)$$

مقادیر u_1 و u_2 یعنی d_F معلوم می‌شوند. با تعیین d_F می‌توان از معادله اول r_E را هم محاسبه نمود:

$$r_E = K_E \bar{d}_E + K_{EF} d_F \quad (32-4)$$

برای شرایط مرزی بالا، $u_1 = r_1 = -\gamma$ ، $u_2 = r_2 = 1 \cdot \left(\frac{1}{k^{(1)}} + \frac{1}{k^{(2)}}\right)$ بدست می‌آید.

روش دوم: سطر و ستون ماتریس سفتی سیستم نظری شرایط مرزی لازم را به صفر و یک تغییر داده و ماتریس بار، متناسب با این تغییر بصورت زیر اصلاح می‌گردد:

$$\begin{bmatrix} 1 & \cdot & \cdot \\ \cdot & k^{(1)} + k^{(2)} & -k^{(1)} \\ \cdot & -k^{(1)} & k^{(1)} \end{bmatrix} \begin{bmatrix} \bar{u} \\ u_1 \\ u_2 \end{bmatrix} = \begin{bmatrix} \bar{u} \\ -\gamma - (-k^{(2)}) \times \bar{u} \\ 1 - (\cdot) \times \bar{u} \end{bmatrix}$$

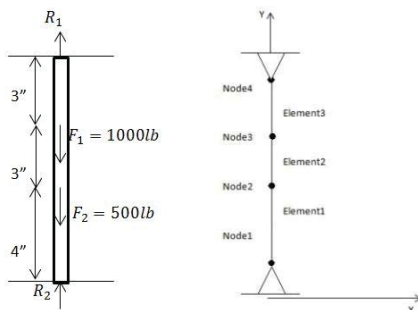
$$\rightarrow u_2 = \frac{1}{k^{(2)}}, u_2 = 1 \cdot \left(\frac{1}{k^{(1)}} + \frac{1}{k^{(2)}}\right) \quad (33-4)$$

$$r_1 = [k^{(2)} \quad -k^{(2)} \quad \cdot] \begin{bmatrix} \bar{u} \\ u_1 \\ u_2 \end{bmatrix} = -\gamma$$

روش سوم: مولفه سطر و ستون نظری شرایط مرزی لازم با یک عدد بسیار بزرگ مثل β جایگزین می‌شود. مثلا در کامپیوترهای هشت بیتی $\beta = 10^7$ فرض می‌شود. ماتریس بار نیز متناسب با این تغییر اصلاح می‌گردد.

$$\begin{bmatrix} \beta & -k^{(2)} & \cdot \\ -k^{(2)} & k^{(1)} + k^{(2)} & -k^{(1)} \\ \cdot & -k^{(1)} & k^{(1)} \end{bmatrix} \begin{bmatrix} \bar{u} \\ u_1 \\ u_2 \end{bmatrix} = \begin{bmatrix} \beta \bar{u} \\ -\gamma \\ 1 \end{bmatrix}$$

مثال ۲. جابجایی‌های گرهی و نیروهای عکس‌العمل تکیه‌گاهی را برای سازه‌ای متشکل از شکل ۴-۵ تعیین کنید.



شکل ۴-۵ سازه مثال ۲. (الف) میله و بارگذاری روی آن (ب) مدل المان محدود معادل مسئله

همچنین با استفاده از نرم افزار انسپیس و برنامه نویسی *APDL* مسئله را حا نمایید. گره‌ها در نقاط اعمال نیرو انتخاب می‌شوند. چون نیازی به تعیین تنش‌ها نیست سطح مقطع میله واحد در نظر گرفته می‌شود.

$$E=2 \cdot 10^7 \text{ psi}$$

حل:

ماتریس‌های سفتی المانی عبارتند از:

$$[K]^{(1)} = \frac{E}{\sqrt{6}} \begin{bmatrix} 1 & -1 \\ -1 & 1 \end{bmatrix} = \frac{20 \times 10^7}{\sqrt{6}} \begin{bmatrix} 1 & -1 \\ -1 & 1 \end{bmatrix} = 10 \times 10^7 \begin{bmatrix} 1 & -1 \\ -1 & 1 \end{bmatrix}_1$$

$$[K]^{(2)} = \frac{E}{\sqrt{6}} \begin{bmatrix} 1 & -1 \\ -1 & 1 \end{bmatrix} = \frac{20 \times 10^7}{\sqrt{6}} \begin{bmatrix} 1 & -1 \\ -1 & 1 \end{bmatrix} = 10 \times 10^7 \begin{bmatrix} 1 & -1 \\ -1 & 1 \end{bmatrix}_2$$

$$[K]^{(3)} = \frac{E}{\sqrt{6}} \begin{bmatrix} 1 & -1 \\ -1 & 1 \end{bmatrix} = \frac{20 \times 10^7}{\sqrt{6}} \begin{bmatrix} 1 & -1 \\ -1 & 1 \end{bmatrix} = 10 \times 10^7 \begin{bmatrix} 1 & -1 \\ -1 & 1 \end{bmatrix}_3$$

ماتریس‌های سفتی سیستم عبارت است:

$$[K] = 10 \begin{bmatrix} 7.0 & -7.0 & . & . \\ -7.0 & 17.0 & -10 & . \\ . & -10 & 20 & -10 \\ . & . & -10 & 10 \end{bmatrix}$$

بنابراین معادلات چری سیستم عبارتند از:

$$10 \begin{bmatrix} 7.0 & -7.0 & . & . \\ -7.0 & 17.0 & -10 & . \\ . & -10 & 20 & -10 \\ . & . & -10 & 10 \end{bmatrix} \begin{bmatrix} u_1 \\ u_2 \\ u_3 \\ u_4 \end{bmatrix} = \begin{bmatrix} R_1 \\ R_2 \\ R_3 \\ R_4 \end{bmatrix}$$

شرایط مرزی در این مسئله بصورت $u_1 = u_2 = 0$ و $R_3 = -1000$ و $R_4 = -500$ هستند. از روش تجزیه ماتریسی داریم:

$$[K_E] = 10 \begin{bmatrix} 7.0 & . \\ . & 10 \end{bmatrix}, [K_F] = 10 \begin{bmatrix} 17.0 & -10 \\ -10 & 20 \end{bmatrix}, [K_{EF}] = 10 \begin{bmatrix} -7.0 & . \\ . & -10 \end{bmatrix},$$

$$[d_E] = \begin{bmatrix} . \\ . \end{bmatrix}, [d_F] = \begin{bmatrix} u_2 \\ u_3 \end{bmatrix}, [f_F] = \begin{bmatrix} -500 \\ -1000 \end{bmatrix}, [r_E] = \begin{bmatrix} R_1 \\ R_2 \end{bmatrix}$$

بنابراین می توان به روش تجزیه ماتریسی $[d_F]$ و $[r_E]$ را تعیین نمود:

$$d_F = k_F^{-1} (f_F - k_E T_F d_E) \Rightarrow [d_F] = \begin{bmatrix} -8 \times 10^{-5} \\ -9 \times 10^{-5} \end{bmatrix}$$

$$r_E = k_E d_E + k_E d_F \Rightarrow [r_E] = \begin{bmatrix} 1.0 \\ -1.0 \end{bmatrix}$$

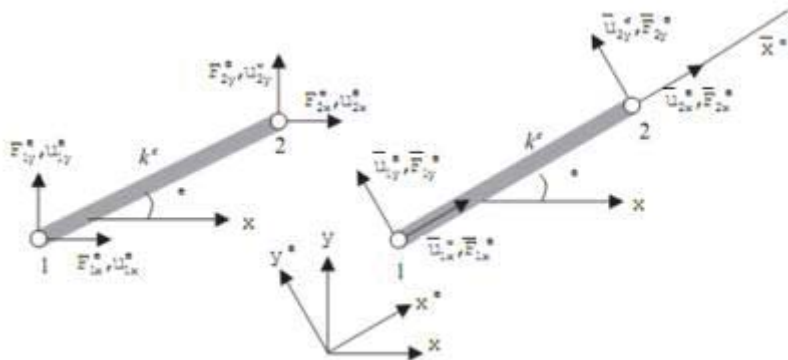
برنامه APDL معادل این مساله عبارت است از:

```
/PREPV
ANTYPE, STATIC
ET,1,LINK1
R,1,1
MP,EX,1,1E4
N,1
N,2,2
N,3,3
N,4,4
E,1,2
E,2,3
E,3,4
D,1,ALL,,4,4
F,1,FY,-500
F,2,FY,-1000
FINISH
/SOLU
SOLVE
FINISH
/POST1
PRNSOL,U,Y
PRRSOL,F,Y
FINISH
```

نتایج این تحلیل عبارتند از:

جدول ۴-۱ جابجایی ها و عکس العمل های تکیه گاهی گروه های مثلث ۲-۴

گروه	۱	۲	۳	۴
جابجایی	۰	-8×10^{-5}	-9×10^{-5}	۰
عکس العمل تکیه گاهی	800 lb	۰		900 lb



شکل ۴-۶ المان میله زاویه دار نسبت به محورهای مختصات

۴-۵ خرپا و قاب دوبعدی

مانند حالت قبل معادلات جبری المان عبارتند از(شکل ۴-۶):

$$k^{(e)} \begin{bmatrix} 1 & -1 \\ -1 & 1 \end{bmatrix} \begin{bmatrix} \bar{u}_{1x}^{(e)} \\ \bar{u}_{1y}^{(e)} \end{bmatrix} = \begin{bmatrix} \bar{F}_{1x}^{(e)} \\ \bar{F}_{1y}^{(e)} \end{bmatrix} \quad (35-4)$$

$$\bar{F}_{1y}^{(e)} = \bar{F}_{1y}^{(e)} = .$$

نیروهای گرهی در المان در تئوری جابجایی کوچک، مستقل از جابجایی‌های نرمال ($\bar{u}_{1y}^{(e)}$, $\bar{u}_{1y}^{(e)}$) هستند. علت این است که کشیدگی (elongation)تابع درجه دومی از جابجایی‌های گرهی عمود بر میله است. اگر جابجایی‌ها کوچک فرض شوند، تاثیر مولفه‌های نرمال بر میله بر تنش و کرش قابل صرفنظر کردن خواهد بود. بنابراین:

$$\begin{bmatrix} \bar{F}_{1x}^{(e)} \\ \bar{F}_{1y}^{(e)} \\ \bar{F}_{1x}^{(e)} \\ \bar{F}_{1y}^{(e)} \end{bmatrix} = k^{(e)} \begin{bmatrix} 1 & . & -1 & . \\ . & 1 & . & . \\ -1 & . & 1 & . \\ . & . & . & . \end{bmatrix} \begin{bmatrix} \bar{u}_{1x}^{(e)} \\ \bar{u}_{1y}^{(e)} \\ \bar{u}_{1x}^{(e)} \\ \bar{u}_{1y}^{(e)} \end{bmatrix} \quad (36-4)$$

ویا

$$(37-4)$$

$$\bar{F}^{(e)} = \bar{K}^{(e)} \bar{d}^{(e)}$$

از طرف دیگر در گره (۱) داریم:

$$\begin{aligned} \bar{u}_{1x}^{(e)} &= u_{1x}^{(e)} \cos\varphi^{(e)} + u_{1y}^{(e)} \sin\varphi^{(e)} \\ \bar{u}_{1y}^{(e)} &= -u_{1x}^{(e)} \sin\varphi^{(e)} + u_{1y}^{(e)} \cos\varphi^{(e)} \end{aligned} \quad (38-4)$$

روابط (۳۸-۴) برای گره (۲) نیز صادقند؛ بنابراین داریم:

$$\begin{bmatrix} \bar{u}_{\text{xx}}^{(e)} \\ \bar{u}_{\text{yy}}^{(e)} \\ \bar{u}_{\text{xy}}^{(e)} \\ \bar{u}_{\text{yx}}^{(e)} \end{bmatrix} = \begin{bmatrix} \cos\varphi^{(e)} & \sin\varphi^{(e)} & \cdot & \cdot \\ -\sin\varphi^{(e)} & \cos\varphi^{(e)} & \cos\varphi^{(e)} & \sin\varphi^{(e)} \\ \cdot & \cdot & -\sin\varphi^{(e)} & \cos\varphi^{(e)} \end{bmatrix} \begin{bmatrix} u_{\text{xx}}^{(e)} \\ u_{\text{yy}}^{(e)} \\ u_{\text{xy}}^{(e)} \\ u_{\text{yx}}^{(e)} \end{bmatrix} \quad (39-4)$$

و یا

$$\bar{d}^{(e)} = R^{(e)} d^{(e)} \quad (40-4)$$

چون ماتریس دوران متعامد است لذا $(R^{(e)})^T R^{(e)} = R^{(e)} (R^{(e)})^T = I$ و $R^{(e)^T} = R^{(e)}$ داریم:

$$R^{(e)T} \bar{d}^{(e)} = R^{(e)T} R^{(e)} d^{(e)} = d^{(e)} \quad \text{یا} \quad d^{(e)} = R^{(e)T} \bar{d}^{(e)} \quad (41-4)$$

و به همین ترتیب:

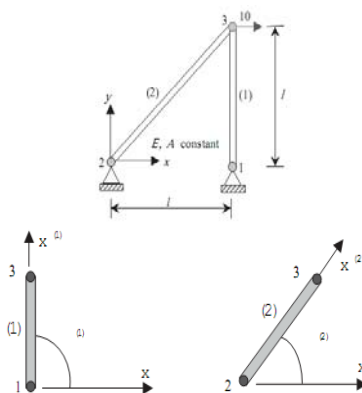
$$\bar{F}^{(e)} = R^{(e)} F^{(e)} \quad (42-4)$$

$$\begin{aligned} F^{(e)} &= R^{(e)T} \bar{F}^{(e)} = R^{(e)T} \bar{K}^{(e)} \bar{d}^{(e)} = R^{(e)T} \bar{K}^{(e)} R^{(e)} d^{(e)} = \bar{K}^{(e)} d^{(e)} \\ &= R^{(e)T} \bar{K}^{(e)} R^{(e)} d^{(e)} \\ &= K^{(e)} d^{(e)} \end{aligned} \quad (43-4)$$

بنابراین ماتریس سفتی دوران یافته المان $(\bar{K}^{(e)}) = R^{(e)T} \bar{K}^{(e)} R^{(e)}$ عبارت خواهد بود از:

$$[K]^{(e)} = k^{(e)} \begin{bmatrix} C^Y & CS & -C^Y & -CS \\ CS & S^Y & -CS & -S^Y \\ -C^Y & -CS & C^Y & CS \\ -CS & -S^Y & CS & S^Y \end{bmatrix} \quad (44-4)$$

که $S = \sin\varphi^{(e)}$ و $C = \cos\varphi^{(e)}$ بوده و ماتریس سفتی یک ماتریس متقابران است.



شکل ۷-۴ مثال تحلیل قاب دو بعدی

مثال ۳. قاب دو بعدی شکل ۴-۷ را با دوالمان تحلیل نمایید.

حل:

مرحله اول: تجزیه قاب به المانها، اختصاص شماره ها به هر میله، شماره های گرهی به هر اتصال و شروع با گره هایی که جابجایی آنها از پیش داده شده است.

مرحله دوم: فرمول بندی هر المان

$$\cos \varphi = 0, \sin \varphi = 1, d = l, k = \frac{AE}{l}, \varphi = 90^\circ \quad (1)$$

$$[K]^{(1)} = \frac{AE}{l} \begin{bmatrix} 1 & -1 & 0 \\ -1 & 1 & 0 \\ 0 & 0 & 2 \end{bmatrix} \begin{bmatrix} 1 \\ 2 \\ 3 \end{bmatrix}$$

$$\cos \varphi = \frac{1}{\sqrt{2}}, \sin \varphi = \frac{1}{\sqrt{2}}, d = \sqrt{2}l, \varphi = 45^\circ \quad (2)$$

$$k = \frac{AE}{l} = \frac{AE}{\sqrt{2}l}$$

$$[K]^{(2)} = \frac{AE}{l} \begin{bmatrix} 0.5 & 0.5 & -0.5 & -0.5 \\ -0.5 & -0.5 & 0.5 & 0.5 \\ -0.5 & -0.5 & 0.5 & 0.5 \\ 0.5 & 0.5 & -0.5 & -0.5 \end{bmatrix} \begin{bmatrix} 2 \\ 3 \end{bmatrix}$$

مرحله سوم: بررسی رفتار کلی

(3a) مونتاژ مستقیم

$$[K] = \frac{AE}{l} \begin{bmatrix} 1 & -1 & 0 & 0 & 0 & 0 \\ -1 & 1 & 0 & 0 & 0 & 0 \\ 0 & 0 & 2 & 0 & 0 & 0 \\ 0 & 0 & 0 & 2 & 0 & 0 \\ 0 & 0 & 0 & 0 & 2 & 0 \\ 0 & 0 & 0 & 0 & 0 & 2 \end{bmatrix} \begin{bmatrix} 1 \\ 2 \\ 3 \\ 4 \\ 5 \\ 6 \end{bmatrix}$$

$$[d] = \begin{bmatrix} 0 \\ 0 \\ u_{rx} \\ u_{ry} \end{bmatrix} \quad [f] = \begin{bmatrix} 0 \\ 0 \\ \vdots \\ 0 \end{bmatrix} \quad [r] = \begin{bmatrix} r_{rx} \\ r_{ry} \\ r_{rx} \\ r_{ry} \\ \vdots \end{bmatrix}$$

و

(3b) سیستم کلی از معادلات: $Kd = f + r$

(3c) سیستم کلی کاهش یافته از معادلات:

$$\begin{aligned} [\bar{d}_E] &= \begin{bmatrix} \bar{u}_{\gamma x} \\ \bar{u}_{\gamma y} \\ \bar{u}_{\gamma x} \\ \bar{u}_{\gamma y} \end{bmatrix} = \begin{bmatrix} \cdot \\ \cdot \\ \cdot \\ \cdot \end{bmatrix} & [d_F] &= \begin{bmatrix} u_{\gamma x} \\ u_{\gamma y} \end{bmatrix} & [f_F] &= \begin{bmatrix} \cdot \\ \cdot \end{bmatrix} \\ [K_F] &= \begin{bmatrix} \frac{\gamma}{\gamma\sqrt{\gamma}} & \frac{\gamma}{\gamma\sqrt{\gamma}} \\ \frac{\gamma}{\gamma\sqrt{\gamma}} & \frac{\gamma}{\gamma\sqrt{\gamma}} + 1 \end{bmatrix}, & [r_E] &= \begin{bmatrix} r_{\gamma x} \\ r_{\gamma y} \\ r_{\gamma x} \\ r_{\gamma y} \end{bmatrix}, & [K_{EF}] &= \begin{bmatrix} \cdot & \cdot \\ -\frac{\gamma}{\gamma\sqrt{\gamma}} & -\frac{\gamma}{\gamma\sqrt{\gamma}} \\ -\frac{\gamma}{\gamma\sqrt{\gamma}} & -\frac{\gamma}{\gamma\sqrt{\gamma}} \end{bmatrix}, \end{aligned}$$

از رابطه $d_F = K_F^{-1}(f_F - K_{EF}^T \bar{d}_E)$ داريم:

$$\frac{AE}{l} \begin{bmatrix} \frac{\gamma}{\gamma\sqrt{\gamma}} & \frac{\gamma}{\gamma\sqrt{\gamma}} \\ \frac{\gamma}{\gamma\sqrt{\gamma}} & \frac{\gamma}{\gamma\sqrt{\gamma}} + 1 \end{bmatrix} \begin{bmatrix} u_{\gamma x} \\ u_{\gamma y} \end{bmatrix} = \begin{bmatrix} \cdot \\ \cdot \end{bmatrix} \Rightarrow \begin{bmatrix} u_{\gamma x} \\ u_{\gamma y} \end{bmatrix} = \frac{l}{AE} \begin{bmatrix} 1 \cdot + 2 \cdot \sqrt{\gamma} \\ -1 \cdot \end{bmatrix}$$

همچنین براساس رابطه $r_E = K_E \bar{d}_E + K_{EF} d_F$ خواهيم داشت:

$$\begin{bmatrix} r_{\gamma x} \\ r_{\gamma y} \\ r_{\gamma x} \\ r_{\gamma y} \end{bmatrix} = \begin{bmatrix} \cdot & \cdot \\ -\frac{\gamma}{\gamma\sqrt{\gamma}} & -\frac{\gamma}{\gamma\sqrt{\gamma}} \\ -\frac{\gamma}{\gamma\sqrt{\gamma}} & -\frac{\gamma}{\gamma\sqrt{\gamma}} \end{bmatrix} \begin{bmatrix} 1 \cdot + 2 \cdot \sqrt{\gamma} \\ -1 \cdot \end{bmatrix} = \begin{bmatrix} \cdot \\ 1 \cdot \\ -1 \cdot \\ -1 \cdot \end{bmatrix}$$

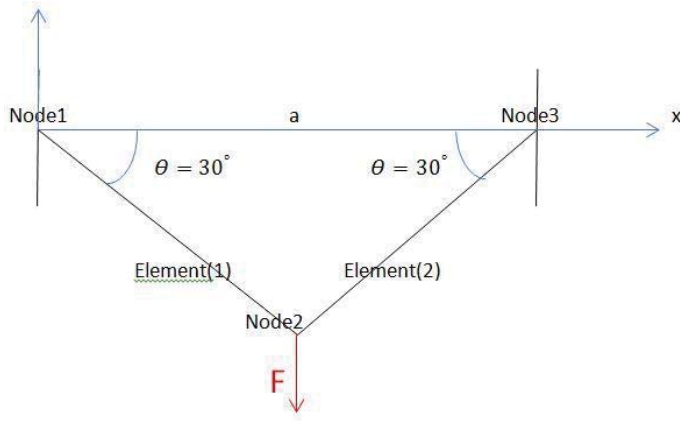
مرحله پسپردازش:

$$\begin{aligned} \sigma^e &= E^e \frac{\bar{u}_{\gamma x}^e - \bar{u}_{\gamma x}^e}{l^{(e)}} = \frac{E^{(e)}}{l^{(e)}} [-1 \quad \cdot \quad 1 \quad \cdot] \begin{bmatrix} \bar{u}_{\gamma x}^e \\ \bar{u}_{\gamma y}^e \\ \bar{u}_{\gamma x}^e \\ \bar{u}_{\gamma y}^e \end{bmatrix} = \frac{E^e}{l^e} [-1 \quad \cdot \quad 1 \quad \cdot] R^{(e)} d^{(e)} \\ &= \frac{E^e}{l^e} [-\cos\varphi^{(e)} \quad -\sin\varphi^{(e)} \quad \cos\varphi^{(e)} \quad \sin\varphi^{(e)}] d^e \end{aligned}$$

$$\begin{aligned} \varphi^{(\gamma)} &= 1 \cdot \square \quad (\cos\varphi^{(\gamma)}) = \cdot, & \text{برای المان ۱:} \\ d^{(\gamma)} &= [u_{\gamma x} \quad u_{\gamma y} \quad u_{\gamma x} \quad u_{\gamma y}]^T = [\cdot \quad \cdot \quad 1 \cdot + 2 \cdot \sqrt{\gamma} \quad -1 \cdot]^T \frac{l}{AE} \quad \sigma^{(\gamma)} = \frac{-1 \cdot}{A} \\ &\quad \sin\varphi^{(\gamma)} = 1 \end{aligned}$$

$$\begin{aligned} \varphi^{(\gamma)} &= \xi \circ \square \quad (\cos\varphi^{(\gamma)}) = \frac{\gamma}{\sqrt{\gamma}}, & \text{برای المان ۲:} \\ d^{(\gamma)} &= \begin{bmatrix} u_{\gamma x} \\ u_{\gamma y} \\ u_{\gamma x} \\ u_{\gamma y} \end{bmatrix} = \begin{bmatrix} \cdot \\ \cdot \\ \cdot \\ \cdot \end{bmatrix} \frac{l}{AE} \Rightarrow \sigma^{(\gamma)} = \frac{1 \cdot \sqrt{\gamma}}{A} \end{aligned}$$

مثال ۴. سازه‌ای مشکل از دو میله فولادی به طول‌های برابر 15 ft و سطح مقطع $A = 0.5\text{ in}^2$ طبق شکل ۴ تحت نیروی $F = 500\text{ lb}$ قرار گرفته است. تنش در میله‌ها و جابجایی نقطه‌را در محیط انسیس تعیین نمایید. از وزن میله‌ها بدلیل کوچک بودن در مقابل بار واردہ صرف نظر کنید.



شکل ۴

حل:

```

/PREPv
L=15*12
*AFUN,DEG
THETA=r.
a=r*L*COS(THETA)
B=L*SIN(THETA)
ET,1,LINK1
R,1..5
MP,EX,1,rEv
N,1
N,r,a/r,-b
N,r,a
E,1,r
E,r,r
D,1,ALL,,r,r
      ! or D,I , ALL      and      D, r, ALL
F,r,FY,-5...
FINISH
/SOLU
SOLVE
FINISH
/POST
PRNSOL,U,Y          ! PRINT ALL NODAL SOLUTION
PRRSOL               ! PRINT REACTION FORCES
ETABLE,AXFORCE,SMIS,
ETABLE,AXSTRESS,LS,
PRETAB,AXFORCE,AXSTRESS    → PLD,SP, r
FINISH

```

نتایج این تحلیل عبارتند از:

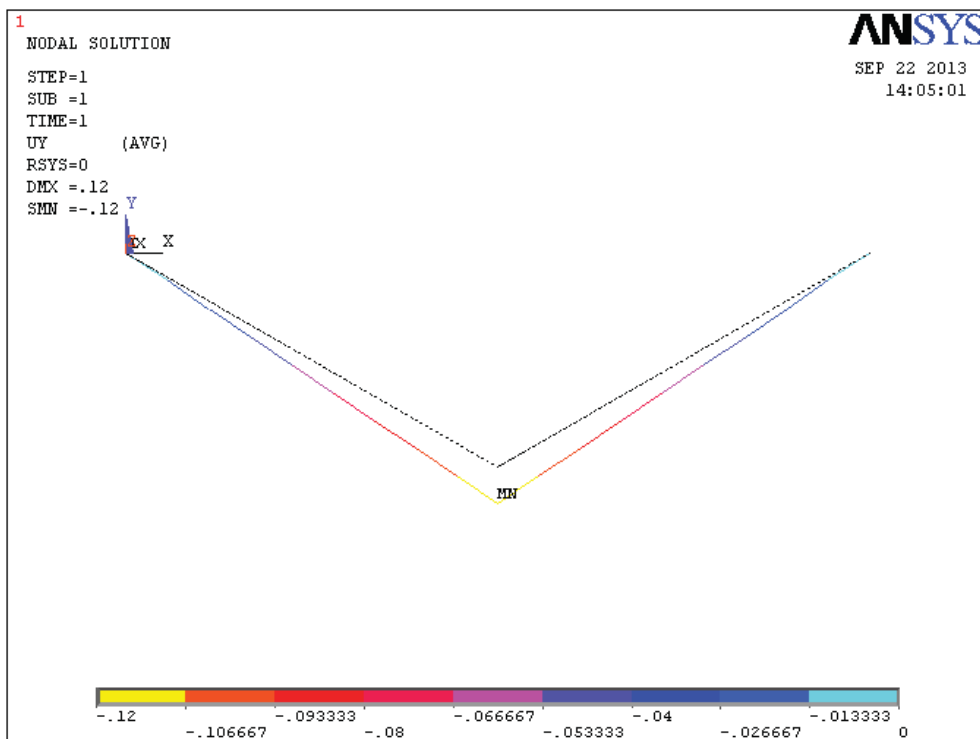
$$\sigma = \dots, \psi = \dots, UY_1 = \dots, UY_2 = -\dots, UY_3 = \dots$$

جدول ۴-۲. جابجایی های و عکس العمل های تکیه گاهی گره های مثال ۴

گره	<i>UY</i>	<i>RX</i>	<i>RY</i>
۱	.	-۴۳۳۰.۸ lb	۲۵۰۰
۲	-۰.۱۲ in	.	.
۳	.	+۴۳۳۰.۸ lb	۲۵۰۰

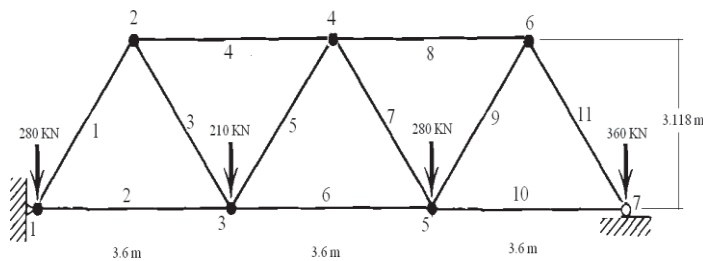
جدول ۴-۳. نیروها و تنش های المانی در میله های قاب مثال ۴

میله	<i>AXEORCE</i>	<i>AXSTRESS</i>
۱	۰... lb	۱.../... rs
۲	۰... lb	۱.../... ps



شکل ۴-۹. قاب اولیه(نقطه چین) و تغییر شکل یافته(خط توپر) آن

مثال ۵. خرپای دو بعدی شکل ۱۰-۴ را درنظر بگیرید. برای بارگذاری وارده و مواد داده شده جابجایی گره ها و مقدار تنش داخل میله ها و عکس العمل های تکیه گاهی را با استفاده از نرم افزار انسیس محاسبه نمائید.



شکل ۱۰-۴

حل:

$$A = 225 \text{ mm}^2, E = 200 \text{ GPa}, v = 0.3$$

/PREPV**ET,1,LINK1****R,1.25****MP,1, EX,4E5****N,1****N,2,18003118****N,3,3600****N,4,54003118****N,5,7200****N,6,90003118****N,7,7200****N,8,88003118****N,9,10800****E,1,2****E,1,3****E,2,3****E,2,4****E,3,4****E,3,5****E,4,5****E,4,6****E,5,6****E,6,7****E,7,8****D,1,ALL**

```

D,v,UY
F,,FY,-vE
F,,FY,-vE
F,,FY,-vE
F,,FY,-vE
FINISH
/SOLU
SOLVE
FINISH
/POST\

PLDISP,v
PRNSOL,U,S
PRRSOL,F
ETABLE,SAXL,LS,\

PRETAB,SAXL
FINISH

```

جدول ٤-٤

شماره میله	تنش (mpa)	شماره میله	تنش (mpa)
١	-٨٤,٩	٧	٨:٢a
٢	٤١,٤٤٧	٨	-٥٦,١٨٣
٣	٨٢,٤	٩	٦١,١٨٤
٤	-٨٢,٤	١٠	٤٥,٥al
٥	-٨,٢٩	١١	-al.١٨٤
٦	٨٤,٠٣٨		

نتایج این تحلیل عبارتند از:

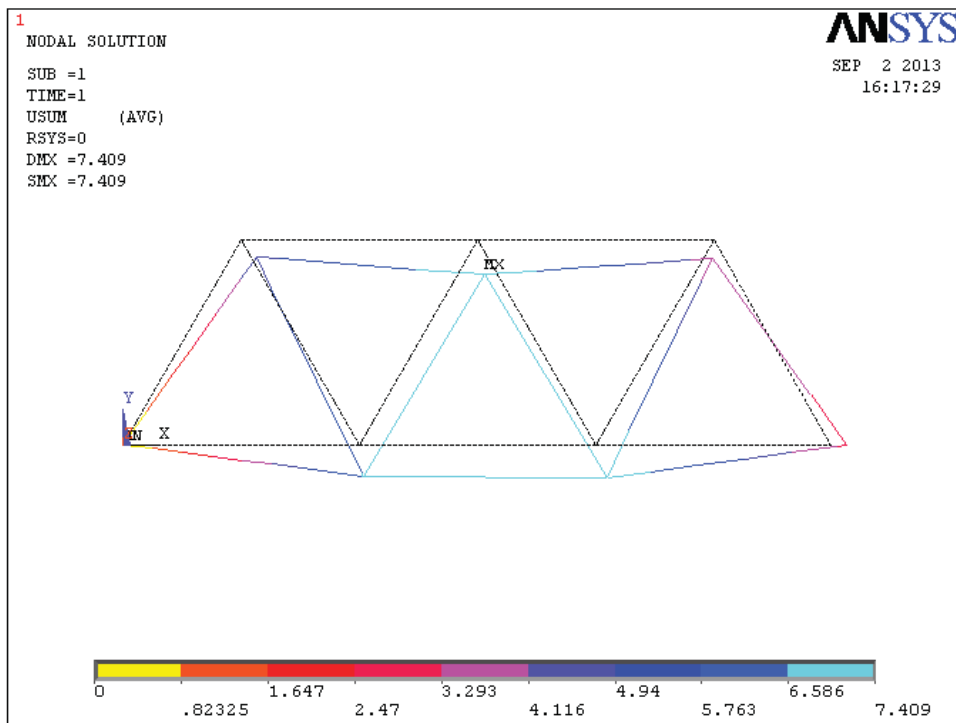
$$\begin{aligned}
 \sigma^{(1)} &= -82.9, \quad \sigma^{(2)} = 41.447, \quad \sigma^{(3)} = 82.9, \quad \sigma^{(4)} = -82.9 \\
 \sigma^{(5)} &= -8.29, \quad \sigma^{(6)} = 87.38, \quad \sigma^{(7)} = 8.29, \quad \sigma^{(8)} = -91.183 \\
 \sigma^{(9)} &= 91.189, \sigma^{(10)} = 45.091, \quad \sigma^{(11)} = -91.189 \\
 R_{x1} &= 0.7 \cdot 4 * 10^{-3}, R_{y1} = 0.513 * 10^{-3}, R_{xy} = 0.617 * 10^{-3}
 \end{aligned}$$

جدول ٥-٤

شماره کره	عكس العمل	Rx (N)	Ry(N)
١		٠,٧٠٤ × ١٠^-٤	٠,٥١٣ × ١٠^-٦
٧		٠	٠,٦١٧ × ١٠^-٦

جدول ٦-٤

گره	UY	RX	RY
١	٠	-٤٣٣,٨ lb	٢٥٠٠
٢	-٠,١٢ in	٠	٠
٣	٠	+٤٣٣,٨ lb	٢٥٠٠

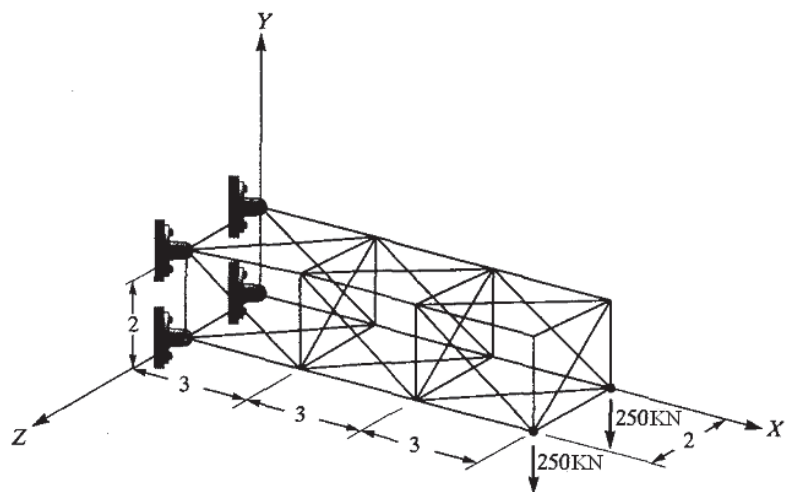


شکل ۱۱-۴ تغییر شکل یافته (خط توپر) و شکل اولیه (نقطه چینی) خرپای مثال ۵

با روشنی مشابه بخش ۵ برای استخراج روابط حاکم بر قاب دو بعدی می توان خرپاهای و قاب های سه بعدی را به روش اعمال محدود تحلیل نمود. در این قسمت با استفاده از این روابط به تحلیل چند مثال پرداخته می شود.

مثال ۶. خرپای سه بعدی شکل ۱۲-۴ را برای بارگذاری نشان داده شده تحلیل نمایید. برنامه APDL مربوطه را برای تحلیل در انسیس بنویسید.

$$E=200 \text{ Gpa}, \nu = 0.3$$



شکل ۱۲-۴ خرپای سه بعدی

جدول ۷-۴

AABAABAA	موقعیت عضو
۲۵۴۰	عضوهای عمود بر صفحات XY, XZ
۲۲۷۰	عضوهای عمود بر صفحه YZ
۴۱۲۰	سایر عضوها(عضوهای مورب)

حل:

```

/PREPV
ANTYPE,STATIC
ET,1,LINKA
R,1.2540.E-6
R,2.2270.E-6
R,2.24120.E-6
MP,EX,1.2E11
K,1
K,2,2 → K,2,,,2
K,2,2,2 → K,2,,2,2
K,4,,2 → K,2,2
K,5,,3 → K,5,3
K,2,2,3 → K,2,3,,2
K,2,2,2,3 → K,2,2,2,2
K,8,,2,3 → K,8,2,3,2
K,1,2,2,3 → K,1,2,2,2
K,1,1,2,3 → K,1,1,2,2

```

K_{10,2,6} → **k_{9,6}**
K_{11,2,2,6} → **k_{10,6,2,2}**
K_{12,2,2,6} → **k_{11,6,2,2}**
K_{13,,9} → **k_{12,6,2}**
K_{14,2,,9} → **k_{13,9}**
K_{15,2,2,9} → **k_{14,,9,,2}**
K_{16,,2,9} → **k_{15,9,2,2}**
L_{,1,2} → **k_{16,9,2}**
L_{,2,3}
L_{,3,4}
L_{,4,1}
L_{,5,6}
L_{,6,7}
L_{,7,8}
L_{,8,9}
L_{,9,10}
L_{,10,11}
L_{,11,12}
L_{,12,9}
L_{,13,14}
L_{,14,15}
L_{,15,16}
L_{,16,13}
L_{,1,5}
L_{,2,6}
L_{,3,7}
L_{,4,8}
L_{,5,9}
L_{,6,10}
L_{,7,11}
L_{,8,12}
L_{,9,13}
L_{,10,14}
L_{,11,15}
L_{,12,16}
L_{,2,5}
L_{,3,6}
L_{,3,8}
L_{,4,5}
L_{,6,9}
L_{,7,12}
L_{,8,9}

```

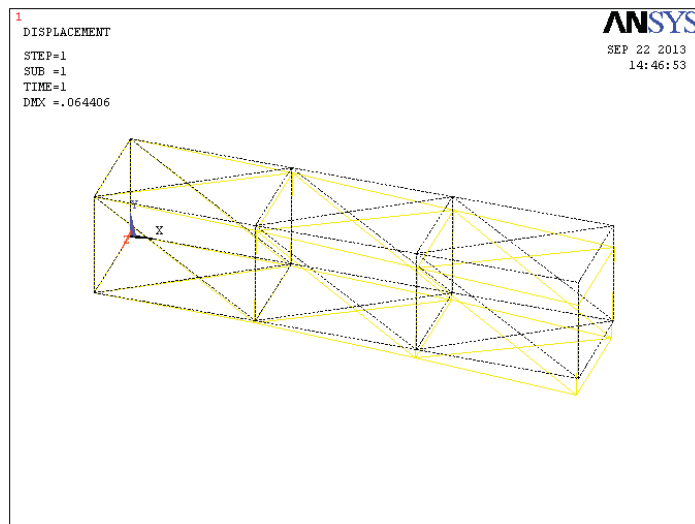
L,10,13
L,11,14
L,11,16
L,12,13
LESIZE,ALL,, 1
LSEL,S,LINE , ,2,16,2,0
LSEL,A,LINE , ,1,15,2,0
LMESH,ALL
LSEL,ALL
REAL,*
LSEL,S,LINE,,17,28,1,0
LMESH,ALL
REAL,*
LSEL,S,LINE,17,28,1,0
LSEL,ALL
REAL,*
LSEL,S,LINE,,29,40,1,0
LMESH,ALL
LSEL,ALL
NSEL,S,LOC,X,,
D,ALL,ALL
NSEL,ALL
NSEL,S,LOC,X,*
NSEL,R,LOC,Y,*
F,ALL,FX,-25E*
NSEL,ALL
FINISH
/SOLU
SOLVE
FINISH
/POST1
PRRSOL,F
PLDISP,*
ETABLE,SAXL,LS,1
PRETAB,SAXL
FINISH

```

نتایج خروجی انسپیس عبارتنداز:

جدول ۸-۴

F_X	F_Y	F	گره
-1120E7	0,0	0,0	1
0,1120E7	0,0	0/101124E8	2
0,1120E7	0/202 E 0	0/11642E9	3
0,1120E7	0/20 E 0	0,0	4



شکل ۱۳-۴ خرپای اولیه(خطوط خط چینی) و تغییر شکل یافته(خطوط تپر) خرپای اولیه

جدول ۹-۴

$\sigma(Mpa)$	میله تنش	$\sigma(Mpa)$	میله تنش	$\sigma(Mpa)$	میله تنش
-۰.۳۱۲۷۲ E-۶	۲۳		۱۷		۱
-۰.۱۰۹۳۹ E۹	۲۴		۱۸		۲
-۰.۱۲۰۲۸ E۶	۲۵		۱۹		۳
-۰.۱۰۹۳۴ E۹	۲۶		۲۰		۴
-۰.۱۹۳۹ E-۶	۲۷		۲۱		۵
-۰.۱۰۹۳۹ E۹	۲۸		۲۲		۶
-۰.۱۲۲۴۴ E-۷	۲۹		۲۳		۷
-۰.۱۰۹۳۹ E۹	۳۰		۲۴		۸
			۲۵		۹
			۲۶		۱۰
			۲۷		۱۱
			۲۸		۱۲
		-۰.۶۶۵۴۶ E-۶	۲۹		۱۳
		-۰.۱۰۹۳۹ E۹	۳۰		۱۴
		-۰.۴۸۱۱۳ E-۷	۳۱		۱۵
		-۰.۱۱۹۳۹ E۹	۳۲		۱۶

شکل ۱۴-۴ در این مثال سازه دوچرخه نمونه با یک قاب سه بعدی مدل می شود

مثال ۷. با در نظر گرفتن سازه یک دوچرخه شکل ۱۴-۴ به صورت یک قاب سه بعدی، مقادیر جابه جایی و تنش را در عضوهای آن محاسبه نمایید. سازه دوچرخه از لوله های آلومینیومی ($V=0,33, E=70000 Mpa$) تشکیل شده و نیروی وزن دوچرخه سوار روی ذین و وزن پای او روی رکاب در نظر گرفته شده است. قطر خارجی لوله ها ۲۵ میلی متر و ضخامت آنها ۲ میلی متر است. شرایط مرزی در نقطه (۱)، محدودی در تمام درجات آزادی و نقاط (۵) و (۶)، تقيید در جهات UY و UZ است.

جدول ۱۰-۴ جدول مختصات گرهی

مختصات نقاط			
Z	Y	X	شماره نقطه
.	۲۲۵	.	۱
.	۴۰۰	.	۲
.	۴۰۰	۵۰۰	۳
.	.	۵۰۰	۴
۵۰	.	۸۲۵	۵
-۵۰	.	۸۲۵	۶

حل:

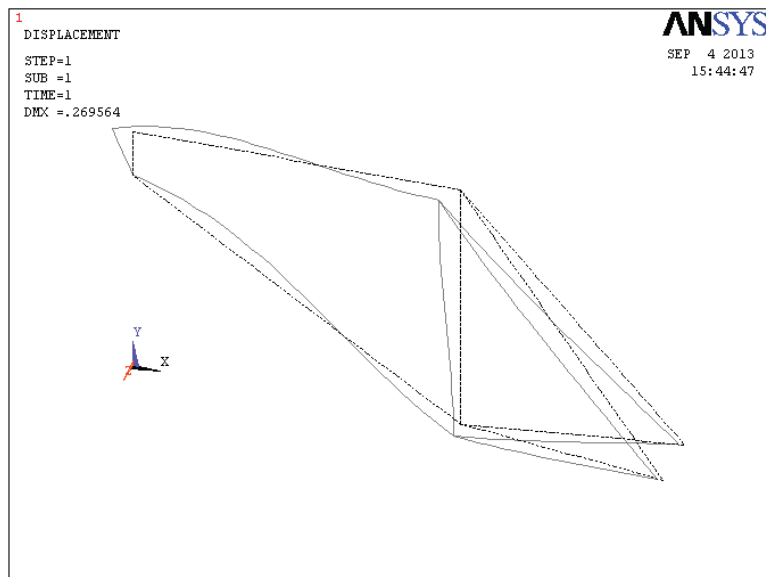
*/PREPV**K,1,0,.325**K,2,0,.400**K,3,500,.400**K,4,500**K,5,825,.50*

```

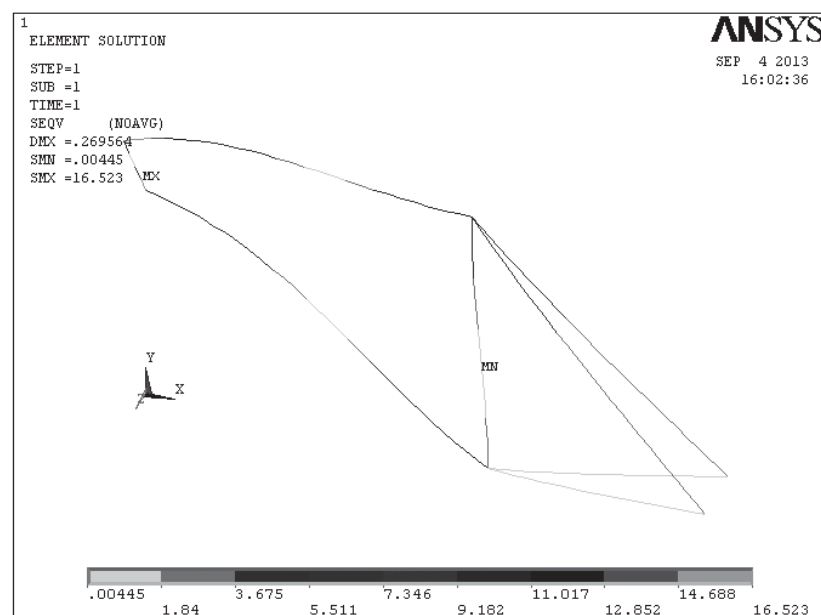
K,٦,٨٢٥,٠,-٥٠
L,١,١
L,٢,٣
L,٣,٤
L,٤,١
L,٤,٥
L,٤,٦
L,٣,٥
L,٣,٧
MP,EX,١,٨,٠,٠,٠
MP,PRXY,١,٠,٣,٣
ET,١,PIPL,٦
R,١,٨,٥,٢
LES\VE,ALL,٢,
LMESH,ALL
NSEL,S,LOC,X,٠
D,ALL,UX,٠
D,ALL,UY,٠
D,ALL,UV,٠
NSEL,S,LOC,X,٨٢٥
D,ALL,UY,٠
D,ALL,UZ,٠
NSEL,S,LOC,X,٥,٠,٠
NSEL,R,LOC,Y,٩,٠,٠
F,ALL,FY,-٢,٠,٠
NSEL,S,LOC,X,٥,٠,٠
NSEL,R,LOC,Y,٠
F,ALL,FY,-٩,٠,٠
NSEL,ALL
FINISH
!*
/SOLV
SOLVE
FINISH
!*
/POST\

PLDISP,٢
PLNSOL,U,COMP           !DMX=٠,٢٠m
ETABLE,S,EQV              !Equivalent stress
PLETAB,SEQV               !SMX=١٢,٥٢٤mpa
FINISH

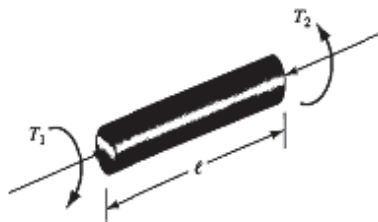
```



شکل ۱۵-۴ تغییر شکل یافته (خطوط کم رنگتر) سازه اولیه (خطوط تیره تر)



شکل ۱۶-۴ نحوه توزیع تنش در سازه تغییر شکل یافته



شکل ۱۷-۴ پیچش یک میله نمونه

۴-۶ پیچش یک میله

پیچش یک میله دایره‌ای مطابق شکل ۱۷-۴ را در نظر بگیرید. از مبحث مقاومت مصالح یادآوری می‌شود که زاویه پیچش θ را برای یک میله با سطح مقطع ثابت و ممان قطبی J و طول l ساخته شده از ماده‌ای همگن با مدول برشی G , تحت گشتاور پیچشی T از رابطه زیر بدست می‌آید:

$$\theta = \frac{Tr}{JG} \quad (4-4)$$

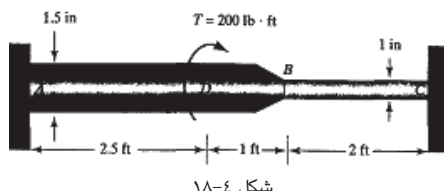
با استفاده از این رابطه و شرایط تعادل می‌توان نشان داد که برای یک المان شامل دو گره، ماتریس سفتی، زاویه‌های چرخش و گشتاورها طبق رابطه زیر با هم مرتبط‌اند:

$$\begin{bmatrix} T_1^{(e)} \\ T_r^{(e)} \end{bmatrix} = \frac{J^{(e)}G^{(e)}}{l^{(e)}} \begin{bmatrix} 1 & -1 \\ -1 & 1 \end{bmatrix} \begin{bmatrix} \theta_1^{(e)} \\ \theta_r^{(e)} \end{bmatrix} \quad (4-5)$$

همانطوریکه ملاحظه می‌شود رابطه اخیر شبیه رابطه بخش قبل در خصوص کشش ساده است. در این حالت جمله $\frac{J^{(e)}G^{(e)}}{l^{(e)}}$ همان سفتی المان را تشکیل می‌دهد.

مثال ۸. میله دو پله شکل ۱۸-۴ را در نظر بگیرید. قسمت AB این میله از ماده‌ای به $G_{AB} = 2.9 * 10^7$ psi و به قطر ۱ in ساخته شده است. قسمت BC از جنس متفاوتی با مدول برشی $G_{BC} = 4 * 10^7$ psi و قطر ۱ in است. دو انتهای میله ثابت شده است. گشتاوری معادل ۲۰۰ lb·ft در D وارد می‌شود. با استفاده از سه المان زاویه پیچش میله در D و B و عکس‌العمل‌های پیچشی در مرزها را تعیین نمایید.

حل: مدل مشبندی شده این مساله متشکل از سه المان AD, BC و DB فرض می‌شود:



شکل ۱۸-۴

در این حالت ممان قطبی المان‌ها عبارتند از:

$$J_z = J_r = \frac{1}{\gamma} \pi r^4 = 497 \text{ in}^4$$

$$J_r = \frac{1}{\gamma} \pi r^4 = 982 \text{ in}^4$$

بنابراین ماتریس‌های سفتی المان عبارتند از:

$$[K]^{(z)} = \frac{(3.9 * 10^{-7})(0.497)}{12 * 2.5} \begin{bmatrix} 1 & -1 \\ -1 & 1 \end{bmatrix} = \begin{bmatrix} 64610 & -64610 \\ -64610 & 64610 \end{bmatrix}$$

$$[K]^{(r)} = \frac{(3.9 * 10^{-7})(0.497)}{12 * 1.0} \begin{bmatrix} 1 & -1 \\ -1 & 1 \end{bmatrix} = \begin{bmatrix} 161025 & -161025 \\ -161025 & 161025 \end{bmatrix}$$

$$[K]^{(\epsilon)} = \frac{(4.0 * 10^{-7})(0.982)}{12 * 2.0} \begin{bmatrix} 1 & -1 \\ -1 & 1 \end{bmatrix} = \begin{bmatrix} 16267 & -16267 \\ -16267 & 16267 \end{bmatrix}$$

ماتریس سفتی و معادلات سیستم عبارتند از:

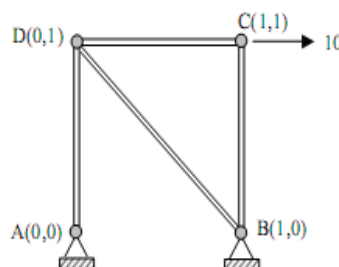
$$\begin{bmatrix} 64610 & -64610 & . & . & . \\ -64610 & 64610 + 161025 & -161025 & . & . \\ . & -161025 & 161025 + 16267 & -16267 & . \\ . & . & -16267 & 16267 & . \end{bmatrix} \begin{bmatrix} \theta_z \\ \theta_r \\ \theta_r \\ \theta_r \\ \theta_\epsilon \end{bmatrix} = \begin{bmatrix} -200 * 12 \\ R_A \\ R_B \\ R_D \\ R_C \end{bmatrix}$$

پس از اعمال شرایط مرزی $\theta_z = \theta_r = \theta_\epsilon = 0$ و $R_B = R_D = 0$ با حل سیستم معادلات بالا داریم:

$$\theta_r = -0.32 \text{ rad}, \theta_\epsilon = -0.2742$$

$$R_A = 1951 \text{ lb.in}, R_C = 449 \text{ lb.in}$$

مسائل



شکل ۱۹-۴

مسالهٔ ۱۹-۴. قاب شکل ۱۹-۴ را در نظر بگیرید. هرگاه مختصات گره‌ها بر حسب متر، مدول یانگ $E = 10^{11} \text{ Pa}$ و مساحت سطح مقطع میله‌ها $A = 2 \cdot 10^{-2} \text{ m}^2$ باشند.

(الف) سیستم را تجزیه نموده جابجایی‌های گرهی را تعیین نماید؛

(ب) ماتریس‌های سفتی و بارسیستم را محاسبه کنید؛

(ج) به میله‌ها شماره المان و به گره‌ها شماره گرهی اختصاص بدهید؛

(د) تنش‌ها و عکس‌عمل‌های تکیه‌گاهی را محاسبه کنید؛

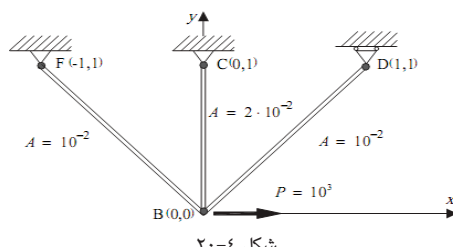
مسالهٔ ۲۰-۴. سازه سه میله‌ای شکل ۲۰-۴ تحت بار معلوم $N = 10^3$ در نقطه B قرار گرفته است. مدول یانگ $A = 10^{11} \text{ Pa}$ ، مساحت سطح مقطع میله BC، $A = 2 \cdot 10^{-2} \text{ m}^2$ و مساحت سطح مقطع BD و CD، $A = 10^{-2} \text{ m}^2$ هستند. تکیه‌گاه نقطه D از نوع غلتکی است. اگر مختصات نقاط گرهی بر حسب متر باشند:

(الف) ماتریس سفتی و بار سیستم را تعیین کنید؛

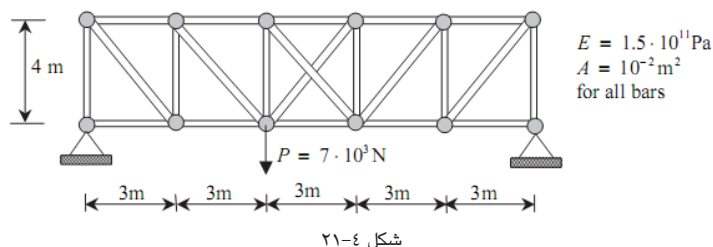
(ب) با تجزیه سیستم و حل آن، جابجایی‌های نقاط B و D را محاسبه کنید؛

(ج) تنش داخل میله‌ها چقدر است؛

(د) عکس‌عمل‌های تکیه‌گاهی در گره‌های C و D را تعیین کنید.



شکل ۲۰-۴



شکل ۲۱-۴

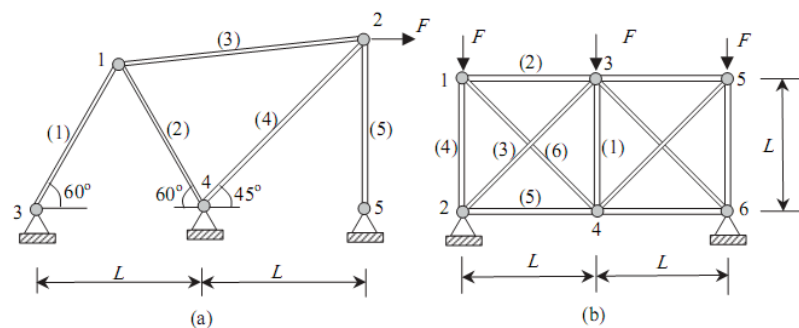
مسئلهٔ ۳. برنامه‌ای در محیط مطلب برای تحلیل المان محدود با استفاده از روش پنالتی بنویسید که برای خرپای شکل ۲۱-۴ :

(الف) جابجایی‌گرهی و تنش داخل میله‌های خرپای مسطح شکل را محاسبه نمایید؛

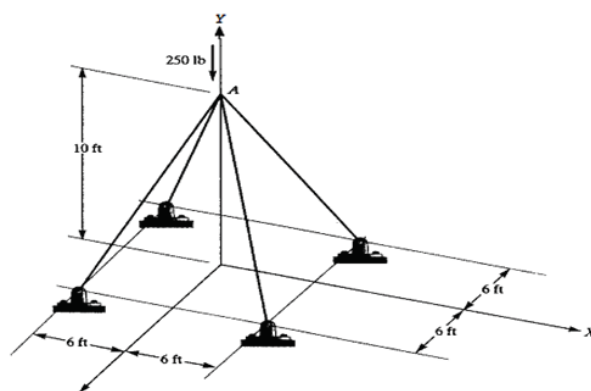
(ب) سازهٔ تغییر شکل یافته را رسم نماید. برای این منظور مقدار $Xmag$ جابجایی گرهی را به مختصات گره‌ها اضافه نمایید. فاکتور mag برای بزرگنمایی جابجایی‌ها استفاده می‌شود، تا قابل رویت باشند.

مسئلهٔ ۴. با استفاده از کد المان محدود مطلب، جابجایی‌ها و نیروهای داخلی را در خرپاهای شکل ۲۲-۴ را پیدا کنید. برای خرپای شکل (b) تقارن را لحاظ نمایید. برای هر دو خرپا تعادل در گره ۱ را چک کنید.

$$1.7N, L = 2 mE = 1.1pa, A = 1.7m^2, F =$$



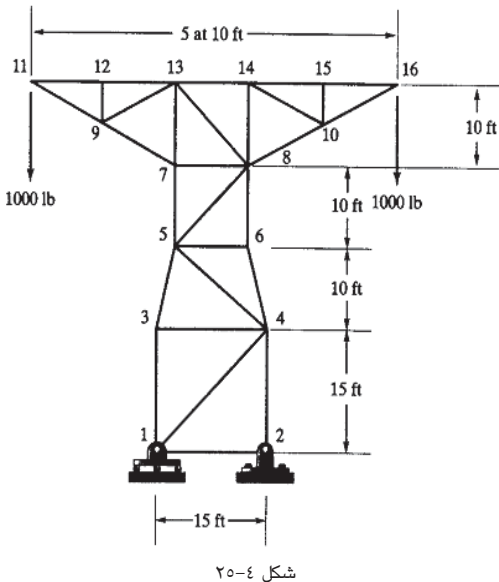
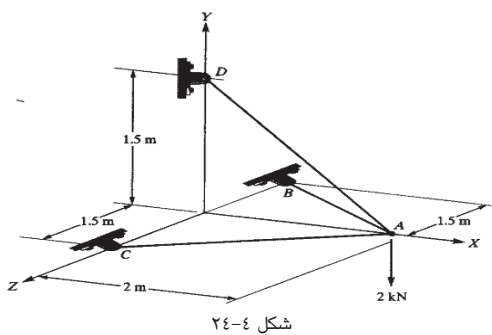
شکل ۲۲-۴



شکل ۲۲-۴

مساله ۵. اگر سطح مقطع میله های سازه سه بعدی شکل ۲۴-۴ $A = 2.0 \text{ in}^2$ و جنس آنها از آلومینیم ($E = 10 * 10^{10} \frac{\text{lb}}{\text{in}^2}$) با محاسبات دستی، جابجایی گره A، تنش در هر میله و نیروهای عکس العمل تکیه گاهی را محاسبه کنید. صحت و دقت نتایج را بررسی کنید.

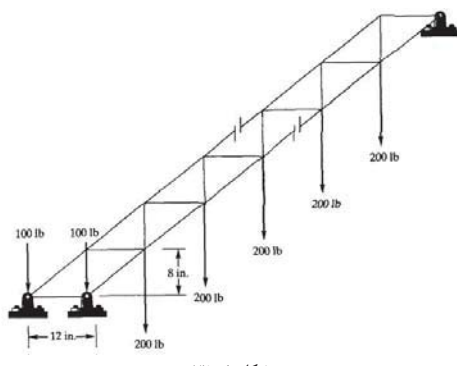
مساله ۶. اگر سطح مقطع میله های سازه سه بعدی شکل ۲۴-۴ $A = 15 \text{ cm}^2$ و جنس شان از فولاد ۳۰۰ باشد. با محاسبات دستی جابجایی در نقطه A، تنش در میله ها و نیروهای عکس العمل تکیه گاهی را محاسبه نمایید. نتایج بدست آمده را از نظر صحت و دقت بررسی کنید.



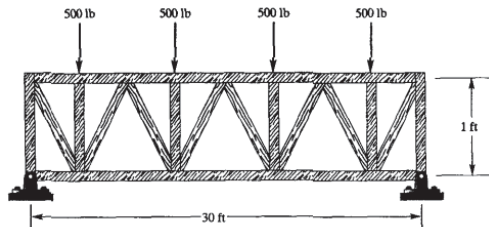
مساله ۷. برج خط انتقال قدرت شکل ۲۵-۴ را در نظر بگیرید. سطح مقطع میله‌ها $A = 1.0 \text{ in}^2$ و مدول الاستیسیته $E = 29 * 10^6 \text{ psi}$ می‌باشد. با استفاده از انسیس، جابجایی هر مفصل، تنش در هر میله و عکس-عمل‌های تکیه‌گاهی را محاسبه نمایید.

مساله ۸. خرپای پلکانی شکل ۲۶-۴ را در نظر بگیرید. ۱۴ پله هر یک به ارتفاع ۱۲ in وجود دارند. میله‌ها دارای مساحت سطح مقطع $A = 4 \text{ in}^2$ و از جنس فولاد به $E = 29 * 10^6 \text{ lb/in}^2$ هستند. با استفاده از انسیس جابجایی هر مفصل، تنش در هر میله و نیروهای عکس‌عمل تکیه‌گاهی را محاسبه کنید.

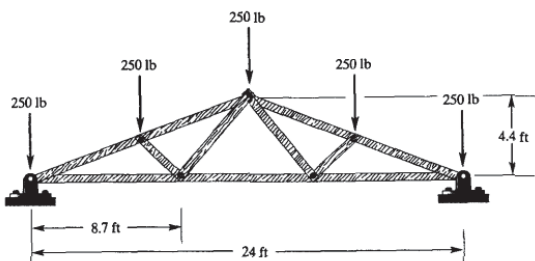
مساله ۹. مساحت سطح مقطع میله‌های خرپای سقفی شکل ۲۷-۴ $A = 21.5 \text{ in}^2$ و جنس‌شان از نوعی چوب به مدول الاستیسیته $E = 1.9 * 10^6 \text{ lb/in}^2$ است. با استفاده از انسیس جابجایی هر مفصل، تنش در هر میله و عکس‌عمل‌های تکیه‌گاهی را محاسبه نمایید. نتایج رابررسی صحتی و دقیق نمایید. همچنین یکی از تکیه‌گاهها را با نوع غلتکی تعویض نموده و تنش داخلی میله‌ها را محاسبه کنید. در خصوص تفاوت نتایج بحث نمایید.



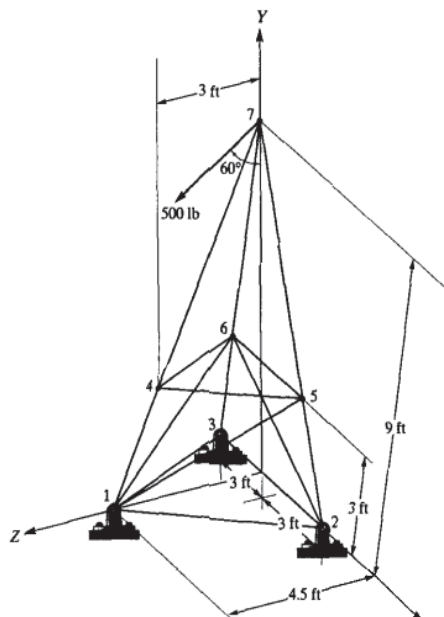
شکل ۲۶-۴



شکل ۲۷-۴



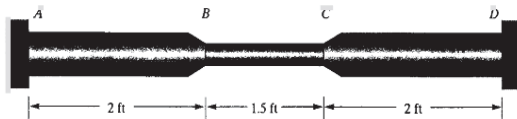
شکل ۲۸-۴



شکل ۲۹-۴

مسئله ۱۰. مسئله قبل را برای خرپای شکل ۲۸-۴ تکرار نمایید.

مسئله ۱۱. خرپای سه بعدی شکل ۲۹-۴ از میله های آلومینیمی با مدول الاستیسیته $E=10,9 \times 10^6 \text{ lb/in}^2$ می باشد و تحت نیروی 500 lb مطابق شکل قرار گرفته است. اگر مساحت سطح مقطع میله ها $A=2.24 \text{ in}^2$ باشد با استفاده از نرم افزار انسیس جابجایی هر مفصل، تنش در میله ها و عکس العمل های تکیه گاهی را پیدا کنید. با دانستن اینکه ممان دوم سطح $4,09 \text{ m}^4$ ، آیا فکر می کنید کماش رخ می دهد؟ نتایج را از نظر دقت و صحت بررسی کنید.



شکل ۳۰-۴

مساله ۱۲: شفتی از سه قسمت طبق شکل ۳۰-۴ ساخته شده است. قسمت‌های A و B از ماده‌ای به مدول $E = 30 \times 10^6 \text{ lb/in}^2$ و هر یک به قطر 10 in می‌باشدند. قسمت C از جنس دیگری به مدول برشی $G = 11.2 \times 10^6 \text{ lb/in}$ و به قطر 10 in است. شفت در دو انتهای ثابت شده است. گشتاور پیچشی $T = 2400 \text{ lb-in}$ در اعمال می‌شود. با استفاده از سه المان زاویه‌پیچش در A و B و عکس‌العمل‌های پیچشی در مرزها را پیدا نمایید.

$$\begin{aligned} U(X_1) &= U_1 \\ \text{Or} \quad \tau_1 &= -(\alpha \frac{du}{dx})_{x=x_1}, \quad x=x_1 \end{aligned} \qquad \begin{aligned} U(X_2) &= U_Z \\ \text{Or} \quad \tau_2 &= -(\alpha \frac{du}{dx})_{x=x_2}, \quad x=x_2 \end{aligned}$$

شکل ۳۱-۴ دامنه تعریف مساله به همراه شرایط مرزی آن

۴-۷ روش حل تقریبی

در این بخش مراحل حل تقریبی (Approximate Solution) مسایل یک بعدی به روش باقیمانده وزنی (Weight Method) تشریح می‌شوند. برای حل تقریبی یک معادله دیفرانسیل، ابتدا بجای حل دقیق معادله، یک جواب فرضی معروف به حل آزمایشی (Test Solution) در نظر گرفته می‌شود. بدیهی است با جایگذاری این جواب در معادله، مقداری باقیمانده در حالت کلی ظاهر می‌شود که باید برای اینکه نزدیکترین جواب به جواب واقعی پیدا شود با اعمال یک ملاک بهینه سازی مناسب برای حل آزمایشی آن را به گونه‌ای تعیین نمود که باقیمانده معادله حداقل شود. هر گاه معادله دیفرانسیل حاکم روی دامنه شکل ۳۱-۴ به صورت:

$$\begin{cases} -\frac{d}{dx}(\alpha \frac{du}{dx} + \beta u) = f(x) & \text{یا} & x_1 < x < x_2 \\ -(\alpha \frac{du}{dx})_{x=x_1} = \tau_1 & \text{یا} & \square x_1 \square u_1 \end{cases} \quad (4-4)$$

$$\left\{ (\alpha \frac{du}{dx})_{x=x_2} = \tau_2 \quad \text{یا} \quad \square x_2 \square u_2 \right.$$

باشد:

الف) حل آزمایشی آن را به یکی از صورتهای زیر میتوان در نظر گرفت:

$$\tilde{u}(x) = \alpha_0 + \alpha_1 x + \alpha_2 x^2 + \dots + \sum_{j=1}^n \alpha_j x^j \quad (49-4)$$

و یا

$$u(x) = u_0 N_0(x) + u_1 N_1(x) + \dots + \sum_{j=1}^n u_j N_j(x) \quad (50-4)$$

که در این جندجمله ای ایها ضرایب α_i و یا u_j مجهول و توابع $N_j(x)$ توابع معلومی معروف به توابع شکل (Figure 4.1) فرض می شوند. با جایگذاری حل آزمایشی \tilde{u} بجای حل دقیق u در معادله دیفرانسیل حاکم، معادله باقیمانده به دست می آید:

$$\text{Figure 4.1} \frac{d}{dx} [\alpha \frac{d\tilde{u}}{dx} - \beta \tilde{u}] \neq 0. \quad (51-4)$$

(b) تعیین و اعمال ملاک بهینه سازی برای آن:

با توجه به معلوم بودن مختصات x در حل آزمایشی (49-4) و یا توابع شکل N_j در حل آزمایشی (50-4)، ضرایب α_i و u_j را باید طوری پیدا کنیم که باقیمانده حداقل شود. برای این منظور به ازای هر i یک میانگین وزنی از R روی تمام حوزه برابر صفر قرار داده می شود. اما با توجه به اینکه در معادله باقیمانده باید از آن دوبار مشتقگیری شود باید آن حداقل از مرتبه دو باشد. با استفاده از انتگرالگیری جز به جز و کاهش مرتبه معادله دیفرانسیل می توان به کاهش مرتبه آن و ساده سازی محاسبات کمک کرد. با این کار ضمن اعمال شرایط مرزی در رابطه نهایی، شکل ضعیف شده انتگرال های بالا به دست خواهد آمد.

$$\int_{x_l}^{x_r} R w_i dx = \int_{x_l}^{x_r} [-\frac{d}{dx} (\alpha \frac{d\tilde{u}}{dx}) + \beta \tilde{u} + f] w_i dx = . \quad (52-4)$$

در رابطه ۵۲-۴، w_i توابع مجهولی معروف به توابع وزن می باشند.

به تعداد توابع شکل، توابع وزن خواهیم داشت. برای انجام انتگرال گیری ۵۲-۴ باید توابع وزن نیز معلوم باشند. برای این منظور یکی از روش های متداول روش گالرکین (Galerkin Method) می باشد که در آن $w_i = N_i$ فرض می شوند.

مثال ۹. اگر

$$\frac{du}{dx} = f, \quad u(\cdot) = u(1) = .$$

با انتخاب $\tilde{u} = \alpha_0 + \alpha_1 x + \alpha_2 x^2$ حل تقریبی مساله را با استفاده از روش گالرکین بدست آورید. (اگر $u = T$ و $f = Q$ باشد، معادله بالا مساله هدایت حرارتی پایدار یک بعدی را توصیف خواهد کرد)

حل:

$$u(\cdot) = \cdot \Rightarrow \alpha_+ = \cdot, \quad u(1) = \cdot \Rightarrow \alpha_- = -\frac{\alpha}{l}$$

$$\tilde{u} = u_+(x - \frac{x^r}{l})$$

$$R = d^r \tilde{u} / dx^r - \frac{f}{\alpha} = -\frac{\alpha}{l} u_+ - \frac{f}{\alpha}$$

$$\int_{\cdot}^1 R \phi dx = \cdot \quad \text{or} \quad \int_{\cdot}^1 \left(-\frac{\alpha}{l} u_+ - \frac{f}{\alpha} \right) \left(x - \frac{x^r}{l} \right) dx = \cdot \Rightarrow u_+ = -\frac{fl}{\alpha}$$

$$\tilde{u}(x) = -\frac{fl}{\alpha} \left(x - \frac{x^r}{l} \right)$$

مثال ۱۰. اگر $\tilde{u} = \alpha_+ + \alpha_- x + \alpha_r x^r$

$$\frac{d^r u}{dx^r} + u + x = \cdot, \quad u(\cdot) = u(1) = \cdot$$

حل:

با استفاده از یک چندجمله‌ای مرتبه دوم، حل گالرکین معادله بالا عبارت است از:

$$\tilde{u}(\cdot) = \cdot \Rightarrow \alpha_+ = \cdot,$$

$$\tilde{u}(1) = \cdot \Rightarrow \alpha_- = -\alpha_r$$

بنابراین:

$$\tilde{u} = u_+ x (1 - x),$$

$$\int_{\cdot}^1 (d^r \tilde{u} / dx^r + \tilde{u} + x) (x - x^r) dx = \cdot \Rightarrow u_+ = \frac{\circ}{\lambda}$$

$$\tilde{u}(x) = \frac{\circ}{\lambda} x (1 - x)$$

مثال ۱۱. معادله دیفرانسیل و شرایط مرزی زیر را در نظر بگیرید:

$$-\alpha \frac{d^r u}{dx^r} + v \frac{du}{dx} - f = \cdot, \quad u(\cdot) = u(1) = \cdot$$

با استفاده از روش گالرکین و بکارگیری حل آزمایشی

$$\tilde{u}(x) = \alpha_+ + \alpha_- x + \alpha_r x^r + \alpha_t x^t$$

حل تقریبی مساله را به دست آورید. فرض شود که

$$l = 1m, \alpha = 1^{-\lambda}, v = 1.0 \times 1^{-\lambda}, f = 1^{-t}$$

حل: (معادله فوق، معادله دیفرانسیل حاکم بر انتقال جرم یک بعدی است که $u(x)=c(x)$ غلط نمونه های رقیق، $v(x)$ سرعت مخلوط، $D(x) = D_0 \alpha(x)$ و $m = m_0 f$ منبع خارجی جرم است). حل آزمایشی که شرایط مرزی را ارضاء کند به شکل زیر است:

$$\tilde{u}(x) = u_1(x^r - xl) + u_r(x^r - xl^r)$$

معادلات باقیمانده وزنی، پس از انتگرال گیری عبارتند از:

$$\frac{\alpha}{\gamma} u_1 + \left(\frac{vl^r}{\gamma} + \frac{\alpha l}{\gamma} \right) u_r + \frac{f}{\gamma} = 0.$$

$$\left(\frac{\alpha}{\gamma} - \frac{vl}{\gamma} \right) u_1 + \frac{\epsilon \alpha l}{\delta} + \frac{f}{\epsilon} = 0.$$

$$\Rightarrow u_1 = -120.4.8, \quad u_r = -240.9.6$$

حل دقیق عبارت است از:

$$\tilde{u}(x) = \frac{f}{v} \left[x - \frac{l \left(x - e^{\frac{vx}{\alpha}} \right)}{1 - e^{\frac{vl}{\alpha}}} \right]$$

مثال ۱۲. مثال قبل را با فرض حل آزمایشی زیر حل کنید:

$$\tilde{u}(x) = u_1 x + u_r (1 - e^x)$$

حل: با در نظر گرفتن شرایط مرزی، حل آزمایشی عبارت خواهد شد از:

$$\tilde{u}(x) = u_1 [x - l(1 - e^x)/(1 - e^l)]$$

تنها معادله باقیمانده وزنی پس از انتگرال گیری عبارت است از:

$$\frac{\alpha u_1 l^r}{(1 - e^l)^r} (e^l - \frac{\lambda}{\gamma} e^{rl} - 1) + \frac{f l^r}{(1 - e^l)^r} (l - e^l + 1) - \frac{f l^r}{\gamma} = 0 \Rightarrow u_1 = 1.4$$

و حل تقریبی مساله عبارت است از:

$$\tilde{u}(x) = 1.4 \left[x - \frac{l(1 - e^x)}{1 - e^l} \right]$$

- مسایل

مسائل ۱۳. با استفاده از روش گالرکین و حل آزمایشی

$$\tilde{u}(x) = u_1 x(x - l) + u_r x^r (x - l)$$

$$\frac{d^r u}{dx^r} = -f, \quad u(\cdot) = u(l) = .$$

حل تقریبی معادله زیر را به دست آورید.

حل دقیق مساله را پیدا کرده و با حل تقریبی مقایسه نمایید.

مساله ۱۴. شکل غیرهمگن معادله بسل (Bessel equation) زیر را در نظر بگیرید:

$$x \frac{d^r u}{dx^r} + \frac{du}{dx} + \frac{x^r - 1}{x} u = -x^r \quad 1 < x < 2$$

شرایط مرزی عبارتند از: $u(1) = 0$, $u'(2) = 0$. با استفاده از روش گالرکین و حل آزمایشی به صورت چندجمله‌ای مرتبه ۲، حل تقریبی معادله را به دست آورید.

مساله ۱۵. مساله مقدار اولیه زیر، شکل بدون بعد قانون سرمایش نیوتن است:

$$\frac{du}{dt} = -u \quad t > 0 \quad u(\cdot) = 1$$

با انتخاب توابع پایه $\{t^1, t^2\}$, حل تقریبی مساله را با استفاده از روش گالرکین به دست آورید. جواب‌های به دست آمده را با حل دقیق مقایسه نمایید.

مساله ۱۶. خیز تیر روی پیلاستیک با معادله دیفرانسیل زیر به شکل بدون بعد، توصیف می‌شود:

$$\frac{d^r u}{dx^r} + u = 1$$

با شرایط مرزی (خیز و ممان صفردر دو انتهای)

$$u = \frac{d^r u}{dx^r} = . \quad x = 0, x = 1$$

با انتخاب توابع شکل $\{sin\pi x, sin2\pi x\}$ و استفاده از روش گالرکین، حل تقریبی مساله را به دست آورید.

مساله ۱۷. مساله غیرخطی

حالات هدایت حرارت پایدار از طریق یک تختال، با عرض واحد و ضریب هدایت (k) را توصیف می‌کند.

شرایط مرزی در شکل بدون بعد (درجه حرارت $T = T(x)$) عبارتست از: $T(0) = u_0$ برای u .

و توابع شکل چندجمله‌ای $\{1, x, x^2\}$, حل تقریبی مساله را با استفاده از روش گالرکین به دست آورید.

$$u(x) = 1 + 2x^{1/2} \quad \text{نتایج را با حل دقیق زیر مقایسه کنید.}$$

مساله ۱۸. معادله دیفرانسیل حاکم بر یک طناب معلق، عبارتست از:

$$-\frac{d}{dx} \left(T \frac{dw}{dx} \right) = -\rho g \quad \cdot < x < l$$

با شرایط مرزی $w(x), w(l) = w(l) = 0$ خیز عمودی طناب است. فرض شود که $\rho = 1 \frac{\text{kg}}{\text{m}^3}$, $g = 9.8 \text{ m/s}^2$, $l = 10 \text{ m}$. خیز طناب را در مرکز و در فاصله $l/4$ از هر انتهای دست آورید. سه حل آزمایشی زیر را به کار گیرید. حل تقریبی مساله را با استفاده از روش گالرکین پیدا کنید.

$$\begin{aligned}\tilde{w}_1(x) &= w_1 \sin\left(\frac{\pi x}{l}\right) \\ \tilde{w}_r(x) &= w_r \sin\left(\frac{\pi x}{l}\right) + w_r \sin\left(\frac{3\pi x}{l}\right) \\ \tilde{w}_v(x) &= w_v \sin\left(\frac{\pi x}{l}\right) + w_v \sin\left(\frac{3\pi x}{l}\right) + w_v \sin\left(\frac{5\pi x}{l}\right)\end{aligned}$$

حل دقیق مساله عبارت است از:

$$w(x) = \frac{x(x - 10)}{10}$$

آیا حل‌های تقریبی حاصل از بکارگیری حل‌های آزمایشی فوق الذکر به سمت حل حقیقی همگرا هستند؟

مساله ۱۹. چنانچه حل آزمایشی مساله قبل را به شکل چندجمله‌ای مرتبه دو زیر انتخاب کنیم آیا حل تقریبی بر حل دقیق منطبق خواهد شد؟

مساله ۲۰. معادله دیفرانسیل زیر را در نظر بگیرید:

$$\frac{du}{dx} + \frac{1}{x} u = 0, \quad \cdot < x < \pi \quad u(\pi) = 0, \quad u(0) = 1$$

با استفاده از چندجمله‌های مرتبه سه برای حل آزمایشی زیر، حل تقریبی مساله را بدست آورید. (با استفاده از روش گالرکین)

$$\tilde{u}(x, \alpha) = \alpha_0 + \alpha_1 x + \alpha_2 x^2 + \alpha_3 x^3$$

مساله ۲۱. معادله دیفرانسیل زیر را در نظر بگیرید:

$$\frac{d}{dx} \left[(x+1) \frac{du}{dx} \right] = 0, \quad 1 < x < 2$$

$$u(1) = 1, \quad \tau(2) = (x+1) \frac{du}{dx} \Big|_{x=2} = 1$$

(الف) با روش گالرکین و حل آزمایشی $\tilde{u}(x, \alpha) = \alpha_0 + \alpha_1 x + \alpha_2 x^2$ حل تقریبی را برای تابع u و شار τ بدست آورید؛

(ب) حل تقریبی را با استفاده از چندجمله‌های مرتبه سه برای حل آزمایشی پیدا کنید.

ج) دو حل تقریبی (الف) و (ب) را با یکدیگر و با حل دقیق مساله مقایسه کنید:

$$u(x) = 1 - \ln\left[\frac{x+1}{2}\right], \quad \tau(x) = 1$$

مساله ۲۲. معادله دیفرانسیل زیر همراه با شرایط مرزی مربوطه را در نظر بگیرید:

$$\frac{d}{dx}\left(x^{\tau} \frac{du}{dx}\right) = \frac{1}{12}(11x - 25x^2 + 20x^3 - 3x^4) \quad . < x < 4$$

$$u(0) = 1, u(4) = 0.$$

با استفاده از روش گالرکین و دوحل آزمایشی، چندجمله‌ای مرتبه دو و چندجمله‌ای مرتبه سه، حل تقریبی مساله را بدست آورید. نتایج را با حل دقیق زیر مقایسه کرده و پیامون نتایج حاصل بحث کنید.

$$u(x) = \frac{1}{24}(24 + 11x - 17x^2 + 24x^3 - 3x^4)$$

مساله ۲۳. تغییرات دما بر حسب زمان در جسمی که بصورت داخلی حرارت داده می‌شود و از طریق سطح خارجی حرارت از دست می‌دهد با معادله دیفرانسیل زیر توصیف می‌شود:

$$\frac{dT}{dt} + KT = f$$

که $T(t)$ دما، C ظرفیت حرارتی، $\left(\frac{cal}{cm^3 \cdot ^\circ C}\right) K$ ضریب اتلاف جابجایی $\left(\frac{cal}{s \cdot cm^3 \cdot ^\circ C}\right)$ و f منبع حرارتی داخلی $\left(\frac{cal}{cm^3 \cdot s}\right)$ است. چون معادله دیفرانسیل از مرتبه اول است، لذا فقط به یک شرط اولیه نیاز دارد: $T = 40$ در $t = 0$. هرچند حل دقیق متناسب میرایی نمایی است که تا $t = \infty$ امتداد می‌یابد، اما در اینجا حل مساله فقط در ۱۰ ثانیه اول مورد توجه است.

(الف) با استفاده از روش گالرکین و استفاده از چندجمله‌ای مرتبه دو به عنوان حل آزمایشی، حل تقریبی $\tilde{T}(t)$ را بدست آورید و نتایج را در $t = 0$ sec و $t = 10$ sec با حل دقیق مقایسه کنید؛
 (ب) حل تقریبی را در $t = 100$ sec با حل دقیق مقایسه کنید. برای بهبود حل تقریبی چه تغییر و تجدید نظری در حل آزمایشی باید انجام داد.

تفاوت اصلی روش عمومی حل آزمایشی با روش حل المان محدود در آن است که در روش اول، کل حوزه تعریف مساله به عنوان یک محیط پیوسته تلقی شده و حل آزمایشی روی تمام حوزه تعریف می‌گردد؛

اما در روش دوم (۱) حوزه تعریف مساله به تعدادی المان گسسته شده و حل آزمایشی روی هر المان نوشته می‌شود. باید نوعی پیوستگی بین المان‌ها را برای تطابق با واقعیت فیزیکی پیوسته اعمال کرد؛ (۲) توابع آزمایشی بصورت چندجمله‌ای حتی الامکان ساده انتخاب می‌شود؛ (۳) حل آزمایشی به صورت ترکیب خطی توابع آزمایشی که واجد خواص میانیابی هستند نوشته می‌شود؛ (۴) پارامترهای u در حل آزمایشی باید مقدار تابع مجھول را در نقاط مشخص به نام گره‌ها نمایش دهند.

۴-۸ مسایل مقدار مرزی یک بعدی المان های خطی

معادله دیفرانسیل و حوزه تعریف مساله به صورت:

$$-\frac{d}{dx} \left(\alpha \frac{du}{dx} \right) + \beta u = f(x) \quad x_{\text{ل}}^{(e)} < x < x_{\text{ر}}^{(e)} \quad (53-4)$$

و شرایط مرزی

$$\tau(x_{\text{ل}}^{(e)}) = - \left(\alpha \frac{du}{dx} \right) = \tau_{\text{ل}}^{(e)} \quad \text{یا} \quad u(x_{\text{ل}}^{(e)}) = u_{\text{ل}}^{(e)} \quad (54-4)$$

$$\tau(x_{\text{ر}}^{(e)}) = \left(\alpha \frac{du}{dx} \right) = \tau_{\text{ر}}^{(e)} \quad \text{یا} \quad u(x_{\text{ر}}^{(e)}) = u_{\text{ر}}^{(e)}$$

مراحل حل المان محدود معادله دیفرانسیل (۵۳-۴) عبارت است از:

(۱) نوشتن معادله باقیمانده انتگرال گیری جزءی:

$$R^{(e)}(x) = -\frac{d}{dx} \left(\alpha^{(e)} \frac{d\tilde{u}^{(e)}}{dx} \right) + \beta^{(e)} \tilde{u}^{(e)} - f^{(e)} \quad (55-4)$$

$$\int^{(e)} R^{(e)}(x, a) N_j^{(e)}(x) dx = \cdot, \quad i = 1, \dots, n$$

$$\int^{(e)} \left(-\frac{d}{dx} \left(\alpha^{(e)} \frac{d\tilde{u}^{(e)}}{dx} \right) + \beta^{(e)} \tilde{u}^{(e)} - f^{(e)} \right) N_i^{(e)} dx = \cdot$$

$$\int^{(e)} \left(\alpha^{(e)} \frac{d\tilde{u}^{(e)}}{dx} \frac{dN_i^{(e)}}{dx} + \beta^{(e)} \tilde{u}^{(e)} N_i^{(e)} \right) dx = \int^{(e)} f^{(e)} N_i^{(e)} dx - \left[\left(-\alpha \frac{du}{dx} \right) N_i \right]^{(e)} \quad (56-4)$$

(۲) تعیین شکل عمومی حل آزمایشی:

$$\tilde{u}^{(e)} = \sum_{j=1}^n u_j^{(e)} N_j^{(e)} \quad \& \quad \frac{d\tilde{u}^{(e)}}{dx} = \sum_{j=1}^n u_j^{(e)} \frac{dN_j^{(e)}}{dx} \quad (57-4)$$

و قرار دادن آن در معادله باقیمانده

$$\begin{aligned} & \sum_{j=1}^n \left(\int^{(e)} \frac{dN_i^{(e)}}{dx} \alpha^{(e)} \frac{dN_j^{(e)}}{dx} dx + \int^{(e)} N_i^{(e)} \beta N_j^{(e)} dx \right) u_j^{(e)} \\ &= \int^{(e)} f^{(e)} N_i^{(e)} dx - \left[-\alpha \frac{d\tilde{u}}{dx} N_i \right]^{(e)} \\ k_{ij}^{(e)} &= \int^{(e)} \frac{dN_i^{(e)}}{dx} \frac{dN_j^{(e)}}{dx} dx + \int^{(e)} N_i^{(e)} \beta N_j^{(e)} dx \\ F_i^{(e)} &= FI_i^{(e)} + FB_i^{(e)} = \int^{(e)} f^{(e)} N_i^{(e)} dx - \left[\left(-\alpha \frac{d\tilde{u}}{dx} \right) N_i \right]^{(e)} \quad (58-4) \end{aligned}$$

بنابراین از روابط بالا داریم:

$$\sum_{j=1}^n k_{ij}^{(e)} a_j^{(e)} = F_i^{(e)} \quad (59-4)$$

یا بصورت ماتریسی

$$[k]^{(e)} [a]^{(e)} = [F]^{(e)} \quad (60-4)$$

(۳) تعیین عبارات ویژه برای توابع آزمایشی و قرار دادن آنها در معادلات المان با در نظر گرفتن المان خطی

$$\tilde{u}^{(e)}(x) = \sum_{j=1}^r u_j^{(e)} N_j^{(e)} = u_1 N_1^{(e)} + u_r N_r^{(e)} = [N]^{(e)} \{u\}^{(e)} \quad (61-4)$$

$$N_1^{(e)} = \frac{x_r^{(e)} - x}{x_r^{(e)} - x_1^{(e)}} = \frac{x_r^{(e)} - x}{l^{(e)}} \quad \& \quad N_r^{(e)} = \frac{x - x_1^{(e)}}{x_r^{(e)} - x_1^{(e)}} = \frac{x - x_1}{l^{(e)}} \quad (62-4)$$

$$\frac{dN_1^{(e)}}{dx} = \frac{-1}{l^{(e)}} \quad \& \quad \frac{dN_r^{(e)}}{dx} = \frac{1}{l^{(e)}} \quad (63-4)$$

$$\begin{bmatrix} k_{11} & k_{1r} \\ k_{r1} & k_{rr} \end{bmatrix} \begin{bmatrix} u_1 \\ u_r \end{bmatrix}^{(e)} = \begin{bmatrix} f_1 \\ f_r \end{bmatrix}^{(e)} \quad (64-4)$$

(۴) تعیین عبارات عمومی برای خواص فیزیکی، انتگرال‌گیری و آماده کردن معادلات جبری المان و عبارات شار: می‌توان α و β رابه شکل زیر تعیین کرد:

$$\beta^{(e)} = \beta + \beta_1 x + \beta_r, \quad \alpha^{(e)} = \alpha_1 + \alpha_2 x + \alpha_r x^r \quad (65-4)$$

f را هم می‌توان بصورت تابعی شبیه α و β فرض کرد.

در اینجا فرض می‌شود در داخل هر المان α و β مقادیر ثابتی هستند که در نقطه وسط المان محاسبه شده‌اند و برابرند با:

$$f = f^{(e)}, \quad \beta = \beta^{(e)}, \quad \alpha = \alpha^{(e)} \quad \text{بنابراین:}$$

$$k_{11}^{(e)} = \int_{x_1^{(e)}}^{x_r^{(e)}} \alpha \left(\frac{-x}{l} \right) dx + \int_{x_1^{(e)}}^{x_r^{(e)}} \beta \left(\frac{x_r^{(e)} - x}{l} \right) dx = \frac{\alpha}{l} + \frac{\beta}{r} \quad (66-4)$$

که $l = x_r^{(e)} - x_1^{(e)}$ طول المان است. به همین ترتیب:

$$k_{1r}^{(e)} = \frac{\alpha^{(e)}}{l^{(e)}} + \frac{l^{(e)} \beta^{(e)}}{r} \quad (67-4)$$

$$k_{r1}^{(e)} = k_{rr}^{(e)} \quad \& \quad k_{rr}^{(e)} = k_{1r}^{(e)} \quad (68-4)$$

$$f_1^{(e)} = \int_{x_1^{(e)}}^{x_r^{(e)}} \left(\frac{x_r^{(e)} - x}{x_r^{(e)} - x_1^{(e)}} \right) f dx + \left(-\alpha \frac{d\tilde{u}}{dx} \right)_{x_1^{(e)}} = \frac{f^{(e)} \tau^{(e)}}{r} + \tau_i^{(e)} \quad (69-4)$$

$$f_r^{(e)} = \int_{x_1^{(e)}}^{x_r^{(e)}} \left(\frac{x - x_1^{(e)}}{x_r^{(e)} - x_1^{(e)}} \right) f dx - \left(-\alpha \frac{d\tilde{u}}{dx} \right)_{x_r^{(e)}} = \frac{f^{(e)} \tau^{(e)}}{r} + \tau_i^{(e)} \quad (70-4)$$

(در روش المان محدود کلیه بارهای گستردہ در نهایت باید تبدیل به بارهای متمنکز وارد به گرهها شوند.
این بارهای متمنکز معادل بارهای گستردہ هستند)

$$\begin{bmatrix} \frac{\alpha^{(e)}}{l^{(e)}} + \frac{\beta^{(e)}}{\gamma} l^{(e)} & -\frac{\alpha^{(e)}}{l^{(e)}} + \frac{\beta^{(e)} l^{(e)}}{\gamma} \\ -\frac{\alpha^{(e)}}{l^{(e)}} + \frac{\beta^{(e)} l^{(e)}}{\gamma} & \frac{\alpha^{(e)}}{l^{(e)}} + \frac{\beta^{(e)} l^{(e)}}{\gamma} \end{bmatrix}^{(e)} \begin{bmatrix} u_1 \\ u_\gamma \end{bmatrix}^{(e)} = \begin{bmatrix} \frac{f^{(e)} l^{(e)}}{\gamma} \\ \frac{f^{(e)} l^{(e)}}{\gamma} \end{bmatrix}^{(e)} + \begin{bmatrix} \tilde{t}^{(1)} \\ \tilde{t}^{(\gamma)} \end{bmatrix}^{(e)} \quad (71-4)$$

ادامه مراحل حل عبارتند از:

- ۵) تعیین داده‌های هندسی و خواص فیزیکی و محاسبه جملات مندرج در معادلات المان؛
داده‌های هندسی از طریق مشبندی و تعیین مختصات گرهها، شماره آنها و شماره المان‌های مربوطه
معلوم می‌گرددن.
- ۶) موتتاژ المان‌ها و تشکیل دستگاه معادلات سیستم؛
- ۷) اعمال شرایط مرزی؛
- ۸) حل دستگاه معادلات سیستم (معمولًا با استفاده از روش حذف گوسی)؛
- ۹) محاسبه تابع، شار و سایر کمیات مورد نظر و نمایش جدولی و نموداری آن؛
- ۱۰) تحلیل نتایج و برآورده دقت آنها.

مثال ۱۳. مساله مقدار مرزی دو نقطه‌ای زیر را بهمراه شرایط مرزی آن در نظر بگیرید:

$$\frac{d^{\gamma} u}{dx^{\gamma}} \square 2 \quad . < x < 1, \quad u(\cdot) = u'(1) = 0.$$

مساله را با یک، دو و چهار المان خطی حل کنید. (حل دقیق)

حل: با مقایسه معادله بالا با شکل عمومی معادله دیفرانسیل داریم:

$$\alpha = 1, \quad \beta = 0, \quad f = 2$$

$$k^{(e)} = \frac{\alpha^{(e)}}{l^{(e)}} \begin{bmatrix} 1 & -1 \\ -1 & 1 \end{bmatrix}, \quad F^{(e)} = \begin{bmatrix} l \\ l \end{bmatrix}^{(e)} + \begin{bmatrix} \tilde{t}^{(1)} \\ \tilde{t}^{(\gamma)} \end{bmatrix}$$

بنابراین

حل با یک المان $= l^{(1)}$ و داریم:

$$\begin{bmatrix} 1 & -1 \\ -1 & 1 \end{bmatrix}^{(1)} \begin{bmatrix} u_1 \\ u_\gamma \end{bmatrix}^{(1)} = \begin{bmatrix} 1 \\ 1 \end{bmatrix}^{(1)} + \begin{bmatrix} \tilde{t}_1 \\ \tilde{t}_\gamma \end{bmatrix}^{(1)}$$

شرط مرزی $u_1 = 0$ و $\tilde{t}_\gamma = 0$ می‌باشد؛ یعنی

$$\begin{bmatrix} 1 & -1 \\ -1 & 1 \end{bmatrix} \begin{bmatrix} u_1 \\ u_\gamma \end{bmatrix} = \begin{bmatrix} 1 \\ 1 \end{bmatrix} + \begin{bmatrix} \tilde{t}_1 \\ \tilde{t}_\gamma \end{bmatrix} \rightarrow u_\gamma = 1$$

و لذا

$$\tilde{u}^{(1)}(x) = u_1 N_1^{(1)} + u_\gamma N_\gamma^{(1)} = 0 \times N_1^{(1)} + 1 \times \frac{x - x_1^{(1)}}{l^{(1)}} = x, \quad \frac{d\tilde{u}^{(1)}}{dx} = 1$$

$$x_1 = 0, \quad x_\gamma = 1, \quad x_\gamma = 1$$

حل با دو المان: $x_1 = 0$

$$[K]^{(1)} = \frac{1}{\cdot \cdot \cdot} \begin{bmatrix} 1 & -1 \\ -1 & 1 \end{bmatrix}, \quad [F]^{(1)} = \begin{bmatrix} 1/\gamma \\ 1/\gamma \end{bmatrix} + \begin{bmatrix} \tau_1^{(1)} \\ \tau_2^{(1)} \end{bmatrix}$$

$$[K]^{(\gamma)} = \frac{1}{\cdot \cdot \cdot} \begin{bmatrix} 1 & -1 \\ -1 & 1 \end{bmatrix}, \quad [F]^{(\gamma)} = \begin{bmatrix} 1/\gamma \\ 1/\gamma \end{bmatrix} + \begin{bmatrix} \tau_1^{(\gamma)} \\ \tau_2^{(\gamma)} \end{bmatrix}$$

با اعمال پیوستگی آن بین دو المان، مونتاژ می‌شود:

$$\gamma \begin{bmatrix} 1 & -1 & \cdot \\ -1 & 2 & -1 \\ \cdot & -1 & 1 \end{bmatrix} \begin{bmatrix} u_1 \\ u_\gamma \\ u_\varepsilon \end{bmatrix} = \begin{bmatrix} 1/\gamma \\ 1/\gamma + 1 \\ 1/\gamma \end{bmatrix} + \begin{bmatrix} \tilde{\tau}_1^{(1)} \\ -\tau_1^{(\gamma)} + \tau_1^{(\varepsilon)} \\ \tau_2^{(\varepsilon)} \end{bmatrix}$$

شرایط مرزی عبارتند از: $\cdot = \cdot$ با اعمال این شرایط، نتیجه نهایی دو معادله جبری زیر است:

$$\begin{aligned} \varepsilon u_\varepsilon - 2u_\gamma &= 1 \\ -2u_\gamma + 2u_\varepsilon &= \cdot \cdot \cdot \end{aligned}$$

از حل این معادلات داریم: $u_\varepsilon = \gamma/\varepsilon$, $u_\gamma = 1$. لذا حل تقریبی مساله با دو المان به صورت زیر است:

$$\tilde{u}(x) = \begin{cases} \frac{\gamma x}{\varepsilon} & \cdot \leq x \leq \frac{1}{\varepsilon} \\ \frac{(x+1)}{\gamma} & \frac{1}{\varepsilon} \leq x \leq 1 \end{cases}, \quad \frac{d\tilde{u}(x)}{dx} = \begin{cases} \frac{\gamma}{\varepsilon} & \cdot \leq x \leq \frac{1}{\varepsilon} \\ \frac{1}{\gamma} & \frac{1}{\varepsilon} \leq x \leq 1 \end{cases}$$

حل با چهار المان: با تعریف مساله با چهار المان متساوی الفاصله و تشکیل ماتریس‌های سفتی و بار و مونتاژ آنها داریم:

$$\varepsilon \begin{bmatrix} 1 & -1 & \cdot & \cdot & \cdot \\ -1 & 2 & -1 & \cdot & \cdot \\ \cdot & -1 & 2 & -1 & \cdot \\ \cdot & \cdot & \cdot & -1 & 1 \end{bmatrix} \begin{bmatrix} u_1 \\ u_\gamma \\ u_\varepsilon \\ u_\circ \end{bmatrix} = \frac{1}{\varepsilon} \begin{bmatrix} 1 \\ 2 \\ \gamma \\ 1 \end{bmatrix} + \begin{bmatrix} \tau_1^{(1)} \\ \tau_2^{(\gamma)} \\ \vdots \\ \tau_4^{(\varepsilon)} \end{bmatrix}$$

$$u_\gamma = \frac{\gamma}{\varepsilon}, \quad u_\varepsilon = \frac{\gamma}{\varepsilon}, \quad u_\circ = \frac{1}{\varepsilon}, \quad u_1 = \cdot \quad \text{با اعمال شرایط مرزی} \quad \tau_2^{(\gamma)} = \cdot \quad \text{داریم:}$$

و حل تقریبی عبارت است از:

$$\tilde{u}(x) = \begin{cases} \frac{\gamma x}{\varepsilon} & \cdot \leq x \leq \frac{1}{\varepsilon} \\ \frac{(1+x+\varepsilon)}{\gamma} & \frac{1}{\varepsilon} \leq x \leq \frac{1}{\gamma} \\ \frac{(x+\gamma)}{\varepsilon} & \frac{1}{\gamma} \leq x \leq \frac{1}{\varepsilon} \\ \frac{(x+\varepsilon)}{\varepsilon} & \frac{1}{\varepsilon} \leq x \leq 1 \end{cases}, \quad \frac{d\tilde{u}(x)}{dx} = \begin{cases} \frac{\gamma}{\varepsilon} & \cdot \leq x \leq \frac{1}{\varepsilon} \\ \frac{1}{\gamma} & \frac{1}{\varepsilon} \leq x \leq \frac{1}{\gamma} \\ \frac{1}{\varepsilon} & \frac{1}{\gamma} \leq x \leq \frac{1}{\varepsilon} \\ \frac{1}{\varepsilon} & \frac{1}{\varepsilon} \leq x \leq 1 \end{cases}$$

شکل ۲۲-۴ مقایسه حل مثال ۱۳ با مقدار المان های مختلف . با افزایش تعداد گرهها، جوابها دقیق تر شده اند.

مثال ۱۴. مساله مقدار مرزی دو نقطه‌ای زیر داده شده است:

$$\frac{d^2u}{dx^2} = e^x \quad \cdot < x < 1 \quad u(\cdot) = u(1) = \cdot$$

حل مساله را با استفاده از چهار المان خطی بیابید؟

$$[K]^{(e)} = \frac{1}{l^{(e)}} \begin{bmatrix} 1 & -1 \\ -1 & 1 \end{bmatrix}$$

حل: ماتریس سفتی المان های چهارگانه شبیه مثال قبل است:

$$FI_i^{(e)} = \int_{x_i}^{x_{i+1}} e^x N_i dx$$

ماتریس بار عبارت است از:

پس از انجام محاسبات خواهیم داشت:

$$FI^{(1)} = \begin{bmatrix} 0.1361 \\ 0.14797 \end{bmatrix}, \quad FI^{(2)} = \begin{bmatrix} 0.17477 \\ 0.18994 \end{bmatrix}, \quad FI^{(3)} = \begin{bmatrix} 0.22439 \\ 0.24389 \end{bmatrix}, \quad FI^{(4)} = \begin{bmatrix} 0.28813 \\ 0.31315 \end{bmatrix}$$

ماتریس سفتی کل شبیه مثال قبل برای چهار المان است. پس از اعمال شرایط مرزی معادلات زیر بدست می‌آیند:

$$\left. \begin{array}{l} \lambda u_\gamma - \xi u_\gamma = 0.32268 \\ -\xi u_\gamma + \lambda u_\gamma - \xi u_\epsilon = 0.14433 \\ -\xi u_\epsilon + \lambda u_\epsilon = 0.03202 \end{array} \right\} u_\gamma = 0.1405, u_\gamma = 0.2104, u_\epsilon = 0.1717$$

مثال ۱۵. معادله دیفرانسیل زیر را با استفاده از دو المان خطی حل کنید؟

$$\frac{d^2u}{dx^2} + u + x = \cdot \quad \cdot < x < 1 \quad u(\cdot) = u(1) = \cdot$$

$$u(x) = \frac{\sin(x)}{\sin(\gamma)} - x$$

حل دقیق مساله عبارت است از:

حل: در این حالت داریم: $\alpha = -1$, $\beta = 1$, $f(x) = -x$ لذا ماتریس سفتی هر المان عبارت خواهد بود از:

$$[K]^{(e)} = \begin{bmatrix} \frac{-1}{l^{(e)}} + \frac{l^{(e)}}{3} & \frac{1}{l^{(e)}} + \frac{l^{(e)}}{1} \\ \frac{1}{l^{(e)}} + \frac{l^{(e)}}{1} & -\frac{1}{l^{(e)}} + \frac{l^{(e)}}{3} \end{bmatrix}$$

چون $(f(x))$ در داخل المان ثابت نیست باید انتگرال بار داخلی را محاسبه کرد:

$$\begin{aligned} FI_{\gamma}^{(1)} &= \int_{x_1}^{x_2} f(x) N_{\gamma} dx = \int_{x_1}^{x_2} -x \frac{x_{\gamma} - x}{x_{\gamma} - x_1} dx = -\frac{1}{1}(x_{\gamma}^2 + x_1 x_{\gamma} - 2x_1^2) \\ FI_{\gamma}^{(2)} &= \int_{x_1}^{x_2} f(x) N_{\gamma} dx = \int_{x_1}^{x_2} -x \frac{x - x_{\gamma}}{x_{\gamma} - x_1} dx = -\frac{1}{1}(2x_{\gamma}^2 - x_1 x_{\gamma} - x_1^2) \end{aligned}$$

برای دو المان هم طول و $l^{(1)} = l^{(2)} = 0.5$, $x_1 = 0$, $x_{\gamma} = 0.5$, $x_2 = 1$ خواهیم داشت:

$$[K]^{(1)} = [K]^{(2)} = \frac{1}{12} \begin{bmatrix} -22 & 20 \\ 20 & -22 \end{bmatrix}, FI^{(1)} = -\frac{1}{12} \begin{bmatrix} 1 \\ 1 \end{bmatrix}, FI^{(2)} = -\frac{1}{12} \begin{bmatrix} 1 \\ 1 \end{bmatrix}$$

پس از مونتاژ دو المان داریم:

$$\frac{1}{12} \begin{bmatrix} -22 & 20 & \cdot \\ 20 & -22 & \cdot \\ \cdot & \cdot & 20 \end{bmatrix} \begin{Bmatrix} u_1 \\ u_{\gamma} \\ u_2 \end{Bmatrix} = -\frac{1}{12} \begin{Bmatrix} 1 \\ 1 \\ 1 \end{Bmatrix} + \begin{Bmatrix} \tilde{\tau}(x_1) \\ \cdot \\ \tilde{\tau}(x_{\gamma}) \end{Bmatrix}$$

با اعمال شرایط مرزی لازم $u_1 = u_{\gamma} = u_2$ داریم:

$$\frac{1}{12}(-\epsilon \epsilon) u_{\gamma} = -\frac{1}{12}(\gamma) \rightarrow u_{\gamma} = \frac{\gamma}{\epsilon \epsilon} = 0.6877$$

حل دقیق در نقطه $x = 0.5$ برابر 0.697 است.

مسایل:

مساله ۲۴. مساله مرزی دو نقطه‌ای زیر را با استفاده از دو المان خطی حل کنید:

$$-\frac{d^2 u}{dx^2} = 2 \quad , \quad 0 < x < 1 \quad , \quad u(0) = 0 \quad , \quad u'(1) = 1$$

جواب: $a_1 = 2$, $a_{\gamma} = \frac{1}{\epsilon}$, $a_2 = 0$

مساله ۲۵. مساله قبل را به ازای شرایط مرزی نیومن همگن حل نمایید.

$$(u'(0) = u'(1) = 0)$$

مساله ۲۶. معادله دیفرانسیل زیر را با استفاده از سه و چهار المان خطی حل کنید.

$$\frac{d^{\gamma}u}{dx^{\gamma}} + u + x = 0, \quad 0 < x < 1, \quad u(0) = 1, \quad u(1) = 0.$$

مساله ۲۷. معادله دیفرانسیل زیر را در نظر بگیرید:

$$\frac{d}{dx}(x^{\gamma} \frac{du}{dx}) = Cx^{\gamma}$$

با شرایط مرزی C, B, A که $u(a) = A$, $u(b) = B$ باشند. با استفاده از روش گالرکین معادلات عمومی را برای یک المان خطی به دست آورید.

مساله ۲۸. معادلات المان را برای مساله عمومی زیر به دست آورید.

$$\frac{-d^{\gamma}u}{dx^{\gamma}} + \beta u = f, \quad x_a < x < x_b$$

در این رابطه β ثابت هستند. از المان خطی استفاده شود.

مساله ۲۹. معادله دیفرانسیل یک بعدی و شرایط مرزی زیر را در نظر بگیرید:

$$\frac{-d^{\gamma}u}{dx^{\gamma}} + \beta u = f, \quad a < x < b$$

$$\frac{du}{dx}(a) = c_1, \quad \frac{du}{dx}(b) = c_2$$

که c_1, c_2, f, B, A ثابت‌اند. با استفاده از روش گالرکین معادلات المان با دو گره را به دست آورید. نحوه اعمال شرایط مرزی را شرح دهید.

مساله ۳۰. معادله دیفرانسیل زیر را در نظر بگیرید:

$$\frac{d}{dx} \left[(x+1) \frac{du(x)}{dx} \right] = 0, \quad 1 < x < 2$$

با شرایط مرزی $u(1) = 1, u(2) = 2$

(الف) معادلات المان را بدست آورید؛

(ب) حل تقریبی با یک المان را برای تابع شار بدست آورید؛

(ج) شبکه را ریزتر نموده و حل را برای دو و سه المان به دست آورید؛

(د) حل را رسم نموده و همگرایی حل‌های متواالی را مورد بحث قرار دهید.

مساله ۳۱. معادله دیفرانسیل مقابله را در نظر بگیرید:

$$\frac{d}{dx} \left[(x+1) \frac{du(x)}{dx} \right] = 0, \quad 1 < x < 2$$

با شرایط مرزی $u(1) = 1$ $u(2) = 2$

الف) معادلات المان را بدست آورید؛

ب) حل تقریبی را با یک المان بدست آورید؛

ج) با ریزتر کردن شبکه، حل را برای دو، سه و چهار المان بدست آورید؛

د) حل‌ها را رسم نموده و پیرامون همگرایی حل‌های تقریبی بحث نمایید.

مسئله ۳۲. شکل انتگرالی معادلات المان را برای معادله دیفرانسیل زیر به دست آورید.

$$-\frac{d}{dx} \left[(1+x) \frac{du}{dx} \right] = f \quad . < x < 1$$

شرایط مرزی عبارتند از:

مسئله ۳۳. مسئله قبل را به ازای $f = x^2$ با استفاده از دو المان خطی حل کنید.

مسئله ۳۴. معادله دیفرانسیل زیر را با استفاده از دو و چهار المان خطی حل کنید.

$$-\frac{d^2u}{dx^2} + u = f(x) \quad . < x < 0, \quad u(0) = 1, \quad u(5) = 0$$

$$f(x) = -x^2 + 2x^2 + x - 12$$

حل دقیق مسئله عبارت است از:

$$\begin{aligned} u(x) &= C_1 e^x + C_2 e^{-x} - x(x-1)(x-5) \\ \tau(x) &= -C_1 e^x + C_2 e^{-x} + 2x^2 - 12x + 5 \\ C_1 &= 1, \quad C_2 = (10 + \frac{1 \cdot e^{-5}}{e^0 + e^{-5}}) \end{aligned}$$

مسئله ۳۵. مسئله توصیف شده با معادله دیفرانسیل و شرایط مرزی زیر را در نظر بگیرید:

$$\begin{aligned} \frac{d}{dx} \left[x \frac{du(x)}{dx} \right] &= \frac{x}{x^2} \quad 1 < x < 2 \\ u(1) &= 2, \quad \left[x \frac{du(x)}{dx} \right]_{x=1} = 0.5 \end{aligned}$$

حل تقریبی مسئله را با استفاده از یک، دو، چهار و هشت المان خطی به دست آورید. همگرایی جوابها را با

ظریفتر کردن شبکه مورد بررسی و بحث قرار دهید.

۴-۹- مسایل مقدار مرزی یک بعدی: المان‌های مرتبه بالاتر

المان C^0 مرتبه دو (شیوه مستقیم)

در قسمت قبل، هرتابع شکل یک چندجمله‌ای خطی بود که مقدار آن در یک گره ۱ و در گره‌های دیگر صفر بود. چون یک چندجمله‌ای درجه دو دارای سه جمله است ($a + bx + cx^2$), لذا برای تعریف چنین چندجمله‌ای، سه گره نیاز است. بر این اساس حل آزمایشی زیر انتخاب می‌شود.

$$\tilde{u}^{(e)} = \alpha_1 + \alpha_r x + \alpha_{r^2} x^2 = \sum_{j=1}^r u_j N_j^{(e)} = u_1 N_1^{(e)} + u_r N_r^{(e)} + u_{r^2} N_{r^2}^{(e)} \quad (V2-4)$$

یا u_1, u_r, u_{r^2} درجات آزادی المان هستند. توابع شکل دارای خاصیت $N_i^{(e)}(x_j) = \delta_{ij}$ هستند و عبارتندان: (چندجمله‌ای‌های درجه دوم درونیاب لاغرانژ)

$$\begin{aligned} N_1^{(e)} &= \frac{(x - x_1^{(e)})(x - x_r^{(e)})}{(x_1^{(e)} - x_r^{(e)})(x_1^{(e)} - x_{r^2}^{(e)})} \\ N_r^{(e)} &= \frac{(x - x_1^{(e)})(x - x_{r^2}^{(e)})}{(x_r^{(e)} - x_1^{(e)})(x_r^{(e)} - x_{r^2}^{(e)})} \\ N_{r^2}^{(e)} &= \frac{(x - x_r^{(e)})(x - x_{r^2}^{(e)})}{(x_{r^2}^{(e)} - x_1^{(e)})(x_{r^2}^{(e)} - x_r^{(e)})} \end{aligned} \quad (V3-4)$$

اگر مجددا فرض شود که خواص فیزیکی و بارهای واردہ ثابت‌اند؛ یعنی

$$\alpha(x) = \alpha^{(e)} \text{ و } \beta(x) = \beta^{(e)} \text{ و } f(x) = f^{(e)} \quad (V4-4)$$

معادلات المان در نهایت به شکل زیر خواهد بود □

$$\begin{aligned} \left[\begin{array}{c} \frac{\alpha r r^2 + 1}{rl} + \frac{\beta l \cdot r^2 - or + 1}{r^2} \\ \frac{\alpha}{rl} \frac{1}{r^2(1-r)} + \frac{\beta l \cdot or - r}{r \cdot r^2(1-r)} \\ \frac{\alpha}{rlr^2(1-r)^2} + \frac{\beta l \cdot 1}{r^2r^2(1-r)^2} \\ \frac{\alpha}{rl} \frac{1}{(1-r)^2} + \frac{\beta l \cdot or - r}{r \cdot (1-r)^2} \end{array} \right]^{(e)} \\ \times \begin{bmatrix} u_1 \\ u_r \\ u_{r^2} \end{bmatrix} = \begin{bmatrix} \frac{fl rr - 1}{r} \\ \frac{fl}{r(1-r)} \\ \frac{fl r - rr}{r^2(1-r)} \\ \frac{fl}{1-r} \end{bmatrix}^{(e)} + \begin{bmatrix} \tilde{t}^{(1)} \\ \tilde{t}^{(r)} \end{bmatrix}^{(e)} \\ r = \frac{x_r^{(e)} - x_1^{(e)}}{l}, \quad l = x_r^{(e)} - x_1^{(e)} \end{aligned} \quad (V5-4)$$

اگر گردهای میانی به سمت گردهای انتهایی نزدیک شود r به سمت صفر یا یک نزدیکتر شده و بعضی از جملات ماتریس سفتی یا بار بی‌نهایت می‌شوند. بنابراین بهترین حالت وقتی است که گردهای میانی وسط دو گرده انتهایی باشد. اگر $r = \frac{1}{\gamma}$ باشد داریم:

$$\begin{bmatrix} \frac{\gamma a}{\gamma l} + \frac{i\beta l}{\gamma} & -\frac{\gamma a}{\gamma l} + \frac{i\beta l}{\gamma} & \frac{a}{\gamma l} - \frac{\beta l}{\gamma} \\ \frac{\gamma a^e}{\gamma l} + \frac{i\beta^e l}{\gamma} & -\frac{\gamma a}{\gamma l} + \frac{i\beta l}{\gamma} \\ sym. & \frac{\gamma a}{\gamma l} + \frac{i\beta l}{\gamma} \end{bmatrix}^{(e)} \begin{bmatrix} u_1 \\ u_\gamma \\ u_{\gamma^e} \end{bmatrix} = \begin{bmatrix} \frac{fl}{\gamma} \\ \frac{\epsilon fl}{\gamma} \\ \frac{fl}{\gamma} \end{bmatrix}^{(e)} + \begin{bmatrix} \tilde{t}^{(\gamma)} \\ \cdot \\ \tilde{t}^{(\gamma^e)} \end{bmatrix}^{(e)} \quad (76-4)$$

$$\begin{aligned} \tilde{t}^{(e)} &= -u \frac{d\tilde{u}^{(e)}}{dx} \\ &= -\alpha \sum_{j=1}^r u_j \frac{dN_j^{(e)}}{dx} = -\alpha [u_1 \frac{\gamma x - x_1^{(e)} - x_\gamma^{(e)}}{(x_1^{(e)} - x_\gamma^{(e)})(x_1^{(e)} - x_r^{(e)})} \\ &\quad + u_\gamma \frac{\gamma x - x_1^{(e)} - x_r^{(e)}}{(x_r^{(e)} - x_1^{(e)})(x_r^{(e)} - x_\gamma^{(e)})} + u_r \frac{\gamma x - x_\gamma^{(e)} - x_r^{(e)}}{(x_r^{(e)} - x_\gamma^{(e)})(x_r^{(e)} - x_1^{(e)})}] \end{aligned} \quad (77-4)$$

مثال ۱۶. مساله مقدار مرزی دونقطه‌ای زیر را در نظر بگیرید:

$$-\frac{d^2u}{dx^2} = 2, \quad 0 < x < 1, \quad u(0) = u'(0) = 0.$$

مساله را برای یک المان مرتبه دو حل کنید. حل دقیق این مساله به صورت $u(x) = 2x - x^2$ است. چون $\alpha = 0$, $\beta = 2$, $f(x) = 0$ با فرض وسط بودن گرده دو داریم:

$$\begin{bmatrix} \frac{\gamma}{\gamma l} & -\frac{\gamma}{\gamma l} & \frac{1}{\gamma l} \\ \frac{\gamma}{\gamma l} & -\frac{\gamma}{\gamma l} & \frac{1}{\gamma l} \\ sym. & \frac{\gamma}{\gamma l} & \frac{1}{\gamma l} \end{bmatrix} \begin{bmatrix} u_1 \\ u_\gamma \\ u_{\gamma^e} \end{bmatrix} = \begin{bmatrix} \frac{1}{\gamma l} \\ \frac{\epsilon}{\gamma l} \\ \frac{1}{\gamma l} \end{bmatrix} + \begin{bmatrix} \tilde{t}^{(\gamma)} \\ \cdot \\ \tilde{t}^{(\gamma^e)} \end{bmatrix}$$

پس از اعمال شرایط مرزی داریم:

$$\frac{1}{\gamma} u_\gamma - \frac{\gamma}{\gamma} u_{\gamma^e} = \frac{\epsilon}{\gamma}, \quad -\frac{\gamma}{\gamma} u_\gamma + \frac{\gamma}{\gamma} u_{\gamma^e} = \frac{1}{\gamma}$$

لذا جواب به صورت زیر می‌باشد که بر حل حقیقی منطبق است:

$$u_\gamma = \frac{3}{\epsilon}, \quad u_{\gamma^e} = 1, \quad \tilde{u}(x) = 2x - x^2$$

مسئله ۳۶. شبکه‌ای متشكل از دو المان در نظر بگیرید. یک المان خطی C^0 و المان دیگر مرتبه دو C^1 است. الف) معادلات سیستم را با استفاده از نمادگذاری $k_{ij}^{(e)}$ و $F_i^{(e)}$ به شکل ماتریسی بنویسید. (ب) هرکدام از توابع شکل مونتاژ شده را رسم کنید. فرض می‌شود که گردهای ۳ در مرکز المان مرتبه دو واقع است.

مسئله ۳۷. برای المان مرتبه دو فرض می‌شود که $x_1 = -1, x_2 = 0, x_3 = 1$. با استفاده از نتایج داده شده توابع شکل را برای این المان استخراج کنید.

مسئله ۳۸. ماتریس سفتی را برای المان به طول $2l$ و مختصات گره $(l, 0, -l)$ استخراج کنید.

مسئله ۳۹. برای المان معرفی شده در مسائل ۳۷ و ۳۸ ماتریس بار را که نیروهای واردہ به هر گره ناشی از نیروی حجمی تعریف می‌کند به دست آورید. نیروی حجمی بر واحد حجم است.

۴-۱۰ معادله دیفرانسیل حاکم بر میله الاستیک تحت بار محوری

میله شکل ۴-۳۳ را در نظر بگیرید. هرگاه:

\bar{t} : نیرو بر واحد سطح واردہ در $x=0$

ϵ : جایه جایی محوری نقاط داخلی میله

ϵ : کرنش هر نقطه

نیروی حجمی σ بر واحد طول

باشد به دنبال تعیین توزیع تنش (σ) در میله هستیم. در این حالت شرایط تعادل نیروها در راستای x

عبارتند از:

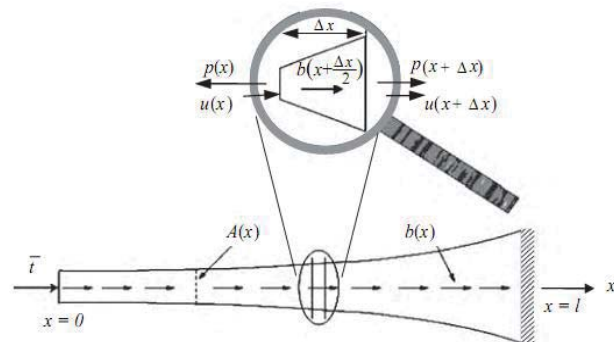
$$-P(x) + b(x + \frac{\Delta x}{2})\Delta x + P(x + \Delta x) = . \quad (78-4)$$

و یا

$$\frac{P(x+\Delta x)-P(x)}{\Delta x} + b(x + \frac{\Delta x}{2}) = . \quad (79-4)$$

هر گاه Δx به صفر میل کند، خواهیم داشت:

$$\frac{dP(x)}{dx} + b(x) = . \quad (80-4)$$



شکل ۴-۳۳ مسئله تحلیل تنش تک محوری

چون $\sigma(x) = E\epsilon(x) = \frac{du}{dx}$ و طبق قانون هوک $\sigma(x) = E\epsilon(x)$ با جایگذاری این روابط در معادله (۴-۰۰) داریم:

$$\frac{d}{dx}(\sigma(x)A(x)) + b(x) = \frac{d}{dx}(EA\frac{du}{dx}) + b = . \quad . < x < l \quad (4-۱)$$

بنابراین شکل قوی معادلات حاکم بر این مساله (معادله دیفرانسیل حاکم بعلاوه شرایط مرزی) عبارتند از:

$$-\frac{d}{dx}(EA\frac{du}{dx}) = b \quad . < x < l \quad (4-۲)$$

شرایط مرزی طبیعی (□□□□□):

$$\sigma(\cdot) = (EA\frac{du}{dx})_{x=0} = \frac{P(\cdot)}{A(\cdot)} = -\bar{\epsilon} \quad (4-۳)$$

شرط مرزی لازم (□□□□□):

$$u(l) = \bar{u} \quad (4-۴)$$

ترکشن ($\bar{\epsilon}$) همان واحد تنש را دارد اما زمانی مثبت است که در جهت مثبت محور x ها عمل کند (صرف نظر از این که روی کدام وجه اثر کند). در حالی که تنش زمانی مثبت خواهد بود که کششی باشد. بنابراین روی وجه منفی میله تنش مثبت متناظر ترکشن منفی است. باید دقیق کرد که بار یا جابجایی را می‌توان در هر نقطه مرزی مشخص کرد ولی هر دو را نمی‌توان در یک نقطه معرفی کرد.

همان طوری که از معادلات بالا ملاحظه می‌شود حالت خاصی از معادله عمومی یک بعدی هستند. در این حالت $\alpha = 0$ و $\beta = 0$ می‌باشند. از جایگذاری این مقادیر در روابط ماتریس‌های سفتی و بار المانی می‌توان کمیات موردنظر را محاسبه کرد و پس از طی مراحل روش المان محدود پیش‌گفته مسایل را حل کرد.

مثال ۱۷. جابجایی‌ها و تنش القا شده در سیستم دو میله‌ای نشان داده شده در شکل ۴-۳۴ را بیابید. فرض

$$A^{(1)} = 2cm^r, A^{(2)} = 1cm^r, l^{(1)} = l^{(2)} = 1 \cdot cm, E^{(1)} = E^{(2)} = 2 \times 10^7 kg/cm^r, F_r = 1 kg$$

$$[K]^{(1)} = \frac{A^{(1)}E^{(1)}}{l^{(1)}} \begin{bmatrix} 1 & -1 \\ -1 & 1 \end{bmatrix} = 2 \times 10^7 \begin{bmatrix} 1 & -1 \\ -1 & 1 \end{bmatrix},$$

$$[K]^{(2)} = \frac{A^{(2)}E^{(2)}}{l^{(2)}} \begin{bmatrix} 1 & -1 \\ -1 & 1 \end{bmatrix} = 2 \times 10^7 \begin{bmatrix} 1 & -1 \\ -1 & 1 \end{bmatrix}$$

$$[K] = 2 \times 10^7 \begin{bmatrix} 2 & -2 & \cdot \\ -2 & 2 & -1 \\ \cdot & -1 & 1 \end{bmatrix}, [F] = \begin{bmatrix} R_1 \\ \cdot \\ \cdot \end{bmatrix}$$



شکل ۴-۳۴

شرط مرزی لازم $u_r = 0$ است. بنابراین با حل معادلات سیستم داریم:

$$u_r = 0, 20 \times 10^{-2} cm,$$

$$u_r = 0, 50 \times 10^{-2} cm$$

و خواهیم داشت:

$$\tilde{u}^{(1)} = u_x N_1^{(1)} + u_r N_1^{(r)} = 0, 20 \times 10^{-2} (x - 10)$$

$$\tilde{u}^{(r)} = u_x N_r^{(1)} + u_r N_r^{(r)} = 0, 20 \times 10^{-2} (20 - x) + 0, 50 \times 10^{-2} (x - 10)$$

کرنش در المان‌ها عبارتند از:

$$\varepsilon^{(1)} = \frac{d\tilde{u}^{(1)}}{dx} = 0, 20 \times 10^{-3}, \quad \varepsilon^{(r)} = \frac{d\tilde{u}^{(r)}}{dx} = 0, 5 \times 10^{-3}$$

و تنش ها برابرند با:

$$\sigma^{(1)} = E^{(1)} \varepsilon^{(1)} = 2 \times 10^{11} \times 0, 20 \times 10^{-3} = 0, 4 kg/cm^2$$

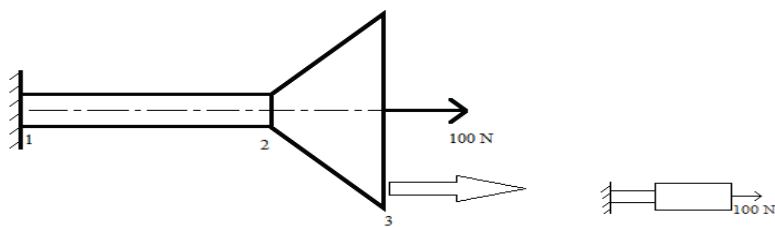
$$\sigma^{(r)} = E^{(r)} \varepsilon^{(r)} = 2 \times 10^{11} \times 0, 5 \times 10^{-3} = 1 kg/cm^2$$

عکس العمل‌های تکیه‌گاهی در گره (1) از اولین معادله سیستم محاسبه می‌شود:

$$1 \times 10^3 (2 \times u_1 - 1 \times u_r + 0 \times u_r) = R_1 \Rightarrow R_1 = -1 kg$$

مثال ۱۸. سازه میله‌ای شکل ۳۵-۴ را در نظر بگیرید. با استفاده از دو خطی تغییر مکان، کرنش و تنش را در هر میله به دست آورید. داریم:

$$l^{(1)} = 100 cm, \quad l^{(r)} = 100 cm, \quad F_r = 100 N, \quad A_1 = A_r = 1 cm^2, \quad A_r = 4 cm^2, \quad E^{(1)} = E^{(r)} = E$$



شکل ۳۵-۴

$$A^{(r)} = \frac{A_r + A_s}{r} = 0$$

$$[K]^r = \frac{A^{(r)} E^{(r)}}{l^{(r)}} \begin{bmatrix} 1 & -1 \\ -1 & 1 \end{bmatrix}$$

$$[K] = E \begin{bmatrix} \frac{1}{120} & \frac{-1}{120} & \cdot \\ \frac{-1}{120} & \frac{1}{120} + \frac{1}{170} & \frac{-1}{170} \\ \cdot & \frac{-1}{170} & \frac{1}{170} \end{bmatrix}$$

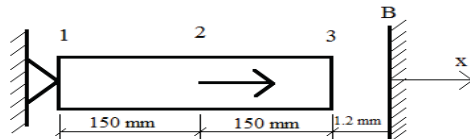
پس معادلات سیستم عبارتند از:

$$E \begin{bmatrix} \frac{1}{120} & \frac{-1}{120} & \cdot \\ \frac{-1}{120} & \frac{1}{120} + \frac{1}{170} & \frac{-1}{170} \\ \cdot & \frac{-1}{170} & \frac{1}{170} \end{bmatrix} \begin{bmatrix} u_1 \\ u_2 \\ u_3 \end{bmatrix} = \begin{bmatrix} R_1 \\ R_2 \\ R_3 \end{bmatrix}$$

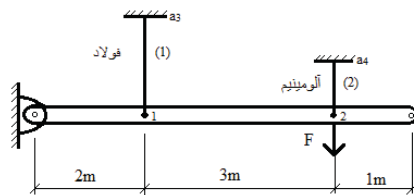
مثال ۱۹. در شکل ۳۶-۴ نیروی $F=700 KN$ به گرده وارد می‌شود. میزان تغییر مکان، تنش و عکس العمل های تکیه‌گاهی را در میله بددست آورید. فرض کنید.

$$E=20 \times 10^3 N/mm^2$$

در این مساله، نخست باید مشخص شود که آیا تماسی بین میله و دیوار وجود دارد یا خیر. برای این منظور فرض می‌شود دیوار وجود ندارد. حل مساله $u_B=1.8mm$ می‌شود که به معنای وجود تماس است. لذا شرایط مرزی لازم در این حالت عبارتند از: $u_1=0, u_2=1.2mm$. ماتریس‌های سفتی و بار سیستم برابرند با:



شکل ۳۶-۴



شکل ۳۷-۴

$$\begin{bmatrix} R_1 \\ R_2 \end{bmatrix} = \frac{1 - \epsilon}{1 + \epsilon} \begin{bmatrix} 1 & -1 & 0 \\ -1 & 2 & -1 \\ 0 & -1 & 1 \end{bmatrix} \begin{bmatrix} F_1 \\ F_2 \\ F_3 \end{bmatrix}$$

دراین حالت، بحسب آمده و مقادیر تنش برابر با $\sigma_1 = 200 Mpa$ و $\sigma_2 = 240 Mpa$ و عکس العملهای تکیه گاهی عبارتند از: $u_1 = 0.005 m$ و $u_2 = 0.004 m$.

مثال ۲۰. سازه شکل زیر را در نظر بگیرید. میله صلب با جرم قابل صرفنظر کردن در یک انتهای لولا شده و به دو میله آلومینیمی و فولادی متصل است. بار $F = 20 KN$ مطابق شکل اعمال می‌شود. الف) سازه را با استفاده از دو المان مدل کنید و شرایط مرزی را بنویسید. ب) مساله را برای تغییر شکل حل نموده و تنش را در هر المان بحسب آورید.

$$A^{(1)} = 1200 \text{ mm}^2, E^{(1)} = 200 \text{ GPa}, l^{(1)} = 1.0 \text{ m}, A^{(2)} = 900 \text{ mm}^2, E^{(2)} = 160 \text{ GPa}, l^{(2)} = 0.7 \text{ m}$$

شرایط مرزی در گرههای ۳ و ۴ عبارتند از $u_3 = u_4 = 0$ چون میله صلب باید مستقیم بماند، لذا رابطه $u_1 = u_2 = 0$ بین تغییر مکانهای u_1 و u_2 وجود دارد و مستقل از هم نیستند. این رابطه را یک قید چند نقطه‌ای می‌نامند (multipoint constraint). ماتریس‌های سفتی المانها و سیستم عبارتند از:

$$[K]^{(1)} = \frac{1200 \times 1.0^2 \times 1200}{4.5 \times 1.0} \begin{bmatrix} 1 & -1 & 0 \\ -1 & 1 & 0 \\ 0 & 0 & 0 \end{bmatrix}$$

$$[K]^{(2)} = \frac{900 \times 1.0^2 \times 900}{2 \times 1.0} \begin{bmatrix} 1 & -1 & 0 \\ -1 & 1 & 0 \\ 0 & 0 & 0 \end{bmatrix}$$

$$[K] = [K]^{(1)} + [K]^{(2)} = \begin{bmatrix} 52.23 & -52.23 & 0 & 0 \\ -52.23 & 52.23 & 0 & 0 \\ 0 & 0 & 16.67 & -16.67 \\ 0 & 0 & -16.67 & 16.67 \end{bmatrix}$$

بردار بار عبارت است از $[F] = [0.3 \cdot 10^3 \quad 0 \quad 0]^T$. حل مساله پس از اعمال شرایط مرزی عبارت است از

$$[\bar{a}] = [0.4206 \quad 1.0517 \quad 0 \quad 0]^T \text{ mm}$$

تنش های المان برابرند با:

$$\sigma_1 = 200 \times \frac{1.0 \cdot 420.6 \times 10^{-3}}{4.5} = 18,793 \text{ MPa}$$

$$\sigma_2 = 24,000 \text{ MPa}$$

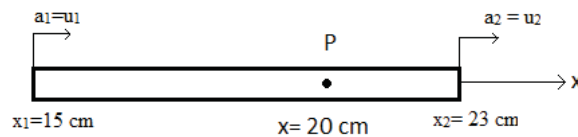
مسایل

مساله ۴۰. میله شکل ۳۸-۴ را در نظر بگیرید. مساحت سطح مقطع $A = 1,2 \text{ cm}^2$ و مدول یانگ $E = 200 \text{ GPa}$ می باشد. اگر $u_1 = 0,2 \text{ cm}$ و $u_2 = 0,25 \text{ cm}$ باشند، مطلوب است: (الف) جابجایی نقطه P (ب) تنش و کرنش در میله (ج) ماتریس سفتی سیستم (د) انرژی کرنشی در میله.

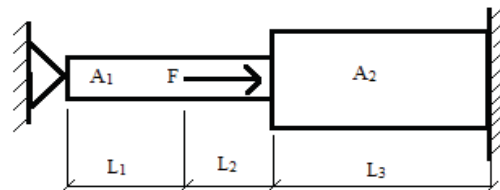
مساله ۴۱. سیستمی مشکل از میله های شکل ۳۹-۴ را در نظر بگیرید. جابجایی های گرهی، تنش در میله ها و عکس العمل های تکیه گاهی را بدست آورید. داریم:
 $A_y = 4 \text{ mm}^2$, $A_z = 25 \text{ mm}^2$, $L_y = L_z = 10 \text{ mm}$, $E = 200 \text{ GPa}$, $F = 300 \text{ KN}$,
 $L_y = 20 \text{ cm}$

مساله ۴۲. برای شکل ۴۰-۴، جابجایی های گرهی، تنش های المانی و عکس العمل های تکیه گاهی را محاسبه کنید.

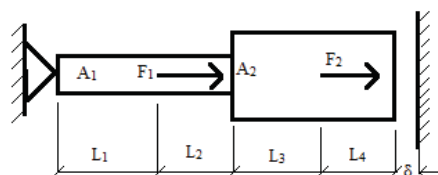
$$L_y = L_z = 10 \text{ mm}, L_i = 20 \text{ mm}, F_y = 300 \text{ KN}, F_z = 600 \text{ KN}, A_y = 25 \text{ mm}^2, A_z = 4 \text{ mm}^2, \delta = 2,0 \text{ mm}$$



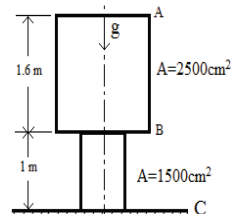
شکل ۳۸-۴



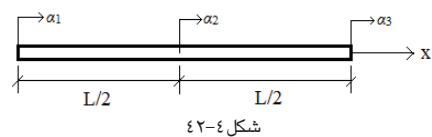
شکل ۳۹-۴



شکل ۴۰-۴



شکل ۴-۱



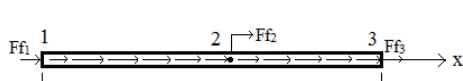
شکل ۴-۲

مساله ۴۳. برای میله عمودی شکل ۴-۱، تغییر مکان در A و توزیع تنش را بیابید. فرض کنید $E=100 \text{ Mpa}$ و وزن بر واحد حجم برابر $\frac{N}{cm^3} = 600$ است. پیرامون توزیع تنش بحث کنید.

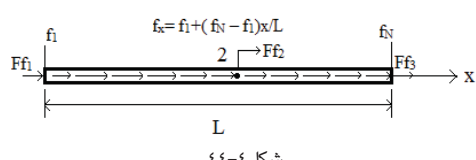
مساله ۴۴. ماتریس سفتی را برای المان میله شکل ۴-۲ با تابع تغییر مکان آزمایشی مرتبه دو ثابت است. $\tilde{u} = \alpha_1 + \alpha_2 x + \alpha_3 x^2$ بیابید. فرض شود که EA ثابت است.

$$[K]^{(e)} = \frac{EA}{L} \begin{bmatrix} 4 & -2 & 1 \\ -2 & 4 & -2 \\ 1 & -2 & 1 \end{bmatrix} \quad \text{جواب:}$$

مساله ۴۵. برای میله المان مساله قبل، بارهای گرهی معادل ناشی از نیروی محوری گستردگی یکنواخت f_x بر واحد طول را پیدا کنید. (شکل ۴-۳).
جواب: $F_f = \frac{f_x L}{3} [1 \quad 4 \quad 1]^T$



شکل ۴-۳



شکل ۴-۴

مساله ۴۶. اگر نیروی گستردۀ مساله قبل درامتداد طول میله بصورت خطی تغییر کند، شکل ۴-۴ بارهای گرهی معادل ناشی از این بارگذاری را بباید.

$$Ff = \frac{L}{\gamma} [f_1 - 2f_2 + 2f_3 - f_4]^T \quad \text{جواب:}$$

۴-۱۱ اثرات حرارت

تغییرات درجه حرارت در یک تیراستیک موجب القای تنش می‌شود که به آن تنش حرارتی می‌گویند. اگر توزیع درجه حرارت در جسم معلوم باشد آنگاه کرنش حرارتی به صورت کرنش اولیه (ε_e) از رابطه زیر به دست می‌آید:

$$\varepsilon_e = \alpha \Delta T \quad (85-4)$$

که α ضریب انبساط حرارتی و ΔT اختلاف درجه حرارت هستند. قانون حاکم بر تنش و کرنش به صورت زیر خواهد بود:

$$\sigma = E(\varepsilon - \varepsilon_e) = E \frac{du}{dx} - E\alpha \Delta T \quad (86-4)$$

از قراردادن رابطه بالا در معادله تعادل، معادله دیفرانسیل حاکم به دست می‌آید:

$$-\frac{d}{dx} \left[\left(\frac{Edu}{dx} - EA\varepsilon_e \right) A \right] = fA \quad (87-4)$$

و یا

$$-\frac{d}{dx} (EA \frac{du}{dx}) = fA - \frac{d}{dx} (EA\varepsilon_e) \quad (88-4)$$

مقایسه معادله (۸۷) با معادله عمومی نشان می‌دهد که فقط جمله $-\frac{d}{dx} (EA\varepsilon_e)$ به معادله دیفرانسیل حاکم بر میله‌استیک اضافه شده است. بنابراین باید مشارکت جمله اضافی را در معادلات المانها محاسبه نمود.

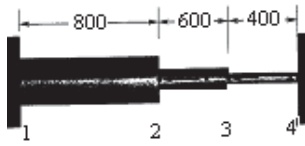
$$-\int_{x_i}^{x_r} \frac{d}{dx} (EA\varepsilon_e) N_i dx = \int_{x_i}^{x_r} (EA\varepsilon_e) \frac{dN_i}{dx} dx - (EA\varepsilon_e N_i)^{(e)} \quad (89-4)$$

اولین جمله سمت راست معادله بالا بصورت زیر نوشته می‌شود:

$$FT_\gamma = \int_{x_i}^{x_r} (EA\varepsilon_e) \left(\frac{-1}{l^{(e)}} \right) dx = -(EA\varepsilon_e) \quad (90-4)$$

بار داخلی بوجود آمده در اثر تغییر درجه حرارت

$$FT_\gamma = \int_{x_i}^{x_r} (EA\varepsilon_e) \left(\frac{1}{l^{(e)}} \right) dx = (EA\varepsilon_e) \quad (91-4)$$



شکل ۴-۴

دومین جمله، بار حرارتی وارد بر گره‌های ۱ و ۲ به ترتیب برابر ($-EA\varepsilon_e$) است که قاعدها صفر فرض می‌شود. به این ترتیب معادلات جبری برای یک المان خطی میله‌الاستیک تحت بار حرارتی عبارت است از:

$$\frac{A^{(e)}E^{(e)}}{l} \begin{bmatrix} 1 & -1 \\ -1 & 1 \end{bmatrix} \begin{bmatrix} u_1 \\ u_2 \end{bmatrix} = \begin{bmatrix} \frac{f_{Al}}{\gamma} \\ \frac{f_{Al}}{\gamma} \end{bmatrix} + \begin{bmatrix} T_1 \\ T_2 \end{bmatrix} + A^{(e)}E^{(e)}\varepsilon_e \begin{bmatrix} -1 \\ 1 \end{bmatrix} \quad (4-92)$$

مثال ۲-۱: سازه‌ای متشکل از سه میله متفاوت طبق شکل ۴-۵ در معرض افزایش دمای $c = 80^\circ$ قرار گرفته است. تغییر مکان، تنشها و عکس العمل‌های تکیه‌گاهی را محاسبه کنید.

$$\begin{aligned} A^{(1)} &= 14 \times 10^6 \text{ mm}^2, A^{(2)} = 12 \times 10^6 \text{ mm}^2, A^{(3)} = 10 \times 10^6 \text{ mm}^2, F_r = -10 \text{ KN}, \\ F_r &= -10 \text{ KN}, E^1 = 200 \text{ GPa}, E^2 = 180 \text{ GPa}, E^3 = 150 \text{ GPa} \\ \alpha^{(1)} &= 12 \times 10^{-6} \text{ }^\circ\text{C}^{-1}, \alpha^{(2)} = 18 \times 10^{-6} \text{ }^\circ\text{C}^{-1}, \alpha^{(3)} = 22 \times 10^{-6} \text{ }^\circ\text{C}^{-1} \end{aligned}$$

ماتریس‌های سفتی المان‌ها:

$$[K]^{(1)} = k^{(1)} \begin{bmatrix} 1 & -1 \\ -1 & 1 \end{bmatrix}, [K]^{(2)} = k^{(2)} \begin{bmatrix} 1 & -1 \\ -1 & 1 \end{bmatrix}, [K]^{(3)} = k^{(3)} \begin{bmatrix} 1 & -1 \\ -1 & 1 \end{bmatrix}$$

ماتریس‌های بار المان‌ها:

$$[F]^{(1)} = \begin{bmatrix} -E^{(1)}\alpha^{(1)}\Delta T A^{(1)} \\ E^{(1)}\alpha^{(1)}\Delta T A^{(1)} \end{bmatrix}, [F]^{(2)} = \begin{bmatrix} -E^{(2)}\alpha^{(2)}\Delta T A^{(2)} \\ E^{(2)}\alpha^{(2)}\Delta T A^{(2)} \end{bmatrix}, [F]^{(3)} = \begin{bmatrix} -E^{(3)}\alpha^{(3)}\Delta T A^{(3)} \\ E^{(3)}\alpha^{(3)}\Delta T A^{(3)} \end{bmatrix}$$

ماتریس سفتی و بار سیستم:

$$[K] = \begin{bmatrix} k^{(1)} & -k^{(1)} & & \\ -k^{(1)} & k^{(1)} + k^{(2)} & -k^{(2)} & \\ & -k^{(2)} & k^{(2)} + k^{(3)} & -k^{(3)} \\ & & -k^{(3)} & k^{(3)} \end{bmatrix},$$

$$[F] = \begin{bmatrix} -E^{(1)}\alpha^{(1)}\Delta T A^{(1)} - E^{(2)}\alpha^{(2)}\Delta T A^{(2)} - F_r \\ E^{(2)}\alpha^{(2)}\Delta T A^{(2)} - E^{(3)}\alpha^{(3)}\Delta T A^{(3)} - F_r \\ E^{(3)}\alpha^{(3)}\Delta T A^{(3)} \end{bmatrix}$$

$$\begin{bmatrix} 249 & -249 & \cdot & \cdot \\ -249 & 289 & -140 & \cdot \\ \cdot & -140 & 440 & 200 \\ \cdot & \cdot & -200 & 200 \end{bmatrix} \begin{bmatrix} \cdot \\ u_r \\ u_t \\ \cdot \end{bmatrix} = \begin{bmatrix} -3012 \\ 861 \\ -327 \\ 1122 \end{bmatrix} + \begin{bmatrix} R_1 \\ \vdots \\ R_t \end{bmatrix} \rightarrow \begin{array}{l} u_r = 0.221 \\ u_t = -0.004 \end{array}$$

کرنش‌ها و نیروهای عکس العمل تکیه گاهی عبارتند:

$$\varepsilon^{(e)} = \frac{d\tilde{u}}{dx} - \alpha^e \Delta T \rightarrow$$

$$\varepsilon^{(r)} = -0.92 \times 10^{-7}, \varepsilon^{(t)} = -2.22 \times 10^{-7}, \varepsilon^{(l)} = -1.24 \times 10^{-7}$$

تنش‌ها عبارتند:

$$\begin{aligned} \sigma^{(r)} &= -180.17 Mpa, \\ \sigma^{(t)} &= -150.18 Mpa, \\ \sigma^{(l)} &= -1.2.04 Mpa \\ R_r &= 241.171 KN, \\ R_t &= -111.1 KN, \end{aligned}$$

برنامه APDL مثال بالا به شرح زیر است.

```
/PREPV
ANTYPE,STATIC
ET,1,LINK1
R,1,2400
R,2,2000
R,3,600
MP,EX,1.87E-7
MP,ALPX,1.18.9E-6
MP,EX,2.7.0E-7
MP,ALPX,2.7.2E-6
MP,EX,3.7.0E-7
MP,ALPX,3.11.7E-6
TREF,25
N,1
N,2,800
N,3,1400
N,4,1800
E,1,2
MAT,2
REAL,2
E,2,3
MAT,3
REAL,3
```

```

E,*,*
D,*,ALL
D,*,ALL
F,*,FX,-*,E*
F,*,FX,-*,E*
BFUNIF,TEMP,105
FINISH
/SOLU
SOLVE
FINISH
/POST1
PRNSOL,U,X
PRRSOL
ETABLE,STSX,LS,1
ETABLE,STRX,LEPEL,1           !STSX=STRESSES
PRETAB,STSX                   !STRX=STRAINS
PRETAB,STRX
FINISH

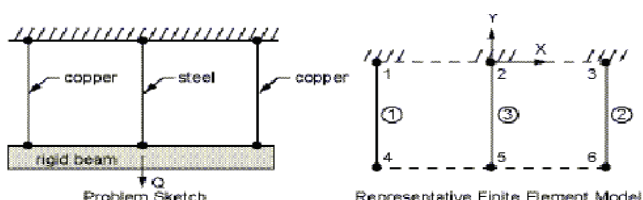
```

مثال ۲۲. تنش در سیم‌های فولادی و مسی سازه شکل ۴-۶ را پیدا کنید. سیم‌ها دارای مساحت سطح مقطع $A = 0.01 \text{ in}^2$ بوده و بعد از مونتاژ تحت نیروی $Q = 400 \text{ lb}$ و افزایش درجه حرارتی معادل $\Delta T = 10^\circ\text{F}$ قرار گرفته‌اند. برنامه APDL معادل را بنویسید.

$$E_c = 16 \times 10^6 \text{ psi}$$

$$\alpha_c = 12 \times 10^{-6} \frac{\text{in}}{\text{in}^\circ\text{F}}, \quad E_s = 30 \times 10^6 \text{ psi}, \quad \alpha_s = 10 \times 10^{-6} \frac{\text{in}}{\text{in}^\circ\text{F}}$$

طول سیم‌ها 20 in و فاصله آنها از هم 10 in و دمای مرجع $T_{ref} = 70^\circ\text{F}$ وده است. تیر صلب پائینی با کوپلینگ گره‌ها مدل می‌شود.



شکل ۴-۶

```

/PREP1
ANTYPE,STATIC
ET,*,LINK1
R,*,*,1
MP,EX,1.16E6
MP,ALPX,1.17E-6

```

```

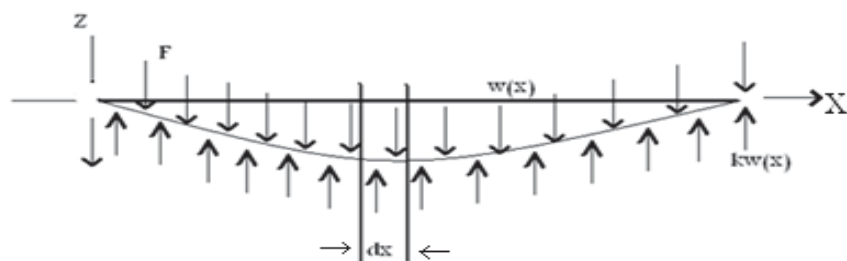
MP,EX,1,3,E6
MP,ALPX,1,V,E-V
TREF,V
N,1,-1,
N,2,1,
FILL
N,3,-1,-2,
N,4,1,-2,
FILL
E,1,2
E,3,6
MAT,V
E,7,5
CP,1,UY,5,4 !coupling of nodes
D,1,ALL,,3 !boundary conditions and loading
F,1,FY,-4...
BFUNIF,TEMP,A.      !uniform temperature (TREF+1.)
FINISH
/SOLV
OUTPR,BASIC,1
OUTPR,NLOAD,1
NSUBST,1
SOLVE
FINISH
/POST1
ETABLE,STRS,LS,1
PRETAB,STRS
FINISH

```

نتایج:

Stress in steel=19.695 psi, Stress in copper=10.152 psi

این مقادیر با نتایج تحلیل دقیق که از راه تحلیلی بدست آمده‌اند، برابرند.



شکل ۴-۷

مسایل:

مسئله ۴۷. المان میله مرتبه دو در معرض تغییر دمایی که به صورت سهمی تغییر می‌کند.
 $\Delta T = \Delta T_r \left(\frac{x}{l} \right)^r$ قرار گرفته است. بارهای گرهی معادل ناشی از این بارگذاری را بباید.

۴-۱۲ خیز کابل‌ها

کابل یک جسم یک بعدی فرض می‌شود که تنها قادر به انتقال نیروی کششی می‌باشد. طول کابل همواره ثابت فرض می‌شود. نسبت طول به ضخامت کابل چنان بزرگ است که معمولاً از مقاومت خمشی آن صرف نظر می‌شود. فرض می‌شود که هنگامی که کابل در امتداد یک خط مستقیم موازی محور x گرفته با نیروی $T(x)$ کشیده شده است. در استخراج روابط تیر تنها خیزهای کوچک مد نظر خواهند بود و فرض می‌شود کشش (x) در حالت با بار و بدون بار یکسان است. همچنین شبیه مقطع از کابل نسبت به محور x چنان کوچک است که روابط $\sin\theta \approx \tan\theta$ و نیز $1 \approx \cos\theta$ برقرار فرض می‌شود. ثالثاً تنشهای خمشی ایجاد شده در اثر تغییر انحصار نسبت به تنشهای محوری یعنی $T(x)$ تقسیم بر مساحت سطح مقطع، کوچک فرض می‌شوند.

$$-F + f dx - k_{(x)} dx + (F + dF) = \cdot \rightarrow \frac{dF}{dx} - k(x)w(x) = -f(x) \quad (93-4)$$

چون $F(x) = T(x)\sin\theta$ و فرض خیز کوچک داریم:

$$\sin\theta \approx \tan\theta = \frac{dw}{dx} \quad (94-4)$$

بنابراین:

$$-\frac{d}{dx} \left[T(x) \frac{dw}{dx} \right] + k(x)w(x) = f(x) \quad (95-4)$$

حالات خاص: کابل بطور افقی کشیده شده و در دو انتهای خود $x_1 = 0$ و $x_2 = l$ بسته شده است. کابل تحت اثر وزن خود، ρg ، می‌باشد (ρ : جرم بر واحد طول).

$$-\frac{d}{dx} \left[T(x) \frac{dw}{dx} \right] = \rho g, \quad \cdot < x < l, \quad w(\cdot) = w(l) = \cdot \quad (96-4)$$

اگر $T(x) = T$ یعنی کشش T ثابت باشد:

$$-T \frac{d^2 w}{dx^2} + k(x)w(x) = f(x) \quad (97-4)$$

اگر $T = F$, $w = u$, $k = \beta$, $\alpha = T$ فرض شوند با استفاده از المان‌های خطی معادلات جبری المان خطی (e) برای خیز کابل‌ها عبارتند از:

$$\begin{bmatrix} \frac{T^{(e)}}{l^{(e)}} + \frac{k^{(e)}l^{(e)}}{\gamma} & -\frac{T^{(e)}}{l^{(e)}} + \frac{k^{(e)}l^{(e)}}{\gamma} \\ -\frac{T^{(e)}}{l^{(e)}} + \frac{k^{(e)}l^{(e)}}{\gamma} & \frac{T^{(e)}}{l^{(e)}} + \frac{k^{(e)}l^{(e)}}{\gamma} \end{bmatrix} \begin{bmatrix} W_1 \\ W_r \end{bmatrix} = \begin{bmatrix} \frac{fl}{\gamma} \\ \frac{fl}{\gamma} \end{bmatrix}^{(e)} + \begin{bmatrix} F(x_1) \\ F(x_r) \end{bmatrix}^{(e)} \quad (98-4)$$

مثال ۲۳. خیز کوچک کابلی که به آن یک بار یکنواخت وارد شده و در معرض پی الاستیک قرار گرفته است را با لحاظ پنج المان خطی به دست آورید. نتیجه را با حل دقیق مقایسه کنید. فرض کنید که هر دو انتهای ثابت بوده و

$$T = ۲۰۰N, l = ۶۰m, f = ۴ N/m \text{ و } k = ۱ N/m^2$$

فرض می‌شود که کابل با ۵ المان خطی مساوی مدل شده است. در این حالت ماتریس سفتی و بار یک المان نمونه عبارت است از:

$$[K]^{(e)} = \begin{bmatrix} ۲۹ & -۲۳ & & & \\ -۲۳ & ۵۸ & -۲۳ & & \\ & -۲۳ & ۵۸ & -۲۳ & \\ & & -۲۳ & ۵۸ & -۲۳ \\ & & & -۲۳ & ۵۸ \end{bmatrix}, \quad FI^{(1)} = \begin{Bmatrix} ۲۴ \\ ۲۴ \end{Bmatrix}$$

پس از مونتاژ المان‌ها معادلات سیستم عبارتند از:

$$\begin{bmatrix} ۲۹ & -۲۳ & . & . & . & . & . \\ -۲۳ & ۵۸ & -۲۳ & . & . & . & . \\ . & -۲۳ & ۵۸ & -۲۳ & . & . & . \\ . & . & -۲۳ & ۵۸ & -۲۳ & . & . \\ . & . & . & -۲۳ & ۵۸ & -۲۳ & . \\ . & . & . & . & -۲۳ & ۵۸ & ۲۹ \end{bmatrix} \begin{bmatrix} W_1 \\ W_r \\ W_t \\ W_i \\ W_o \\ W_\gamma \end{bmatrix} = \begin{bmatrix} ۴ \\ ۴ \\ ۴ \\ ۴ \\ ۴ \\ ۴ \end{bmatrix} \quad \begin{bmatrix} F^{(1)}(x_1) \\ F^{(1)}(x_r) \\ . \\ . \\ . \\ F^{(5)}(x_\gamma) \end{bmatrix}$$

پس از اعمال شرایط مرزی $w_1 = w_r = 0$ و حل معادلات خواهیم داشت:

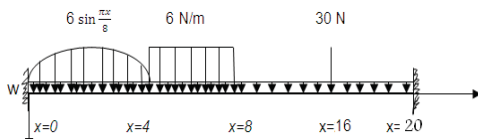
گره	المان محدود	دقیق
۱	.	.
۲	۱,۸۵۴۸	۱,۸۱۷۳
۳	۲,۰۹۰۳	۲,۵۴۴۴
۴	۲,۰۹۰۳	۲,۵۴۴۴
۵	۱,۸۵۴۸	۱,۸۱۷۳
۶	.	.

حل دقیق ($\alpha^* = \frac{K}{T}$) عبارت است از:

$$w(x) = \frac{f [\cosh(\alpha l) - 1] \sinh(\alpha x)}{k \sinh(\alpha l)} - \frac{f}{k} \cosh(\alpha x) + \frac{f}{k}$$

مسائل:

مسئله ۴۸. مثال ۲۳ بالا را برای ده المان و یازده گره حل کرده و نتایج را با حل حقیقی مقایسه نمایید.



شکل ۴-۴

مساله ۴۹. خیز یک کابل معلق افقی با شرایط زیر را بیابید. معادله دیفرانسیل حاکم عبارت است از:

$$-\frac{d}{dx}(T \frac{dw}{dx}) = \rho g \quad . < x < 10 , \quad w(x) = w(10) = .$$

$$l = 10 \cdot m, T = 98 N, \rho = 1 \frac{kg}{m}, g = 9.8 \frac{m}{s^2}$$

مساله را با استفاده از دو، سه و پنج المان خطی حل کنید. نتایج را با حل دقیق مقایسه کنید.

مساله ۵۰. یک کابل افقی با کشش اولیه $T=100 N$ در هر دو انتهای محکم شده است (مطابق شکل ۴-۴). چند نوع نیروی بر کابل اثر می‌کنند. نخست نیروی وزن کابل به صورت یکنواخت N/m ، به آن وارد می‌شود. دوم نیروی $F_1 = 20 kg$ که در موقعیت $x=16m$ به طرف پایین وارد می‌شود.

در نهایت، چند وزنه در امتداد یک دهانه‌ی ۸ متری در انتهای چپ کابل آویخته شده است. اثر این اشیاء با نیروی گستردگی که در شکل نشان داده شده است مدل می‌شود. شرایط مرزی مسئله عبارتند از: $w(0) = w(20) = 0$. (الف) تغییر مکان عمودی را در $x=8$ بیابید. (ب) نیروی عمودی اعمال شده به هر تکیه‌گاه انتهایی را پیدا کنید ($F(0), F(20)$). شبکه را با سه و پنج المان خطی مدل کنید.

مساله ۵۱. چنانچه کابل معلق روی یک پیلاستیک تکیه داده باشد خیز کابل را بیابید.

$$-\frac{d}{dx}(T \frac{dw}{dx}) + kw = \rho g \quad . < x < 10 , \quad w(x) = w(10) = .$$

مدول پی $24.0 N/m^2$. مساله را با استفاده از دو، سه و پنج المان خطی حل کنید. نتایج را با حل دقیق مقایسه کنید.

مساله ۵۲. طنابی به شکل عمودی از ساختمانی آویخته شده است. طول طناب $100 m$ باشد. بادی به صورت افقی با سرعت $10 km/h$ می‌وزد. هنگامی که طناب عمودی است کشش در آن عبارت است از:

$$T(z) = \rho_c g A(l - z)$$

که در آن ρ_c چگالی طناب $= 1.11 \frac{kg}{m^3}$ ، $A = \frac{\pi D^2}{4}$ بار آبرودینامیک گستردگی (N/m) اعمال شده روی طناب، ناشی از وزش باد، یک نیروی افقی یکنواخت f در امتداد طول است:

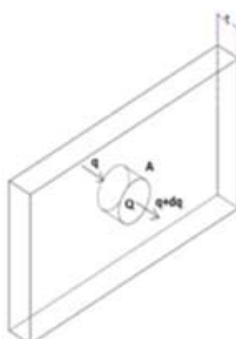
که f نیروی گستردگی ρ_a چگالی هوا، C_{atm} ضریب درگ عمودی برابر ۳,۱ است و سرعت باد $(v, \text{ft/sec})$ تغییر مکان افقی انتهایی طناب را پیدا کنید. (ب) مقبولیت حل خود را با مقایسه مجموع نیروی افقی روی طناب با نیروی عکس العمل افقی محاسبه شده در بالای طناب چک کنید.

(توجه شود که حل تا زمانی قابل استفاده است که تغییر مکانها کوچک باشند، چون مدل تئوری، در خلال حرکت افقی طناب، اجازه بلند شدن را نمی دهد)

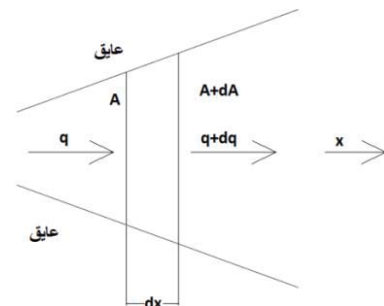
۴-۱۳ هدایت حرارتی دو بعدی

در شکل ۴-۹ بدلیل عایق شدن سطح خارجی و طویل بودن میله، حرارت فقط در داخل سطح و موازی محور آن باید جریان یابد و تنها در دو انتهای میله ممکن است جریان حرارت شروع به انحراف از حالت یک بعدی کند. انرژی حرارتی جریان یافته بر ثانیه در جهت x بر مساحت سطح مقطع یک کمیت برداری معروف به شار حرارت ($q(x)$) با دیمانسیون ($\frac{E}{\text{hr}}$) است. انرژی حرارتی ایجاد شده در یا تزریق شده به داخل المان بر ثانیه بر واحد حجم ماده ($Q(x)$) را منبع حرارت می گویند و دارای دیمانسیون ($\frac{E}{\text{hr}}$) خواهد بود. اگر $Q(x)$ منبع یک چاه حرارتی (k) است.

در شکل ۴-۱۰ حالت دیگری از هدایت حرارت یک بعدی ملاحظه می شود در امتداد ناحیه مرکزی پانل، حرارت لزوماً عمود بر وجوده پانل سیلان می یابد و در نزدیک لبه های پانل، سیلان ممکن است از حالت یک بعدی منحرف شود. برای تحلیل حرارتی، خط چین ها یک دیسک فرضی را با سطح مقطع ثابت A و ضخامت dx نشان می دهند که از ناحیه مرکزی بریده شده و محور آن بر وجوده عمود است. جریان حرارت در داخل دیسک مجازی همانند سیلان در داخل یک میله استوانه ای عایق شده با سطح مقطع ثابت خواهد بود.

$$qA + QAdx = (q + dq)(A + dA) \rightarrow \frac{d}{dx} [q(x)A(x)] = Q(x)A(x) \quad (4-4)$$


شکل ۴-۱۰



شکل ۴-۹

از قانون فوریه داریم:

$$q(x) = -k(x) \frac{dT(x)}{dx} \quad (100-4)$$

که در آن $T(x)$ درجه حرارت و $k(x)$ هدایت ویژه حرارتی هستند. به عبارت دیگر معادله دیفرانسیل حاکم عبارت است از:

$$-\frac{d}{dx} \left[k(x) A(x) \frac{dT(x)}{dx} \right] = Q(x) A(x) \quad (101-4)$$

حالت خاص: اگر سطح مقطع ثابت باشد

$$-\frac{d}{dx} \left[k(x) \frac{dT(x)}{dx} \right] = Q(x) \quad (102-4)$$

شرط مرزی لازم: توصیف درجه حرارت T

شرط مرزی طبیعی: توصیف شار حرارتی q

از مقایسه معادله بالا با معادله دیفرانسیل عمومی حالت یک بعدی داریم:

$$\alpha(x) = k(x) A(x), \quad \beta(x) = 0, \quad f(x) = Q(x) A(x) \quad (103-4)$$

هدایت حرارتی عبارت است از: (e) داخل هر المان ثابت باشند معادلات جبری المان خطی QA و اگر

$$\begin{bmatrix} \frac{kA}{l} & -\frac{kA}{l} \\ -\frac{kA}{l} & \frac{kA}{l} \end{bmatrix}^{(e)} \begin{bmatrix} T_1 \\ T_\gamma \end{bmatrix} = \begin{bmatrix} \frac{QA_l}{\gamma} \\ \frac{QA_l}{\gamma} \end{bmatrix} + \begin{bmatrix} \tilde{q}(x_1) A \\ -\tilde{q}(x_\gamma) A \end{bmatrix} \quad (104-4)$$

مثال ۴۴. میله‌ای به طول ۰,۲ متر با دمای ۱۰۰ درجه سانتیگراد در $x=0$ را در نظر بگیرید. فرض شود که منبع حرارت ثابت $Q = 2 \times 10^7 \text{ W/m}^3$ در امتداد طول میله و شار حرارتی مرزی $q = 1.8 \times 10^7 \text{ W/m}^3$ که از انتهای $x=0.2$ متر حرارت را جذب می‌کند وجود دارد. ضریب هدایت حرارتی $k = 600 \text{ W/m}^\circ\text{C}$ است. اگر $A = 0.4 \times 10^{-3} \text{ m}^2$ با استفاده از پنج المان خطی با طول مساوی، دما و شار را در هر گره محاسبه کنید.

معادلات جبری هر المان برای میله تحت بررسی عبارتند از:

$$1. \begin{bmatrix} 1 & -1 \\ -1 & 1 \end{bmatrix} \begin{bmatrix} T_1 \\ T_\gamma \end{bmatrix} = \epsilon \Lambda \begin{bmatrix} l/\gamma \\ l/\gamma \end{bmatrix}$$

پس از مونتاژ پنج المان، معادلات جبری عبارتند از:

$$\begin{bmatrix} -6 & -6 & \cdot & \cdot & \cdot & \cdot \\ -6 & 12 & -6 & \cdot & \cdot & \cdot \\ \cdot & -6 & 12 & -6 & \cdot & \cdot \\ \cdot & \cdot & -6 & 12 & -6 & \cdot \\ \cdot & \cdot & \cdot & -6 & 12 & -6 \\ \cdot & \cdot & \cdot & -6 & 6 & T_1 \end{bmatrix} \begin{Bmatrix} T_1 \\ T_2 \\ T_3 \\ T_4 \\ T_5 \\ T_6 \end{Bmatrix} = \begin{Bmatrix} 24 \\ 48 \\ 48 \\ 48 \\ 48 \\ 24 \end{Bmatrix} + \begin{Bmatrix} \tilde{q}^{(1)}(x_1)A \\ \cdot \\ \cdot \\ \cdot \\ \cdot \\ -\tilde{q}^{(5)}(x_6)A \end{Bmatrix}$$

$$-\tilde{q}^{(5)}(x_6)A = -1.8 \times 10^{-1} \times 0.4 \times 10^{-3} = -720 \quad (w)$$

حل دقیق این مساله برای دما عبارتست از

$$T(x) = \frac{3 \times 10^{-1}}{700} (0.2x - 0.0x^2) - \frac{1.8 \times 10^{-1}x}{700} + 100$$

و حل دقیق برای شار حرارتی عبارتست از

$$q = -k \frac{dT}{dx} = -700 \left[\frac{3 \times 10^{-1}}{700} (0.2 - x) - \frac{1.8 \times 10^{-1}}{700} \right]$$

جواب المان محدود و حل دقیق در جدول ۱۱-۴ آمده است.

جدول شماره ۱۱-۴

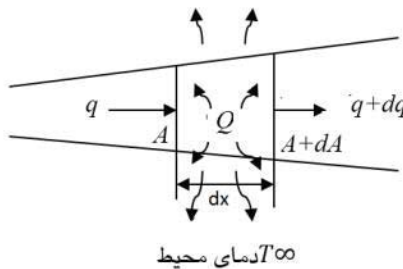
شار $\left(10^{-1} \frac{W}{m^2}\right)$		شماره المان	دما		گره
دقیق	المان محدود		دقیق	المان محدود	
۰(۰)۰۰۱,۲	۱,۲۶	۱	۱۰۰	۱۰۰	۱
۰(۰,۰۲)۰۰۱,۲۶	۱,۳۸	۲	۹۱,۶	۹۱,۶	۲
۰(۰,۰۴)۰۰۱,۳۴	۱,۵	۳	۸۲,۴	۸۲,۴	۳
۰(۰,۰۶)۰۰۱,۴۸	۱,۶۲	۴	۷۲,۶	۷۲,۶	۴
۰(۰,۰۸)۰۰۱,۴۴	۱,۷۴	۵	۶۱,۶	۶۱,۶	۵
۰(۰,۱)۰۰۱,۵			۵۰	۵۰	۶
۰(۰,۱۲)۰۰۱,۵۶					
۰(۰,۱۴)۰۰۱,۶۲					
۰(۰,۱۶)۰۰۱,۶۸					
۰(۰,۱۸)۰۰۱,۷۴					
۰(۰,۲)۰۰۱,۸					

۱۴- اتلاف حرارتی جابجایی

اگر محیط اطراف میله سیال باشد مکانیزم اصلی اتلاف حرارت از نوع جابجایی خواهد بود. در این حالت دیگر جریان حرارت یک بعدی نیست چرا که حرارت دارای دو مؤلفه در امتداد موازی و عمود بر محور میله است. هر چند درجه حرارت در هر سطح مقطع تغییر می‌کند اما اگر تنها به درجه حرارت میانگین در هر سطح مقطع علاقه‌مند باشیم آنگاه اتلاف حرارتی از سطح جانبی را نیز می‌توان به صورت اتلاف میانگین در امتداد سطح مقطع پنداشت آن را به صورت یک اتلاف حرارتی داخلی میانگین نمایش داد.

در این حالت

$$qA + QAdx = (q + dq)(A + dA) + hPdx(T - T_{\infty}) \quad (10-4)$$



شکل ۵۱-۴

با صرف نظر از جملات کوچکتر

$$\frac{d}{dx} [q(x)A(x)] + hPT(x) = Q(x)A(x) + hPT_{\infty} \quad (10.6-4)$$

که $hPdx(T - T_{\infty})$ نرخ اتلاف حرارتی ناشی از جابجایی در امتداد سطح جانبی بر حسب $\left(\frac{E}{t}\right)$ ضریب انتقال حرارت جابجایی $\left(\frac{E}{t_{L,T}}\right)$ و محیط استوانه هستند. چون بر اساس قانون فوریه $-k \frac{dT}{dx} = q$ ، بنابراین داریم:

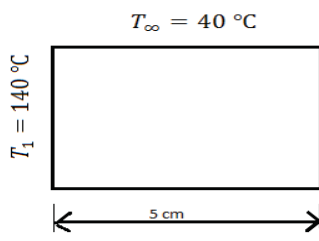
$$-\frac{d}{dx} \left[k(x)A(x) \frac{dT(x)}{dx} \right] + hPT(x) = Q(x)A(x) + hPT_{\infty} \quad (10.7-4)$$

شرایط مرزی در این حالت. درجه حرارت معین، شار حرارتی معین (عایق) و یا جابجایی هستند. مثلا دیواره یک منبع حاوی مایع داغ (T_l) که جریان هوا با دمای T_{∞} از روی سطح خارجی آن میگذرد و موجب حفظ دمای T_l در مرز میگردد.

$$T_{x=0} = T_l, \quad q_{x=l} = h(T_l - T_{\infty}) \quad (10.8-4)$$

یا اگر دیواری، سطح داخلی اش عایق شده و سطح خارجی آن یک سطح جابجایی باشد.

$$q_{x=0} = 0, \quad q_{x=l} = h(T_l - T_{\infty}) \quad (10.9-4)$$



شکل ۵۲-۴

مثال ۲۵. توزیع دما را در یک قین یک بعدی بدست آورید. مساله را برای یک، دو و سه المان خطی حل کنید. ($h = 0.1 \text{ w/cm}^2\text{C}$, $k = 0.1 \text{ w/cm}^2\text{C}$, $R = 1 \text{ cm}$)

$$\alpha = kA \quad \beta = hP \quad f = hPT_{\infty} \quad \square \square \square \quad a_1 = T_1, \quad a_2 = T_2, \quad \text{چون}$$

برای یک المان در این حالت معادلات جبری المان عبارتند از:

$$\begin{bmatrix} \frac{Ak}{l} + \frac{hPl}{\gamma} & -\frac{Ak}{l} + \frac{hPl}{\gamma} \\ -\frac{Ak}{l} + \frac{hPl}{\gamma} & \frac{Ak}{l} + \frac{hPl}{\gamma} \end{bmatrix} \begin{bmatrix} T_1 \\ T_2 \end{bmatrix} = \begin{bmatrix} \frac{hPT_{\infty}l}{\gamma} \\ \frac{hPT_{\infty}l}{\gamma} \end{bmatrix} + \begin{bmatrix} \tau_1 \\ \tau_2 \end{bmatrix}$$

$: A = \pi r^2, p = \pi r c, r = 1$

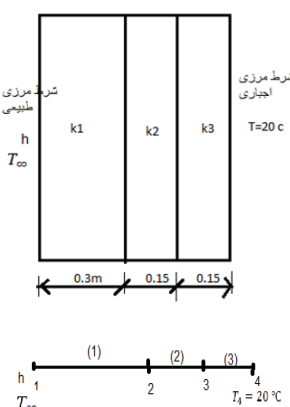
$$\begin{bmatrix} 92 & -17 \\ -17 & 92 \end{bmatrix} \begin{bmatrix} T_1 \\ T_2 \end{bmatrix} = \begin{bmatrix} 140 \\ 140 \end{bmatrix} + \begin{bmatrix} \tau_1 \\ \tau_2 \end{bmatrix}$$

در این حالت شرایط مرزی $T_1 = 14^\circ\text{C}$ و $T_2 = 18^\circ\text{C}$ لذا

حل با دو المان:

$$\begin{bmatrix} 1 & \frac{18}{84} & -\frac{15}{84} \\ 0 & \frac{15}{84} & \frac{18}{84} \end{bmatrix} \begin{bmatrix} T_1 \\ T_2 \end{bmatrix} = \begin{bmatrix} 140 \\ 140 \end{bmatrix} \quad \square \quad \begin{bmatrix} T_1 \\ T_2 \end{bmatrix} = \begin{bmatrix} 140 \\ 140 \end{bmatrix}$$

مثال ۲۶. دیوار مرکبی متشکل از سه نوع ماده است. دمای بیرونی $T = 20^\circ\text{C}$. انتقال حرارت ناشی از جابجایی روی سطح داخلی دیوار با $T_{\infty} = 80^\circ\text{C}$ و $h = 25 \text{ w/m}^2\text{C}$ رخ می‌دهد. توزیع دما در دیوار را پیدا کنید. $k_1 = 0.1 \text{ w/m}^2\text{C}$, $k_2 = 0.15 \text{ w/m}^2\text{C}$, $k_3 = 0.2 \text{ w/m}^2\text{C}$, $T_{\infty} = 80^\circ\text{C}$.



شکل ۵۳-۴

مدلی مرکب از سه المان خطی را در نظر می‌گیریم. برای این مساله داریم:
 $Q(x) = k \frac{dT}{dx} + h(T_s - T_\infty)$ و شرایط مرزی $T(0) = T_0$ و $T(L) = T_\infty$ است.

$$\begin{aligned}[K]^{(1)} &= k_r/l^{(1)} \begin{bmatrix} 1 & -1 \\ -1 & 1 \end{bmatrix} = \frac{\tau_r}{\tau_r + \tau_v} \begin{bmatrix} 1 & -1 \\ -1 & 1 \end{bmatrix} \\ [K]^{(2)} &= k_r/l^{(2)} \begin{bmatrix} 1 & -1 \\ -1 & 1 \end{bmatrix} = \frac{\tau_v}{\tau_r + \tau_v} \begin{bmatrix} 1 & -1 \\ -1 & 1 \end{bmatrix} \rightarrow [k] = 76.7 \begin{bmatrix} 1 & -1 & 0 & 0 \\ -1 & 1 & 0 & 0 \\ 0 & 0 & 1 & 0 \\ 0 & 0 & 0 & 0 \end{bmatrix} \\ [K]^{(3)} &= k_r/l^{(3)} \begin{bmatrix} 1 & -1 \\ -1 & 1 \end{bmatrix} = \frac{\tau_v}{\tau_v} \begin{bmatrix} 1 & -1 \\ -1 & 1 \end{bmatrix}\end{aligned}$$

در گره ۱ بواسطه همرفت و شرایط مرزی طبیعی $[k] = k \frac{dT}{dx} + h(T_s - T_\infty)$ را اصلاح کرد.

$$76.7 \begin{bmatrix} 1.375 & -1 & 0 & 0 \\ -1 & 1 & 0 & 0 \\ 0 & 0 & 1 & 0 \\ 0 & 0 & 0 & 0 \end{bmatrix} \begin{bmatrix} T_1 \\ T_v \\ T_v \\ T_s \end{bmatrix} = \begin{bmatrix} 25 \times 100 \\ \vdots \\ \vdots \\ \tau_s \end{bmatrix} \rightarrow T_1 = 25, T_v = 119, T_s = 57.1$$

۴-۱۵ هدایت حرارتی یک بعدی صورت دیگر: (المان خطی)

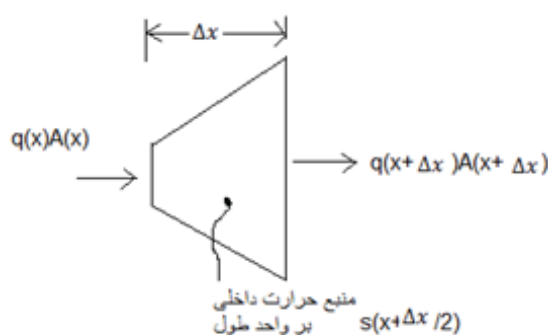
$$s \left(x + \frac{\Delta x}{2} \right) \Delta x + q(x)A(x) - q(x + \Delta x)A(x + \Delta x) = . \quad (110-4)$$

$$\frac{d}{dx} (qA) = s \quad [since: q = -k \frac{dT}{dx}] \quad (111-4)$$

$$-\frac{d}{dx} \left(kA \frac{dT}{dx} \right) = s \quad . < x < 1 \quad [kA = \alpha] \quad (112-4)$$

$$-\left(kA \frac{dT}{dx} \right)_{x=0} = \bar{t}^{(1)} \quad or \quad T(\cdot) = \bar{T} \quad (113-4)$$

$$\left(kA \frac{dT}{dx} \right)_{x=L} = \bar{t}^{(2)} \quad or \quad T(L) = \bar{T} \quad (114-4)$$



شکل ۴-۴

شکل ضعیف عبارت است از:

$$\int_{x_1}^{x_2} \frac{dw}{dx} Ak \frac{dT}{dx} dx = -(wAk \frac{dT}{dx}) \Big|_{x_1}^{x_2} + \int_{x_1}^{x_2} ws dx \quad (115-4)$$

در مقایسه با رابطه

$$\int_{x_1}^{x_2} \frac{dw}{dx} \alpha \frac{d\tilde{u}}{dx} dx = (w\alpha \frac{d\tilde{u}}{dx}) \Big|_{x_1}^{x_2} + \int_{x_1}^{x_2} wf dx \quad (116-4)$$

معادله جبری المان به شکل زیر خواهد بود.

$$\alpha^{(v)} / l^{(v)} \begin{bmatrix} 1 & -1 \\ -1 & 1 \end{bmatrix} \begin{bmatrix} T_v^{(v)} \\ T_v^{(r)} \end{bmatrix} = \begin{bmatrix} \frac{st^{(v)}}{r} \\ \frac{st^{(v)}}{r} \end{bmatrix} + \begin{bmatrix} \tau_v^{(v)} \\ \tau_v^{(r)} \end{bmatrix} \quad (117-4)$$

مثال ۲۷. میله‌ای با منبع حرارت گستردۀ یکنواخت $S = wwm^2$ را در نظر بگیرید. میله یک سطح مقطع یکنواخت $A = 0.8m^2$ و هدایت ویژه حرارتی $k = 200W/mK$ دارد. طول میله ۴ متر است. شرایط مرزی $T(0) = 0$ و $q(x=0) = 0$ طبق شکل ۴-۵ است. با دو المان خطی با طول مساوی توزیع دما و گرادیان حرارتی در المان را محاسبه نمایید.

$$[K]^{(v)} = [K]^{(r)} = \dots \begin{bmatrix} 1 & -1 \\ -1 & 1 \end{bmatrix} \Rightarrow [K] = \dots \begin{bmatrix} 1 & -1 & \cdot \\ -1 & 2 & -1 \\ \cdot & -1 & 1 \end{bmatrix}$$

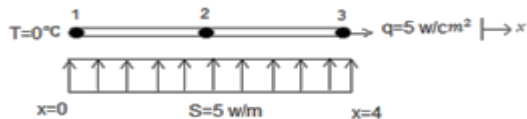
$$F_I^{(v)} = F_I^{(r)} = \begin{bmatrix} \frac{\sigma \times r}{r} \\ \frac{\sigma \times r}{r} \end{bmatrix} = \begin{bmatrix} \sigma \\ 0 \end{bmatrix} \Rightarrow F_I = \begin{bmatrix} \sigma \\ 0 \end{bmatrix}$$

با لحاظ شرایط مرزی $\tau_r^{(v)} = Ak \frac{dT}{dx} = -qA = -0.0$ داریم:

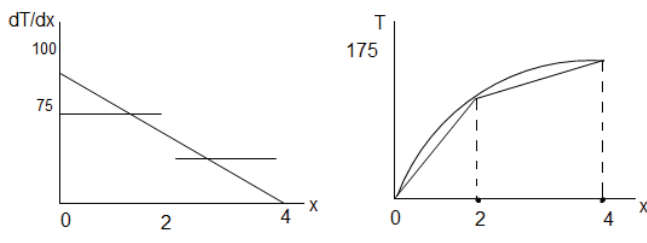
$$\dots \begin{bmatrix} 1 & -1 & \cdot \\ -1 & 2 & -1 \\ \cdot & -1 & 1 \end{bmatrix} \begin{bmatrix} \cdot \\ T_r \\ T_v \end{bmatrix} = \begin{bmatrix} \sigma \\ 0 \\ 0 \end{bmatrix} + \begin{bmatrix} \tau_v^{(v)} \\ \tau_v^{(r)} \end{bmatrix} \quad \text{معنی } T_r = 140, T_v = 190.$$

$$T^{(v)}(x) = T_v N_v^{(v)} = \frac{\sigma \cdot \cdot}{r} (x - x_1) = 0.008x$$

$$T^{(r)}(x) = T_r N_r^{(r)} + T_v N_v^{(r)} = 140(\xi - x) + 190(x - \cdot) \\ \frac{dT^{(v)}}{dx} = 0.008 \text{ و } \frac{dT^{(r)}}{dx} = 0.008$$



شکل ۵۵-۴



شکل ۵۶-۴

جواب دقیق:

$$\frac{d}{dx} \left(Ak \frac{dT}{dx} \right) + s = \frac{d}{dx} \left(\cdot \cdot \cdot \frac{dT}{dx} \right) + \circ = \cdot, \quad \cdot < x < l, \quad \Rightarrow \frac{d^2 T}{dx^2} = -20$$

$$T(\cdot) = \cdot, \quad q(\xi) = \circ = -k \frac{dT}{dx} \Big|_{x=\xi} \Rightarrow \frac{dT}{dx}(\xi) = -20, \quad \text{و} \quad \frac{d^2 T}{dx^2} = 20$$

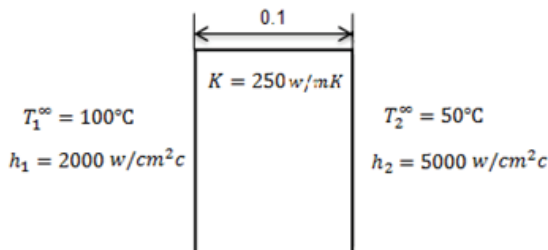
$$\Rightarrow T = 12.0x^2 + 97.0x$$

مسایل:

مساله ۵۳. دیوار جامدی به عرض $w=1m$ در معرض اختلاف دما قرار گرفته است (شکل ۵۷-۴). با استفاده از پنج المان خطی با طول مساوی، توزیع دما را در امتداد دیوار بیابید.

جواب:

$$T_1 = 59.091^\circ\text{C}, T_o = 62.727^\circ\text{C}, T_i = 66.364^\circ\text{C}, \\ T_r = 77.0^\circ\text{C}, T_v = 77.636^\circ\text{C}, T_b = 77.773^\circ\text{C}$$



شکل ۵۷-۴

مساله ۵۴. معادله دیفرانسیل زیر همراه با شرایط مرزی داده شده حاکم بر انتقال حرارت در یک میله عایق شده می‌باشد:

$$-\frac{d}{dx} \left(k \frac{dT}{dx} \right) = q, \quad 0 < x < l$$

$$T(\cdot) = T_0, \quad \left[k \frac{dT}{dx} + h(T - T_\infty) + q_0 \right] \Big|_{x=l} = 0$$

که داده‌های مساله عبارتند از:

$$q_0 = 0, q_0 = 0, l = 10\text{ m}, K = 0.1\text{ W m}^{-1}\text{ C}^{-1},$$

$$h = 20\text{ W m}^{-2}\text{ C}^{-1}, T_0 = 0^\circ\text{C}, T_\infty = 0^\circ\text{C}$$

با استفاده از دو المان خطی مساله را حل کنید. دما را در نقاط $x=0$, $x=l/2$ و $x=l$ به دست آورید.

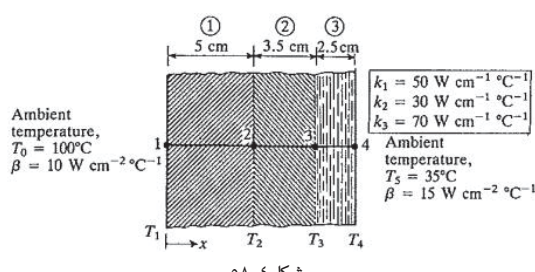
$$\text{جواب: } T_0 = 0.179^\circ\text{C}, T_{l/2} = 27.09^\circ\text{C}$$

مساله ۵۵. یک دیوار عایق متخلک از سه لایه متجلانس با ضرایب هدایتی k_1, k_2, k_3 می‌باشد. با استفاده از روش المان محدود، دما را در نقاط ۱ و ۲ و ۳ و ۴ پیدا کنید.

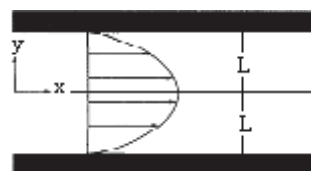
$$k_1 = 0.1\text{ W cm}^{-1}\text{ C}^{-1}, k_2 = 0.05\text{ W cm}^{-1}\text{ C}^{-1}, k_3 = 0.02\text{ W cm}^{-1}\text{ C}^{-1}$$

جواب:

$$q_{\text{def}}^{(1)} = -100.11\text{ W/m}^2, \quad q_{\text{def}}^{(2)} = 217.16\text{ W/m}^2, \quad T_1 = 100^\circ\text{C}, \quad T_2 = 0.181^\circ\text{C}, \quad T_3 = 78.977^\circ\text{C}, \quad T_4 = 84.489^\circ\text{C}$$



شکل ۵۸-۴



شکل ۵۹-۴

۴-۱۶ جریان پوسوله صفحه‌ای (Plane-poiseuille flow)

جریان موازی سیال بین دو دیواره مسطح بلند به فاصله $2L$ از هم را در نظر بگیرید. در این شرایط مولفه‌های سرعت در راستاهای y و z صفرند. یعنی $V_y = V_z = 0$ و مولفه سرعت در راستای x فقط تابعی از y می‌تواند باشد ($V_x = u(y)$): زیرا با فرض تراکم‌ناپذیری سیال داریم:

$$\frac{\partial V_x}{\partial x} + \frac{\partial V_y}{\partial y} + \frac{\partial V_z}{\partial z} = 0 \quad (118-4)$$

و یا

$$\frac{\partial V_x}{\partial x} = 0 \quad (119-4)$$

یعنی V_x تابعی از x نیست. همچنین جریان در جهت z یکنواخت فرض می‌شود. لذا $V_x = u(y)$. در غیاب نیروی حجمی (B)، معادلات ناویر-استوکس عبارتند از:

$$\rho \left(\frac{\partial V_i}{\partial t} + V_j \frac{\partial V_i}{\partial x_j} \right) = - \frac{\partial p}{\partial x_i} + \mu \frac{\partial^2 V_i}{\partial x_j \partial x_j} \quad (120-4)$$

که بخاطر شرایط بالا خواهیم داشت:

$$\mu \frac{d^2 u}{dx^2} = \frac{dp}{dx} \quad (121-4)$$

[مالحظه می‌شود که از معادلات دوم و سوم ناویر-استوکس $\frac{\partial p}{\partial x} = \frac{dp}{dx}$ در نتیجه $\frac{\partial p}{\partial y} = \frac{\partial p}{\partial z} = 0$ می‌گردد. هرگاه هدف تعیین توزیع سرعت ($u(y)$) به ازای فشار ثابت و معین $\frac{dp}{dx}$ با استفاده از روش المان محدود باشد آن معادله دیفرانسیل بالا پیداست که حالت خاصی از معادله $\frac{d}{dx}(\alpha \frac{du}{dx}) + \beta u \cdot f = 0$ است که در آن

$$\alpha = \mu = cte, \beta = 0, f = -\frac{dp}{dx} = cte = q, x = y \quad (122-4)$$

بنابراین مدل المان محدود تدوین شده برای این مساله نیز معتبر است؛ یعنی:

$$[K]^{(e)} [u]^{(e)} = [f]^{(e)} [r]^{(e)} \quad (123-4)$$

که در آن

$$K_{ij} = \int_{y_A}^{y_B} \mu \frac{d\phi_i^{(e)}}{dy} \frac{d\phi_j^{(e)}}{dy} dy \quad (124-4)$$

$$f_i^{(e)} = \int_{y_A}^{y_B} \left(-\frac{dp}{dx} \right) \phi_i^{(e)} dy \quad (125-4)$$

$$r_\gamma^{(e)} = \tau_\gamma^{(e)} = - \left(\mu \frac{du}{dy} \right)_{y=y_A}, r_\gamma^{(e)} = \tau_\gamma^{(e)} = \left(\mu \frac{du}{dy} \right)_{y=y_B} \quad (126-4)$$

برای یک مش دو المانی از المان‌های خطی ($h=L$) داریم:

$$\mu/h \begin{bmatrix} 1 & -1 & 1 \\ -1 & 1 & -1 \\ 1 & -1 & 1 \end{bmatrix} \begin{bmatrix} U_1 \\ U_2 \\ U_3 \end{bmatrix} = \frac{q.h}{\tau} \begin{bmatrix} 1 \\ 1 \\ 1 \end{bmatrix} + \begin{bmatrix} \tau_{11}^{(1)} \\ \tau_{12}^{(1)} + \tau_{21}^{(1)} \\ \tau_{22}^{(1)} \end{bmatrix} \quad (127-4)$$

برای دو مجموعه شرایط مرزی:

$$u(-L) = u(L) = 0 \quad \text{یا} \quad U_1 = U_3 = 0 \quad \text{مجموعه ۱:}$$

$$U_1 = 0, \quad U_2 = U_3 = 0 \quad \text{مجموعه ۲:}$$

حل المان محدود، برای این دو حالت عبارتند از:

$$U_1 = \frac{q.L}{\tau\mu} \quad \text{مجموعه ۱:} \\ U_1 = \frac{q.L}{\tau\mu} + \frac{U_2}{\tau} \quad \text{مجموعه ۲:}$$

برای یک المان مرتبه دو ($h=2L$) داریم:

$$\mu/2L \begin{bmatrix} 1 & -1 & 1 & -1 \\ -1 & 1 & -1 & 1 \\ 1 & -1 & 1 & -1 \\ -1 & 1 & -1 & 1 \end{bmatrix} \begin{bmatrix} U_1 \\ U_2 \\ U_3 \\ U_4 \end{bmatrix} = \frac{q.L}{\tau} \begin{bmatrix} 1 \\ 1 \\ 1 \\ 1 \end{bmatrix} + \begin{bmatrix} \tau_{11}^{(1)} \\ \tau_{12}^{(1)} + \tau_{21}^{(1)} \\ \tau_{13}^{(1)} + \tau_{31}^{(1)} \\ \tau_{14}^{(1)} + \tau_{41}^{(1)} \end{bmatrix} \quad (128-4)$$

و حل عبارتست از:

$$U_1 = \frac{q.L}{\tau\mu} \quad \text{برای مجموعه ۱:}$$

$$U_1 = \frac{q.L}{\tau\mu} + U_2/\tau \quad \text{برای مجموعه ۲:}$$

جواب دقیق این مساله برابر است با:

$$u(y) = \frac{q.L}{\tau\mu} \left(1 - \frac{y^2}{L^2} \right) \quad \text{برای مجموعه ۱:}$$

$$u(y) = \frac{U_1}{\tau} \left(1 + y/L \right) + \frac{q.L}{\tau\mu} \left(1 - \frac{y^2}{L^2} \right) \quad \text{برای مجموعه ۲:}$$

مالحظه می‌شود که حل‌های المان محدود در گره‌ها با جواب دقیق برابرند. حل المان مرتبه دو برای هر مقدار u با حل دقیق همخوانی دارد.

۴-۱۷ مسایل متقارن محوری

معادله دیفرانسیل زیر، جریان حرارتی شعاعی در یک استوانه طویل دایره‌ای به شعاع داخلی R_i و شعاع خارجی R_o را بیان می‌کند.

$$-\frac{1}{r} \frac{d}{dr} \left(a(r) \frac{du}{dr} \right) = q(r) \quad \text{for } R_i < r < R_o \quad (129-4)$$

که a و q توابع مشخصی بر حسب متغیر r هستند. در این حالت توزیع دما در هر مقطعی در راستای طول آن یکسان است. از طرفی چون a و q فقط تابعی از r بوده و در هر θ از مقطع، ثابت و یکسان عمل می‌کنند توزیع دما در راستای هر خط شعاعی، یکی است و به این ترتیب مساله $2D$ به $1D$ ختم می‌شود.

$$\cdot = \int_V w \left[-\frac{1}{r} \frac{d}{dr} \left(a \frac{du}{dr} \right) - q \right] dV \quad (130-4)$$

$$= \int_{r_A}^{r_B} \int_{r_A}^{r_B} \int_{r_A}^{r_B} w \left[-\frac{1}{r} \frac{d}{dr} \left(a \frac{du}{dr} \right) - q \right] r dr d\theta dz \quad (131-4)$$

$$= 2\pi \int_{r_A}^{r_B} w \left[-\frac{1}{r} \frac{d}{dr} \left(a \frac{du}{dr} \right) - q \right] r dr \quad (131-4)$$

$$\cdot = 2\pi \int_{r_A}^{r_B} \left(a \frac{dw}{dr} \frac{du}{dr} - rwq \right) dr - \left[2w\pi a \frac{du}{dr} \right]_{r_A}^{r_B} \quad (133-4)$$

$$\cdot = 2\pi \int_{r_A}^{r_B} \left(a \frac{dw}{dr} \frac{du}{dr} - rwq \right) dr - w(r_A)Q_A^e - w(r_B)Q_B^e \quad (134-4)$$

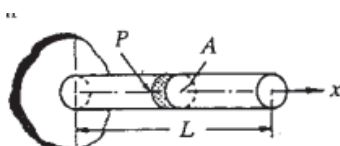
که

$$Q_A^e = -2\pi \left(a \frac{du}{dr} \right)_{r_A}, \quad Q_B^e = 2\pi \left(a \frac{du}{dr} \right)_{r_B} \quad (135-4)$$

و با انتخاب جواب آزمایشی $u(r) \approx \sum_{j=1}^n u_j N_j^e(r)$ معادله المان محدود به شکل زیر خواهد بود:

$$[K^e]\{u^e\} = \{f^e\} + \{Q^e\} \quad (136-4)$$

که در آن



شکل ۶۰-۴

$$K_{ij}^e = \gamma \pi \int_{r_A}^{r_B} a \frac{dN_i^e}{dr} \frac{dN_j^e}{dr} dr , \quad (137-4)$$

$$f_i^e = \gamma \pi \int_{r_A}^{r_B} N_i^e q r dr \quad (138-4)$$

برای توابع شکل خطی $a = a_e r$ & $q = q_e$ فرض $N_i^e(r) = \frac{(r_B - r)}{h_e}$, $N_j^e(r) = \frac{(r - r_A)}{h_e}$ داریم:

$$[K^e] = \frac{\gamma \pi a_e}{h_e} \begin{bmatrix} r_A + \frac{1}{\gamma} h_e \\ -1 \end{bmatrix} \begin{bmatrix} 1 & -1 \\ -1 & 1 \end{bmatrix}, \quad \{f^e\} = \frac{\gamma \pi q_e h_e}{\gamma} \left\{ \frac{\gamma r_A + h_e}{3r_A + 2h_e} \right\}$$

برای یک سیستم استوانه‌ای:

$$\frac{-1}{r} \frac{d}{dr} \left(\gamma \pi r k \frac{dT}{dr} \right) = \gamma \pi q \quad (139-4)$$

معادله بالا حالت خاصی از معادله

$$\frac{-1}{r} \frac{d}{dr} \left(a \frac{du}{dr} \right) = q(r) \quad (140-4)$$

با $u = T$ و $a = \gamma \pi r k$ و $q = \gamma \pi q$ است. بطور مشابه می‌توان شکل ضعیف این معادله را با استفاده از یک المان حجمی استوانه تدوین کرد.
مثال ۲۸. یک استوانه توپر بلند به شعاع r_o را در نظر بگیرید که در آن انرژی با یک نرخ ثابت q (Wm^{-2}) تولید می‌شود. سطح مرزی در $r = R_o$ تحت دمای ثابت T_o نگهداشته شده است. توزیع دما و شار حرارت را پیدا نمایید.

$$(Q = -Ak \frac{dT}{dr}) q(r) = -k \frac{dT}{dr}$$

شرط مرزی در این حالت عبارتند از:

$$T(R_o) = T_o, \quad (\gamma \pi r k \frac{dT}{dr})_{r=r_o} = 0 \quad because of symmetry$$

در این حالت ماتریس سفتی و بردار بار عبارتند از:

$$K_{ij}^e = \gamma \pi \int_{r_A}^{r_B} kr \frac{dN_i^e}{dr} \frac{dN_j^e}{dr} dr,$$

$$f_i^e = \gamma \pi \int_{r_A}^{r_B} N_i^e q r dr$$

و نیز داریم:

$$Q_i^e = -\gamma \pi k (r \frac{dT}{dr})_{r=r_A}, \quad Q_j^e = \gamma \pi k (r \frac{dT}{dr})_{r=r_B}$$

برای مشی با یک المان خطی، $r_A = R_e$ و $r_B = R_o$ داریم:

$$\pi k \begin{bmatrix} 1 & -1 \\ -1 & 1 \end{bmatrix} \begin{Bmatrix} T_1 \\ T_\gamma \end{Bmatrix} = \frac{\pi q \cdot R_o}{\gamma} \begin{Bmatrix} R_o \\ 2R_o \end{Bmatrix} + \begin{Bmatrix} Q_1 \\ Q_\gamma \end{Bmatrix}$$

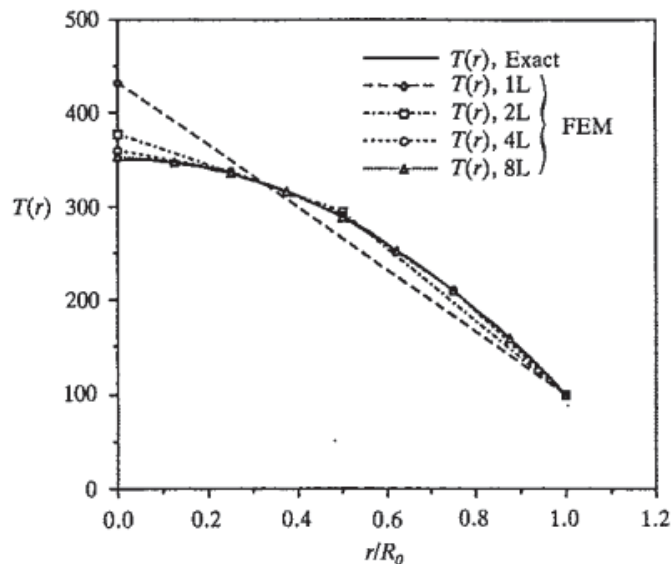
با اعمال شرایط مرزی $T_1 = T_\gamma = 0$ داریم:

$$T_1 = \frac{q \cdot R_e^\gamma}{\gamma k} + T_\gamma \quad \& \quad Q_\gamma = \pi k (U_\gamma - U_1) - \frac{\gamma}{\gamma} \pi q \cdot R_e^\gamma = -\pi q \cdot R_e^\gamma$$

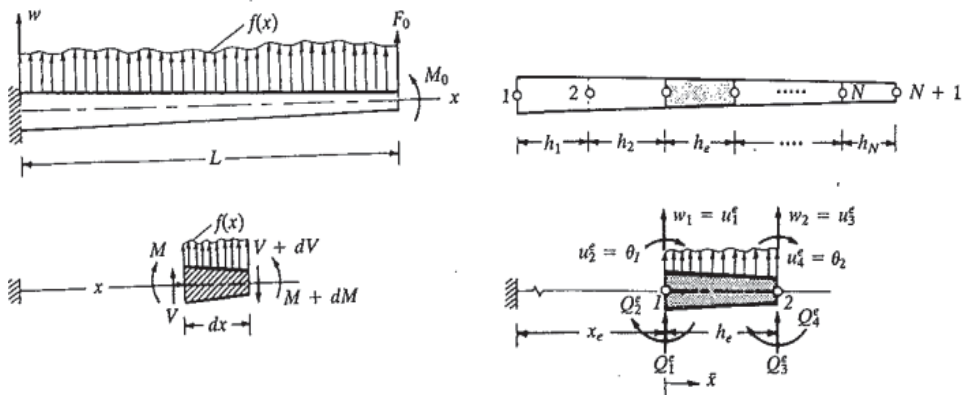
$$T_1(r) = \frac{q \cdot R_e^\gamma}{\gamma k} \left(1 - \frac{r}{R_o} \right) + T_\gamma \quad \& \quad q(r) = -k \frac{dT_1}{dr} = \frac{1}{\gamma} q \cdot R_e^\gamma$$

اما جواب دقیق عبارت است از:

$$T(r) = \frac{q \cdot R_e^\gamma}{\gamma k} \left[1 - \left(\frac{r}{R_o} \right)^\gamma \right] + T_\gamma \quad \& \quad q(r) = \frac{1}{\gamma} q \cdot R_e^\gamma, \quad Q(R_o) = \pi q \cdot R_e^\gamma$$



شکل ۶.۴



شکل ۴-۲-۴

۴-۱۸ خمش تیرها

روابط حاکم بر تیر مطابق شکل ۴-۲-۶ عبارتند از:

$$M = b \frac{d^{\gamma}w}{dx^{\gamma}} \quad (142-4)$$

$$V = \frac{dM}{dx} \quad \rightarrow \frac{d^{\gamma}}{dx^{\gamma}} \left(b \frac{d^{\gamma}w}{dx^{\gamma}} \right) = f(x) \quad . < x < L \quad (143-4)$$

$$f = \frac{dV}{dx} \quad (144-4)$$

شرایط مرزی نیز عبارتند از:

$$w \text{ و } \frac{d^{\gamma}w}{dx^{\gamma}} \text{ (شیب): EBC}$$

$$b \frac{d^{\gamma}w}{dx^{\gamma}} \text{ و } \frac{d}{dx} \left(b \frac{d^{\gamma}w}{dx^{\gamma}} \right) \text{ (نیروی برشی): NBC}$$

در این تحلیل، متغیر اولیه خیز (w) و شیب ($\frac{d^{\gamma}w}{dx^{\gamma}}$) هستند و برای راحتی روابط ریاضی $\theta = -\frac{dw}{dx}$ منظور می‌شود. همچنین متغیرهای ثانوی، گشتاور خمشی و نیروی برشی هستند که مقادیر آنها در مرزها بصورت زیر لاحظ می‌شود.

$$Q_{\gamma}^{(e)} \equiv \left[\frac{d}{dx} \left(b \frac{d^{\gamma}w}{dx^{\gamma}} \right) \right]_{x_{\gamma}^{(e)}} \quad , \quad Q_{\gamma}^{(e)} = \left(b \frac{d^{\gamma}w}{dx^{\gamma}} \right)_{x_{\gamma}^{(e)}} \quad (145-4)$$

$$Q_{\tau}^{(e)} \equiv - \left[\frac{d}{dx} \left(b \frac{d^{\gamma}w}{dx^{\gamma}} \right) \right]_{x_{\gamma}^{(e)}} \quad , \quad Q_{\tau}^{(e)} = - \left(b \frac{d^{\gamma}w}{dx^{\gamma}} \right)_{x_{\gamma}^{(e)}} \quad (146-4)$$

در روابط بالا $b = b(x) = EI$ و $f = f(x)$ توابع معلومی از x هستند. شکل ضعیف معادله حاکم به صورت زیر استخراج می‌شود: ($v(x)$ تابع وزن است)

$$\begin{aligned}
 \cdot &= \int_{x_1^{(e)}}^{x_1^{(e)}} v \left[\frac{d}{dx} \left(b \frac{d^{\gamma} w}{dx^{\gamma}} \right) - f \right] dx \\
 &= \int_{x_1^{(e)}}^{x_1^{(e)}} \left[-\frac{dv}{dx} \frac{d}{dx} b \left(\frac{d^{\gamma} w}{dx^{\gamma}} \right) - vf \right] dx + \left[v \frac{d}{dx} \left(b \frac{d^{\gamma} w}{dx^{\gamma}} \right) \right]_{x_1^{(e)}}^{x_1^{(e)}} \\
 &= \int_{x_1^{(e)}}^{x_1^{(e)}} \left(b \frac{d^{\gamma} v}{dx^{\gamma}} \frac{d^{\gamma} w}{dx^{\gamma}} - vf \right) dx + \left[v \frac{d}{dx} \left(b \frac{d^{\gamma} w}{dx^{\gamma}} \right) - \frac{dv}{dx} b \frac{d^{\gamma} w}{dx^{\gamma}} \right]_{x_1^{(e)}}^{x_1^{(e)}} \quad (147-4)
 \end{aligned}$$

با در نظر گرفتن شرایط مرزی داریم:

$$\begin{aligned}
 \cdot &= \int_{x_1^{(e)}}^{x_1^{(e)}} \left(b \frac{d^{\gamma} v}{dx^{\gamma}} \frac{d^{\gamma} w}{dx^{\gamma}} - vf \right) dx - v \left(x_1^{(e)} \right) Q_1^{(e)} - \left(-\frac{dv}{dx} \right)_{x_1^{(e)}} Q_1^{(e)} - v \left(x_1^{(e)} \right) Q_1^{(e)} - \left(-\frac{dv}{dx} \right)_{x_1^{(e)}} Q_1^{(e)} \quad (148-4)
 \end{aligned}$$

در هر المان چهار شرط (دوتا در هر گره) وجود دارند؛ یعنی

$$\theta \left(x_1^{(e)} \right) = u_i^{(e)}, w \left(x_1^{(e)} \right) = u_r^{(e)}, \theta \left(x_1^{(e)} \right) = u_r^{(e)}, w \left(x_1^{(e)} \right) = u_i^{(e)} \quad (149-4)$$

بنابراین به یک چند جمله‌ای با چهار ضریب نیاز داریم.

$$w(x) = C_1 + C_r x + C_l x^r + C_i x^l = \sum_{j=1}^4 a_j^{(e)} N_j^{(e)} \quad (150-4)$$

با اعمال شرایط مرزی بالا توابع میانیابی $N_j^{(e)}$ بدست خواهد آمد:

$$\left. \begin{array}{l} a_1^{(e)} = w \left(x_1^{(e)} \right) \\ a_r^{(e)} = \left(-\frac{dw}{dx} \right)_{x_1^{(e)}} \\ a_l^{(e)} = w \left(x_1^{(e)} \right) \\ a_i^{(e)} = \left(-\frac{dw}{dx} \right)_{x_1^{(e)}} \end{array} \right\} \rightarrow \begin{array}{l} N_1^{(e)} = 1 - r \left(\frac{x-x_1^{(e)}}{l^{(e)}} \right)^r + l \left(\frac{x-x_1^{(e)}}{l^{(e)}} \right)^r \\ N_r^{(e)} = - \left(x - x_1^{(e)} \right) \left(1 - \frac{x-x_1^{(e)}}{l^{(e)}} \right)^r \\ N_l^{(e)} = r \left(\frac{x-x_1^{(e)}}{l^{(e)}} \right)^r - l \left(\frac{x-x_1^{(e)}}{l^{(e)}} \right)^r \\ N_i^{(e)} = - \left(x - x_1^{(e)} \right) \left[\left(\frac{x-x_1^{(e)}}{l^{(e)}} \right)^r - \frac{x-x_1^{(e)}}{l^{(e)}} \right] \end{array} \quad (151-4)$$

با روش استخراج بالا $N_i^{(e)}$ ها، چندجمله‌ای‌های خانواده «هرمیتی مکعبی» هستند زیرا در هر گره متغیر وابسته و شبیه آن در نظر گرفته شدند؛ در حالیکه اگر المانی با چهار گره انتخاب می‌شد باید فقط به هر گره یک متغیر وابسته w نسبت داده می‌شد تا توابع مکعبی لاگرانژی به دست می‌آمدند که در این مساله (تئوری تیرهای اولر-برنولی) قابل استفاده نخواهند بود. به این ترتیب به روش گالرکین با در نظر گرفتن توابع میانیاب مکعبی بالا داریم:

$$v = N_i^{(e)} \rightarrow \cdot = \sum_{j=1}^4 \left(\int_{x_1^{(e)}}^{x_1^{(e)}} b \frac{d^{\gamma} N_j^{(e)}}{dx^{\gamma}} \frac{d^{\gamma} N_j^{(e)}}{dx^{\gamma}} dx \right) a_j - \int_{x_1^{(e)}}^{x_1^{(e)}} N_i^{(e)} f dx - Q_i^{(e)} \quad (152-4)$$

یا

$$\sum_{j=1}^e K_{ij}^{(e)} a_j^e - F_i^e = . \quad (103-4)$$

که در رابطه بالا:

$$K_{ij}^{(e)} = \int_{x_i^{(e)}}^{x_e^{(e)}} b \frac{d^r N_i^{(e)}}{dx^r} \frac{d^r N_j^{(e)}}{dx^r} dx \quad (104-4)$$

$$F_i^{(e)} = \int_{x_i^{(e)}}^{x_e^{(e)}} N_i^{(e)} f dx + Q_i^{(e)} \quad (105-4)$$

شکل ماتریسی:

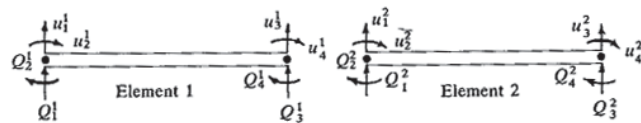
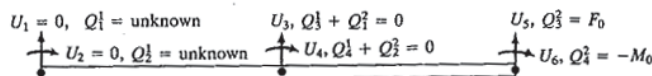
$$\begin{bmatrix} K_{11}^e & K_{12}^e & K_{13}^e & K_{14}^e \\ K_{21}^e & K_{22}^e & K_{23}^e & K_{24}^e \\ K_{31}^e & K_{32}^e & K_{33}^e & K_{34}^e \\ K_{41}^e & K_{42}^e & K_{43}^e & K_{44}^e \end{bmatrix} \begin{bmatrix} a_1 \\ a_2 \\ a_3 \\ a_4 \end{bmatrix}^{(e)} = \begin{bmatrix} f_1 \\ f_2 \\ f_3 \\ f_4 \end{bmatrix}^{(e)} + \begin{bmatrix} Q_1 \\ Q_2 \\ Q_3 \\ Q_4 \end{bmatrix}^{(e)} \quad (106-4)$$

اگر یک نیروی متغیر عرضی F در یک نقطه مثل x در داخل المان اعمال گردد آن را در رابطه زیر بین گرههای المان توزیع می‌کنند:

$$F_i^{(e)} = F^{(e)} \phi_i^{(e)}(x) \quad (107-4)$$

مجدداً یادآوری می‌شود F_1^e و F_2^e نیروهای عرضی (برشی) در گرههای ابتدا و انتها و F_3^e و F_4^e ممانهای خمشی در این گرهها خواهد بود. هرگاه $b = EI$ و $f = ro$ المان ثابت باشد آنگاه داریم:

$$[K]^{(e)} = \frac{rb}{l^r} \begin{bmatrix} 1 & -rl & -1 & -rl \\ -rl & rl^r & rl & -rl^r \\ -1 & rl & 1 & rl \\ -rl & l^r & rl & rl^r \end{bmatrix}^{(e)} [F]^{(e)} = \frac{fl^{(e)}}{lr} \begin{bmatrix} 1 \\ -l \\ 1 \\ l \end{bmatrix} + \begin{bmatrix} Q_1 \\ Q_2 \\ Q_3 \\ Q_4 \end{bmatrix}^{(e)} \quad (108-4)$$



شکل ۱۰۸-۴

مونتاز المانها براساس پیوستگی متغیرهای اولیه خیز و شیب و تعادل بین المان‌های متوالی به متغیرهای ثانویه نیروی برشی و گشتاور خمشی است.

$$\begin{aligned} u_{\text{v}}^{(1)} &= U_{\text{v}} \\ u_{\text{r}}^{(1)} &= U_{\text{r}} \\ u_{\text{r}}^{(2)} &= u_{\text{v}}^{(2)} = U_{\text{v}} \\ u_{\text{v}}^{(2)} &= u_{\text{r}}^{(2)} = U_{\text{r}} \\ u_{\text{r}}^{(3)} &= U_{\text{o}} \\ u_{\text{v}}^{(3)} &= U_{\text{v}} \end{aligned} \quad (159-4)$$

تعادل نیروهای تعمیم یافته در هر گره بین دو المان متصل Ω^e و Ω^f ایجاب می‌کند که

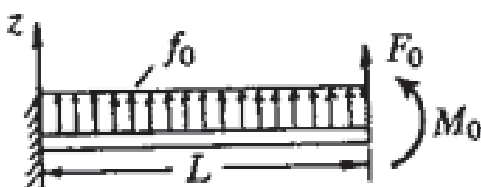
$$\begin{aligned} Q_{\text{v}}^{(e)} + Q_{\text{v}}^{(f)} &= \text{نیروی نقطه‌ای خارجی اعمال شده در این گره} \\ Q_{\text{v}}^{(e)} + Q_{\text{r}}^{(f)} &= \text{گشتاور خمشی خارجی اعمالی در این گره} \end{aligned} \quad (160-4)$$

به این ترتیب ماتریس سفتی و بار مونتازی عبارتند از:

$$[K] = \begin{bmatrix} K_{\text{v}\text{v}}^{(1)} & K_{\text{v}\text{r}}^{(1)} & K_{\text{r}\text{v}}^{(1)} & K_{\text{v}\text{v}}^{(1)} & \cdot & \cdot \\ K_{\text{r}\text{v}}^{(1)} & K_{\text{r}\text{r}}^{(1)} & K_{\text{v}\text{v}}^{(1)} & K_{\text{v}\text{r}}^{(1)} & \cdot & \cdot \\ K_{\text{v}\text{r}}^{(1)} & K_{\text{v}\text{v}}^{(1)} & K_{\text{v}\text{v}}^{(1)} + K_{\text{v}\text{r}}^{(1)} & K_{\text{v}\text{v}}^{(1)} + K_{\text{v}\text{r}}^{(1)} & K_{\text{v}\text{r}}^{(1)} & K_{\text{v}\text{v}}^{(1)} \\ K_{\text{r}\text{v}}^{(1)} & K_{\text{r}\text{r}}^{(1)} & K_{\text{v}\text{v}}^{(1)} + K_{\text{v}\text{r}}^{(1)} & K_{\text{v}\text{v}}^{(1)} + K_{\text{v}\text{r}}^{(1)} & K_{\text{v}\text{r}}^{(1)} & K_{\text{v}\text{v}}^{(1)} \\ K_{\text{v}\text{v}}^{(1)} & K_{\text{v}\text{v}}^{(1)} & K_{\text{v}\text{v}}^{(1)} + K_{\text{v}\text{r}}^{(1)} & K_{\text{v}\text{v}}^{(1)} + K_{\text{v}\text{r}}^{(1)} & K_{\text{v}\text{r}}^{(1)} & K_{\text{v}\text{v}}^{(1)} \\ \vdots & \vdots & \vdots & \vdots & \vdots & \vdots \\ K_{\text{v}\text{v}}^{(1)} & K_{\text{v}\text{v}}^{(1)} & K_{\text{v}\text{v}}^{(1)} & K_{\text{v}\text{v}}^{(1)} & K_{\text{v}\text{r}}^{(1)} & K_{\text{v}\text{v}}^{(1)} \\ \cdot & \cdot & K_{\text{v}\text{v}}^{(1)} & K_{\text{v}\text{v}}^{(1)} & K_{\text{v}\text{r}}^{(1)} & K_{\text{v}\text{v}}^{(1)} \\ \cdot & \cdot & K_{\text{v}\text{v}}^{(1)} & K_{\text{v}\text{v}}^{(1)} & K_{\text{v}\text{r}}^{(1)} & K_{\text{v}\text{v}}^{(1)} \end{bmatrix} [F] = \begin{bmatrix} F_{\text{v}}^{(1)} \\ F_{\text{r}}^{(1)} \\ F_{\text{v}}^{(1)} + F_{\text{r}}^{(1)} \\ F_{\text{v}}^{(1)} + F_{\text{r}}^{(1)} \\ F_{\text{v}}^{(1)} + F_{\text{r}}^{(1)} \\ \vdots \\ F_{\text{v}}^{(1)} \\ F_{\text{r}}^{(1)} \\ F_{\text{v}}^{(1)} \end{bmatrix} \quad (161-4)$$

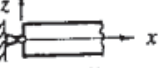
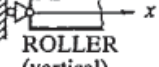
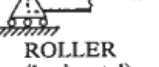
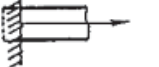
بعضی از شرایط مرزی معمول در جدول ۱۲-۴ ذکر شده‌اند. شرایط مرزی طبیعی موقعی مشخص می‌شود که متغیر اولیه نظیر آن مقید نشده باشد.

مثال ۲۹. رویه حل تیر شکل ۶۴-۴ را با دو المان به طول‌های مساوی $L = \frac{1}{2}h$ بنویسید.



شکل ۶۴-۴

جدول ۱۲-۴ چند نوع شرایط مرزی حاکم در تحلیل تیرها

نوع تکیه گاه	شرایط مرزی جابجایی	شرایط مرزی نیروی
 FREE	-	همه، طبق تعریف مساله
 PINNED	$u = \cdot, w = \cdot$	ممان مشخص نمی‌شود.
 ROLLER (vertical)	$u = \cdot$	نیروی قائم و ممان خمی مشخص می‌شوند
 ROLLER (horizontal)	$w = \cdot$	نیروی افقی و ممان خمی مشخص می‌شوند
 FIXED or CLAMPED	$u = \cdot, w = \cdot, \frac{dw}{dx} = \cdot$	هیچ کمیتی مشخص نمی‌شود

$$\frac{\gamma EI}{l^3} \begin{bmatrix} 1 & -\gamma l & -1 & -\gamma l & \cdot & \cdot \\ -\gamma l & 1 & \gamma l & 1 & \cdot & \cdot \\ -1 & \gamma l & 1 & \gamma l & -1 & -\gamma l \\ -\gamma l & 1 & \cdot & \gamma l & \gamma l & 1 \\ \cdot & \cdot & -1 & \gamma l & 1 & \gamma l \\ \cdot & \cdot & -\gamma l & 1 & \gamma l & 1 \end{bmatrix} \begin{bmatrix} U_r \\ U_\epsilon \\ U_o \\ U_i \\ U_\circ \\ U_\gamma \end{bmatrix} = \frac{f.l}{12} \begin{bmatrix} 1 \\ -l \\ 1 \\ l \\ 1 \\ l \end{bmatrix} + \begin{bmatrix} Q_r \\ Q_\epsilon \\ \cdot \\ \cdot \\ F \\ -M \end{bmatrix}$$

با اعمال شرایط مرزی $U_r = U_\epsilon = \cdot$ و حل معادلات منتجه داریم:

$$\begin{bmatrix} U_r \\ U_\epsilon \\ U_o \\ U_i \\ U_\circ \\ U_\gamma \end{bmatrix} = \frac{l^3}{\gamma EI} \begin{bmatrix} 1 & \cdot & -1 & -\gamma l \\ \cdot & 1 & \gamma l & 1 \\ -1 & \gamma l & 1 & \gamma l \\ -\gamma l & 1 & \gamma l & 1 \\ \cdot & -1 & \gamma l & 1 \\ \cdot & -\gamma l & 1 & \gamma l \end{bmatrix}^{-1} \begin{bmatrix} f.l \\ \cdot \\ f.l \\ f. + \frac{1}{12} f.l \\ -M. + \frac{1}{12} f.l \\ \cdot \end{bmatrix} = \frac{h}{\gamma EI} \begin{bmatrix} 5l^3 F. + 7lM. + \frac{11}{12} f.l^3 \\ -9lF. - 7M. - \sqrt{f.l^3} \\ 7l^3 F. + 11lM. + 11f.l^3 \\ -11lF. - 11M. - 8f.l^3 \end{bmatrix}$$

و نیروهای عکس العمل تکیه‌گاهی عبارتند از :

$$\begin{bmatrix} Q_r \\ Q_\epsilon \end{bmatrix} = \frac{\gamma EI}{l^3} \begin{bmatrix} 1 & -\gamma l & \cdot & \cdot \\ \gamma l & 1 & l^3 & \cdot \\ -1 & l^3 & 1 & \gamma l \\ -\gamma l & l^3 & \gamma l & 1 \end{bmatrix}^{-1} \begin{bmatrix} U_r \\ U_\epsilon \\ U_o \\ U_i \end{bmatrix} - \frac{f.l}{12} \begin{bmatrix} 1 \\ -l \end{bmatrix} = \begin{bmatrix} -(F. + \gamma f.l) \\ 2l(F. + \gamma f.l) + M. \end{bmatrix}$$

پس پردازش:

$$w(x) = \begin{cases} U_r N_r^{(1)} + U_\epsilon N_\epsilon^{(1)} & \cdot \leq x \leq h \\ U_r N_r^{(\gamma)} + U_\epsilon N_\epsilon^{(\gamma)} + U_o N_o^{(\gamma)} + U_i N_i^{(\gamma)} & h \leq x \leq \gamma h \end{cases}$$

گشتاور خمثی در هر نقطه در المان Ω عبارت است از:

$$M = EI \frac{d^2 w}{dx^2} = EI \sum_{j=1}^e u_j^e \frac{d^2 N_j^e}{dx^2}$$

اگر مقطع تیر مستطیلی و به ارتفاع H و عرض B باشد تنش ماقزیم عبارت است از:

$$\sigma_{max} = \mp \frac{MH}{\frac{1}{2}I} = \mp \frac{EH}{2} \frac{d^2 w}{dx^2}$$

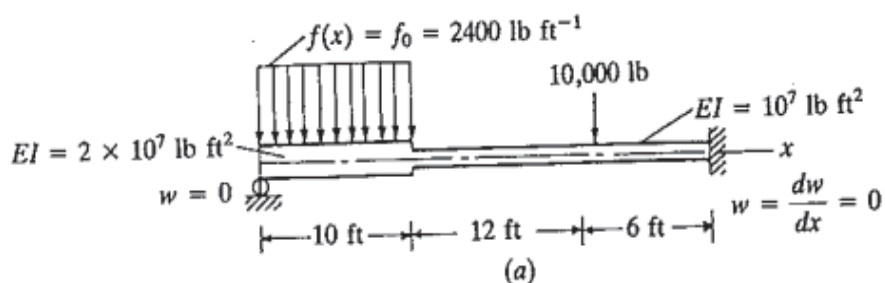
تنش در سطح بالایی منفی و برای سطح پایینی تیر مثبت است.

مثال ۳۰. برای تیر بارگذاری شده شکل ۶-۴، با فرض سه المان، درجات آزادی و نیروهای عکس العمل تکیه‌گاهی را محاسبه نمایید.

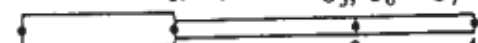
$$EI^{(1)} = 2 \times 10^7 \frac{lb}{ft^2}$$

$$EI^{(2)} = EI^{(3)} = 10^7 \frac{lb}{ft^2}$$

$$f_r = 2400 \frac{lb}{ft}$$



$$U_1 = 0, U_2 = U_3, U_4 = U_5, U_6 = U_7 = 0, U_8 = 0$$



(b)

شکل ۶-۴

معادلات سیستم عبارتنداز:

$$\begin{bmatrix} \dots & -0.12 & -0.024 & -0.12 \\ & 0.8 & 0.12 & 0.4 \\ & & 0.0309 & 0.0788 \\ & & & 1.123 \\ & & & & \dots & \dots & \dots & \dots \\ & & & & -0.079 & -0.042 & : & : \\ & & & & & 0.0417 & 0.167 & \\ & & & & & & \dots & \dots \\ & & & & & & 0.0625 & -0.125 & -0.056 & -0.167 \\ & & & & & & & 1 & 0.167 & 0.223 \\ & & & & & & & & 0.056 & 0.167 \\ & & & & & & & & & 0.077 \\ & SYM & & & & & & & & \end{bmatrix} \begin{bmatrix} U_r \\ U_\gamma \\ U_\varepsilon \\ U_o \\ U_\lambda \\ U_\gamma \\ U_\varepsilon \\ U_o \\ U_\lambda \end{bmatrix} = \begin{bmatrix} -12\dots \\ 2\dots \\ -12\dots \\ -2\dots \\ \dots \\ Q_r^1 \\ Q_r^2 + Q_\gamma^1 \\ Q_\varepsilon^1 + Q_\gamma^2 \\ Q_\varepsilon^2 + Q_\gamma^1 \\ Q_\gamma^1 + Q_\gamma^2 \\ Q_\gamma^2 \\ Q_\varepsilon^1 + Q_\gamma^2 \\ Q_\gamma^1 \\ Q_\gamma^2 \\ Q_\varepsilon^1 \end{bmatrix}$$

با اعمال شرایط مرزی $Q_r^1 + Q_\gamma^1 + Q_\varepsilon^1 = Q_r^1 + Q_\gamma^2 = Q_\varepsilon^1 + Q_\gamma^2 = \dots = 0$ و $U_r = U_\gamma = U_\varepsilon = U_o = U_\lambda$ حل معادلات داریم:

$$U_r = -0.2807 \text{ ft}$$

$$U_\gamma = -0.2807 \text{ ft}$$

$$U_\varepsilon = -0.1214 \text{ ft}$$

$$U_o = -0.1703 \text{ ft}$$

$$U_\lambda = -0.2752 \text{ ft}$$

$$Q_r^{(1)} = 18560.54 \text{ lb}$$

$$Q_r^{(2)} = 15434.46 \text{ lb}$$

$$Q_\varepsilon^{(1)} = 92160 \text{ lb}$$

$$w^{(1)}(x) = U_r N_r^{(1)} + U_\gamma N_\gamma^{(1)} + U_\varepsilon N_\varepsilon^{(1)} \quad 0 \leq x \leq 10 \text{ ft}$$

$$w^{(2)}(x) = U_r N_r^{(2)} + U_\varepsilon N_\varepsilon^{(2)} + U_o N_o^{(2)} + U_\gamma N_\gamma^{(2)} \quad 10 \leq x \leq 22 \text{ ft}$$

$$w^{(3)}(x) = U_o N_o^{(3)} + U_\gamma N_\gamma^{(3)} \quad 22 \leq x \leq 28 \text{ ft}$$

مثال ۳۱. برای تیر بارگذاری شده شکل ۶-۴، با فرض دو المان، درجات آزادی را محاسبه نمایید.

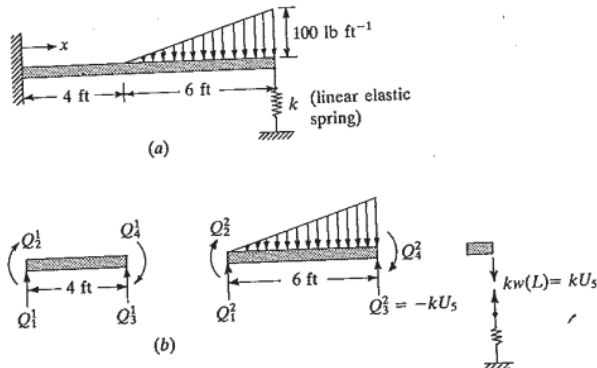
$$f_i^{(\gamma)} = \int_{\varepsilon}^{10} f(x) N_i^{(\gamma)}(x) dx, \quad f(x) = -\frac{10}{7}x + \frac{40}{7} \rightarrow [f]^{(\gamma)} = \begin{bmatrix} -9.0 \\ 12.0 \\ -12.0 \\ -18.0 \end{bmatrix}$$

$$\frac{EI}{144} \begin{bmatrix} 27 & -54 & -27 & -54 & . & . \\ -54 & 144 & 54 & 72 & . & . \\ -27 & 54 & 27 + 8 & 54 - 24 & -8 & -24 \\ -54 & 72 & 54 - 24 & 144 + 96 & 24 & 54 \\ . & . & -8 & 24 & 8 & 24 \\ : & : & -24 & 24 & 24 & 24 \end{bmatrix} \begin{bmatrix} U_r \\ U_\gamma \\ U_\varepsilon \\ U_o \\ U_\lambda \\ U_\gamma \end{bmatrix} = \begin{bmatrix} Q_r^1 \\ Q_r^2 \\ Q_\varepsilon^1 + Q_\gamma^1 \\ Q_\varepsilon^2 + Q_\gamma^2 \\ Q_\gamma^1 + Q_\gamma^2 \\ Q_\gamma^2 \end{bmatrix}$$

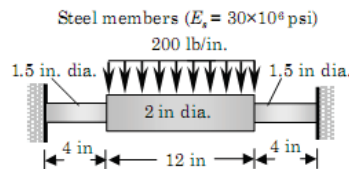
پس از اعمال شرایط مرزی و اصلاح ماتریس سفتی به خاطر مدول پی الاستیک و شرط مرزی $Q_\gamma^1 = ku_s$

معادلات سیستم بصورت زیر در می‌آیند:

$$\frac{EI}{144} \begin{bmatrix} 30 & 20 & -8 & -24 & . & . \\ 20 & 24 & 24 & 48 & . & . \\ -8 & 24 & 8 + C & 24 & . & . \\ -24 & 48 & 24 & 96 & . & . \end{bmatrix} \begin{bmatrix} U_r \\ U_\varepsilon \\ U_o \\ U_\lambda \\ U_\gamma \end{bmatrix} = \begin{bmatrix} -90 \\ 120 \\ -210 \\ -180 \end{bmatrix}$$



شکل ۶-۴



شکل ۶-۵

که در آن $c = \frac{K}{EI}$ است. به ازای مقادیر مختلف $\frac{K}{EI}$ حل این معادلات متفاوت خواهد بود؛ مثلاً برای $\frac{K}{EI} = 10^2$ داریم.

$$U_r = \frac{-0.1216 \times 10^4}{EI} (ft), \quad U_t = \frac{0.3760 \times 10^7}{EI} (rad)$$

$$U_o = \frac{-2.132}{EI} (ft), \quad U_\gamma = \frac{-0.7617 \times 10^7}{EI} (rad)$$

مثال ۳۲. برای تیر بارگذاری شده شکل ۶-۴، با فرض دو المان، درجات آزادی را محاسبه نمایید.

$$A_s = \pi \left(\frac{1.5}{2}\right)^2 = 1.767 (in^2)$$

$$A_r = \pi \left(\frac{\gamma}{\gamma}\right)^r = 2.142 \text{ (in}^r\text{)}$$

$$I_h = \frac{\pi}{\gamma \xi} (1.0)^t = 0.985 \text{ (in}^t\text{)}$$

$$I_r = \frac{\pi}{\gamma \xi} (2)^t = 0.7804 \text{ (in}^t\text{)}$$

$E = 30 \times 10^3 \text{ psi}$

$$EI^{(1)} = 7.400 \times 10^3 \text{ lb-in}^3, EI^{(2)} = 22.562 \times 10^3 \text{ lb-in}^3$$

با توجه به تقارن مساله می‌توان تنها نصف تیر را تحلیل کرد. ماتریس سفتی المان به صورت زیر می‌باشد:

$$\frac{\gamma EI^{(e)}}{l^{(e)2}} \begin{bmatrix} 1 & -\gamma l^{(e)} & -1 & -\gamma l^{(e)} \\ -\gamma l^{(e)} & \gamma l^{(e)2} & \gamma l^{(e)} & l^{(e)2} \\ -1 & \gamma l^{(e)} & 1 & \gamma l^{(e)} \\ -\gamma l^{(e)} & l^{(e)2} & \gamma l^{(e)} & \gamma l^{(e)2} \end{bmatrix}$$

ماتریس نیروی گستردگی روی المان اول صفر و روی المان دوم عبارت است از:

$$[F^{(r)}] = \frac{-200l^{(r)}}{12} [1 \quad -l^{(r)} \quad 1 \quad l^{(r)}]^T$$

معادلات سیستم شده عبارتند از:

$$\begin{bmatrix} 1.098 & -2.796 & -1.298 & -2.796 & \dots & \dots \\ \vdots & \ddots & \ddots & \ddots & \ddots & \ddots \\ SYM & \ddots & -1.298 & -2.796 & -2.796 & \dots \\ & & 22.16 & 2.796 & 2.796 & \dots \\ & & & 1.298 & 1.298 & \dots \\ & & & & \ddots & \ddots \end{bmatrix} \begin{bmatrix} U_1 \\ U_2 \\ U_3 \\ U_4 \\ U_5 \\ U_6 \end{bmatrix} = \begin{bmatrix} Q_1^{(r)} \\ Q_2^{(r)} \\ \vdots \\ Q_3^{(r)} + Q_4^{(r)} \\ Q_5^{(r)} + Q_6^{(r)} \\ Q_7^{(r)} + Q_8^{(r)} \\ Q_9^{(r)} \end{bmatrix}$$

با اعمال شرایط مرزی $Q_1^{(r)} + Q_2^{(r)} = 0, Q_3^{(r)} + Q_4^{(r)} = 0, Q_5^{(r)} + Q_6^{(r)} = 0$ ، تعادل نیروهای داخلی $U_1 = U_2 = U_3 = U_4 = U_5 = U_6 = 0$ داشت:

$$U_r = -0.052 \text{ in}, U_t = +0.082 \text{ in}, U_o = -0.056 \text{ in}$$

علت $\frac{dM}{dx} = Q_r^{(r)}$ این است که ..

برنامه APDL نظیر این مثال به شرح زیر است:

/PERPV

ANTYPE,STATIC

ET,1,BEAM

R,1,1,78V,0,7485

IA=1,IZZ=0,2485

R,2,2,142,0,7845

MP,EX,1,0EV

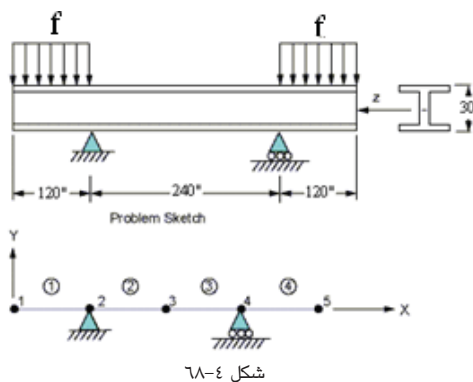
```

MP,PRXY,100
N,1
N,2,4
N,3,1
E,1,2
REAL,7
E,2,3
D,1,ALL
D,2,ROTZ,0
F,3,FY,0
SFBEAM,20,PRES,20
OUTPR,BASIC,LAST
FINISH
!*
/SOLU
SOLVE
FINISH
!*
/POST1
PRNSOL,U,Y
PRNSOL,ROT,Z
PRRSOL,F
FINISH
!*

```

مثال ۳۲. یک تیر WF ۲۰ استاندارد، به مساحت سطح مقطع $A = 50.65 \text{ in}^2$ طبق شکل ۶۸-۴ روی تکیه‌گاهها و تحت بارگذاری قرار گرفته است. اگر شدت بار گستردگی وارد $f = 10000 \text{ lb/in}$ باشد، ماکزیمم تنش خمشی در قسمت میانی تیر و خیز δ در وسط تیر را تعیین کنید.

با استفاده از چهار المان می‌توان سازه را مشبندی کرد. البته بخاطر تقارن مساله می‌توان نصف تیر را نیز تحلیل کرد. برای این منظور از المان BEAM2 در انسپیس استفاده می‌شود. برنامه APDL معادل عبارتست از:



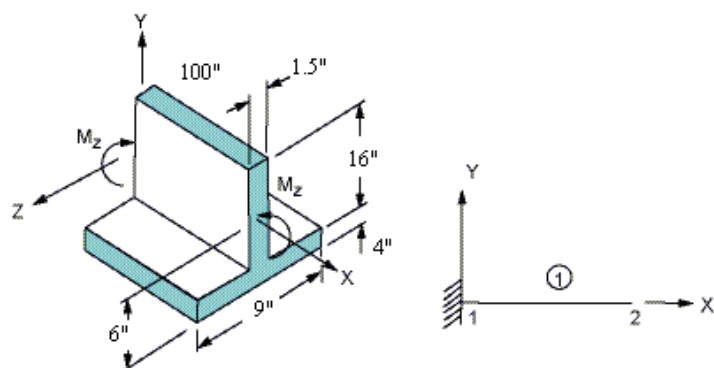
```

/PREP4
MP, PRXY, 1, .r
ANTYPE, STATIC
ET, 1, BEAM
KEYOPT, 1, 9, 9      !output at 4 intermediate locations
R, 1, 50.0, 144, r
MP, EX, 1, r.E
N, 1
N, 2, 12
N, 3, 22
N, 4, 32
N, 5, 42
E, 1, r
EGEN, r, 1, 1
D, r, UX
D, r, UY
D, r, UV
SFBEAM, 1, 1, PRES, (1.../1)
SFBEAM, 2, 1, PRES, (1E7/1)
FINISH
/SOLU
SOLVE
FINISH
/POST1
SET, 1, 1
PRNSOL, U, COMP
PRNSOL, ROT, COMP
PLDISP, 1
ETABLE, STRS, LS, r
PRETAB, STRS
FINISH
!*

```

مقادیر تنش ماکزیمم در قسمت میانی و خیز برابرند با:

$$\sigma = -11.8 \cdot \epsilon \text{ psi}, \delta = 0.88 \text{ in}$$

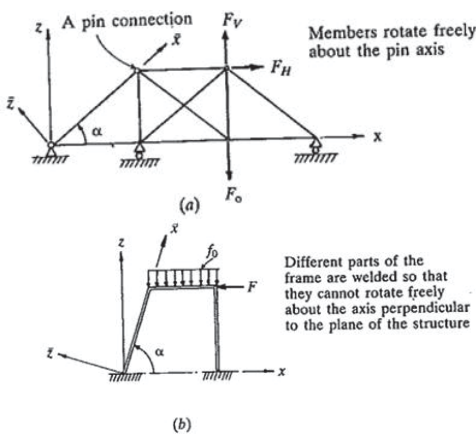


شکل ٦٩-٤

مثال ۳۲. ماکریم تنش‌های کششی و فشاری در یک تیر T شکل نامتقارن را که در معرض گشتاور خمشی M_z قرار دارد پیدا کنید.
بعاد و خواص هندسی مطابق شکل ۶۹-۴ با $I_z = 200 \text{ in}^4$, $A = 7\text{in}^2$, $E = 30 \times 10^6 \text{ lb/in.}$ است.

نظر گرفتن یک المان از نوع BEAM (المان تیر نامتقارن مخروطی) در نرم افزار ANSYS برنامه APDL معادل این مثال عبارت است از:

```
/PREPV
MP,PRXY,1.,r
ANTYPE,STATIC
ET,1,BEAM5F
R,1,2,3,4,5,6 !AREA,Iz,DISTANCE TO TOP AND BOT HEIGHT
MP,EX,1,r,E,r
N,1
N,2,3,4
E,1,r
D,1,ALL
F,1,MZ,1,.....
FINISH
/SOLU
NSUBST,1
OUTRP,ALL,1
SOLVE
FINISH
/POST1
ETABLE,STRS,B,LS,r
ETABLE,STRS,T,LS,r
PRETAB,STRS-B
PRETAB,STRS-T
FINISH
```



شکل ۶۹-۴

۴-۱۹ المان قاب اولر-برنولی

در مورد خرپاهای دو بعدی، ماتریس سفتی المان به شکل زیر تعریف شد:

$$[K]^{(e)} = \frac{A^{(e)} E^{(e)}}{l^{(e)}} \begin{bmatrix} 1 & \cdot & -1 & \cdot \\ \cdot & \ddots & \cdot & \cdot \\ -1 & \cdot & 1 & \cdot \\ \cdot & \cdot & \cdot & \cdot \end{bmatrix} \quad (162-4)$$

از سوپرپوز المان میله با المان تیر، برای المان قاب سه درجه آزادی در هر گره نتیجه می شود.

(). اگر سفتی محوری (AE)، سفتی خمشی (EI) و نیروی گسترده محوری (q) و نیروی

گسترده عرضی (f) بطور المانی ثابت باشند، سوپرپوز المان میله خطی با المان تیر اولر-برنولی مکعبی

هرمیتی معادلات المانی زیر را ارائه می دهد:

$$[\bar{K}]^{(e)} [\bar{d}]^{(e)} = [\bar{F}]^{(e)}$$

که در آن

$$[\bar{d}]^{(e)} = \begin{bmatrix} u_1 \\ w_1 \\ \theta_1 \\ u_r \\ w_r \\ \theta_r \end{bmatrix}, \quad [\bar{F}]^{(e)} = \begin{bmatrix} \frac{1}{r} q h \\ \frac{1}{r} f h \\ -\frac{1}{r} f h^r \\ \frac{1}{r} q h \\ \frac{1}{r} f h \\ \frac{1}{r} f h^r \end{bmatrix} + \begin{bmatrix} Q_1 \\ Q_r \\ Q_{r^r} \\ Q_i \\ Q_o \\ Q_{r^o} \end{bmatrix} \quad (164-4)$$

هرگاه $q=f$ و $w=u$ ثابت باشند خواهیم داشت:

$$[\bar{K}] = \frac{\gamma AE}{l^{(e)r}} \begin{bmatrix} \mu & \cdot & \cdot & -\mu & \cdot & \cdot \\ \cdot & 6 & -3l & \cdot & -6 & -3l \\ \cdot & -3l & 2l^r & \cdot & 3l & l^r \\ -\mu & \cdot & \cdot & \mu & \cdot & \cdot \\ \cdot & -6 & 3l & : & 6 & 3l \\ \cdot & -3l & l^r & : & 3l & 2l^r \end{bmatrix}, \quad \mu = \frac{A^{(e)} l^{(e)r}}{\gamma I} \quad (165-4)$$

اگر جابجایی‌های محلی (\bar{w} , \bar{v} , \bar{u}) نظیر جابجایی‌های عمومی (u , v , w) باشند در حالت دو بعدی مؤلفه عمود بر صفحه، صفر ($v = \bar{v} = 0$) بوده و $\theta = -\frac{dw}{dx}$ ثابت است. در این حالت ماتریس دوران عبارت است از:

$$\begin{bmatrix} \bar{u}^{(e)} \\ \bar{w}^{(e)} \\ \bar{\theta}^{(e)} \end{bmatrix} = \begin{bmatrix} \cos \varphi^{(e)} & \sin \varphi^{(e)} & \cdot \\ -\sin \varphi^{(e)} & \cos \varphi^{(e)} & \cdot \\ \cdot & \cdot & 1 \end{bmatrix} \begin{bmatrix} u^{(e)} \\ w^{(e)} \\ \theta^{(e)} \end{bmatrix} \quad (166-4)$$

و یا

$$[\bar{d}]^{(e)} = [R]^{(e)}[d]^{(e)} \quad (167-4)$$

در نتیجه

$$[d]^{(e)} = [R]^{(e)T}[\bar{d}]^{(e)} \quad (168-4)$$

به همین ترتیب

$$[\bar{F}]^{(e)} = [R]^{(e)}[F]^{(e)} \quad (169-4)$$

لذا داریم:

$$[\bar{k}]^{(e)} = [\bar{d}]^{(e)}[\bar{F}]^{(e)} \quad (170-4)$$

$$[\bar{K}]^{(e)}[R]^{(e)}[d]^{(e)} = [R]^{(e)}[F]^{(e)} \quad (171-4)$$

و یا

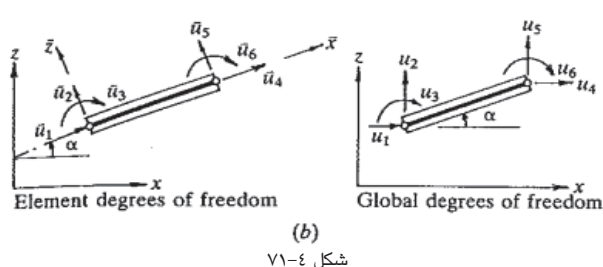
$$[R]^{(e)T}[\bar{K}]^{(e)}[R]^{(e)}[d]^{(e)} = [F]^{(e)} \quad (172-4)$$

بنابراین ماتریس سفتی المان در سیستم عمومی در این حالت عبارت است از:

$$[K]^{(e)} = [R]^{(e)T}[\bar{K}]^{(e)}[R]^{(e)} \quad (173-4)$$

و ماتریس بار المان در سیستم عمومی برابر است با:

$$[F]^{(e)} = [R]^{(e)T}[\bar{F}]^{(e)} \quad (174-4)$$



به این ترتیب بر اساس شکل‌های زیر، ماتریس دوران المانی عبارت است از:

$$\begin{bmatrix} \bar{u}_1^{(e)} \\ \bar{u}_\gamma^{(e)} \\ \bar{u}_\nu^{(e)} \\ \bar{u}_i^{(e)} \\ \bar{u}_o^{(e)} \\ \bar{u}_\lambda^{(e)} \end{bmatrix} = \begin{bmatrix} \cos \varphi^{(e)} & \sin \varphi^{(e)} & . & . & . & u_1^{(e)} \\ -\sin \varphi^{(e)} & \cos \varphi^{(e)} & . & . & . & u_\gamma^{(e)} \\ . & . & 1 & . & . & u_\nu^{(e)} \\ . & . & . & \cos \varphi^{(e)} & \sin \varphi^{(e)} & u_i^{(e)} \\ . & . & . & -\sin \varphi^{(e)} & \cos \varphi^{(e)} & u_o^{(e)} \\ . & . & . & . & . & u_\lambda^{(e)} \end{bmatrix} \quad (175-4)$$

بر اساس این ماتریس دوران، ماتریس سفتی عمومی عبارت است از:

$$[K^{(e)}] = \frac{\gamma El}{l^3} \begin{bmatrix} \mu C^\gamma + \gamma S^\gamma & (\mu - \gamma)CS & \gamma l S & \mu S^\gamma + \gamma C^\gamma & -\gamma l S & \gamma l^\gamma \\ (\mu - \gamma)CS & -(\mu C^\gamma + \gamma S^\gamma) & -\gamma l S & -\gamma l S & \mu C^\gamma + \gamma S^\gamma & \text{sym.} \\ \gamma l S & -\gamma l S & l^\gamma & -\gamma l S & \mu S^\gamma + \gamma C^\gamma & \gamma l^\gamma \end{bmatrix} \quad (176-4)$$

$$\left[\mu = \frac{A^{(e)} - h^{(e)\gamma}}{\gamma I^{(e)}} , \quad S = \sin \varphi^{(e)} , \quad C = \cos \varphi^{(e)} \right] \quad (177-4)$$

و ماتریس نیرو عبارت است از:

$$\begin{bmatrix} F_\lambda^{(e)} \\ F_\gamma^{(e)} \\ F_\nu^{(e)} \\ F_i^{(e)} \\ F_o^{(e)} \\ F_\lambda^{(e)} \end{bmatrix} = \begin{bmatrix} \bar{F}_\lambda C - \bar{F}_\gamma S \\ \bar{F}_\gamma S + \bar{F}_\nu C \\ \bar{F}_\nu \\ \bar{F}_i C - \bar{F}_o S \\ \bar{F}_o S + \bar{F}_i C \\ \bar{F}_\lambda \end{bmatrix} \quad (178-4)$$

مثال ۳۵. مطلوبست تحلیل قاب زیر

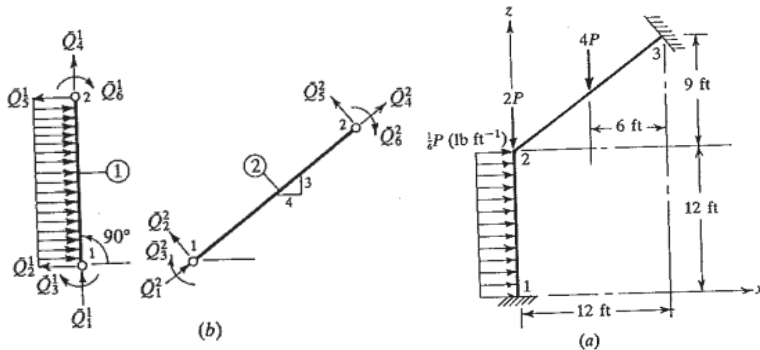
$$\varphi^{(\gamma)} = 90^\circ , l^{(\gamma)} = 144 \text{ in} , A^{(\gamma)} = 1. in^\gamma , I^{(\gamma)} = 1. in^\epsilon ,$$

$$E^{(\gamma)} = 1.1 Ppsi , f^{(\gamma)} = \frac{P}{\gamma \pi} lb - in^{-1}$$

$$\varphi^{(\nu)} = 36.87^\circ , l^{(\nu)} = 18. in , A^{(\nu)} = 1. in^\nu , I^{(\nu)} = 1. in^\epsilon ,$$

$$E^{(\nu)} = 1.1 Ppsi , f^{(\nu)} = .$$

نیروی وسط المان ۲ طبق رابطه $F_i^{(\gamma)} = F_o^{(\gamma)} N_i^{(\gamma)}(x_o)$ به دو گره ۲ و ۳ تقسیم می‌شود. برای همین آن را به دو مولفه عمودی و محوری تجزیه می‌کنیم.



شکل ۷۲-۴

$$\bar{F}^{(1)} = \begin{bmatrix} \frac{1}{12} \left(\frac{-P}{\gamma} \right) \\ \frac{-1}{12} \left(\frac{-P}{\gamma} \right) \\ \frac{1}{12} \left(\frac{-P}{\gamma} \right) \\ \frac{1}{12} \left(\frac{-P}{\gamma} \right) \end{bmatrix}_{12 \times 1} = \begin{bmatrix} -P \\ \gamma \epsilon P \\ -P \\ -\gamma \epsilon P \end{bmatrix}$$

$$\bar{Q}_x^{(1)} = \frac{-12P}{\gamma} \left(\frac{\bar{x}_r^{(1)} - \bar{x}}{\bar{x}_r^{(1)} - \bar{x}_1^{(1)}} \right) = \frac{-12P}{\gamma} \left(\frac{10 - 10/\gamma}{10} \right) = \frac{-12P}{\gamma}$$

$$\bar{Q}_y^{(1)} = \frac{-16P}{\gamma} [1 - \gamma(0.5)^2 + 2(0.5)^2] = \frac{-16P}{\gamma}$$

$$\bar{Q}_r^{(1)} = \frac{-16P}{\gamma} \left[-\frac{10}{\gamma} (1 - 0.5)^2 \right] \times 12 = 72P$$

$$\bar{Q}_t^{(1)} = \frac{-12P}{\gamma} \left(\frac{\bar{x} - \bar{x}_1^{(1)}}{\bar{x}_r^{(1)} - \bar{x}_1^{(1)}} \right) = \frac{-12P}{\gamma} \left(\frac{10/\gamma - 1}{10} \right) = \frac{-12P}{\gamma}$$

$$\bar{Q}_\phi^{(1)} = \frac{-16P}{\gamma} [2(0.5)^2 - 2(0.5)^2] = \frac{-16P}{\gamma}$$

$$\bar{Q}_\zeta^{(1)} = \frac{-16P}{\gamma} \left[\frac{-10}{\gamma} (0.5^2 - 0.5) \right] \times 12 = -72P$$

بنابراین ماتریس بار المان اول در سیستم Z-X عبارت است از:

$$F^{(1)} = \begin{bmatrix} P \\ \gamma \epsilon P \\ P \\ -\gamma \epsilon P \end{bmatrix}$$

در گره (۲) مجموع مولفه‌های نیرو و گشتاور خارجی در سیستم عمومی Z-X برای المانهای (۱) و (۲) عبارت خواهد بود از:

$$F_X = \frac{-12P}{\gamma} \times \frac{12}{10} + \frac{16P}{\gamma} \times \frac{9}{10} + P = P$$

$$F_Z = \frac{-12P}{10} \times \frac{9}{10} - \frac{16P}{10} \times \frac{12}{10} - 2P = -\xi P$$

$$M = v_2 P - 2\xi P = \xi \Delta P$$

شرطی مزدی لازم عبارت هستند از:
 $U_1 = U_2 = U_3 = U_4 = U_5 = U_6 = \dots$
 ماتریس سفتی و ماتریس بارسیستم با سوپرپوز سه سطر اول و سه ستون آخر المان ۱ با سه سطر و
 ستون المان ۲ بدست می آید.

$$\begin{aligned} & \begin{bmatrix} 0.356 & 0.2666 & -0.00178 \\ 0.2666 & 0.8846 & -0.00148 \\ -0.00178 & -0.00148 & 0.000 \end{bmatrix} \begin{bmatrix} U_1 \\ U_2 \\ U_3 \end{bmatrix} = \begin{bmatrix} 1 \\ -\xi \\ \xi \Delta \end{bmatrix} P \Rightarrow \\ & \begin{cases} U_1 = 0.839 \times 1^{-\xi} P \text{ (in)} \\ U_2 = -0.681 \times 1^{-\xi} P \text{ (in)} \rightarrow [Q]^{(e)} = [K]^{(e)}[u]^{(e)} - [f]^{(e)} \\ U_3 = 0.961 \times 1^{-\xi} P \text{ (in)} \end{cases} \end{aligned}$$

و با تبدیل معکوس می‌توان $[Q]^{(e)}$ را به سیستم محلی برگرداند؛ یعنی:
 $[\bar{Q}]^{(e)} = [R]^{(e)}[Q]^{(e)}$
 در مورد این مثال داریم:

$$[\bar{Q}]^{(1)} = \begin{bmatrix} 0.771 \\ 0.720 \\ -1.09 \\ -0.771 \\ 1.270 \\ 0.040 \end{bmatrix} P, \quad [\bar{Q}]^{(2)} = \begin{bmatrix} 1.458 \\ -0.180 \\ 21.050 \\ -1.458 \\ 0.180 \\ 10.870 \end{bmatrix}$$

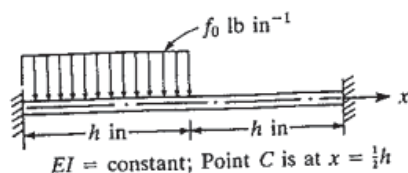
مسایل

مسایل ۷۱ تا ۷۶. برای تیرهای نشان داده شده در شکل‌های ۴-۶۱، ۷۶-۴ تا ۶۱-۴ از المان تیر اولر- برنولی استفاده کرده و

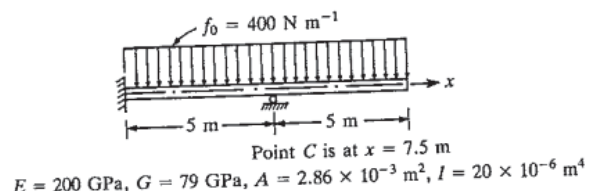
(الف) ماتریس سفتی و نیروی سیستم؛

(ب) جابجایی‌ها و نیروهای عمومی مشخص شده و شرایط تعادل؛

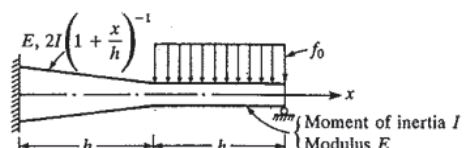
(ج) معادلات ماتریسی به ازای مجهولات اولیه (جابجایی‌ها) و مجهولات ثانویه (نیروهای تعیین یافته) را جداگانه تعیین نمایید. اگر کمتر از چهار جابجایی مجهول وجود داشته باشد، جابجایی‌ها را تعیین نموده و گشتاور خمی $M^c = EI \frac{d^2x}{dx^2}$ در نقطه c را با استفاده از میانیابی المان محدود وقتي که معادلات حل نمی شوند، M^c را بر حسب مقادیر گرهی المان مناسب (ارزیابی نمایید. از حداقل تعداد المان‌های مورد نیاز در هر مساله استفاده نمایید.



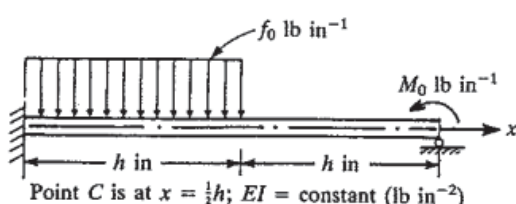
شکل ۷۳-۴



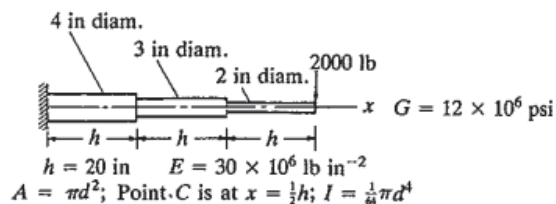
شکل ۷۴-۴



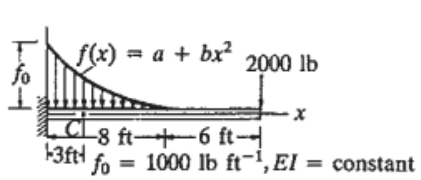
شکل ۷۵-۴



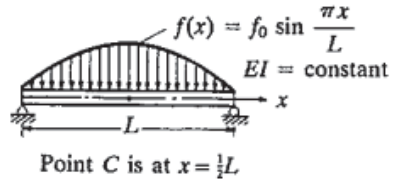
شکل ۷۶-۴



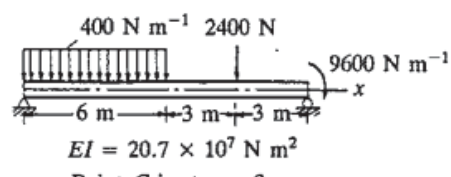
شکل ۷۷-۴



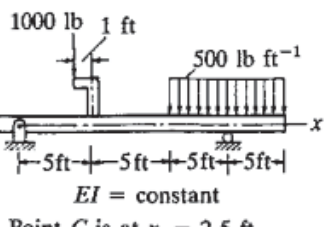
شكل 79-4



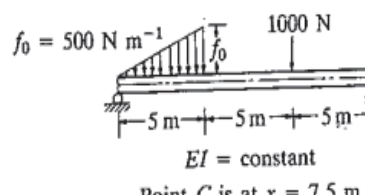
شكل 78-4



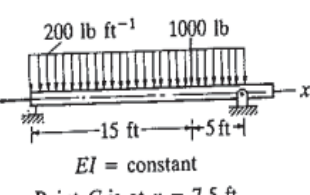
شكل 81-4



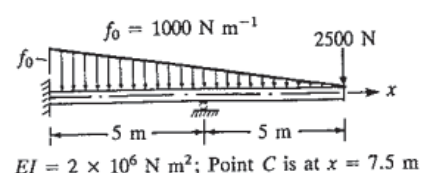
شكل 80-4



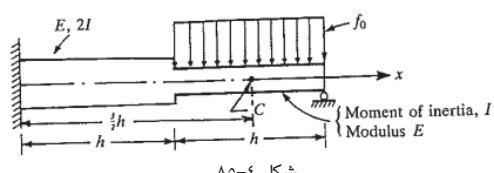
شكل 82-4



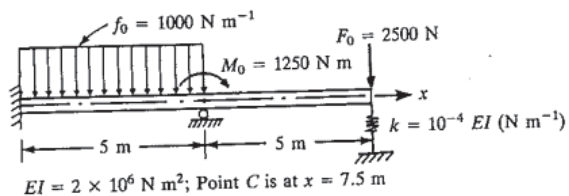
شكل 82-4



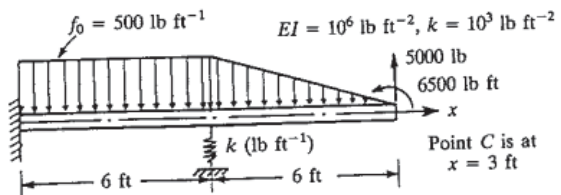
شكل 84-4



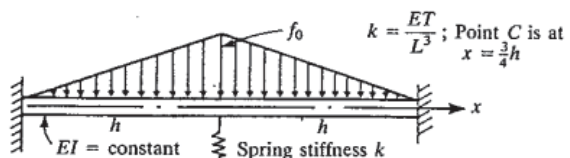
شكل 85-4



شکل ۸۶-۴



شکل ۸۷-۴

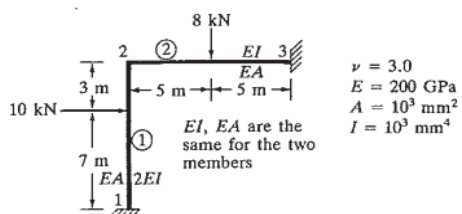


شکل ۸۸-۴

مساله ۷۲. یک تیر با تکیه‌گاه‌های ساده را روی یک پی‌الاستیک (با مدول پی‌ک) در معرض بارگذاری عرضی یکنواخت در نظر بگیرید. جابجایی عرضی در وسط تیر را با استفاده از یک المان تیر اولر-برنولی تعیین نمایید.

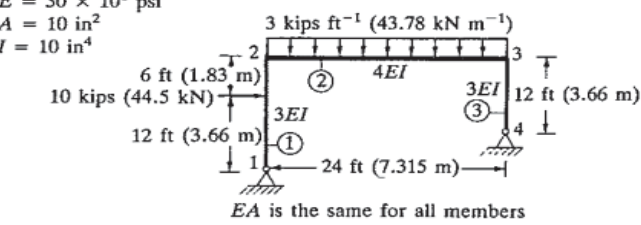
مسایل ۷۳-۷۷. برای قاب‌های نشان داده شده در شکل‌های ۸۹-۴ تا ۹۳-۴، مطلوب است:

- الف) ماتریس‌های المانی دوران یافته؛
ب) ماتریس المانی سفتی سیستم؛
ج) حل معادلات ماتریسی برای جابجایی‌ها و نیروهای تعیین یافته مجهول.

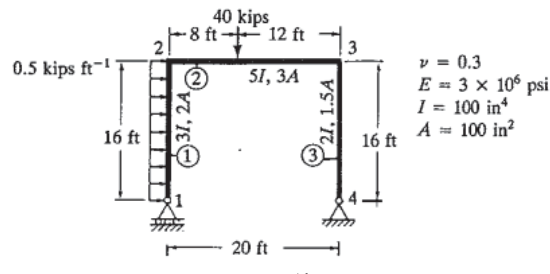


شکل ۸۹-۴

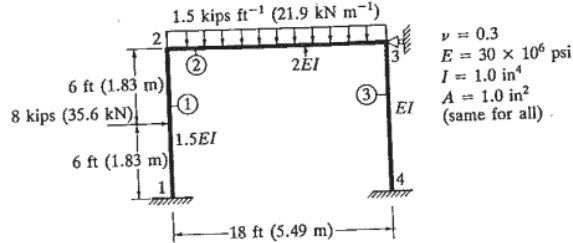
$$\begin{aligned}v &= 0.3 \\E &= 30 \times 10^6 \text{ psi} \\A &= 10 \text{ in}^2 \\I &= 10 \text{ in}^4\end{aligned}$$



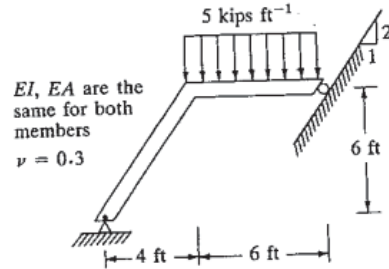
شکل ٩٠-٤



شکل ٩١-٤



شکل ٩٢-٤



شکل ٩٣-٤

۴-۲- بیان دیگری برای معادلات جبری سیستم

همانطوریکه قبل مشاهده شد شکل قوی معادلات حاکم بر میله الاستیک تحت بارگذاری محوری عبارت است از:

$$\begin{aligned} a) \frac{d}{dx} \left(EA \frac{du}{dx} \right) + b &= . & < x < l & (179-4) \\ b) \sigma(\cdot) = (E \frac{du}{dx})_{x=.} &= -\bar{t} & N.B.C & (180-4) \\ c) u(l) &= \bar{u} & E.B.C & (181-4) \end{aligned}$$

برای تدوین معادلات المان محدود، معادلات دیفرانسیل را باید به فرم انتگرالی، معروف به «شکل ضعیف» مجدداً فرمول بندی کرد. در تحلیل تنش به این شکل ضعیف «معادله کار مجازی» هم می‌گویند. برای تبیین شکل ضعیف معادلات حاکم ابتدا معادله دیفرانسیل و شرایط مرزی طبیعی را به ازای یک حل آزمایشی دریک تابع وزن اختیاری مثل $w(x)$ ضرب کرده و سپس روی دامنه مساله انتگرال می‌گیرند؛ عبارت دیگر:

$$a) \int_l^l w \left[\frac{d}{dx} \left(AE \frac{du}{dx} \right) + b \right] dx = . \quad \forall w \text{ where } w(l) = . \quad (182-4)$$

$$b) (wA(E \frac{d\bar{u}}{dx} + \bar{t}))_{x=.} = . \quad \forall w \quad (183-4)$$

در اینجا می‌توان تابع وزن را طوری انتخاب کرد که $w(l)=0$ باشد (تابع وزن در مرز مربوط به شرایط مرزی لازم اینگونه انتخاب می‌شود). همچنین در روابط بالا فرض گردیده که $w(x)$ تقریبی از حل دقیق است که بعنوان حل آزمایشی در نظر گرفته می‌شود و حاصل انتگرال به گونه‌ای خواهد بود که آن نزدیکترین حالت به جواب دقیق می‌باشد و میزان خطا را کمینه خواهد کرد. عبارت دیگر، حل آزمایشی ای که به ازای هر تابع هموار $w(x)$ (با شرط $w(l)=0$) معادله بالا را ارضاء می‌کند، یک جواب مجاز خواهد بود. این حل آزمایشی شرایط $\bar{u}(l)=0$ را هم ارضاء می‌کند. به طور مشابه یک تابع وزن هموار که در $E.B$ صفر باشد «تابع مجاز» می‌باشد.

بعنوان مثال اگر حل آزمایشی ای به صورت $x^{(e)} \bar{x} = \alpha^{(e)} + \alpha^{(e)}_1 x^{(e)}$ که یک تابع کامل با پیوستگی C^1 است (المان خطی) را در نظر بگیریم با فرض مقدار جابجایی نظیر گره‌های (۱) و (۲) بترتیب برابر با $\tilde{u}^{(e)}$ داریم:

$$\tilde{u}^{(e)}(x^{(e)}) = \tilde{u}^{(e)}_1 = \alpha^{(e)} + \alpha^{(e)}_1 x^{(e)} \quad (184-4)$$

$$\tilde{u}^{(e)}(\bar{x}^{(e)}) = \tilde{u}^{(e)}_2 = \alpha^{(e)} + \alpha^{(e)}_2 x^{(e)}$$

عبارت دیگر به صورت ماتریسی می‌توان نوشت:

$$\tilde{u}^{(e)}(x) = [1 \quad x] \begin{bmatrix} \alpha_1^{(e)} \\ \alpha_2^{(e)} \end{bmatrix} = p(x)\alpha^{(e)} \quad (185-4)$$

همچنین داریم:

$$\begin{bmatrix} \tilde{u}_1^{(e)} \\ \tilde{u}_2^{(e)} \end{bmatrix} = \begin{bmatrix} 1 & x_1^{(e)} \\ 1 & x_2^{(e)} \end{bmatrix} \begin{bmatrix} \tilde{u}_1^{(e)} \\ \tilde{u}_2^{(e)} \end{bmatrix} \quad \text{با} \quad d^{(e)} = M^{(e)}\alpha^{(e)} \quad (186-4)$$

در نتیجه می‌توان نوشت:

$$\alpha^{(e)} = (M^e)^{-1}d^{(e)} \quad (187-4)$$

بعارت دیگر، هرگاه جابجایی‌های گرهی معلوم باشند می‌توان حل آزمایشی پیشنهادی را بجای تعریف بر حسب متغیر مستقل (x) بر حسب جابجایی‌های گرهی تعریف کرد. بنابراین ضرایب مجھول $\alpha_1^{(e)}, \alpha_2^{(e)}$ را می‌توان از رابطه بالا بر حسب جابجایی‌ها بدست آورد.

$$\tilde{u}^{(e)}(x) = p(x)\alpha^{(e)} = p(x)(M^{(e)})^{-1}d^{(e)} = N^{(e)}d^{(e)} = [N_1^{(e)} N_2^{(e)}] \begin{bmatrix} \tilde{u}_1^{(e)} \\ \tilde{u}_2^{(e)} \end{bmatrix} \quad (188-4)$$

که

$$N_1^{(e)} = \frac{x - x_1^{(e)}}{x_2^{(e)} - x_1^{(e)}} \quad , \quad N_2^{(e)} = \frac{x_2^{(e)} - x}{x_2^{(e)} - x_1^{(e)}} \quad (189-4)$$

بعارت دیگر:

$$\tilde{u}^{(e)}(x) = N_1^{(e)}\tilde{u}_1^{(e)} + N_2^{(e)}\tilde{u}_2^{(e)} = \sum_{I=1}^{n_{en}} (N_I^{(e)}(x)) \tilde{u}_I^{(e)} \quad (190-4)$$

$$\text{تابع } N_I^{(e)} \text{ که به توابع شکل المان معروفند دارای دو خاصیت زیر هستند:} \\ N_I^{(e)}(x_J) = \delta_{IJ} \quad (191-4)$$

$$\sum_{I=1}^{n_{en}} (N_I^{(e)}(x_J)) = 1 \quad (192-4)$$

در شکل ضعیف معادلات، به مشتق اول حل آزمایشی و توابع وزن نیاز داریم:

$$\frac{d\tilde{u}^{(e)}}{dx} = \frac{d}{dx}(N^{(e)}d^{(e)}) = \frac{dN^{(e)}}{dx}d^{(e)} = \frac{dN_1^{(e)}}{dx}\tilde{u}_1^{(e)} + \frac{dN_2^{(e)}}{dx}\tilde{u}_2^{(e)} = \left[\frac{dN_1^{(e)}}{dx} \quad \frac{dN_2^{(e)}}{dx} \right] \begin{bmatrix} \tilde{u}_1^{(e)} \\ \tilde{u}_2^{(e)} \end{bmatrix} = B^{(e)}d^{(e)} \quad (193-4)$$

در رابطه آخر

$$B^{(e)} = \begin{bmatrix} \frac{dN_{\lambda}^{(e)}}{dx} & \frac{dN_{\gamma}^{(e)}}{dx} \end{bmatrix} = \begin{bmatrix} -1 \\ l^{(e)} & l^{(e)} \end{bmatrix} \quad (194-4)$$

همانطور که قبل اشاره شد در روش گالرکین توابع وزن همان توابع شکل در نظر گرفته می‌شوند.
بنابراین خواهیم داشت:

$$w^{(e)}(x) = N^{(e)}(x)w^e \quad , \quad \frac{dw^{(e)}(x)}{dx} = \frac{dN^{(e)}}{dx}w^e = B^{(e)}W^{(e)} \quad (195-4)$$

حل آزمایشی روی کل دامنه را می‌توان بر حسب جابجایی‌ها بصورت زیر نوشت:

$$\tilde{u}(x)^{(e)} = u_{\lambda}^{(e)}N_{\lambda}^{(e)}(x) \square u_{\gamma}^{(e)}N_{\gamma}^{(e)}(x) \quad (196-4)$$

و به همین ترتیب

$$w(x) = w_{\lambda}^{(e)}N_{\lambda}^{(e)}(x) + w_{\gamma}^{(e)}N_{\gamma}^{(e)}(x) \quad (197-4)$$

به عبارت دیگر می‌توان نوشت:

$$\tilde{u}(x)^{(e)} = \sum_{e=1}^{n_e} d^{(e)}U^{(e)} = (\sum_{e=1}^{n_e} N^{(e)}L^{(e)})d = Nd = \sum_{I=1}^{n_{ep}} N_I d_I \quad (198-4)$$

به همین ترتیب برای تابع وزن هم داریم:

$$W = \sum_{e=1}^{n_e} N^{(e)}W^{(e)} = (\sum_{e=1}^{n_e} N^{(e)}L^{(e)})W = Nw = \sum_{I=1}^{n_{ep}} N_I W_I \quad (199-4)$$

بنابراین توابع شکل عمومی عبارتند از:

$$N = (\sum_{e=1}^{n_e} N^{(e)}L^{(e)}) \quad (200-4)$$

با تعریف بالا

$$N^T = \sum L^{(e)T} N^{(e)T} \quad (201-4)$$

به عنوان مثال برای یک مشبندی متشکل از دو المان خطی به شکل زیر توابع شکل عمومی عبارتند از:

$$d^{(\lambda)} = \begin{bmatrix} \tilde{u}_{\lambda}^{(\lambda)} \\ \tilde{u}_{\gamma}^{(\lambda)} \end{bmatrix} = \begin{bmatrix} 1 & \cdot \\ \cdot & 1 \end{bmatrix} \begin{bmatrix} u_{\lambda} \\ u_{\gamma} \end{bmatrix} = L^{(\lambda)}d \quad (202-4)$$

$$d^{(\gamma)} = \begin{bmatrix} \tilde{u}_{\lambda}^{(\gamma)} \\ \tilde{u}_{\gamma}^{(\gamma)} \end{bmatrix} = \begin{bmatrix} \cdot & 1 \\ \cdot & \cdot \end{bmatrix} \begin{bmatrix} u_{\lambda} \\ u_{\gamma} \end{bmatrix} = L^{(\gamma)}d \quad (203-4)$$

$$\begin{aligned}
 N &= N^{(\gamma)} L^{(\gamma)} + N^{(\gamma)} L^{(\gamma)} \\
 &= [N^{(\gamma)} \quad N^{(\gamma)}] \begin{bmatrix} 1 & \cdot & \cdot \\ \cdot & 1 & \cdot \\ \cdot & \cdot & 1 \end{bmatrix} + [N^{(\gamma)} \quad N^{(\gamma)}] \begin{bmatrix} \cdot & \cdot & \cdot \\ \cdot & \cdot & \cdot \\ \cdot & \cdot & \cdot \end{bmatrix} \\
 &= [N^{(\gamma)} \quad N^{(\gamma)} + N^{(\gamma)} \quad N^{(\gamma)}]
 \end{aligned} \tag{20.4-4}$$

یعنی تعداد توابع شکل عمومی با تعداد گره‌ها برابر خواهد بود.
برای تعیین معادله گسسته، شبکه‌ای (مشی) با دو المان خطی را در نظر بگیرید. شکل ضعیف معادلات حاکم به صورت ماتریسی عبارت است از:

$$\int_{\gamma} \left(\frac{dw}{dx} \right)^T A E \left(\frac{d\bar{u}}{dx} \right) dx - \int_{\gamma} w^T b dx - (w^T \bar{t} A)_{x=0} = . \tag{20.5-4}$$

انتگرال بالا را می‌توان روی کل دامنه با جمع انتگرال‌ها روی تمام دامنه‌های المانی جایگزین کرد:

$$\sum_{e=1}^{n_e} \left\{ \int_{x_{(e)}}^{x_{(e)}} \left(\frac{dw^{(e)}}{dx} \right)^T A^{(e)} E^{(e)} \left(\frac{d\bar{u}^{(e)}}{dx} \right) dx - \int_{x_{(e)}}^{x_{(e)}} w^{(e)T} b dx - (w^{(e)T} A^{(e)} \bar{t})_{x=0} \right\} = . \tag{20.6-4}$$

از طرف دیگر داشتیم:

$$\bar{u}^{(e)} = N^{(e)} d^{(e)} \quad \& \quad \frac{d\bar{u}^{(e)}}{dx} = B^{(e)} L^{(e)} \tag{20.7-4}$$

$$w^{(e)T} = w^{(e)T} N^{(e)T} \quad \& \quad \left(\frac{dw^{(e)}}{dx} \right)^T = w^{(e)T} B^{(e)T} \tag{20.8-4}$$

بنابراین با جایگذاری روابط بالا در شکل ضعیف خواهیم داشت:

$$\sum_{e=1}^{n_e} w^{(e)T} \left\{ \int_{x_{(e)}}^{x_{(e)}} B^{(e)T} A^{(e)} E^{(e)} B^{(e)} dx d^{(e)} - \int_{x_{(e)}}^{x_{(e)}} N^{(e)T} b dx - (N^{(e)T} A^{(e)} \bar{t})_{x=0} \right\} = . \tag{20.9-4}$$

در روابط بالا ماتریس سفتی المان

$$K^{(e)} = \int_{x_{(e)}}^{x_{(e)}} B^{(e)T} A^{(e)} E^{(e)} B^{(e)} dx \tag{21.0-4}$$

و ماتریس بار المان:

$$f^{(e)} = \int_{x_{(e)}}^{x_{(e)}} N^{(e)T} b dx + (N^{(e)T} A^{(e)} \bar{t})_{x_t^{(e)}} \tag{21.1-4}$$

می‌باشند. با توجه به اینکه $W^{(e)T} = w^{(e)T} L^{(e)T}$ و $W^{(e)} = L^{(e)} w^{(e)}$ به شکل عمومی خواهیم داشت:

$$w^T \left(\sum_{e=1}^{n_e} L^{(e)T} K^{(e)} L^{(e)} d - \sum_{e=1}^{n_e} L^{(e)T} f^{(e)} \right) = . \tag{21.2-4}$$

با توجه به اینکه $F = \sum_{e=1}^{n_e} L^{(e)T} f^{(e)}$ و $K = \sum_{e=1}^{n_e} L^{(e)T} K^{(e)} L^{(e)}$ به ترتیب ماتریس‌های سفتی و بار سیستم هستند داریم:

$$W^T(Kd - F) = . \quad (213-4)$$

با فرض $r = Kd - F$ (که r به باقیمانده معروف است) و با توجه به شکل مساله که $w_i \neq r_i$ هستند داریم:

$$W^T r = w_r + w_i r_i = . \quad (214-4)$$

یعنی به ازای مقادیر دلخواه w_r و w_i باید $r_i = r_r$ باشند. خواهیم داشت:

$$\begin{bmatrix} r_r \\ \cdot \\ \cdot \end{bmatrix} = \begin{bmatrix} K_{11} & K_{1r} & K_{1r} \\ K_{rr} & K_{rr} & K_{rr} \\ K_{rr} & K_{rr} & K_{rr} \end{bmatrix} \begin{bmatrix} u_r \\ u_r \\ u_r \end{bmatrix} - \begin{bmatrix} f_r \\ f_r \\ f_r \end{bmatrix} \quad (215-4)$$

که همان معادلات بدست آمده از بخش‌های قبل هستند. فقط بیان ماتریس سفتی و بار کمی با بخش‌های قبلی متفاوت است.

به عنوان مثال برای یک المان دو گرهی (خطی) با سطح مقطع و مدول الاستیسیته ثابت داریم:

$$N^{(e)} = \begin{bmatrix} \frac{x_r^{(e)} - x}{x_r^{(e)} - x_i^{(e)}} & \frac{x - x_i^{(e)}}{x_r^{(e)} - x_i^{(e)}} \end{bmatrix} = \frac{1}{l^{(e)}} [(x_r^{(e)} - x) \quad (x - x_i^{(e)})] \quad (216-4)$$

$$B^{(e)} = \frac{1}{l^{(e)}} [-1 \quad 1] \quad (217-4)$$

$$K^{(e)} = \int_{x_i^{(e)}}^{x_r^{(e)}} B^{(e)T} A^{(e)} E^{(e)} B^{(e)} dx = \quad (218-4)$$

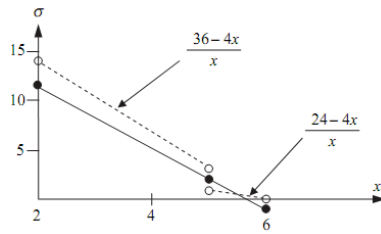
$$\int_{x_i^{(e)}}^{x_r^{(e)}} \frac{1}{l^{(e)}} \begin{bmatrix} -1 \\ 1 \end{bmatrix} A^{(e)} E^{(e)} \frac{1}{l^{(e)}} [-1 \quad 1] dx = \frac{A^{(e)} E^{(e)}}{l^{(e)}} \begin{bmatrix} 1 & -1 \\ -1 & 1 \end{bmatrix}$$

اگر $b(x) = N^{(e)} \begin{bmatrix} b_r \\ b_i \end{bmatrix}$ فرض شود () □

$$f^{(e)} = \int_{x_i^{(e)}}^{x_r^{(e)}} N^{(e)T} b dx = \int_{x_i^{(e)}}^{x_r^{(e)}} N^{(e)T} N^{(e)} dx b = \frac{l^{(e)}}{\gamma} \begin{bmatrix} 1 & 1 \end{bmatrix} \begin{bmatrix} b_r \\ b_i \end{bmatrix} \quad (219-4)$$

مثال ۳۶. میله الاستیک مخروطی شکل ۴-۹ را در نظر بگیرید و با انتخاب یک المان محدود مشکل از یک المان مرتبه دو حل تقریبی مساله و تنش در هر نقطه داخل میله را تعیین نمایید.

$$E = \gamma Pa, P_{x=0} = 24 N, b = \gamma \frac{N}{m}$$



شکل ۹۵-۴ مقایسه نتایج المان محدود(خط پیوسته) با حل دقیق(خطوط نقطه چین).

برای المان مرتبه دوم توابع شکل عبارتند از:

$$N_{\gamma}^{(1)} = \frac{(x_r^{(1)} - x)(x_r^{(1)} - x)}{(x_r^{(1)} - x_i^{(1)})(x_r^{(1)} - x_s^{(1)})} = \frac{(x - \varepsilon)(x - \gamma)}{\lambda}, B_{\gamma}^{(1)} = 1/2(x - \circ)$$

$$N_{\gamma}^{(1)} = -1/\varepsilon(x - \gamma)(x - \gamma), B_{\gamma}^{(1)} = 1/2(\varepsilon - x)$$

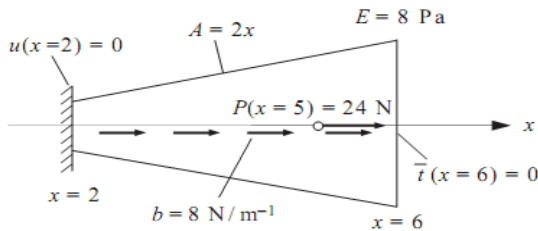
$$N_{\gamma}^{(1)} = (x - \gamma)(x - \varepsilon)/\lambda, B_{\gamma}^{(1)} = (x - \gamma)/\varepsilon$$

در نتیجه ماتریس سفتی المان عبارت است از:

$$\begin{aligned} K^{(1)} &= K = \int_{x_i^{(1)}}^{x_r^{(1)}} B^{(1)T} A^{(1)} E^{(1)} B^{(1)} dx \\ &= \int_{\gamma}^{\gamma} 1/\varepsilon \begin{bmatrix} x - \circ \\ \lambda - \gamma x \\ x - \gamma \end{bmatrix} (\gamma x)(\lambda) 1/\varepsilon [x - \circ \quad \lambda - \gamma x \quad x - \gamma] dx \\ &= \int_{\gamma}^{\gamma} \begin{bmatrix} x(x - \circ)^2 & x(x - \circ)(\lambda - \gamma x) & x(x - \circ)(x - \gamma) \\ x(\lambda - \gamma x)(x - \circ) & x(\lambda - \gamma x)^2 & x(\lambda - \gamma x)(x - \gamma) \\ x(x - \circ)(x - \gamma) & x(\lambda - \gamma x)(x - \gamma) & x(x - \gamma)^2 \end{bmatrix} dx \\ &= \begin{bmatrix} 26.77 & -22 & 0.22 \\ 80.22 & -0.22 & 0.22 \\ Sym. & & \varepsilon \lambda \end{bmatrix} \end{aligned}$$

$$\begin{aligned} f_{\Omega} &= f_{\Omega}^{(1)} = \int_{x_i^{(1)}}^{x_r^{(1)}} N^{(1)T} b dx + (N^{(1)T} P)_{x=\circ} \\ &= \int_{\gamma}^{\gamma} \begin{bmatrix} 0.120(x - \varepsilon)(x - \gamma) \\ -0.20(x - \gamma)(x - \gamma) \\ 0.120(x - \gamma)(x - \varepsilon) \end{bmatrix} \times \lambda dx + \begin{bmatrix} 0.120(x - \varepsilon)(x - \gamma) \\ -0.20(x - \gamma)(x - \gamma) \\ 0.120(x - \gamma)(x - \varepsilon) \end{bmatrix}_{x=\circ} \times 2\epsilon \end{aligned}$$

$$f_{\Omega} = \begin{bmatrix} 2.22 \\ 29.22 \\ 14.22 \end{bmatrix}$$



شکل ۹۴-۴

سیستم عمومی منتجه عبارت است از:

$$\begin{bmatrix} 26.67 & -32 & 5.33 \\ -32 & 80.33 & -52.33 \\ 5.33 & -52.33 & 48 \end{bmatrix} \begin{bmatrix} u_1 \\ u_2 \\ u_3 \end{bmatrix} = \begin{bmatrix} r + 5.33 \\ 39.33 \\ 14.33 \end{bmatrix} \quad u_1 = 2.1193, \quad u_2 = 2.6534$$

بنابراین حل تقریبی این مساله عبارت است از:

$$\bar{u}(x) = u_1 N_1^{(1)} + u_2 N_2^{(1)} + u_3 N_3^{(1)} = -0.19815x^3 + 2.24805x - 2.7045$$

$$\sigma(x) = E \frac{du}{dx} = -2.17x + 17.99$$

۴-۲۱ برنامه نویسی المان محدود

برای فهم مفاهیم بنیادین المان محدود، خیلی مفید (بلکه گاهی ضروری) است که اسکلت ساختار برنامه رایانه‌ای تحلیل المان محدود را درک کرد. مراحل اصلی در تحلیل المان محدود عبارتند از:

(۱) خواندن داده‌های ورودی و اختصاص آرایه‌های مناسب؛

(۲) محاسبه ماتریس‌ها و بردارهای المانی برای هر المان؛

(۳) مونتاژ ماتریس‌ها و بردارهای المانی در قالب ماتریس و بردار سیستم؛

(۴) اعمال شرایط مرزی به ماتریس و بردار سیستم؛

(۵) حل معادله ماتریسی برای متغیرهای گرهی اولیه؛

(۶) محاسبه متغیرهای ثانوی؛

(۷) رسم یا چاپ نتایج مورد نظر.

در ادامه، معادله دیفرانسیل مرتبه دوم زیر را به همراه شرایط مرزی آن در نظر می‌گیریم:

$$\alpha \frac{d^2u}{dx^2} + \beta \frac{du}{dx} + \gamma u = f(x), \quad 0 < x < L, \quad u(\cdot) = u(L) = 0. \quad (220-4)$$

فرمول‌بندی شکل ضعیف این معادله عبارت است از:

$$\int_{\cdot}^L \left\{ -\alpha \frac{dw}{dx} \frac{du}{dx} + \beta w \frac{du}{dx} + \gamma w u \right\} dx = \int_{\cdot}^L w f(x) dx - \left[\alpha w \frac{du}{dx} \right]_L^{\cdot} \quad (221-4)$$

با انتخاب توابع شکل خطی، ماتریس المانی برای المان e به شکل زیر در خواهد آمد:

$$[K]^{(e)} = \int_{x_1^e}^{x_2^e} \left(-\alpha \begin{bmatrix} N'_1 & N'_2 \end{bmatrix} \begin{bmatrix} N'_1 & N'_2 \end{bmatrix} + \beta \begin{bmatrix} N_1 & N_2 \end{bmatrix} \begin{bmatrix} N'_1 & N'_2 \end{bmatrix} + \gamma \begin{bmatrix} N_1 & N_2 \end{bmatrix} \begin{bmatrix} N_1 & N_2 \end{bmatrix} \right) dx \quad (222-4)$$

که در آن علامت پریم نشان‌دهنده مشتق اول نسبت به x است. ارزیابی انتگرال نتیجه می‌دهد:

$$[K]^{(e)} = -\frac{\alpha}{l^{(e)}} \begin{bmatrix} 1 & -1 \\ -1 & 1 \end{bmatrix} + \frac{\beta}{2} \begin{bmatrix} 1 & -1 \\ -1 & 1 \end{bmatrix} + \frac{\gamma l^{(e)}}{4} \begin{bmatrix} 2 & 0 \\ 0 & 2 \end{bmatrix} \quad (223-4)$$

از طرف دیگر، بردار بار المانی عبارت است از:

$$F^{(e)} = \int_{x_1^e}^{x_2^e} f(x) \begin{bmatrix} \phi_1 \\ \phi_2 \end{bmatrix} dx \quad (224-4)$$

با فرض $f(x)=f$ این بردار برابر می‌شود با:

$$F^{(e)} = \frac{f l^{(e)}}{4} \begin{bmatrix} 1 \\ 1 \end{bmatrix} \quad (225-4)$$

۴-۱-۲ داده‌های ورودی

پارامترهای ورودی اصلی در برنامه FEA عبارتند از:

- تعداد کل گره‌های سیستم;

- تعداد کل المان‌های سیستم؛

- مختصات هر گره بر حسب سیستم مختصات عمومی؛

- انواع هر المان: شامل تعداد گره‌ها در هر المان و تعداد درجات آزادی هر گره؛

- اطلاعات مربوط به شرایط مرزی؛

- ضرایب α, β, γ و نیز f .

اطلاعات مربوط به مشبندی را می‌توان از طریق یک پیش‌پردازنده و یا به صورت محاسبات دستی تعیین نمود. اگر از یک نوع المان در کل دامنه استفاده می‌شود نیازی به تعریف نوع المان برای تمام المانها نیست ولی در صورت استفاده از انواع مختلف، اطلاعات مربوط به هر المان برای المانهای مختلف مورد نیاز خواهد بود. در اینجا برای سادگی فقط از المانهای خطی استفاده می‌شود. برای مثال اگر از پنج اندازه مساوی از المانهای خطی استفاده کنیم تعداد کل گره‌ها $nnode=6$ و تعداد کل المانها $nel=5$ خواهد بود. چون مساله یک بعدی است هر گره فقط یک مختصه x دارد. اگر آرایه محتوى مقادیر مختصات $gcoord$ نامیده شود آنگاه برای مساله‌ای با دامنه $1 < x < 6$ خواهیم داشت:

$$gcoord(1) = 0, 0; \quad gcoord(2) = 0, 2; \quad gcoord(3) = 0, 4;$$

$$gcoord(4) = 0, 6; \quad gcoord(5) = 0, 8; \quad gcoord(6) = 1, 0;$$

تعداد گره در هر گره $nnef=2$ و تعداد درجات آزادی هر گره $ndof=1$ می‌باشند. به این ترتیب تعداد درجات کل آزادی سیستم برابر است با:

$$Sdof = ndof * nnodes$$

در کل، اطلاعات مربوط به نحوه اتصال گرهها برای هر المان یک ورودی به برنامه است. به این «توپولوژی المان» هم گفته می‌شود. این اطلاعات برای ارزیابی ماتریس‌ها و بردارهای المانی و مونتاژ آنها مهم‌اند. در مساله یک بعدی اینجا با استفاده از المان‌های خطی، این اطلاعات را به سادگی می‌توان در برنامه ایجاد کرد. اگر شماره‌گذاری گرهها و المان‌ها از اولین گره تا آخرین گره به طور ترتیبی انجام بگیرد این شماره‌گذاری در آرایه‌ای به نام $nodes$ ذخیره سازی می‌شود. این آرایه دو بعدی است. اندیس اول شماره المان و اندیس دوم شماره گره‌های مربوط به المان را نشان می‌دهند. به عنوان مثال در حالت فرض شده در اینجا، این المان دارای دو گره i ام و $(i+1)$ ام خواهد بود. یعنی:

$$Nodes(i, 1) = i + 1 \quad nodes(i, 2) = i + 1 \quad \forall i = 1, 2, 3, 4, 5$$

اطلاعات مربوط به شرایط مرزی شامل درجات آزادی گرهی و نیروهای خارجی (یا شارها) هستند. برای مشخص کردن درجات آزادی گرهی، باید شماره گرهها و درجات آزادی نظیر آنها را تعیین کنیم. به علاوه، مقادیر قیدی از پیش تعیین شده را باید داد. برای مساله فعلی، اطلاعات گره‌های مقید عبارتند از:

$$bcdof(1) = 1, \quad bcdof(2) = 6$$

یعنی شماره‌های گرهی گره‌های مقید را در خود نگه می‌دارد. به عبارت دیگر سایز آرایه $bcdof$ دو است زیرا دو گره مقید وجود دارد و اولین و دومین شماره‌های گرهی مقید به ترتیب ۱ و ۶ هستند. مقادیر هر یک از درجات آزادی در آرایه $beval$ به صورت زیر خواهند بود:

$$bcval(1) = 0, 0, \quad bcval(2) = 0, 0$$

در اینجا مقدار اول مربوط به گره ۱ و مقدار دوم مربوط به گره ۶ است. برای محاسبه ماتریس المانی به ضرایب α, β و γ نیاز است. برای این مساله $\alpha = 1, \beta = -1, \gamma = 2$ فرض می‌شوند. همچنین برای محاسبه بردار المانی f فرض می‌شود.

۴-۲۱-۲ مونتاژ ماتریس‌ها و بردارهای المانی

پس از محاسبه ماتریس‌ها و بردارهای المانی، به اطلاعاتی نیاز است که جای ماتریس و بردار المانی را در ماتریس و بردار سیستم نشان بدهد. این اطلاعات از آرایه‌ای به نام $index$ به دست می‌آید که اندازه‌اش مساوی تعداد درجات آزادی هر المان (در اینجا ۲) است. چون هر گره یک درجه آزادی ($ndof=1$) دارد، اندازه آرایه $index$ مساوی آرایه $nods$ است.

$Index(1)=i \quad index(2)=i+1$ برای المان i است:

مثال زیر مونتاژ ماتریس‌ها و بردارهای المانی را نشان می‌دهد.

آرایه k و f را به عنوان ماتریس و بردار هر المان فرض کنید. اگر kk و ff ماتریس و بردار سیستم باشند، آرایه $index$ شامل درجات آزادی مربوط به المان خواهد بود. پس k و f در kk و ff به صورت زیر ذخیره می‌شوند. این رویه برای المان‌های دیگر تکرار می‌شود.

```

edof=nnel*ndof;           % edof=number of degree of freedom per node
for ir=\:edof;            % loop for element rows
    irs=index(ir);         % address for the system row
    ff(irs)=f(ir);          % assembly into the system vector
    for ic=\:edof;          % loop for element columns
        ics=index(ic);       % address for the system column
        kk(irs,ics)=kk(irs,ics)+k(ir+ic) %assembly into system matrix
    end                      %end of row loop
end                        %end of column loop

```

۴-۲۱-۳ اعمال قیود

اگر قیدی به درجه آزادی in در معادله ماتریسی اعمال شود، معادله in در ماتریس با معادله قید جایگزین خواهد شد. مثال زیر الگوریتم اعمال قیود را به گونه‌ای که تقارن ماتریس سیستم را خراب نکند نشان می‌دهد.

```

for ic=1:2                 % loop for two constraints
id=bcdof(ic);              % extract the degree of freedom for constraint
val=bcval(ic);              % extract the corresponding constrained value
for i=\:sdof;                %loop for number of equation in system
    ff(i)=ff(i)-val*kk(i,id); % modify column using constrained value
    kk(id,i)=0;                % set all the idth row to zero
    kk(i,id)=0;                % set all the idth column to zero

```

```

end
kk(id,id)=\;           % set the idth diagonal to unity
ff(id)=val;            % put the constrained value in the column
end

```

به مجرد اصلاح معادله ماتریسی سیستم، برای تعیین مجہولات گرهی اولیه حل می‌شود. در متلب حل را می‌توان به صورت زیر انجام داد:

```

u=kk\ff;

```

که 'kk' معادله ماتریسی اصلاح شده است. پس از تعیین متغیرهای گرهی اولیه (u) شرایط مرزی طبیعی (متغیرهای ثانوی) از رابطه مقابل پیدا می‌شوند.

```
ff=kk*u
```

مثال: اگر ضرایب در معادله دیفرانسیل مرجع $\alpha = 1$, $\beta = -3$ و $\gamma = 2$ فرض شوند و $f(x) = 1$ در نظر گرفته شود برای دامنه $0 \leq x \leq 1$ و با پنج المان خطی مساوی معادله را به روش المان محدود حل نمایید.

برنامه کامپیوتري نوشته شده به زبان متلب و نتایج آن به شرح زیر می‌باشد.

```

%-----
% EX3_5_1.m
% to solve the ordinary differential equation given as
% au''+bu'+cu=1, 0<x<1
% u(0)=. and u(1)=.
% using ◦ linear elements
%
% Variable descriptions
% k = element matrix
% f = element vector
% kk = system matrix
% ff = system vector
% index = a vector containing system dofs associated with each element
% bcdof = a vector containing dofs associated with boundary conditions
% bcval = a vector containing boundary condition values associated with
%         the dofs in bcdof
%-
%-
% input data for control parameters
%
nel=5;      % number of elements
nne=5;      % number of nodes per element
ndof=2;     % number of dofs per node
nnodes=10;   % total number of nodes in system
sdof=nnodes*ndof; % total system dofs
%
```



```

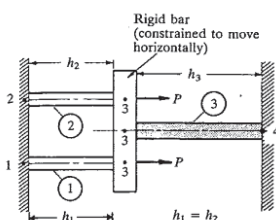
kk=ff=feasml\kk\ff\k\finde; % assemble element matrices and vectors
%
end % end of loop for total elements
%
%-----%
% apply boundary conditions %
%-----%
kk=ff=feaplyc\kk\ff\bcdof\b eval;
%
%-----%
% solve the matrix equation %
%-----%
fsol=kk\ff;
%
%-----%
% analytical solution %
%-----%
c1=.,\exp();
c2=-.,\*\(\1+\1\exp(\1));
for i=\in node
x=gcoord(i);
esol(i)=c1*\exp(\2*x)+c2*\exp(x)+\1/\2;
end
%
% print both exact and fem solutions %
%
num=\1:\1\s dof;
results=\num' fsol esol'\;
%
%

```

۴-۲۱-۴ اتصال المانها

اگر تناظر بین شماره‌های گرهی المانی با شماره‌های گرهی عمومی معلوم باشد می‌توان ضربیب عمومی مونتاژ شده را بر حسب ضربایب المانی نوشت. این تناظر را می‌توان به صورت ماتریس $[B]$ معروف به ماتریس اتصال (connectivity matrix) بیان کرد که ضربایب b_{ij} آن معنی زیر را می‌دهند:

b_{ij} شماره گرهی عمومی نظیر زامین گره از المان i است.



شکل ۴-۹۶ هندسه و مش المان محدود یک سازه میله‌ای

مثال (۳۹) برای سازه نشان داده شده در شکل ۴-۶ زیر ماتریس $[B]$ از مرتبه ۲*۲ (۲ المان و ۲ گره در هر المان) است.

$$[B] = \begin{bmatrix} 1 & 2 \\ 2 & 3 \\ 3 & 4 \end{bmatrix}$$

$$k_{11}=k_{11}^{\lambda}, k_{12}=0, k_{13}=k_{11}^{\gamma}, k_{14}=k_{\xi 1}^{\lambda}=0, k_{21}=0, k_{22}=k_{11}^{\gamma}, k_{23}=k_{12}^{\gamma}$$

$$k_{24}=k_{\xi 2}=0, k_{11}=k_{11}^{\lambda}, k_{11}=k_{11}^{\gamma}, k_{21}=k_{11}^{\lambda}, k_{22}=k_{12}^{\gamma}$$

$$k_{23}=k_{22}^{\lambda}+k_{22}^{\gamma}+k_{12}^{\gamma}, k_{24}=k_{12}^{\gamma}, k_{\xi 2}=k_{22}^{\gamma}$$

$$f_1=f_1^{\lambda}, Q_1=Q_1^{\lambda}$$

$$f_2=f_2^{\gamma}, Q_2=Q_2^{\gamma}$$

$$f_3=f_3^{\lambda}+f_3^{\gamma}+f_3^{\gamma}, Q_3=Q_3^{\lambda}+Q_3^{\gamma}+Q_3^{\gamma}$$

$$f_4=f_4^{\gamma}, Q_4=Q_4^{\gamma}$$

۴-۲۲ روش وردشی ریتز (Ritz Variational Method: RVM)

علاوه بر روش‌های باقی‌مانده وزنی (WRM)، روش وردشی ریتز یکی دیگر از ملاک‌های بهینه‌سازی در FEA است. این روش معمولاً زمانی قابل اعمال است که برای مساله فیزیکی بتوان یک تابعی (*functional*) تعريف نمود. برای استخراج شکل وردشی، معادله دیفرانسیل عمومی را در اولین وردش u ضرب کرده و روی حوزه تعريف مسئله انتگرال می‌گیریم:

$$\int_{\Omega} \delta u \left[\frac{-d}{dx} \left(\alpha \frac{du}{dx} \right) + \beta u - f \right] dx = 0 \quad (226-4)$$

$$\int_{\Omega} \delta u \left[\frac{-d}{dx} \left(\alpha \frac{du}{dx} \right) \right] dx + \int_{\Omega} \delta u (\beta u - f) dx = 0 \quad (227-4)$$

با انتگرال‌گیری جز به جز از اولین عبارت طرف چپ، خواهیم داشت:

$$\int_{\Omega} \alpha \frac{du}{dx} \frac{d\delta u}{dx} + \int_{\Omega} \beta u \delta u dx - \int_{\Omega} f \delta u dx - \delta u \left(\alpha \frac{du}{dx} \right)_{\Omega} = 0 \quad (228-4)$$

معادله (۲۲۸-۴) شکل ضعیف یا وردشی معادله دیفرانسیل عمومی است. با توجه به روش‌های حساب وردشیها می‌توان نوشت:

$$\delta \left\{ \int_{\Omega} \left[\frac{1}{2} \alpha \left(\frac{du}{dx} \right)^2 + \frac{1}{2} \beta u^2 - fu \right] dx - u \left(\alpha \frac{du}{dx} \right)_{\Omega} \right\} = . \quad (229-4)$$

به این ترتیب یک کمیت انتگرالی پیدا شد که اولین وردش آن صفر است و آن تابعی از $\pi(u)$ است:

$$\pi(u) = \frac{1}{2} \int_{\Omega} \left[\alpha \left(\frac{du}{dx} \right)^2 + \beta u^2 \right] dx - \int_{\Omega} fu dx - u \left(\alpha \frac{du}{dx} \right)_{\Omega} \quad (230-4)$$

که

$$\pi\delta(u) = . \quad (231-4)$$

۴-۳۴-۱ تقریب ریتز

(الف) با استفاده از شکل ضعیف: تقریب ریتز را می‌توان مستقیماً برای معادله (۲۲۸-۴) یعنی شکل ضعیف معادله بیفرانسیل به کار گرفت. هرگاه حل آزمایشی به صورت زیر فرض شود:

$$\tilde{u} = \sum_{j=1}^n a_j N_j + N. \Rightarrow \delta\tilde{u} = \sum_{i=1}^n \delta a_i N_i \quad (222-4)$$

از قرار دادن روابط ۲۲۲-۴ در ۲۲۸-۴ داریم:

$$\sum_{i=1}^n \delta a_i \left\{ \int_{\Omega} \left[\alpha \frac{dN_i}{dx} \left(\sum_{j=1}^n u_j \frac{dN_j}{dx} + \frac{dN}{dx} \right) + \beta N_i \left(\sum_{j=1}^n u_j N_j + N \right) + N_i f \right] dx - N_i \left(\alpha \frac{d\tilde{u}}{dx} \right)_{\Omega} \right\} = \quad (233-4)$$

چون δu_i وردش‌های اختیاری از u_i بوده و u_i ها بطور خطی مستقل‌اند، لذا ضرایب δu_i به ازای $i=1, 2, \dots, n$ باید صفر باشند. به این ترتیب پس از مرتب کردن جملات، n معادله برای n پارامتر u_j به دست می‌آید:

$$\sum_{j=1}^n \left[\int_{\Omega} \left(\alpha \frac{dN_i}{dx} \frac{dN_j}{dx} + \beta N_i N_j \right) dx \right] a_j - \int_{\Omega} \left(N_i f - \alpha \frac{dN_i}{dx} \frac{dN}{dx} - \beta N_i N \right) dx - N_i \left(-\alpha \frac{du}{dx} \right)_{\Omega} = . \quad (234-4)$$

معادلات (۲۳۴-۴) به شکل اندیسی عبارتند از:

$$\sum_{j=1}^n K_{ij} u_j - F_i = . \quad (235-4)$$

$$K_{ij} = \int_{\Omega} \left(\alpha \frac{dN_i}{dx} \frac{dN_j}{dx} + \beta N_i N_j \right) dx \quad (236-4)$$

$$F_i = \int_{\Omega} \left(N_i f - \alpha \frac{dN_i}{dx} \frac{dN}{dx} - \beta N_i N \right) dx - N_i \left(-\alpha \frac{du}{dx} \right)_{\Omega} \quad (237-4)$$

به مجرد انتخاب N و N_i ، ضرایب ماتریس سفتی $[K]$ و بردار بار $[F]$ را می‌توان محاسبه کرد. سپس معادلات جبری خطی (۲۳۵-۴) را برای ضرایب u حل نمود و در نتیجه حل تقریبی مساله را به دست آورد.

(ب) با استفاده از تابعی: در عبارت تابعی $\pi(u)$ به جای "حل آزمایشی ترا قرار می‌دهیم. چون π ها عبارات معلومی از x هستند لذا انتگرال را نسبت به متغیر x می‌توان محاسبه کرد. نتیجه آن است که π در نهایت به صورت تابع معلومی از پارامترهای u در می‌آید:

$$\Pi[\tilde{u}(x, a)] = \Pi(a) \quad (238-4)$$

و مساله از حوزه آنالیز تابعی به حوزه متدالوی حساب انتقال می‌یابد. حال Π را می‌توان با شرط موسوم حساب دیفرانسیل پایدار ساخت. یعنی $d\Pi = 0$. بنابراین:

$$d\Pi = \frac{\partial \Pi}{\partial u_1} du_1 + \frac{\partial \Pi}{\partial u_2} du_2 + \cdots + \frac{\partial \Pi}{\partial u_n} du_n = 0 \quad (239-4)$$

چون هر کدام از a_j ها را می‌توان مستقلأً تغییرداد، لذا در معادله (۱۱) ضرایب a_j باید جداگانه صفر شوند؛ یعنی:

$$\frac{\partial \Pi}{\partial u_j} = 0, \quad j = 1, 2, 3, \dots, n \quad (240-4)$$

در این حالت نیز همانند اعمال تقریب ریتز روی شکل ضعیف معادله دیفرانسیل، دستگاهی با n معادله جبری برای برابر n مجهول u به دست می‌آید.

مثال (۴۰) تابع $T(x)$ را با استفاده از روش ریتز به گونه‌ای بیابید که معادله یک بعدی پواسن زیر با شرایط مرزی مشخص شده ارضاء شوند:

$$\frac{d^2T}{dx^2} = -\frac{Q}{K}, \quad 0 < x < l, \quad T(0) = T(l) = 0$$

حل آزمایشی مساله را به صورت یک چندجمله‌ای مرتبه دو در نظر می‌گیریم:

$$\tilde{T} = \alpha_1 + \alpha_2 x + \alpha_3 x^2$$

با قرار دادن شرایط مرزی در حل آزمایشی داریم:

$$\tilde{T} = \alpha_3 (x^2 - lx)$$

می‌توان نشان داد که تابعی معادله دیفرانسیل عبارت است از:

$$\Pi(T) = \int_v \left[\frac{1}{2} K \left(\frac{dT}{dx} \right)^2 - QT \right] Adx$$

با قرار دادن حل آزمایشی در تابعی مساله پس از انتگرال‌گیری داریم:

$$\Pi(\tilde{t}) = \frac{AK \alpha_r^\gamma l^\gamma}{\gamma} + \frac{A \alpha_r^\gamma Q l^\gamma}{\gamma}$$

که A سطح مقطع میله بوده و ثابت فرض می‌شود. حال باید a_r را به طوری به دست آورد که Π حداقل شود یعنی:

$$\frac{\partial \Pi}{\partial \alpha_r} = \frac{\gamma AK a_r l^\gamma}{\gamma} + \frac{AQ l^\gamma}{\gamma} = 0 \Rightarrow a_r = -\frac{Q}{\gamma K}$$

بنابراین حل آزمایشی عبارت می‌شود از:

$$\tilde{T}(x) = \frac{Q(lx - x^\gamma)}{\gamma K}$$

که با حل حقیقی مساله منطبق است.

مثال ۴۱) معادله دیفرانسیل مرتبه دو زیر را همراه شرایط مرزی در نظر بگیرید:

$$\frac{d^\gamma u}{dx^\gamma} + u + x = 0, \quad 0 < x < 1, \quad u(0) = u(1) = 0$$

حل تقریبی معادله را با استفاده از حل‌های آزمایشی زیر به دست آورید:

$$\tilde{u}(x, a) = a_1 x(1-x), \quad \tilde{u}(x, a) = a_1 x(l-x) + a_\gamma x^\gamma(l-x)$$

حل حقیقی معادله دیفرانسیل عبارت است از:

$$u(x) = \frac{\sin(x)}{\sin(\gamma)} - x$$

تابعی متناظر مساله به شکل زیر قابل استخراج است:

$$\pi(u) = \int_0^1 \left[\left(\frac{du}{dx} \right)^\gamma - u^\gamma - ux \right] dx$$

به ازای حل آزمایشی اول تابعی به صورت زیر به دست می‌آید:

$$I = \int_0^1 [a_1^\gamma (1-2x)^\gamma - a_1^\gamma (x-x^\gamma)^\gamma - 2xa_1^\gamma (x-x^\gamma)^\gamma] dx = \frac{1}{\gamma} a_1^\gamma - \frac{1}{\gamma} a_1^\gamma - \frac{1}{\gamma} a_1^\gamma$$

در این حالت (a_1/I) وقتی حداقل می‌شود که:

$$\frac{dI}{da_1} = \frac{2}{3}a_1 - \frac{1}{10}a_1 - \frac{1}{1} = 0 \Rightarrow a_1 = \frac{5}{18}$$

که در این حالت حل آزمایشی عبارت خواهد شد از:

$$\tilde{u}(x) = \frac{5}{18}x(1-x)$$

برای حل آزمایشی دوم به همین روش خواهیم داشت:

$$\tilde{u}(x) = \frac{V_1}{379}x(1-x) + \frac{V}{41}x^2(1-x)$$

مساله ۷۸) برای مساله هدایت حرارتی یک بعدی به معادله $\frac{d^2T}{dx^2} = -\frac{q}{K}$ با شرایط مرزی $T(0) = T(l) = 0$ با انتخاب حل آزمایشی زیر، با استفاده از روش ریتز مساله را حل نمایید:

$$\tilde{T} = a \sin\left(\frac{\pi x}{l}\right)$$

حل آزمایشی به دست آمده را با حل حقیقی $T(x) = \frac{q(lx-x^2)}{\pi K}$ مقایسه کنید.

مسایل:

مساله ۷۹) مساله قبل را با شرایط مرزی زیر حل کنید. $T(0) = 0, q(l) = -q_1$

مساله ۸۰) با استفاده از روش ریتز حل معادله دیفرانسیل زیر را به دست آورید:

$$\frac{d^2u}{dx^2} = -f, \quad 0 < x < 1, \quad u(0) = u(1) = 0$$

از حل آزمایشی زیر استفاده کنید:

$$\tilde{u} = a_1 x(x-l) + a_2 x^2(x-l)$$

مساله ۸۱) صورت ضعیف معادله دیفرانسیل زیر را به دست آورید. حل براساس روش ریتز با یک پارامتر پیدا کنید

$$-\frac{d}{dx}\left(u \frac{du}{dx}\right) + 1 = 0, \quad 0 < x < 1, \quad \frac{du}{dx}(0) = 0, \quad u(1) = \sqrt{2}$$

برای حل یک پارامتری ریتز فرض کنید:

مساله ۸۲) صورت ضعیف معادله دیفرانسیل زیر را همراه با شرایط مرزی داده شده پیدا کنید.

حل براساس روش ریتز با یک پارامتر به دست آورید.

$$\frac{d^2}{dx^2}\left(EI \frac{dw}{dx}\right) + P \frac{dw}{dx} = 0, \quad 0 < x < l$$

$$w_{x=0,l} = 0, \quad \left(EI \frac{dw}{dx}\right)_{x=0,l} = 0$$

برای حل یک پارامتری ریتز فرض کنید:

۴-۲۳ کوادراتور گوسی

بطورکلی، شکل ضعیف معادلات حاکم را نمی‌توان به فرم بسته انتگرال‌گیری کرد. بنابراین به انتگرال‌گیری عددی نیاز خواهد بود. کوادراتور گوسی یکی از کارآمدترین روش‌ها برای توابعی است که بصورت چندجمله‌ای یا نزدیک به آن هستند. فرمول‌های کوادراتور گوسی روی یک دامنه $[a, b]$ ارائه می‌شوند. برای انتگرالی بصورت

$$I = \int_a^b f(x) dx \quad (241-4)$$

که در آن x روی دامنه $[a, b]$ تغییر می‌کند به یک تغییر متغیر یا نگاشت بصورت زیر نیاز است:

$$x = \frac{1}{2}(a+b) + \frac{1}{2}\xi(b-a), \quad -1 \leq \xi \leq 1 \quad (242-4)$$

$$x = x_1 N_1(\xi) + x_r N_r(\xi) = a \frac{1-\xi}{r} + b \frac{\xi+1}{r} \quad (243-4)$$

با تغییر متغیر بالا خواهیم داشت:

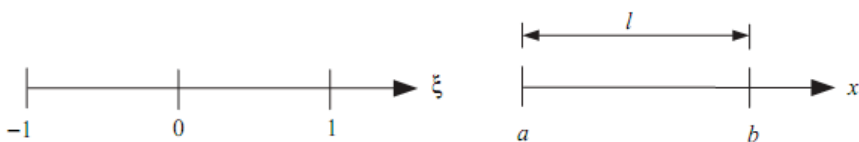
$$dx = \frac{1}{r}(b-a)d\xi = \frac{l}{r}d\xi = J d\xi \quad \left(\text{بازکوبین} \right) \quad (244-4)$$

به این ترتیب

$$I = \int_{-1}^1 f(\xi) dx = \int_{-1}^1 f(\xi) J d\xi \quad (245-4)$$

در انتگرال‌گیری گوسی، انتگرال بصورت زیر تقریب زده می‌شود:

$$\hat{I} = w_1 f(\xi_1) + w_r f(\xi_r) + \dots = \underbrace{[w_1 \quad w_r \quad \dots \quad w_n]}_{w^T \text{ وزنهای}} \begin{bmatrix} f(\xi_1) \\ f(\xi_r) \\ \vdots \\ f(\xi_n) \end{bmatrix} = w^T f \quad (246-4)$$



شکل ۴-۷ نگاشت دامنه یک بعدی از دامنه فیزیکی $[a, b]$ به دامنه طبیعی $[-1, 1]$

اگر $(\xi) f$ را به صورت یک چندجمله‌ای فرض کنیم

$$f(\xi) = \alpha_0 + \alpha_1 \xi + \alpha_2 \xi^2 + \dots = [1 \quad \xi \quad \xi^2 \quad \dots] \begin{bmatrix} \alpha_0 \\ \alpha_1 \\ \alpha_2 \\ \vdots \end{bmatrix} = P(\xi) \alpha \quad (247-4)$$

به این ترتیب

$$\begin{cases} f(\xi_0) = \alpha_0 + \alpha_1 \xi_0 + \alpha_2 \xi_0^2 + \dots \\ f(\xi_1) = \alpha_0 + \alpha_1 \xi_1 + \alpha_2 \xi_1^2 + \dots \\ \vdots \\ f(\xi_n) = \alpha_0 + \alpha_1 \xi_n + \alpha_2 \xi_n^2 + \dots \end{cases} \Rightarrow \begin{bmatrix} f(\xi_0) \\ f(\xi_1) \\ \vdots \\ f(\xi_n) \end{bmatrix} = \begin{bmatrix} 1 & \xi_0 & \xi_0^2 & \dots \\ 1 & \xi_1 & \xi_1^2 & \dots \\ \vdots & \vdots & \vdots & \dots \\ 1 & \xi_n & \xi_n^2 & \dots \end{bmatrix} \begin{bmatrix} \alpha_0 \\ \alpha_1 \\ \alpha_2 \\ \vdots \\ \alpha_n \end{bmatrix} \Rightarrow f = M \alpha \quad (248-4)$$

و داریم:

کوادراتور گوسی، وزن‌ها و نقاط انتگرال‌گیری‌ای را ارائه می‌کند که یک انتگرال دقیق از یک چندجمله‌ای از مرتبه معین را نتیجه می‌دهند.

برای تعیین وزن‌ها و نقاط کوادراتور از چندجمله‌ای $(\xi) f$ انتگرال می‌گیریم:

$$\int_{-1}^1 f(\xi) d\xi = \int_{-1}^1 [1 \quad \xi \quad \xi^2 \quad \dots] \begin{bmatrix} \alpha_0 \\ \alpha_1 \\ \alpha_2 \\ \vdots \end{bmatrix} d\xi = \begin{bmatrix} 1 & \xi & \xi^2 & \dots \\ \xi & \xi^2 & \xi^3 & \dots \end{bmatrix} \begin{bmatrix} \alpha_0 \\ \alpha_1 \\ \alpha_2 \\ \vdots \end{bmatrix} = [\gamma \quad \dots \quad \gamma/2 \quad \dots] \alpha = P \alpha$$

(249-4)

جدول ۱۳-۴

Position of Gauss points and corresponding weights.

n_{gp}	Location, ξ_i	Weights, W_i
1	0.0	2.0
2	$\pm 1/\sqrt{3} = \pm 0.5773502692$	1.0
3	± 0.7745966692 0.0	0.555 555 5556 0.888 888 8889
4	± 0.8611363116 ± 0.3399810436	0.347 854 8451 0.652 145 1549
5	± 0.9061798459 ± 0.5384693101 0.0	0.236 926 8851 0.478 628 6705 0.568 888 8889
6	± 0.9324695142 ± 0.6612093865 ± 0.2386191861	0.171 324 4924 0.360 761 5730 0.467 913 9346

و ξ طوری انتخاب می‌شوند که

$$w^T M \alpha = P \alpha \quad \text{یا} \quad w^T M = P^T \quad (250-4)$$

سیستم بالا یک سیستم از معادلات غیرخطی نسبت به ماتریس‌های مجھول w و M است. اگر در چندجمله‌ای مرتبه p در محاسبه انتگرال استفاده کنیم $p+1$ پارامتر (α) برای محاسبه وجود خواهد داشت. چون هردو w, ξ قابل تنظیم هستند اگر تعداد نقاط گوسی n_{gp} باشد، $2n_{gp}$ پارامتر قابل تنظیم برای انتگرال گیری دقیق یک چندجمله‌ای از مرتبه p خواهیم داشت؛ لذا باید $(p+1) \geq n_{gp} \geq \frac{p+1}{2}$ باشد. مثلاً برای چندجمله‌ای مرتبه دو ($p=2$)، حداقل به دو نقطه گوسی ($n_{gp} = 2$) نیاز داریم. در جدول (۱۳-۴)، نقاط و وزن‌ها برای تعداد مختلف از نقاط گوسی ذکر شده‌اند.

مثال ۴۲. انتگرال زیر را به روش کوادراتور گوسی محاسبه کنید.

$$I = \int_{\gamma}^{\circ} (x^r + x^s) dx$$

چون بالاترین مرتبه موجود در تابع زیر انتگرال سه است داریم:

$$2n_{gp} - 1 = 3 \rightarrow n_{gp} = 2$$

$$\xi_1 = \xi_2 = -\frac{1}{\sqrt{3}} \quad w_1 = w_2 \quad \text{در جدول (۱۳-۴) برای دو نقطه گوسی داریم:}$$

اگر $a = 2$ و $b = 3$ باشند:

$$x = \frac{1}{\sqrt{3}}(a+b) + \frac{1}{\sqrt{3}}\xi(b-a) = 2.0 - 1.0\xi$$

$$f(\xi) = (3.0 + 1.0\xi)^r + (3.0 + 1.0\xi)^s \quad \text{وبه این ترتیب داریم:}$$

$$I = J \hat{I} = \frac{l}{\sqrt{3}} w_1 [((3.0 + 1.0\xi)^r + (3.0 + 1.0\xi)^s)] + \frac{l}{\sqrt{3}} w_2 [((3.0 + 1.0\xi)^r + (3.0 + 1.0\xi)^s)] +$$

$$[((3.0 + 1.0\xi)^r)] = 37.818 + 153.422 = 191.25$$

از طرف دیگر انتگرال دقیق برابر است با:

$$I = \int_{\gamma}^{\circ} (x^r + x^s) dx = \left(\frac{x^i}{i} + \frac{x^r}{r} \right)_{\gamma}^{\circ} = 191.25$$

۴-۲۴ شکل‌های قوی و ضعیف برای مسایل میدانی چند بعدی

تعاریف

(۱) تعریف ماتریسی بردار:

$$\vec{q} = q_x \vec{i} + q_y \vec{j} \equiv q = \begin{bmatrix} q_x \\ q_y \end{bmatrix} \quad (251-4)$$

(۲) بیان ماتریسی ضرب نقطه‌ای دو بردار:

$$\vec{q} \cdot \vec{r} = q_x r_x + q_y r_y \equiv q^T r = [q_x \quad q_y] \begin{bmatrix} r_x \\ r_y \end{bmatrix} = [r_x \quad r_y] \begin{bmatrix} q_x \\ q_y \end{bmatrix} = r^T \quad (252-4)$$

(۳) بیان ماتریسی گرادیان کمیت اسکالر:

$$\vec{\nabla} = \left(\frac{\partial}{\partial x} \vec{i} + \frac{\partial}{\partial y} \vec{j} \right), \quad \nabla \theta = \begin{bmatrix} \frac{\partial \theta}{\partial x} \\ \frac{\partial \theta}{\partial y} \end{bmatrix} \quad (253-4)$$

(۴) بیان ماتریسی دیورژانس:

$$\vec{\nabla} \cdot \vec{q} = \left(\frac{\partial}{\partial x} \vec{i} + \frac{\partial}{\partial y} \vec{j} \right) \cdot (q_x \vec{i} + q_y \vec{j}) = \frac{\partial q_x}{\partial x} + \frac{\partial q_y}{\partial y} = \operatorname{div} \vec{q} \quad (254-4)$$

(۵) قضیه‌گرین: اگر θ تابع عددی بصورت $\theta(x, y) \in C^1$ و انتگرال‌پذیر باشد آنگاه:
بیان برداری:

$$\int_{\Omega} \vec{\nabla} \theta d\Omega = \oint_{\Gamma} \theta \vec{n} d\Gamma \quad (255-4)$$

بیان ماتریسی:

$$\int_{\Omega} \nabla \theta d\Omega = \oint_{\Gamma} \theta n d\Gamma \equiv \begin{cases} \oint_{\Omega} \frac{\partial \theta}{\partial x} d\Omega = \oint_{\Gamma} \theta n_x d\Gamma \\ \oint_{\Omega} \frac{\partial \theta}{\partial y} d\Omega = \oint_{\Gamma} \theta n_y d\Gamma \end{cases} \quad (256-4)$$

(۶) قضیه دیورژانس: اگر q تابع برداری مقدار و انتگرال‌پذیر باشد آنگاه:

بیان برداری:

$$\int_{\Omega} \vec{\nabla} \cdot \vec{q} d\Omega = \oint_{\Gamma} \vec{q} \cdot \vec{n} d\Gamma \quad (257-4)$$

بیان ماتریسی:

$$\int_{\Omega} \nabla^T q \, d\Omega = \oint_{\Gamma} q^T n \, d\Gamma \quad (258-4)$$

(۷) می‌توان نشان داد با بیان برداری:

$$\int_{\Omega} w \vec{V} \cdot \vec{q} \, d\Omega = \oint_{\Gamma} w \vec{q} \cdot \vec{n} \, d\Gamma - \int_{\Omega} \vec{V} w \cdot \vec{q} \, d\Omega \quad (259-4)$$

$$\vec{V} \cdot (w \vec{q}) = \left(\frac{\partial}{\partial x} \vec{i} + \frac{\partial}{\partial y} \vec{j} \right) \cdot (w q_x \vec{i} + w q_y \vec{j}) \quad \text{اثبات:}$$

$$= \frac{\partial w}{\partial x} q_x + \frac{w \partial q_x}{\partial x} + \frac{\partial w}{\partial y} q_y + \frac{w \partial q_y}{\partial y}$$

$$= w \left(\frac{\partial q_x}{\partial x} + \frac{\partial q_y}{\partial y} \right) + \left(\frac{\partial w}{\partial x} q_x + \frac{\partial w}{\partial y} q_y \right)$$

$$= w \vec{V} \cdot \vec{q} + \vec{V} w \cdot \vec{q}$$

پس:

$$\int_{\Omega} \vec{V} \cdot (w \vec{q}) \, d\Omega = \int_{\Omega} w (\vec{V} \cdot \vec{q}) \, d\Omega + \int_{\Omega} \vec{V} w \cdot \vec{q} \, d\Omega$$

با اعمال قضیه دیورژانس به سمت چپ رابطه و مرتب کردن معادله بالا داریم:

$$\int_{\Omega} w (\vec{V} \cdot \vec{q}) \, d\Omega = \oint_{\Gamma} w \vec{q} \cdot \vec{n} \, d\Gamma - \int_{\Omega} \vec{V} w \cdot \vec{q} \, d\Omega \quad (260-4)$$

و یا به بیان ماتریسی:

$$\int_{\Omega} w \nabla^T q \, d\Omega = \oint_{\Gamma} w q^T n \, d\Gamma - \int_{\Omega} (\nabla w)^T q \, d\Omega \quad (261-4)$$

مثال ۴۳: تئوری بنیادین حساب در یک بعد، حالت خاصی از رابطه گرین می‌باشد. از این تئوری داریم:

$$\int_{\Omega} \frac{d\theta}{dx} \, dx = (\theta n)|_{\Gamma}$$

که n بردار یکه به سمت خارج مرز است بطوریکه در $n=i, x=L$ و در $n=-i, x=0$ هستند. رابطه

$$\int_{\Omega} w (\vec{V} \cdot \vec{q}) \, d\Omega = \oint_{\Gamma} w \vec{q} \cdot \vec{n} \, d\Gamma - \int_{\Omega} \vec{V} w \cdot \vec{q} \, d\Omega$$

در حالت یک بعدی بصورت زیر خواهد بود:

$$\int_{-L}^L w \left(\frac{\partial q_x}{\partial x} \right) dx = (w q_x)_{x=L} - (w q_x)_{x=-L} - \int_{-L}^L q_x \frac{\partial w}{\partial x} dx$$

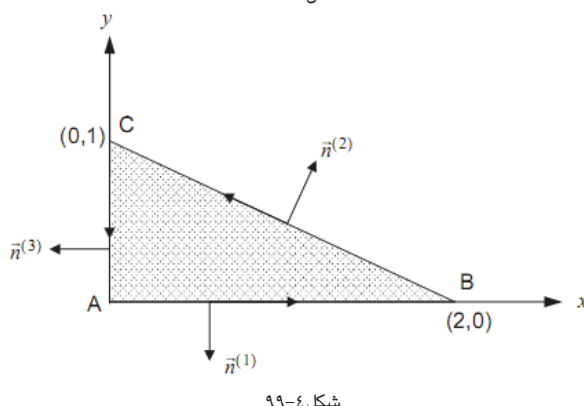
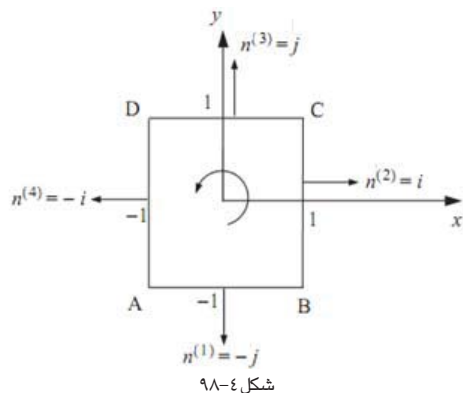
مثال ۴۴. یک دامنه مستطیلی مانند شکل ۴-۹۸ را در نظر بگیرید. تابع عددی $\theta = x^{\gamma} + 2y^{\gamma}$ داده شده است. اگر \vec{q} گرادیان θ بصورت $\vec{q} = \vec{\nabla}\theta$ باشد، خطوط کانتور، خطوطی هستند که در امتداد آنها یک تابع ثابت است. a) بردار نرمال بر خط کانتور θ عبوری از نقطه $(0, 0)$ را بیابید b) قضیه دیورژانس را در مورد \vec{q} تحقیق کنید.

$$a) \vec{n} = \frac{\vec{\nabla}\theta}{|\vec{\nabla}\theta|} = \left(\frac{\gamma x^{\gamma-1} + \gamma y^{\gamma-1}}{\sqrt{\gamma x^{\gamma} + \gamma y^{\gamma}}} \right) \Big|_{(0,0)} = \frac{1}{\sqrt{\gamma}}(\vec{i} + \vec{j})$$

$$b) \vec{V} \cdot \vec{q} = \frac{\partial q_x}{\partial x} + \frac{\partial q_y}{\partial y} = \gamma + \gamma = 2\gamma$$

$$\int_{\Omega} \vec{V} \cdot \vec{q} d\Omega = \int_{-1}^1 \left(\int_{-1}^1 \gamma dy \right) dx = 2\gamma$$

$$\oint_T \vec{q} \cdot \vec{n} dT = \int_{-1}^1 (-\gamma y) dx + \int_{-1}^1 (\gamma x) dy + \int_{-1}^1 (\gamma y) dx + \int_{-1}^1 (-\gamma x) dy = 2\gamma$$



مثال ۴-۵: یک میدان برداری با مولفه‌های $q_x = 2x^2y + y^3$ و $q_y = 2x^3y + y^2$ روی دامنه نشان داده شده در شکل ۹-۶ تعریف می‌شود. قضیه دیورژانس را تحقیق نمایید.

$$\vec{\nabla} \cdot \vec{q} = \frac{\partial q_x}{\partial x} + \frac{\partial q_y}{\partial y} = 6xy + 3y^2$$

$$\int_{\Omega} \vec{\nabla} \cdot \vec{q} d\Omega = \int_0^1 \left(\int_{-1}^{1-x} (6xy + 3y^2) dy \right) dx = 1.5$$

$$\oint_{\Gamma} \vec{q} \cdot \vec{n} d\Gamma = \int_{AB} \vec{q} \cdot (-\vec{j}) d\Gamma + \int_{BC} \vec{q} \cdot \vec{n} d\Gamma + \int_{CA} \vec{q} \cdot (-\vec{i}) d\Gamma$$

$$= \int_0^1 (-6x) dx + \int_{BC} (q_x \vec{i} + q_y \vec{j}) \frac{\sqrt{5}}{5} (\vec{i} + \sqrt{3} \vec{j}) d\Gamma + \int_0^1 y^2 dy = 1.5$$

۱-۴-۴ شکل قوی

با استفاده از معادله توازن انرژی داریم: حرارت تولیدی = حرارت خروجی

بیان برداری:

$$\vec{\nabla} \cdot \vec{q} - s = .$$

بیان ماتریسی:

$$\nabla^T q - s = . \quad (262-4)$$

که $s(x, y)$ حرارت تولید شده بر واحد سطح است. قانون هدایت حرارت فوریه برای یک ماده همسانگرد دو

بعدی می‌گوید:

$$\vec{q} = -k \vec{\nabla} T \quad (264-4)$$

با جایگذاری رابطه فوریه در معادله توازن انرژی می‌توان نوشت:

$$K \nabla^T T + s = . \quad (265-4)$$

$$\nabla^T = \nabla \cdot \nabla = \frac{\partial^2}{\partial x^2} + \frac{\partial^2}{\partial y^2}$$

قانون فوریه تعمیم یافته می‌گوید:

$$\begin{bmatrix} q_x \\ q_y \end{bmatrix} = - \begin{bmatrix} K_{xx} & K_{xy} \\ K_{yx} & K_{yy} \end{bmatrix} \begin{bmatrix} \frac{\partial T}{\partial x} \\ \frac{\partial T}{\partial y} \end{bmatrix} = -D\nabla T \quad (266-4)$$

به این ترتیب

$$\nabla^T (D\nabla T) + s = . \quad (267-4)$$

برای یک ماده همسانگرد $D = \begin{bmatrix} k & . \\ . & k \end{bmatrix} = kI$. در هر نقطه از مرز، درجه حرارت یا شار عمودی (نرمال) باید تعیین شده باشند. برای یک ماده همسانگرد، شار نرمال (q_n) متناسب با گرادیان درجه حرارت در جهت نرمال و یا $q_n = -kn^T \nabla T$ می‌باشد. بنابراین شکل قوی برای هدایت حرارتی عبارت است از:

- | | |
|---|--|
| $\vec{\nabla} \cdot \vec{q} - s = .$ | الف) توازن انرژی روی Ω (268-4) |
| $\vec{q} = -K \vec{\nabla} T$ | ب) قانون فوریه روی Ω (269-4) |
| $q_n = \vec{q} \cdot \vec{n} = \bar{q}$ | ج) شرایط مرزی طبیعی روی Γ_q (270-4) |
| $T = \bar{T}$ | د) شرایط مرزی لازم روی Γ_T (271-4) |

شکل قوی بایان ماتریسی برای هدایت حرارت عبارت است از:

- | | |
|-------------------------|--|
| $\nabla^T q - s = .$ | الف) توازن انرژی روی Ω (272-4) |
| $q = -D\nabla T$ | ب) قانون فوریه روی Ω (273-4) |
| $q_n = q^T n = \bar{q}$ | ج) شرایط مرزی طبیعی روی Γ_q (274-4) |
| $T = \bar{T}$ | د) شرایط مرزی لازم روی Γ_T (275-4) |
- داده‌های مساله s, D, \bar{T}, \bar{q}

1	constant
x	y
x^2	y^2
x^3	y^3
$x^2 y$	xy^2
	quadratic
	cubic

شکل ۴ ۱۰۰-۴ مثُل پاسکال در دو بعد



٤-٢٤ شکل ضعیف معادلات

$$a) \int_{\Omega} w(\vec{V} \cdot \vec{q} - s) d\Omega = . \quad \forall w \quad (276-3)$$

$$b) \int_{\Gamma_q} w(\vec{q} - \vec{q}, \vec{n}) d\Gamma = . \quad \forall w$$

با اعمال فرمول گرین

$$\int_{\Omega} w(\vec{V} \cdot \vec{q}) d\Omega = \oint_{\Gamma} w \vec{q} \cdot \vec{n} d\Gamma - \int_{\Omega} \vec{V} w \cdot \vec{q} d\Omega$$

$$\int (\vec{V}w \cdot \vec{a}) d\Omega = \oint w \vec{a} \cdot \vec{n} d\Gamma - \int ws d\Omega$$

$$= \int_{\Gamma} w \vec{q} \cdot \vec{n} \, dT + \int_{\Gamma_-} w \vec{q} \cdot \vec{n} \, dT - \int_{\Omega} ws d\Omega \quad \forall w \in U.$$

چون روی τ $w = \int_{\Gamma_a} w \vec{q} \cdot \vec{n} dT = \int_{\Gamma_a} w \bar{q} d\Gamma$ (با اساس اساسی داشت: $\vec{q} \cdot \vec{n} = 1$)

$$\int_0 \left(\vec{\nabla} w \cdot \vec{q} \right) d\Omega = \int_{\Gamma_r} w \bar{q} \, d\Gamma - \int_0 ws \, d\Omega \quad \forall w \in U. \quad (\text{V7A-}\varepsilon)$$

در اینجا J مجموعه توابع همواری است که، و $E.B.C$ صفحه باشند. به شکار ماتریس:

$$\int_{\Omega} (\nabla w)^T q d\Omega = \int_{\Gamma} w \bar{q} d\Gamma - \int_{\Omega} ws d\Omega \quad \forall w \in U. \quad (\forall \forall 9-\varepsilon)$$

بنابراین باید T_{EU} ، اطلاعی، حستجو کرکوب معاشره نبوده کنند.

$$\int_{\Omega} (\nabla w)^T D \nabla T d\Omega = - \int_{\Gamma} w \bar{q} d\Gamma + \int_{\Omega} ws d\Omega \quad \forall w \in U,$$

۲۶-۳۷ هائ، آزمایش

دای، کاما، بودن حذرخواه، بکار رفته یعنی انتساب تقدیر و در نتیجه همگای حوابها، متنهان از مثال

این رعایت داشت که انتخاب حملات حذف جمله‌ای استفاده کرد، بنابراین توانست تقدیر عبارت خواهند نمود.

• 1

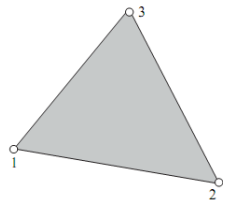
$$\theta^e(x, y) \equiv \alpha^{(e)} + \alpha^{(e)}_x x + \alpha^{(e)}_y y$$

$$\theta^e(x, y) = \alpha^{(e)} + \alpha^{(e)}x + \alpha^{(e)}y + \alpha^{(e)}x^r + \alpha^{(e)}xy + \alpha^{(e)}y^r$$

۱۰ حله سیاه

$$\theta^e(x, y) = \alpha_{\cdot}^{(e)} + \alpha_{\cdot}^{(e)}x + \alpha_{\tau}^{(e)}y + \alpha_{\tau}^{(e)}x^{\tau} + \alpha_{\zeta}^{(e)}xy + \alpha_{\zeta}^{(e)}y^{\tau} + \alpha_{\zeta}^{(e)}x^{\tau} + \alpha_{\nu}^{(e)}x^{\tau}y + \alpha_{\wedge}^{(e)}y^{\tau}x$$

$$+ \alpha_{\nu}^{(e)}y^{\tau}$$



شکل ۱۰۱-۴ المان مثلثی سه گرهی

برای پیوستگی c بین دو المان مثلثی مجاورهم با توابع تقریب

$$\theta^{(1)} = \alpha_{\cdot}^{(1)} + \alpha_{\cdot}^{(1)}x + \alpha_{\cdot}^{(1)}y \quad \text{و} \quad \theta^{(2)} = \alpha_{\cdot}^{(2)} + \alpha_{\cdot}^{(2)}x + \alpha_{\cdot}^{(2)}y \quad (281-4)$$

باید $\theta^{(1)}(S) = \theta^{(2)}(S)$ باشد، یعنی $\alpha_i^{(1)}$ و $\alpha_i^{(2)}$ به دقت انتخاب شوند.

۴۲۵ المان مثلثی سه گرهی

هرگاه برای حل آزمایشی یک المان مثلثی سه گرهی طبق شکل انتخاب شود تابع تقریب را می‌توان به شکل $y = \alpha_{\cdot}^{(e)} + \alpha_{\cdot}^{(e)}x + \alpha_{\cdot}^{(e)}y$ انتخاب کرد.
نامگذاری گرههای محلی $I = 1, 2, 3$ و $(x_I^{(e)}, y_I^{(e)})$ طبق حرکت پاد ساعتگرد خواهد بود. تابع تقریب بصورت ماتریسی عبارتست از:

$$\theta^{(e)}(x, y) = [1 \quad x \quad y] \begin{bmatrix} \alpha_{\cdot}^{(e)} \\ \alpha_{\cdot}^{(e)} \\ \alpha_{\cdot}^{(e)} \end{bmatrix} = p(x, y)\alpha^{(e)} \quad (282-4)$$

مقادیر گرهی در این حالت عبارتند از:

$$\begin{aligned} \theta^{(e)}(x_{\cdot}^{(e)}, y_{\cdot}^{(e)}) &= \theta_{\cdot}^{(e)} = \alpha_{\cdot}^{(e)} + \alpha_{\cdot}^{(e)}x_{\cdot} + \alpha_{\cdot}^{(e)}y_{\cdot} \\ \theta^{(e)}(x_{\gamma}^{(e)}, y_{\gamma}^{(e)}) &= \theta_{\gamma}^{(e)} = \alpha_{\gamma}^{(e)} + \alpha_{\gamma}^{(e)}x_{\gamma} + \alpha_{\gamma}^{(e)}y_{\gamma} \\ \theta^{(e)}(x_{\tau}^{(e)}, y_{\tau}^{(e)}) &= \theta_{\tau}^{(e)} = \alpha_{\tau}^{(e)} + \alpha_{\tau}^{(e)}x_{\tau} + \alpha_{\tau}^{(e)}y_{\tau} \end{aligned} \quad (283-4)$$

$$\Rightarrow \begin{bmatrix} \theta_{\cdot}^{(e)} \\ \theta_{\gamma}^{(e)} \\ \theta_{\tau}^{(e)} \end{bmatrix} = \begin{bmatrix} 1 & x_{\cdot}^{(e)} & y_{\cdot}^{(e)} \\ 1 & x_{\gamma}^{(e)} & y_{\gamma}^{(e)} \\ 1 & x_{\tau}^{(e)} & y_{\tau}^{(e)} \end{bmatrix} \Rightarrow d \begin{bmatrix} \alpha_{\cdot}^{(e)} \\ \alpha_{\gamma}^{(e)} \\ \alpha_{\tau}^{(e)} \end{bmatrix} \equiv d^{(e)} = M^{(e)}\alpha^{(e)} \quad (284-4)$$

و یا

$$\theta^{(e)}(x, y) = p(x, y)(M^{(e)})^{-1}d^{(e)} = N^{(e)}(x, y)d^{(e)} \quad (285-4)$$

که در آن

$$(M^{(e)})^{-1} = \frac{1}{\gamma A^{(e)}} \begin{bmatrix} y_r^{(e)} - y_\gamma^{(e)} & y_r^{(e)} - y_\gamma^{(e)} & y_\gamma^{(e)} - y_r^{(e)} \\ x_r^{(e)} - x_\gamma^{(e)} & x_\gamma^{(e)} - x_r^{(e)} & x_r^{(e)} - x_\gamma^{(e)} \\ x_r^{(e)}y_r^{(e)} - x_\gamma^{(e)}y_\gamma^{(e)} & x_\gamma^{(e)}y_\gamma^{(e)} - x_r^{(e)}y_r^{(e)} & x_r^{(e)}y_\gamma^{(e)} - x_\gamma^{(e)}y_r^{(e)} \end{bmatrix} \quad (286-4)$$

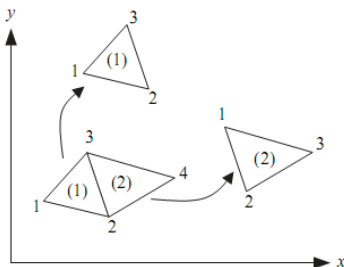
$\gamma A^{(e)} = \det M^{(e)}$ و

بنابراین توابع شکل این المان بصورت زیر همه عبارات خطی نسبت به x و y بوده و ضرایب آنها برحسب مختصات گرهی هستند:

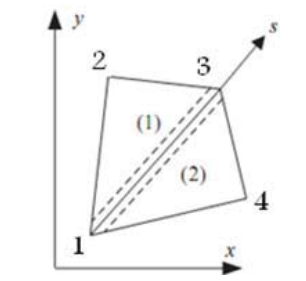
$$\begin{aligned} N_1^{(e)} &= \frac{1}{\gamma A^{(e)}} (x_r^{(e)}y_r^{(e)} - x_\gamma^{(e)}y_\gamma^{(e)} + (y_r^{(e)} - y_\gamma^{(e)})x + (x_r^{(e)} - x_\gamma^{(e)})y) \\ N_r^{(e)} &= \frac{1}{\gamma A^{(e)}} (x_r^{(e)}y_\gamma^{(e)} - x_\gamma^{(e)}y_r^{(e)} + (y_r^{(e)} - y_\gamma^{(e)})x + (x_\gamma^{(e)} - x_r^{(e)})y) \\ N_\gamma^{(e)} &= \frac{1}{\gamma A^{(e)}} (x_\gamma^{(e)}y_r^{(e)} - x_r^{(e)}y_\gamma^{(e)} + (y_\gamma^{(e)} - y_r^{(e)})x + (x_r^{(e)} - x_\gamma^{(e)})y) \end{aligned} \quad (287-4)$$

توابع شکل بالا هم میانیاب هستند؛ یعنی:

$$N_I^{(e)}(x_J^{(e)}, y_J^{(e)}) = \delta_{IJ} \quad (288-4)$$



شکل ۱۰-۴. مشی با دو المان مثلثی: شماره گذاری محلی و عمومی



شکل ۱۰-۵ پیوستگی بین دو المان مثلثی

۴-۲۶ تقریب عمومی و پیوستگی

حل‌های آزمایشی با یک ترکیب خطی از توابع شکل عمومی تقریب زده می‌شود

$$\theta^h = Nd = \sum_{I=1}^{n_{np}} N_I \theta_I \quad [N^T = \sum_{e=1}^{n_{el}} L^{(e)T} N^{(e)T}] \quad (289-4)$$

پیوستگی C توابع شکل عمومی، در امتداد لبه مشترک بین دو المان مجاور را می‌توان بصورت زیر توصیف کرد: لبه مشترک المان‌های α و γ یک معادله پارامتری بر حسب پارامتر s چنان تعریف می‌شود که $s=0$ در گره α و $s=1$ در گره γ برقرار باشد (شکل ۴-۱۰).

$$\begin{cases} x = x_\alpha + (x_\gamma - x_\alpha)s \\ y = y_\alpha + (y_\gamma - y_\alpha)s \end{cases} \quad (290-4)$$

چون توابع شکل در امتداد هر لبه خطی هستند، توابع دو المان α و γ در امتداد لبه مشترک را می‌توان بصورت زیر نوشت:

$$\theta^{(\alpha)}(s) = \beta_\alpha^{(\alpha)} + \beta_\gamma^{(\alpha)}s, \quad \theta^{(\gamma)}(s) = \beta_\alpha^{(\gamma)} + \beta_\gamma^{(\gamma)}s \quad (291-4)$$

توابعی از $\alpha_i^{(e)}$ ولذا از مختصات گرهی هستند. چون $\theta^{(\alpha)}(s)$ در $s=0$ و $s=1$ باید به ترتیب با θ_α و θ_γ برابر باشند لذا:

$$\theta_\alpha = \beta_\alpha^{(\alpha)} \quad \text{و} \quad \theta_\gamma = \beta_\alpha^{(\gamma)}, \quad \theta_\alpha = \beta_\gamma^{(\alpha)} \quad \text{و} \quad \theta_\gamma = \beta_\gamma^{(\gamma)} + \beta_\gamma^{(\gamma)}s \quad (292-4)$$

و یا

$$\theta_\alpha = \beta_\alpha^{(\alpha)} = \beta_\gamma^{(\alpha)}, \quad \beta_\alpha^{(\alpha)} = \beta_\gamma^{(\alpha)} = \theta_\gamma - \theta_\alpha \quad (293-4)$$

بنابراین هر دو تابع المان در امتداد فصل مشترک مساوی هستند و به تبع در تمام فصل مشترک پیوسته می‌باشند. این آرگومان برای تمام فصل مشترک‌ها در مش برقرار بوده و لذا این تقریب بطور کلی C است.

مشتقات توابع شکل برای المان مثلى سه گرهی

$$\nabla \theta^{(e)} = \begin{bmatrix} \frac{\partial \theta^{(e)}}{\partial x} \\ \frac{\partial \theta^{(e)}}{\partial y} \end{bmatrix} = \begin{bmatrix} \frac{\partial N_\alpha^{(e)}}{\partial x} \theta_\alpha^{(e)} + \frac{\partial N_\gamma^{(e)}}{\partial x} \theta_\gamma^{(e)} + \frac{\partial N_\gamma^{(e)}}{\partial x} \theta_\gamma^{(e)} \\ \frac{\partial N_\alpha^{(e)}}{\partial y} \theta_\alpha^{(e)} + \frac{\partial N_\gamma^{(e)}}{\partial y} \theta_\gamma^{(e)} + \frac{\partial N_\gamma^{(e)}}{\partial y} \theta_\gamma^{(e)} \end{bmatrix}$$

$$= \begin{bmatrix} \frac{\partial N_{\gamma}^{(e)}}{\partial x} & \frac{\partial N_{\gamma}^{(e)}}{\partial x} & \frac{\partial N_{\gamma}^{(e)}}{\partial x} \\ \frac{\partial N_{\gamma}^{(e)}}{\partial y} & \frac{\partial N_{\gamma}^{(e)}}{\partial y} & \frac{\partial N_{\gamma}^{(e)}}{\partial y} \end{bmatrix} \begin{bmatrix} \theta_{\gamma}^{(e)} \\ \theta_{\gamma}^{(e)} \\ \theta_{\gamma}^{(e)} \end{bmatrix} \quad (294-4)$$

یا

$$\nabla \theta^{(e)} = B^{(e)} d^{(e)} \quad (295-4)$$

و با توابع شکل بالا داریم:

$$B^{(e)} = \begin{bmatrix} y_{\gamma}^{(e)} - y_{\gamma}^{(e)} & y_{\gamma}^{(e)} - y_{\gamma}^{(e)} & y_{\gamma}^{(e)} - y_{\gamma}^{(e)} \\ x_{\gamma}^{(e)} - x_{\gamma}^{(e)} & x_{\gamma}^{(e)} - x_{\gamma}^{(e)} & x_{\gamma}^{(e)} - x_{\gamma}^{(e)} \end{bmatrix} \quad (296-4)$$

یعنی در هر المان $B^{(e)}$ ثابت است.

۴-۲۷ فرمول‌بندی المان محدود برای مسایل هدایت حرارتی ۲D

باید $T(x, y) \in U$ را طوری پیدا کرد که

$$\int_{\Omega} (\nabla w)^T D \nabla T d\Omega = - \int_{\Gamma_q} w^T \bar{q} d\Gamma + \int_{\Omega} w^T s d\Omega \quad \forall w \in U. \quad (297-4)$$

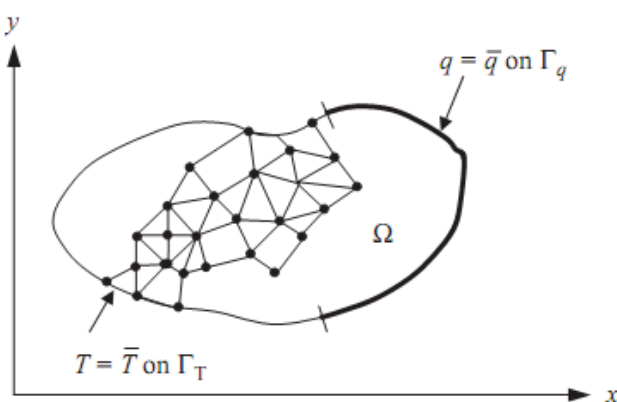
برقرار باشد.

$$D = \begin{bmatrix} k_{xx} & k_{xy} \\ k_{yx} & k_{yy} \end{bmatrix}, \nabla T = \begin{bmatrix} \frac{\partial T}{\partial x} \\ \frac{\partial T}{\partial y} \end{bmatrix} \quad (298-4)$$

$$T(x, y) \simeq T^{(e)}(x, y) = N^{(e)}(x, y) d^{(e)} = \sum_{I=1}^{n_{el}} N_I^{(e)}(x, y) T_I^{(e)} \quad (299-4)$$

$$w(x, y) \simeq w^{(e)}(x, y) = N^{(e)}(x, y) w^{(e)} = \sum_{I=1}^{n_{el}} N_I^{(e)}(x, y) w_I^{(e)} \quad (300-4)$$

$$d^{(e)} = [T_{\gamma}^{(e)} \quad T_{\gamma}^{(e)} \quad \dots \quad T_{n_{en}}^{(e)}], w^{(e)} = [w_{\gamma}^{(e)} \quad w_{\gamma}^{(e)} \quad \dots \quad w_{n_{en}}^{(e)}] \quad \text{که}$$



شکل ۴-۴

و

$$a^{(e)} = L^{(e)}d \Rightarrow \begin{cases} a) T^{(e)}(x, y) = N^{(e)}(x, y)L^{(e)}d \\ b) w^{(e)T}(x, y) = (N^{(e)}(x, y)w^{(e)})^T = w^T L^{(e)T}N^{(e)T}(x, y) \end{cases} \quad (3.1-4)$$

$$\nabla T^{(e)} = \begin{bmatrix} \frac{\partial T}{\partial x} \\ \frac{\partial T}{\partial y} \end{bmatrix} = \begin{bmatrix} \frac{\partial N_1^{(e)}}{\partial x} & \frac{\partial N_1^{(e)}}{\partial x} & \dots & \frac{\partial N_{nen}^{(e)}}{\partial x} \\ \frac{\partial N_1^{(e)}}{\partial y} & \frac{\partial N_1^{(e)}}{\partial y} & \dots & \frac{\partial N_{nen}^{(e)}}{\partial y} \end{bmatrix} d^{(e)} = B^{(e)}L^{(e)}d \quad (3.2-4)$$

$$(\nabla w^{(e)})^T = (B^{(e)}w^{(e)})^T = w^{(e)T}B^{(e)T} = (L^{(e)}w)^T B^{(e)T} = w^T L^{(e)T} B^{(e)T} \quad (3.3-4)$$

$$w^T \left\{ \sum_{e=1}^{nel} L^{(e)T} \left[\int_{\Omega^{(e)}} B^{(e)T} D^{(e)} B^{(e)} d\Omega L^{(e)} d + \int_{\Gamma_q^{(e)}} N^{(e)T} \bar{q} d\Gamma - \int_{\Omega^{(e)}} N^{(e)T} s d\Omega \right] \right\} = . \quad (3.4-4)$$

و ماتریس کنداکتانس المانی عبارت است از:

$$d = \begin{bmatrix} d_E \\ d_F \end{bmatrix}, \quad w = \begin{bmatrix} w_E \\ w_F \end{bmatrix} = \begin{bmatrix} \cdot \\ \cdot \\ w_F \end{bmatrix} \quad (3.5-4)$$

$$K^{(e)} = \int_{\Omega^{(e)}} B^{(e)T} D^{(e)} B^{(e)} d\Omega L^{(e)} \quad (3.6-4)$$

ماتریس شار المان:

$$f^{(e)} = - \int_{\Gamma_q^{(e)}} N^{(e)T} \bar{q} d\Gamma + \int_{\Omega^{(e)}} N^{(e)T} s d\Omega \quad (3.7-4)$$

شکل ضعیف:

$$W^T [(\sum_{e=1}^{nel} L^{(e)T} K^{(e)} L^{(e)})d - (\sum_{e=1}^{nel} L^{(e)T} f^{(e)})] = . \quad (3.8-4)$$

$$W^T r = . \quad \forall Wf \quad \text{و} \quad r = kd - f \quad (3.9-4)$$

ماتریس‌های عمومی بصورت زیر موتداز می‌شوند:

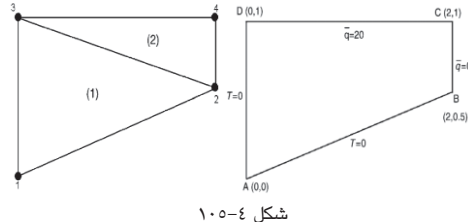
$$K = \sum_{e=1}^{nel} L^{(e)T} K^{(e)} L^{(e)} \quad f = \sum_{e=1}^{nel} L^{(e)T} f^{(e)} \quad (3.10-4)$$

$$W_F \quad r_F + W_E \quad r_E = . \xrightarrow{W_F \text{ is arbitrary}} r = \begin{bmatrix} r_E \\ \cdot \end{bmatrix} = \begin{bmatrix} K_E & K_{EF} \\ K_{EF}^T & K_E \end{bmatrix} \begin{bmatrix} \bar{d}_E \\ d_F \end{bmatrix} - \begin{bmatrix} f_E \\ f_F \end{bmatrix} \quad (3.11-4)$$

مثال ۴۶. برای شرایط شکل ۱۰۵-۴، دمای گره ۴ و شارهای حرارتی المان‌ها را محاسبه کنید.

$$D = k \begin{bmatrix} 1 & \cdot \\ \cdot & \cdot \end{bmatrix}, \quad k = \sigma w / C, \quad s = \gamma w / m^r$$

$$B^{(e)} = \frac{\gamma}{\gamma A^{(e)}} \begin{bmatrix} (y_r^{(e)} - y_1^{(e)}) & (y_r^{(e)} - y_1^{(e)}) & (y_r^{(e)} - y_1^{(e)}) \\ (x_r^{(e)} - x_1^{(e)}) & (x_r^{(e)} - x_1^{(e)}) & (x_r^{(e)} - x_1^{(e)}) \end{bmatrix} \quad (3.12-4)$$



شکل ۱۰.۵-۴

$$\rightarrow \begin{cases} B^{(\gamma)} = \sqrt{2} \begin{bmatrix} -0.5 & 1 & -0.5 \\ -0.5 & 0 & 0 \\ 0 & 0 & 0 \end{bmatrix} \\ B^{(\tau)} = \begin{bmatrix} 0.5 & 0 & 0 \\ 0 & 0.5 & 0 \\ 0 & 0 & 0 \end{bmatrix} \end{cases} \quad (313-4)$$

$$A^{(e)} = (x_{\gamma}^{(e)} y_{\gamma}^{(e)} - x_{\tau}^{(e)} y_{\tau}^{(e)}) - (x_{\gamma}^{(e)} y_{\gamma}^{(e)} - x_{\tau}^{(e)} y_{\tau}^{(e)}) + (x_{\gamma}^{(e)} y_{\gamma}^{(e)} - x_{\tau}^{(e)} y_{\tau}^{(e)}) \rightarrow \begin{cases} A^{(\gamma)} = 1 \\ A^{(\tau)} = \sqrt{2} \end{cases} \quad (314-4)$$

چون پس $D^{(e)} = kI$ و $B = cte$ & $k = cte$

$$[K]^{(e)} = \int_{\Omega^{(e)}} B^{(e)T} D^{(e)} B^{(e)} d\Omega^{(e)} = B^{(e)T} B^{(e)} k \int_{\Omega^{(e)}} d\Omega^{(e)} = k A^{(e)} B^{(e)T} B^{(e)} \quad (315-4)$$

$$[K]^{(\gamma)} = \begin{bmatrix} 0.3120 & -0.620 & -4.6875 \\ -0.620 & 1.20 & -0.620 \\ -4.6875 & -0.620 & 0.3120 \end{bmatrix} \begin{bmatrix} 1 \\ \gamma \\ \tau \end{bmatrix} \quad (316-4)$$

$$[K]^{(\tau)} = \begin{bmatrix} 1 & -1 & 0 \\ -1 & 1.20 & -0.620 \\ 0 & -0.620 & 0.620 \end{bmatrix} \begin{bmatrix} 2 \\ \xi \\ \tau \end{bmatrix} \quad (317-4)$$

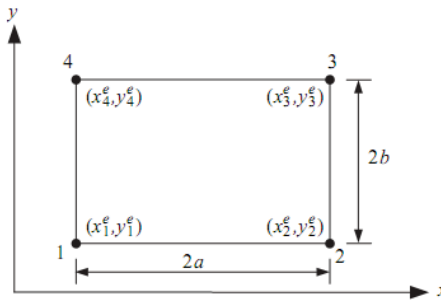
$$[K] = \begin{bmatrix} 0.3120 & -0.620 & -4.6875 & 0 \\ -0.620 & 1.20 & -0.620 & -1 \\ -4.6875 & -0.620 & 0.3120 & -0.620 \\ 0 & -1 & -0.620 & 1.20 \end{bmatrix} \quad (318-4)$$

$$f_{\Omega}^{(e)} = \int_{\Omega^{(e)}} N^{(e)T} s d\Omega = s \int N^{(e)T} d\Omega = \frac{s A^{(e)}}{\tau} \begin{bmatrix} 1 \\ \gamma \\ \tau \end{bmatrix} \Rightarrow f_{\Omega} = \begin{bmatrix} \gamma \\ \tau \\ \tau \end{bmatrix} \quad (319-4)$$

$$f_{\Gamma_q}^{(e)} = - \int_{\Gamma_q^{(e)}} N^{(e)T} \bar{q} d\Gamma \quad (320-4)$$

$$\Rightarrow N^{(\gamma)} \Big|_{y=\gamma} = \begin{bmatrix} 0 \\ 0 \\ -0.620 + \gamma \end{bmatrix} \quad (321-4)$$

$$f_{\Gamma}^{(\gamma)} = -\gamma \cdot \int_{x=0}^{x=\gamma} \begin{bmatrix} 0 \\ 0 \\ -0.620 + \gamma \end{bmatrix} dx = \begin{bmatrix} 0 \\ 0 \\ -\gamma \cdot \end{bmatrix} \Rightarrow f_{\Gamma} = \begin{bmatrix} 0 \\ -\gamma \cdot \\ -\gamma \cdot \end{bmatrix} \quad (322-4)$$



شکل ۱۰.۶-۴

$$f_T + f_Q + r = \begin{bmatrix} r_1 + r_4 \\ r_2 + r_3 \\ r_1 - r_2 \\ -r_3 \end{bmatrix} \quad (323-4)$$

از حل معادلات عمومی داریم:

$$d^{(v)} [\cdot, \cdot, \cdot]^T, d^{(v)} [\cdot, -1.788, \cdot]^T | T_i = -1.788 \quad (324-4)$$

$$q^{(v)} = -k I B^{(v)} d^{(v)} = \begin{bmatrix} \cdot \\ \cdot \\ \cdot \\ \cdot \end{bmatrix}, q^{(v)} = \begin{bmatrix} 4.47 \\ 12.88 \end{bmatrix}$$

۴-۲۸ المان‌های مستطیلی چهارگره

چون المان چهار گره دارد لازم است با یک چندجمله‌ای با چهار پارامتر شروع کنیم؛ اما طبق مثال پاسکال باید از ردیف سوم یکی از عبارات x^3y یا xy^3 انتخاب شود تا چهار جمله در چندجمله‌ای داشته باشیم. اما کام یک باید انتخاب شوند؟ جواب این است که چون انتخاب x^3y در امتداد لبه‌های مشترک که باید خطی باشند که پیوستگی را تضمین کند ایجاد غیرخطیت و ناپیوستگی می‌کنند لذا جمله xy انتخاب خواهد شد و داریم:

$$\theta^{(e)}(x, y) = \alpha_{\cdot}^{(e)} + \alpha_x^{(e)}x + \alpha_y^{(e)}y + \alpha_{xy}^{(e)}xy \quad (325-4)$$

از روابط قبل می‌توان $\alpha_i^{(e)}$ را بر حسب $\theta_i^{(e)}$ محاسبه کرد ولی محاسبه نمادین $(M^{(e)})^{-1}$ مشکل است. توابع

شکل دو بعدی را می‌توان با ضرب تانسوری توابع شکل یک بعدی نیز به صورت زیر بدست آورد:

$$N_{[I,J]}^{(e)}(x, y) = N_I^{(e)}(x) N_J^{(e)}(y) \quad I=1,2, \quad J=1,2 \quad (326-4)$$

این توابع دارای خاصیت میانیابی هستند.

$$N_{[I,J]}^{(e)} \bar{x}_M^{(e)} \bar{y}_L^{(e)} = N_I^{(e)}(x_M) N_J^{(e)}(y_L) \delta_{IM} \delta_{JL} \quad (327-4)$$

جدول ۱۴-۴

K	I	J	$N_1^e(x_I^e)$	$N_2^e(x_I^e)$	$N_1^e(y_J^e)$	$N_2^e(y_J^e)$	$2D: N_K^e(x, y) = N_{[I,J]}^e(x, y)$
1	1	1	1	0	1	0	$N_1^e(x)N_1^e(y)$
2	2	1	0	1	1	0	$N_2^e(x)N_1^e(y)$
3	2	2	0	1	0	1	$N_2^e(x)N_2^e(y)$
4	1	2	1	0	0	1	$N_1^e(x)N_2^e(y)$

و یا

$$N_1^{(e)}(x, y) = \frac{x - x_{\gamma}^{(e)}}{x_{\gamma}^{(e)} - x_{\tau}^{(e)}} \frac{y - y_{\xi}^{(e)}}{y_{\gamma}^{(e)} - y_{\xi}^{(e)}} = \frac{1}{A^{(e)}} (x - x_{\gamma}^{(e)})(y - y_{\xi}^{(e)}) \quad (328-4)$$

$$N_{\gamma}^{(e)}(x, y) = \frac{1}{A^{(e)}} (x - x_{\gamma}^{(e)})(y - y_{\gamma}^{(e)})$$

$$N_{\tau}^{(e)}(x, y) = \frac{1}{A^{(e)}} (x - x_{\tau}^{(e)})(y - y_{\tau}^{(e)})$$

$$N_{\xi}^{(e)}(x, y) = \frac{1}{A^{(e)}} (x - x_{\xi}^{(e)})(y - y_{\xi}^{(e)})$$

اگر در المانی لبّ مشترکی به صورت $x=y$ وجود داشته باشد از روابط بالا ملاحظه می‌شود که در امتداد آن لبّ، N_i از درجه دو بوده و شرایط پیوستگی دیگر ارضا نمی‌شود. یعنی تابع شکل بالا فقط برای حالت مش مستطیلی مناسبند و باید روش قدرتمندتری برای تعریف تابع شکل به کار بُرد.

۴-۳۹ المان چهار ضلعی چهار گرهی

در کوادراتور گوسی یک بعدی بازه استاندارد $[-1, 1]$ تعریف شد و به بازه فیزیکی نگاشته شد.

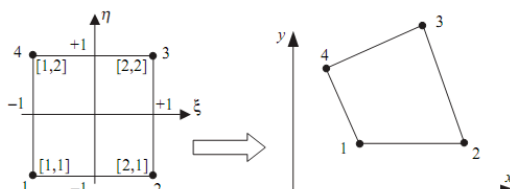
$$x = x_{\gamma}^{(e)} N_{\gamma}^{(e)}(\zeta) + x_{\tau}^{(e)} N_{\tau}^{(e)}(\zeta) = x_{\gamma}^{(e)} \left(\frac{\gamma - \zeta}{\gamma} \right) + x_{\tau}^{(e)} \left(\frac{\tau + \zeta}{\gamma} \right) \quad \zeta \in [-1, 1] \quad (329-4)$$

به نام مختصّه طبیعی روی دامنه المان والدین معروف است. اما ζ

$$\theta \square \theta_{\gamma}^{(e)} \frac{x - x_{\gamma}^{(e)}}{x_{\gamma}^{(e)} - x_{\tau}^{(e)}} \square \theta_{\gamma}^{(e)} \frac{x - x_{\tau}^{(e)}}{x_{\tau}^{(e)} - x_{\gamma}^{(e)}} \quad (330-4)$$

$$\square \theta_{\gamma}^{(e)} \frac{x_{\gamma}^{(e)}(1-\zeta) + x_{\tau}^{(e)}(1+\zeta) - \gamma x_{\tau}^{(e)}}{\gamma(x_{\gamma}^{(e)} - x_{\tau}^{(e)})} \square \theta_{\tau}^{(e)} \frac{x_{\gamma}^{(e)}(1-\zeta) + x_{\tau}^{(e)}(1+\zeta) - \gamma x_{\gamma}^{(e)}}{\gamma(x_{\tau}^{(e)} - x_{\gamma}^{(e)})}$$

$$\square \theta_{\gamma}^{(e)} \frac{1-\zeta}{\gamma} \square \theta_{\tau}^{(e)} \frac{1+\zeta}{\gamma}$$



شکل ۱۰۷-۴

چون مختصات فیزیکی با همان توابع شکلی که برای تقریب به کار می‌روند نگاشته می‌شوند به این المانها، المان‌های ایزوپارامتریک می‌گویند. نگاشت مختصات فیزیکی به طبیعی:

$$x(\xi, \eta) = N^{\xi Q}(\xi, \eta)x^{(e)} \quad (331-4)$$

$$y(\xi, \eta) = N^{\eta Q}(\xi, \eta)y^{(e)} \quad (332-4)$$

هستند که در آنها

$$\mathbf{x}^{(e)} = [x_1^{(e)} \quad x_r^{(e)} \quad x_v^{(e)} \quad x_\xi^{(e)}]^T \quad (333-4)$$

$$\mathbf{y}^{(e)} = [y_1^{(e)} \quad y_r^{(e)} \quad y_v^{(e)} \quad y_\xi^{(e)}]^T \quad (334-4)$$

توابع شکل را می‌توان با جایگزین کردن \bar{x}, y با (ξ, η) و مختصات گرهی در مختصات دامنه فیزیکی x_I, y_I با مختصات گرهی در المان طبیعی (ξ_I, η_I) در توابع شکل مستطیلی به دست آورد:

$$N_I^{\xi Q}(\xi, \eta) = \frac{1}{\xi} (1 + \xi_I \xi) (1 + \eta_I \eta) \quad (335-4)$$

توابع شکل بالا دارای یک جمله ثابت و یک جمله برحسب ξ می‌باشد و اصطلاحاً تابع شکل دوخطی (bilinear) است. در این حالت حل آزمایشی به صورت

$$\theta^{(e)}(\xi, \eta) = N^{\xi Q}(\xi, \eta)d^{(e)} \quad (336-4)$$

خواهد بود. با نوشتن این حل برحسب α_i داریم:

$$\theta^{(e)}(\xi, \eta) = \alpha_0 + \alpha_1 \xi + \alpha_r \eta + \alpha_v \xi \eta \quad (337-4)$$

$\nabla \theta^{(e)} = B^{(e)} d^{(e)}$ مشتقات توابع شکل ایزوپارامتریک عبارتند از:

$$B^{(e)} = \begin{bmatrix} \frac{\partial N_1^{\xi Q}}{\partial x} & \frac{\partial N_r^{\xi Q}}{\partial x} & \frac{\partial N_v^{\xi Q}}{\partial x} & \frac{\partial N_\xi^{\xi Q}}{\partial x} \\ \frac{\partial N_1^{\xi Q}}{\partial y} & \frac{\partial N_r^{\xi Q}}{\partial y} & \frac{\partial N_v^{\xi Q}}{\partial y} & \frac{\partial N_\xi^{\xi Q}}{\partial y} \end{bmatrix} \quad (338-4)$$

از طرف دیگر

$$\frac{\partial N_I^{\xi Q}}{\partial \xi} = \frac{\partial N_I^{\xi Q}}{\partial x} \frac{\partial x}{\partial \xi} + \frac{\partial N_I^{\xi Q}}{\partial y} \frac{\partial y}{\partial \xi} \quad (339-4)$$

$$\frac{\partial N_I^{\xi Q}}{\partial \eta} = \frac{\partial N_I^{\xi Q}}{\partial x} \frac{\partial x}{\partial \eta} + \frac{\partial N_I^{\xi Q}}{\partial y} \frac{\partial y}{\partial \eta}$$

و یا

$$\begin{bmatrix} \frac{\partial N_I^{\xi Q}}{\partial \xi} \\ \frac{\partial N_I^{\xi Q}}{\partial \eta} \end{bmatrix} = \begin{bmatrix} \frac{\partial x}{\partial \xi} & \frac{\partial y}{\partial \xi} \\ \frac{\partial x}{\partial \eta} & \frac{\partial y}{\partial \eta} \end{bmatrix} \begin{bmatrix} \frac{\partial N_I^{\xi Q}}{\partial x} \\ \frac{\partial N_I^{\xi Q}}{\partial y} \end{bmatrix} = J^{(e)} \begin{bmatrix} \frac{\partial N_I^{\xi Q}}{\partial x} \\ \frac{\partial N_I^{\xi Q}}{\partial y} \end{bmatrix} \quad (340-4)$$

و داریم:

$$\begin{bmatrix} \frac{\partial N_I^{(e)Q}}{\partial x} \\ \frac{\partial N_I^{(e)Q}}{\partial y} \end{bmatrix} = J^{(e)}{}^{-1} \begin{bmatrix} \frac{\partial N_I^{(e)Q}}{\partial \xi} \\ \frac{\partial N_I^{(e)Q}}{\partial \eta} \end{bmatrix} \quad (341-4)$$

$$\nabla N_I^{(e)Q} = J^{(e)}{}^{-1} G N_I^{(e)Q} \quad (342-4)$$

که در این رابطه $G = \begin{bmatrix} \frac{\partial}{\partial \xi} & \frac{\partial}{\partial \eta} \end{bmatrix}$ است. چون

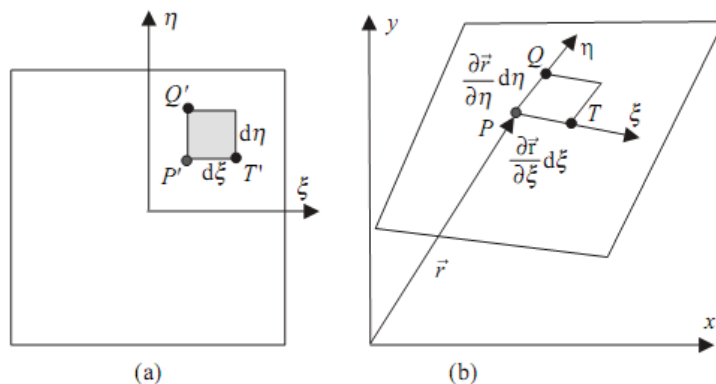
$$J^{(e)} = \begin{bmatrix} \sum_{I=1}^{\xi} \frac{\partial N_I^{(e)Q}}{\partial \xi} x_I^{(e)} & \sum_{I=1}^{\xi} \frac{\partial N_I^{(e)Q}}{\partial \xi} y_I^{(e)} \\ \sum_{I=1}^{\xi} \frac{\partial N_I^{(e)Q}}{\partial \eta} x_I^{(e)} & \sum_{I=1}^{\xi} \frac{\partial N_I^{(e)Q}}{\partial \eta} y_I^{(e)} \end{bmatrix} =$$

$$\begin{bmatrix} \frac{\partial N_1^{(e)Q}}{\partial \xi} & \frac{\partial N_1^{(e)Q}}{\partial \xi} & \frac{\partial N_\gamma^{(e)Q}}{\partial \xi} & \frac{\partial N_\gamma^{(e)Q}}{\partial \xi} \\ \frac{\partial N_1^{(e)Q}}{\partial \eta} & \frac{\partial N_1^{(e)Q}}{\partial \eta} & \frac{\partial N_\gamma^{(e)Q}}{\partial \eta} & \frac{\partial N_\gamma^{(e)Q}}{\partial \eta} \end{bmatrix} \begin{bmatrix} x_1^{(e)} & y_1^{(e)} \\ x_\gamma^{(e)} & y_\gamma^{(e)} \\ x_\tau^{(e)} & y_\tau^{(e)} \\ x_i^{(e)} & y_i^{(e)} \end{bmatrix} \quad (343-4)$$

$$J^{(e)} = \square N^{(e)Q} [x^{(e)} \quad y^{(e)}] \quad (344-4)$$

$$B^{(e)} = J^{(e)}{}^{-1} \square N^{(e)Q} \quad (345-4)$$

برای اینکه نگاشت $y^{(e)}$ و $x^{(e)}$ به $y(\xi, \eta)$ و $x(\xi, \eta)$ منحصر باشد لازم است $\det J^{(e)} \neq 0$. همچنین باید $|J^{(e)}| = \det J^{(e)} > 0$ باشد. این شرط معادل آن است که تمام زوایای چهارضلعی کمتر از 180° درجه باشند.



شکل ۴-۸-۴ نگاشت یک مساحت بسیار کوچک از □□□ دامنه طبیعی به □□□ دامنه فیزیکی

۴-۳۰ کوادراتور گوسی در دو بعد

یک انتگرال نمونه را که روی دامنه یک المان چهارضلعی تعریف شده در نظر بگیرید(شکل ۴-۱۰۸):

$$I = \int_{\Omega^{(e)}} f(\xi, \eta) d\Omega \quad (346-4)$$

□ نقطه دلخواهی در دامنه فیزیکی است:

$$\vec{r} = \vec{x}i + \vec{y}j \quad (347-4)$$

$$\vec{a} = \frac{\partial \vec{r}}{\partial \xi} d\xi = \left(\frac{\partial x}{\partial \xi} \vec{i} + \frac{\partial y}{\partial \xi} \vec{j} \right) d\xi \quad (348-4)$$

$$\vec{b} = \frac{\partial \vec{r}}{\partial \eta} d\eta = \left(\frac{\partial x}{\partial \eta} \vec{i} + \frac{\partial y}{\partial \eta} \vec{j} \right) d\eta \quad (349-4)$$

$$d\Omega = k \cdot (a \times b) = k \cdot \begin{vmatrix} i & j & k \\ \frac{\partial x}{\partial \xi} d\xi & \frac{\partial y}{\partial \xi} d\xi & \cdot \\ \frac{\partial x}{\partial \eta} d\eta & \frac{\partial y}{\partial \eta} d\eta & \cdot \end{vmatrix} = \begin{vmatrix} \frac{\partial x}{\partial \xi} & \frac{\partial y}{\partial \xi} \\ \frac{\partial x}{\partial \eta} & \frac{\partial y}{\partial \eta} \end{vmatrix} d\xi d\eta \quad (350-4)$$

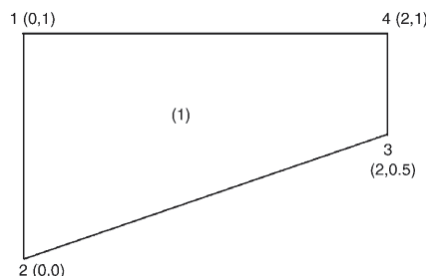
$$I = \int_{\eta=-1}^1 \int_{\xi=-1}^1 |J^{(e)}(\xi, \eta)| f(\xi, \eta) d\xi d\eta = \sum_{i=1}^{n_{gp}} \sum_{j=1}^{n_{gp}} w_i w_j |J^{(e)}(\xi_i, \eta_j)| f(\xi_i, \eta_j) \quad (351-4)$$

مثال ۴۷. مسأله هدایت حرارت مثال قبل را (شکل ۴-۱۰۹) با یک المان چهارضلعی مدل کرده و با استفاده

از کوادراتور گوسی ۲×۲ برای انتگرال‌گیری تحلیل نمائید.

ماتریس مختصات المانی عبارت است از:

$$[x^{(e)} \quad y^{(e)}] = \begin{bmatrix} x_1^{(e)} & y_1^{(e)} \\ x_2^{(e)} & y_2^{(e)} \\ x_3^{(e)} & y_3^{(e)} \\ x_4^{(e)} & y_4^{(e)} \end{bmatrix} = \begin{bmatrix} \cdot & \cdot \\ \cdot & \cdot \\ 2 & 0.5 \\ 0 & 1 \end{bmatrix}$$



شکل ۱۰۹-۴

توابع شکل المان چهارضلعی در دامنه والدین عبارتند از:

$$N_{\xi}^{eq} = \frac{1}{\xi} (\xi - \eta)$$

$$N_{\eta}^{eq} = \frac{1}{\xi} (\xi + \eta)$$

$$N_{\tau}^{eq} = \frac{1}{\xi} (\xi + \eta)$$

$$N_{\varepsilon}^{eq} = \frac{1}{\xi} (\xi - \eta)$$

بنابراین گرادیان (GN^{eq}) عبارت است از:

$$GN^{eq} = \begin{bmatrix} \frac{\partial N_{\xi}^{eq}}{\partial \xi} & \frac{\partial N_{\eta}^{eq}}{\partial \xi} & \frac{\partial N_{\tau}^{eq}}{\partial \xi} & \frac{\partial N_{\varepsilon}^{eq}}{\partial \xi} \\ \frac{\partial N_{\xi}^{eq}}{\partial \eta} & \frac{\partial N_{\eta}^{eq}}{\partial \eta} & \frac{\partial N_{\tau}^{eq}}{\partial \eta} & \frac{\partial N_{\varepsilon}^{eq}}{\partial \eta} \end{bmatrix} = \frac{1}{\xi} \begin{bmatrix} \eta - 1 & 1 - \eta & 1 + \eta & -1 - \eta \\ \xi - 1 & -\xi - 1 & 1 + \xi & 1 - \xi \end{bmatrix}$$

ژاکوبین، دترمینان و معکوس آن برابرند با:

$$J^{(e)} = (GN^{eq})[x^{(e)} \quad y^{(e)}] = \begin{bmatrix} \cdot & ..120\eta - ..370 \\ \cdot & ..120\xi + ..370 \end{bmatrix}$$

$$\det J^{(e)} = -..120\eta + ..370$$

$$(J^{(e)})^{-1} = \begin{bmatrix} \frac{\eta + \xi}{\xi - \eta} & \cdot \\ \frac{\lambda}{\eta - \xi} & \cdot \end{bmatrix}$$

$$B^{(1)} = J^{(1)} (J^{(1)})^{-1} N^{eq} = \frac{1}{\xi} J^{(1)} \begin{bmatrix} \eta - 1 & 1 - \eta & 1 + \eta & -1 - \eta \\ \xi - 1 & -\xi - 1 & 1 + \xi & 1 - \xi \end{bmatrix}$$

با استفاده کوادراتور گوسی 2×2 ماتریس کنداکتانس و ماتریس شار در نقاط وزن‌های زیر محاسبه می‌شوند:

$$\xi_1 = \frac{-1}{\sqrt{\xi^2}}, \quad \xi_2 = \frac{1}{\sqrt{\xi^2}}, \quad \eta_1 = \frac{-1}{\sqrt{\eta^2}}, \quad \eta_2 = \frac{1}{\sqrt{\eta^2}}, \quad w_1 = w_2 = 1$$

$$K = K^{(1)} = k \int_{-\sqrt{\xi^2}}^{\sqrt{\xi^2}} \int_{-\sqrt{\eta^2}}^{\sqrt{\eta^2}} B^{(1)T} B^{(1)} |J^{(1)}| d\xi d\eta$$

$$= k \sum_{i=1}^2 \sum_{j=1}^2 w_i w_j |J^{(1)}(\xi_i, \eta_j)| B^{(1)T}(\xi_i, \eta_j) B^{(1)}(\xi_i, \eta_j)$$

$$\boxed{\boxed{\boxed{\begin{bmatrix} 4.76 & -3.01 & -2.48 & 1.73 \\ 4.12 & 1.73 & -2.26 \\ 7.04 & -0.24 & 0.91 \\ sym. & & \end{bmatrix}}}}$$

$$f_{\Omega} = \int_{\Omega^{(e)}} s(N^{eq})^T d\Omega = \int_{-\sqrt{\xi^2}}^{\sqrt{\xi^2}} \int_{-\sqrt{\eta^2}}^{\sqrt{\eta^2}} s(N^{eq})^T |J^{(1)}| d\xi d\eta$$

$$= \int_{-1}^1 \int_{-1}^1 \begin{bmatrix} N_1 \\ N_2 \\ N_3 \\ N_4 \end{bmatrix} \begin{bmatrix} 120\eta + 370 \\ \xi \\ \eta \end{bmatrix} \begin{bmatrix} 1.0 \\ 2.0 \\ 2 \end{bmatrix}$$

تنها مرزی که در ماتریس شار سهم دارد لبے □ است. اما جهت مثبت ξ در دامنه المان والدین از گره ۱ به گره ۲ و جهت مثبت η از گره ۱ به گره ۴ هستند. بنابراین لبے □ در دامنه فیزیکی متناظر $-1 < \xi < 1$ در دامنه المان می‌باشد. ماتریس شار مرزی را می‌توان تحلیلی یا با کوادراتورگوسی انتگرال‌گیری کرد.

$$f_R = - \int_{rCD} \bar{q}(N^{iQ})^T d\Gamma = - \int_{x=-1}^{x=1} \bar{q} N^{iQ}(\xi = -1, \eta)^T dx$$

$$= -\frac{b-a}{\tau} \bar{q} \int_{-1}^1 N^{iQ}(\xi = -1, \eta)^T d\eta = -2 \cdot \int_{-1}^1 \begin{bmatrix} \cdot \cdot (1-\eta) \\ \vdots \\ \cdot \cdot (1+\eta) \end{bmatrix} d\eta = \begin{bmatrix} -2.0 \\ \vdots \\ -2.0 \end{bmatrix}$$

و خواهیم داشت:

$$f_Q + f_R + r = \begin{bmatrix} r_1 - 17.0 \\ r_2 + 2.0 \\ r_3 + 2 \\ -18 \end{bmatrix}$$

و سیستم عمومی معادلات عبارتنداز:

$$\begin{bmatrix} 4.76 & -2.01 & -2.98 & 1.73 \\ -2.01 & 4.02 & 1.73 & 2.26 \\ -2.98 & 1.73 & 6.04 & -0.29 \\ 1.73 & 2.26 & -0.29 & 0.91 \end{bmatrix} \begin{bmatrix} \cdot \\ \cdot \\ \cdot \\ T_i \end{bmatrix} = \begin{bmatrix} r_1 - 17.0 \\ r_2 + 2.0 \\ r_3 + 2 \\ -18 \end{bmatrix} \Rightarrow T_i = -2.0$$

ماتریس شار متجه در نقاط گوسی محاسبه می‌شود:

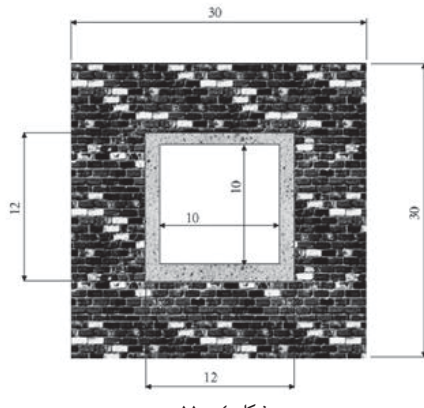
$$q^{(1)} = -k\nabla\theta = -kB^{(1)}d^{(1)}$$

$$q^{(1)}(\xi_1, \eta_1) = -kB^{(1)}(\xi_1, \eta_1)d^{(1)} = \begin{bmatrix} \cdot \cdot 4 \\ 2.7 \end{bmatrix}$$

$$q^{(1)}(\xi_2, \eta_2) = \begin{bmatrix} -2.3 \\ 19.8 \end{bmatrix}$$

$$q^{(1)}(\xi_3, \eta_3) = \begin{bmatrix} 4.90 \\ 19.8 \end{bmatrix}$$

$$q^{(1)}(\xi_4, \eta_4) = \begin{bmatrix} 0.81 \\ 2.7 \end{bmatrix}$$



شکل ۱۱۰-۴

مثال ۴۸. کوره‌ای با ابعاد سطح مقطع نشان داده شده در شکل ۱۱۰-۴ از دو جنس مختلف ساخته شده است. دیوار داخلی از سیمان با هدایت حرارتی $k_c = 0.05 \frac{W}{m^2 K}$ و دیوار خارجی از آجر با هدایت ویژه حرارتی $k_b = 0.0057 \frac{W}{m^2 K}$ ساخته شده‌اند. درجه حرارت داخل کوره $72K$ و ضریب انتقال حرارت همرفت $h_r = 0.208 \frac{W}{m^2 K}$ می‌باشد. دیوار بیرونی کوره در معرض هوای $20K$ و ضریب همرفت $h_i = 0.068 \frac{W}{m^2 K}$ قراردارد. توزیع درجه حرارت داخل دیوارهای سیمان و آجر در شرایط پایدار و همچنین شارهای حرارتی داخل هر دیوار را تعیین نمایید.

برنامه APDL معادل این مثال در محیط انسیس عبارت است از:

```
/PREPV
!*
ET,1,PLANE55
!*
MP,KXX,1..,1
MP,KXX,2..,2
!*
RECTNG,-15.15,-15.15
RECTNG,-6.6,-6.6
!*
ASBA,1,1
NUMCMP,AREA
!*
RECTNG,-6.6,-6.6
RECTNG,-5.5,-5.5
!*
ASBA,2,2
NUMCMP,AREA
!*
ESIZE,.5
!*
AGLUE,ALL
!*
ASEL,S,AREA,,1
```

```

AATT,\*
ASEL,NVE
AATT,\*
ASEL,ALL
AMESH,ALL
!*
LSEL,S,LOC,X,-5
LSEL,A,LOC,X,5
LSEL,A,LOC,Y,-5
LSEL,A,LOC,Y,5
SFL,ALL,CONV,.208,.673
LSEL,ALL
LSEL,S,LOC,X,-15
LSEL,A,LOC,X,15
LSEL,A,LOC,Y,-15
LSEL,A,LOC,Y,15
SFL,ALL,CONV,.068,.253
LSEL,ALL
!*
FINISH
!*
/SOLU
SOLVE
FINISH
!*
/POST\
PLNSOL,TEMP
PLVECT,TF
FINISH
!*

```

۴-۳۱-۱ فرمول بندی المان محدود برای مسایل میدان برداری

۴-۳۱-۲ الاستیسیتة خطی - سینماتیک

(۱) بُردار جابجایی $\vec{u} = u_x \vec{i} + u_y \vec{j}$ را به صورت ماتریسی می‌توان به صورت $u = \begin{bmatrix} u_x \\ u_y \end{bmatrix}$ نوشت.

(۲) کُنش در دو بعد با ماتریسی به شکل زیر قابل بیان است:

$$\varepsilon = [\varepsilon_{xx} \quad \varepsilon_{yy} \quad \gamma_{xy}]^T \quad (352-4)$$

و خواهیم داشت:

$$\varepsilon = \begin{bmatrix} \varepsilon_{xx} \\ \varepsilon_{yy} \\ \gamma_{xy} \end{bmatrix} = \nabla_s u = \nabla_s \begin{bmatrix} u_x \\ u_y \end{bmatrix} = \begin{bmatrix} \frac{\partial}{\partial x} & \frac{\partial}{\partial y} \\ \frac{\partial}{\partial y} & \frac{\partial}{\partial x} \end{bmatrix} \begin{bmatrix} u_x \\ u_y \end{bmatrix} \quad (353-4)$$

∇_s ماتریس گرادیان، متقارن است.

۴-۳۱-۳ تنش و ترکش

ماتریس تنش عبارت از:

$$\sigma^T = [\sigma_{xx} \quad \sigma_{yy} \quad \sigma_{xy}] \quad \text{یا} \quad \boldsymbol{\sigma} = \begin{bmatrix} \sigma_{xx} & \sigma_{xy} \\ \sigma_{xy} & \sigma_{yy} \end{bmatrix} \quad (354-4)$$

و ترکشن عبارت است:

$$t = \tau n$$

(۳۵۵-۴)

۴-۳-۳۱-۴ معادلات تعادل

معادلات تعادل به صورت $\cdot \operatorname{div} \tau + b = 0$ بیان می‌شوند. بیان ماتریسی این معادلات عبارتند از:

$$\frac{\partial \sigma_{xx}}{\partial x} + \frac{\partial \sigma_{xy}}{\partial y} + b_x = 0 = \vec{\nabla} \cdot \sigma_x + b_x \quad (356-4)$$

$$\frac{\partial \sigma_{yx}}{\partial x} + \frac{\partial \sigma_{yy}}{\partial y} + b_y = 0 = \vec{\nabla} \cdot \sigma_y + b_y \quad (357-4)$$

$$\nabla_s^T \sigma + b = 0 \quad (358-4)$$

در این رابطه σ و ∇_s برابرند با:

$$\nabla_s^T = \begin{bmatrix} \frac{\partial}{\partial x} & & \frac{\partial}{\partial y} \\ & \ddots & \\ & \frac{\partial}{\partial y} & \frac{\partial}{\partial x} \end{bmatrix}, \sigma = \begin{bmatrix} \sigma_{xx} \\ \sigma_{yy} \\ \sigma_{xy} \end{bmatrix} \quad (359-4)$$

۴-۳-۴-۴ معادله بنیادین

در حالت دو بعدی رابطه تنش و کرنش برای یک جسم جامد الاستیک خطی عبارت است از:

$$\sigma = D\varepsilon \quad (360-4)$$

ماتریس ضرایب D در حالت تنش صفحه‌ای به صورت زیر است:

[مدول الاستیک و ν نسبت پواسون هستند]

$$D = \frac{E}{1-\nu^2} \begin{bmatrix} 1 & \nu & 0 \\ \nu & 1 & 0 \\ 0 & 0 & \frac{1-\nu}{2} \end{bmatrix} \quad (361-4)$$

و در حالت کرنش صفحه‌ای عبارت است از:

$$D = \frac{E}{(1+\nu)(1-\nu)} \begin{bmatrix} 1-\nu & \nu & 0 \\ \nu & 1-\nu & 0 \\ 0 & 0 & \frac{1-\nu}{2} \end{bmatrix} \quad (362-4)$$

۴-۳-۵-۱ شکل‌های قوی و ضعیف معادلات حاکم

در بخش‌های قبل معادلات زیر استخراج شدند:

$$\nabla_s^T \sigma + b = 0 \quad (363-4) \quad \text{معادلات تعادل:}$$

$$\varepsilon = \nabla_s u \quad (364-4) \quad \text{معادلات سینماتیک:}$$

$$\sigma = D\varepsilon \quad (365-4) \quad \text{معادله بنیادین:}$$

$$\vec{\sigma}_y \cdot \vec{n} = \bar{\tau}_y \text{ و } \vec{\sigma}_x \cdot \vec{n} = \bar{\tau}_x \quad \text{یا} \quad \tau_n = \bar{\tau} \quad (366-4) \quad \text{شرایط مرزی روی}_{\tau}: \Gamma_{\tau}$$

$$\vec{u} = \vec{\overline{u}} \quad \text{یا} \quad u = \bar{u} \quad (367-4) \quad \text{شرایط مرزی روی}_{u}: \Gamma_u$$

بنابراین شکل قوی برای جامد الاستیک خطی به صورت زیر خواهد بود:

$$(a) \vec{\nabla} \cdot \vec{\sigma}_x + b_x = . \quad \text{and} \quad \vec{\nabla} \cdot \vec{\sigma}_y + b_y = . \quad \text{on } \Omega \quad (368-4)$$

$$(b) \sigma = D \nabla_T u$$

$$(c) \vec{\sigma}_x \cdot \vec{n} = \bar{t}_x \quad \text{and} \quad \vec{\sigma}_y \cdot \vec{n} = \bar{t}_y \quad \text{on } \Gamma_t \quad (369-4)$$

$$(d) \vec{u} = \vec{u} \quad \text{on } \Gamma_u$$

برای بدست آوردن شکل ضعیف داریم:

$$(a) \int_{\Omega} w_x \vec{\nabla} \cdot \vec{\sigma}_x d\Omega + \int_{\Omega} w_x b_x d\Omega = . \quad \forall w_x \in U. \quad (370-4)$$

$$(b) \int_{\Omega} w_y \vec{\nabla} \cdot \vec{\sigma}_y d\Omega + \int_{\Omega} w_y b_y d\Omega = . \quad \forall w_y \in U.$$

$$(c) \int_{\Gamma_t} w_x (\bar{t}_x - \vec{\sigma}_x \cdot \vec{n}) d\Gamma = . \quad \forall w_x \in U.$$

$$(d) \int_{\Gamma_t} w_x (\bar{t}_y - \vec{\sigma}_y \cdot \vec{n}) d\Gamma = . \quad \forall w_y \in U.$$

که در روابط بالا وزن به صورت $\begin{bmatrix} w_x \\ w_y \end{bmatrix}$ یا $\vec{w} = w_x \vec{l} + w_y \vec{j}$ داریم؛

$$\int_{\Omega} w_x \vec{\nabla} \cdot \vec{\sigma}_x d\Omega = \oint_{\Gamma_t} w_x \vec{\sigma}_x \cdot \vec{n} dT - \int_{\Omega} \vec{\nabla} w_x \cdot \vec{\sigma}_x d\Omega \quad (371-4)$$

$$\int_{\Omega} w_y \vec{\nabla} \cdot \vec{\sigma}_y d\Omega = \oint_{\Gamma_t} w_y \vec{\sigma}_y \cdot \vec{n} dT - \int_{\Omega} \vec{\nabla} w_y \cdot \vec{\sigma}_y d\Omega \quad (372-4)$$

با جمع کردن دو معادله خواهیم داشت:

$$\int_{\Omega} (\vec{\nabla} w_x \cdot \vec{\sigma}_x + \vec{\nabla} w_y \cdot \vec{\sigma}_y) d\Omega = \oint_{\Gamma_t} (w_x \vec{\sigma}_x \cdot \vec{n} + w_y \vec{\sigma}_y \cdot \vec{n}) d\Gamma + \int_{\Omega} (w_x b_x + w_y b_y) d\Omega \quad (373-4)$$

یا:

$$\int_{\Omega} (\vec{\nabla} w_x \cdot \vec{\sigma}_x + \vec{\nabla} w_y \cdot \vec{\sigma}_y) d\Omega = \oint_{\Gamma_t} \vec{w} \cdot \vec{t} d\Gamma + \int_{\Omega} \vec{w} \cdot \vec{b} d\Omega \quad (374-4)$$

همچنانی:

$$\vec{\nabla} w_x \cdot \vec{\sigma}_x + \vec{\nabla} w_y \cdot \vec{\sigma}_y = \frac{\partial w_x}{\partial x} \sigma_{xx} + \frac{\partial w_x}{\partial y} \sigma_{xy} + \frac{\partial w_y}{\partial x} \sigma_{yx} + \frac{\partial w_y}{\partial y} \sigma_{yy} = \left[\left(\frac{\partial w_x}{\partial x} \right) \quad \left(\frac{\partial w_y}{\partial y} \right) \quad \left(\frac{\partial w_x}{\partial y} + \frac{\partial w_y}{\partial x} \right) \right] \begin{bmatrix} \sigma_{xx} \\ \sigma_{yy} \\ \sigma_{xy} \end{bmatrix} = (\nabla_s w)^T \sigma \quad (375-4)$$

به این ترتیب:

$$\int_{\Omega} (\nabla_s w)^T \sigma d\Omega = \int_{\Gamma_t} w^T \bar{t} d\Gamma + \int_{\Omega} w^T b d\Omega \quad \forall w \in v_o \quad (376-4)$$

و شکل ضعیف در دو بعد عبارت است از:

$$\int_{\Omega} (\nabla_s w)^T D \nabla_s u \, d\Omega = \int_{\Gamma_t} w^T \bar{t} d\Gamma + \int_{\Omega} w^T b d\Omega \quad \forall w \in U. \quad (377-4)$$

$$U = \{u | u \in H^1, u = \bar{u} \text{ on } \Gamma_u\}, U_+ = \{w | w \in H^1, w = 0 \text{ on } \Gamma_u\}$$

در روابط بالا:

۴-۳-۲ گسسته‌سازی المان محدود

در این حالت ماتریس جابجایی‌های عمومی عبارت است از:

$$d = [u_{x_1} \quad u_{y_1} \quad u_{x_2} \quad u_{y_2} \quad \dots \quad u_{x_{n_{en}}} \quad u_{y_{n_{en}}}]^T \quad (378-4)$$

با انتخاب حل آزمایشی و وزن‌ها به صورت زیر:

$$\begin{cases} u(x, y) \approx u^{(e)}(x, y) = N^{(e)}(x, y)d^{(e)} & (x, y) \in \Omega^e \\ w^T(x, y) \approx w^{(e)T}(x, y) = w^{(e)T}N^{(e)}(x, y)^T & (x, y) \in \Omega^e \end{cases} \quad (379-4)$$

که ماتریس توابع شکل عبارت است از:

$$N^{(e)} = \begin{bmatrix} N_1^{(e)} & \cdot & N_2^{(e)} & \cdot & \dots & N_{n_{en}}^{(e)} & \cdot \\ \cdot & N_1^{(e)} & \cdot & N_2^{(e)} & \dots & \cdot & N_{n_{en}}^{(e)} \end{bmatrix} \quad (380-4)$$

و ماتریس جابجایی و ماتریس وزن‌های المانی به شکل زیر خواهد بود:

$$d^{(e)} = [u_{x_1}^{(e)} \quad u_{y_1}^{(e)} \quad u_{x_2}^{(e)} \quad u_{y_2}^{(e)} \quad \dots \quad u_{x_{n_{en}}}^{(e)} \quad u_{y_{n_{en}}}^{(e)}] \quad (381-4)$$

$$w^{(e)} = [w_{x_1}^{(e)} \quad w_{y_1}^{(e)} \quad w_{x_2}^{(e)} \quad w_{y_2}^{(e)} \quad \dots \quad w_{x_{n_{en}}}^{(e)} \quad w_{y_{n_{en}}}^{(e)}] \quad (382-4)$$

و تقریب المان محدود عبارت است از:

$$\Sigma_{e=1}^{n_{el}} \left\{ \int_{\Omega^e} \nabla_s w^{(e)T} D^{(e)} \nabla_s u^{(e)} \, d\Omega - \int_{\Gamma_t^e} w^{(e)T} \bar{t} \, d\Gamma - \int_{\Omega^e} w^{(e)T} b \, d\Omega \right\} = . \quad (383-4)$$

$$\varepsilon = \begin{bmatrix} \varepsilon_{xx} \\ \varepsilon_{yy} \\ \gamma_{xy} \end{bmatrix} \approx \varepsilon^{(e)} = \nabla_s u^{(e)} = \nabla_s N^{(e)} d^{(e)} = B^{(e)} d^{(e)} \quad (384-4)$$

که

$$B^{(e)} = \nabla_s N^{(e)} = \begin{bmatrix} \frac{\partial N_1^{(e)}}{\partial x} & \cdot & \frac{\partial N_2^{(e)}}{\partial x} & \cdot & \dots & \frac{\partial N_{n_{en}}^{(e)}}{\partial x} & \cdot \\ \cdot & \frac{\partial N_1^{(e)}}{\partial y} & \cdot & \frac{\partial N_2^{(e)}}{\partial y} & \dots & \cdot & \frac{\partial N_{n_{en}}^{(e)}}{\partial y} \\ \frac{\partial N_1^{(e)}}{\partial y} & \frac{\partial N_1^{(e)}}{\partial x} & \frac{\partial N_2^{(e)}}{\partial y} & \frac{\partial N_2^{(e)}}{\partial x} & \dots & \frac{\partial N_{n_{en}}^{(e)}}{\partial y} & \frac{\partial N_{n_{en}}^{(e)}}{\partial x} \end{bmatrix} \quad (385-4)$$

$$(\nabla_s w^{(e)})^T = (B^{(e)} w^{(e)})^T = w^{(e)T} B^{(e)T} \quad (386-4)$$

همچنین داریم:

$$d^{(e)} = L^{(e)} d, \quad w^{(e)T} = w^T L^{(e)T} \quad (387-4)$$

بنابراین می‌توان نوشت:

$$w^{(T)} \left\{ \sum_{e=1}^{ne} L^{(e)T} \left[\int_{\Omega^{(e)}} B^{(e)T} D^{(e)} B^{(e)} d\Omega \right] L^{(e)} d - \int_{\Gamma_t^{(e)}} N^{(e)T} \bar{t} d\Gamma - \int_{\Omega^{(e)}} N^{(e)T} b d\Omega \right\} = . \quad \forall w_F \quad (388-4)$$

و ماتریس‌های سفتی المانی و نیروی خارجی المانی عبارتند از:

$$K^{(e)} = \int_{\Omega^{(e)}} B^{(e)T} D^{(e)} B^{(e)} d\Omega \quad (389-4)$$

$$f^{(e)} = \int_{\Omega^{(e)}} N^{(e)T} b d\Omega + \int_{\Gamma_t^{(e)}} N^{(e)T} \bar{t} d\Gamma = f_{\Omega}^{(e)} + f_{\Gamma}^{(e)} \quad (390-4)$$

به این ترتیب شکل ضعیف را می‌توان به صورت زیر نوشت:

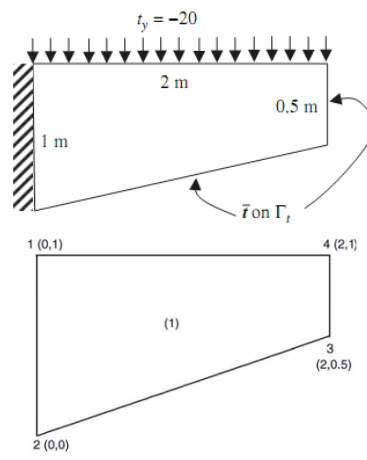
$$w^T \left[\left(\sum_{e=1}^{ne} L^{(e)T} K^{(e)} L^{(e)} \right) d - \left(\sum_{e=1}^{ne} L^{(e)T} f^{(e)} \right) \right] = . \quad \forall w_F \quad (391-4)$$

و

$$w^T (Kd - f) = . \quad \forall w_F \quad w^T r = . \quad or \quad w_F^T r_F + w_E^T r_E = . \quad (392-4)$$

چون $w_F = 0$ و $w_E = 0$ اختیاری است در نتیجه $r_F = 0$ خواهد بود و داریم:

$$\begin{bmatrix} K_E & K_{EF} \\ K_{EF}^T & K_F \end{bmatrix} \begin{bmatrix} \bar{d}_E \\ d_F \end{bmatrix} = \begin{bmatrix} f_E + r_E \\ f_F \end{bmatrix} \quad (393-4)$$



شکل ۱۱۱-۴

مثال ۴۹. یک مساله الاستیک خطی روی دامنه پانل نوزنگه‌ای شکل ۱۱۱-۴ را در نظر بگیرید. لبه سمت چپ عمودی ساکن می‌باشد.

لبه‌های عمودی سمت راست و پایینی بدون ترکشن هستند. یعنی $\bar{t}_y = -\frac{N}{m}$ روی لبه افقی بالایی اعمال می‌شود. خواص مواد $E = 2 \times 10^7 \text{ Pa}$ و $v = 0.3$ هستند. شرایط تنفس صفحه‌ای در نظر گرفته می‌شود. مساله با استفاده از یک المان چهارضلعی گستته می‌شود. مش المان محدود و مختصات گرهی بر حسب متر هستند.

ماتریس مختصات عبارت است:

$$[x^{(e)} \quad y^{(e)}] = \begin{bmatrix} \cdot & \cdot \\ \cdot & \cdot \\ \cdot & \cdot \\ \cdot & \cdot \end{bmatrix}$$

تابع شکل لاغرانژی در المان والدین عبارتند از:

$$N_1^{eq} = \frac{1}{\xi} (1 - \xi)(1 - \eta)$$

$$N_2^{eq} = \frac{1}{\xi} (1 + \xi)(1 - \eta)$$

$$N_3^{eq} = \frac{1}{\xi} (1 + \xi)(1 + \eta)$$

$$N_4^{eq} = \frac{1}{\xi} (1 - \xi)(1 + \eta)$$

ماتریس ژاکوبین به صورت زیر به دست می‌آید:

$$\begin{aligned} J^{(e)} &= \begin{bmatrix} \frac{\partial N_1^{eq}}{\partial \xi} & \frac{\partial N_1^{eq}}{\partial \eta} & \frac{\partial N_2^{eq}}{\partial \xi} & \frac{\partial N_2^{eq}}{\partial \eta} \\ \frac{\partial N_3^{eq}}{\partial \xi} & \frac{\partial N_3^{eq}}{\partial \eta} & \frac{\partial N_4^{eq}}{\partial \xi} & \frac{\partial N_4^{eq}}{\partial \eta} \end{bmatrix} [x^{(e)} \quad y^{(e)}] \\ &= \frac{1}{\xi} \begin{bmatrix} 1 - \xi & 1 - \eta & 1 + \xi & -\eta - 1 \\ \xi - 1 & -\xi - 1 & 1 + \xi & 1 - \xi \end{bmatrix} \begin{bmatrix} \cdot & \cdot \\ \cdot & \cdot \\ \cdot & \cdot \\ \cdot & \cdot \end{bmatrix} = \begin{bmatrix} \cdot & \cdot & -0.125\eta - 0.375 \\ \cdot & \cdot & 0.125\xi + 0.125 \end{bmatrix} \end{aligned}$$

بنابراین:

$$|J^{(e)}| = -0.125\eta + 0.375$$

$$\begin{aligned} (J^{(e)})^{-1} &= \begin{bmatrix} \frac{1 + \xi}{\xi - \eta} & \cdot \\ \frac{\lambda}{\eta - \xi} & \cdot \end{bmatrix} \\ B^{(e)} &= \begin{bmatrix} \frac{\partial N_1^{eq}}{\partial x} & \cdot & \frac{\partial N_1^{eq}}{\partial y} & \cdot & \frac{\partial N_2^{eq}}{\partial x} & \cdot & \frac{\partial N_2^{eq}}{\partial y} & \cdot \\ \cdot & \frac{\partial N_1^{eq}}{\partial y} & \cdot & \frac{\partial N_1^{eq}}{\partial x} & \cdot & \frac{\partial N_3^{eq}}{\partial y} & \cdot & \frac{\partial N_3^{eq}}{\partial x} \\ \frac{\partial N_1^{eq}}{\partial y} & \frac{\partial N_1^{eq}}{\partial x} & \frac{\partial N_2^{eq}}{\partial y} & \frac{\partial N_2^{eq}}{\partial x} & \frac{\partial N_4^{eq}}{\partial y} & \frac{\partial N_4^{eq}}{\partial x} & \frac{\partial N_4^{eq}}{\partial y} & \frac{\partial N_4^{eq}}{\partial x} \end{bmatrix} \end{aligned}$$

ماتریس‌های المان با استفاده از کوادراتور گوسی 2×2 با مختصات و وزن‌های زیر انگرال‌گیری می‌شود.

$$\xi_1 = \frac{-1}{\sqrt{3}}, \quad \xi_2 = \frac{1}{\sqrt{3}}, \quad \eta_1 = \frac{-1}{\sqrt{3}}, \quad \eta_2 = \frac{1}{\sqrt{3}}, \quad w_1 = w_2 = 1$$

ماتریس سفتی عبارت است از:

$$K = K^{(e)} = \int_{B^{(e)}} B^{(e)T} D^{(e)} B^{(e)} d\Omega = \int_{-\sqrt{3}}^{\sqrt{3}} \int_{-\sqrt{3}}^{\sqrt{3}} B^{(e)T} D^{(e)} B^{(e)} |J^{(e)}| d\xi d\eta$$

$$= \sum_{i=1}^2 \sum_{j=1}^2 w_i w_j |J^{(e)}(\xi_i, \eta_j)| B^{(e)T}(\xi_i, \eta_j) D^{(e)} B^{(e)}(\xi_i, \eta_j)$$

برای محاسبه $K^{(e)}$ به محاسبه $B^{(e)T} N_i(\xi_i, \eta_j)$ نیاز داریم. برای نقطه (ξ_i, η_j) داریم:

$$\begin{bmatrix} \frac{\partial N_i^{(e)Q}}{\partial x} & \frac{\partial N_i^{(e)Q}}{\partial y} \\ \frac{\partial N_i^{(e)Q}}{\partial x} & \frac{\partial N_i^{(e)Q}}{\partial y} \end{bmatrix} = \left(J^{(e)}(\xi_i, \eta_j) \right)^{-1} \begin{bmatrix} \frac{\partial N_i^{(e)Q}}{\partial \xi} & \frac{\partial N_i^{(e)Q}}{\partial \eta} \\ \frac{\partial N_i^{(e)Q}}{\partial \xi} & \frac{\partial N_i^{(e)Q}}{\partial \eta} \end{bmatrix}_{(\xi_i, \eta_j)}$$

$$= \begin{bmatrix} -0.44 & -0.07 & 0.12 & 0.28 \\ 0.88 & -0.44 & -0.24 & 0.24 \end{bmatrix}$$

در نتیجه داریم:

$$B^{(e)}(\xi_i, \eta_j) = \begin{bmatrix} -0.44 & 0 & -0.07 & 0 & 0.12 & 0 & 0.28 & 0 \\ 0 & 0.88 & 0 & -0.44 & 0 & -0.24 & 0 & 0.24 \\ -0.07 & 0.88 & 0 & -0.24 & 0 & 0.12 & 0 & -0.24 \\ 0 & -0.44 & -0.24 & 0 & -0.24 & 0.12 & 0.24 & 0.24 \end{bmatrix}$$

سهم ماتریس سفتی المانی از نقطه گوسی اول عبارت است از:

$$K^{(e)}(\xi_1, \eta_1) = w_1 w_1 B^{(e)T}(\xi_1, \eta_1) D^{(e)} B^{(e)}(\xi_1, \eta_1) |J^{(e)}(\xi_1, \eta_1)|$$

با تکرار محاسبات بالا برای سایر نقاط گوسی خواهیم داشت:

$$K^{(e)} = \sum_{i=1}^2 \sum_{j=1}^2 K^{(e)}(\xi_i, \eta_j)$$

$$= 1.7 \begin{bmatrix} 1.49 & -0.74 & -0.66 & 0.16 & -0.48 & 0.65 & 0.15 & -0.08 \\ 2.75 & 0.24 & -2.46 & 0.66 & -1.68 & -0.8 & 1.39 & \\ 1.08 & 0.33 & 0.15 & -0.16 & -0.06 & -0.41 & \\ 2.6 & -0.8 & 1.39 & -0.41 & -1.03 & \\ 2 & -0.8 & -1.18 & 0.25 & \\ 2.82 & 0.33 & -2.03 & \\ & 1.09 & 0.25 & \\ & & 2.67 & \end{bmatrix}$$

sym.

نیروی حجمی در این مساله نداریم. یعنی $\int_{\Omega} f \, d\Omega = 0$. تنها بخش غیرصفر ماتریس مرزی از ترکش اعمال شده روی لبه ۱-۴، ناشی می‌شود. در این لبه $\xi = -1, \eta = 0$ و ماتریس نیروی مرزی به طور تحلیلی انتگرال‌گیری می‌شود.

$$f_R^{(e)} = \int_{\Gamma_{\xi=-1}} (N^{(e)Q})^T \bar{t} \, d\Gamma = \int_{\eta=-1}^0 (N^{(e)Q})^T (\xi = -1, \eta) d\eta \bar{t} = \begin{bmatrix} \vdots & \vdots \\ \vdots & \vdots \\ \vdots & \vdots \\ \vdots & \vdots \end{bmatrix} \begin{bmatrix} \bar{t} \\ \vdots \\ \vdots \\ \vdots \end{bmatrix} = \begin{bmatrix} \vdots \\ -2 \\ \vdots \\ \vdots \\ -2 \end{bmatrix}$$

با مونتاژ ماتریس‌های بار مرزی و عکس‌العمل تکیه‌گاهی داریم:

$$f_R + r = \begin{bmatrix} r_{x_1} \\ r_{y_1} \\ r_{x_2} \\ r_{y_2} \\ \vdots \\ -2 \end{bmatrix} \quad d = \begin{bmatrix} \vdots \\ u_{x_1} \\ u_{y_1} \\ u_{x_2} \\ u_{y_2} \\ \vdots \end{bmatrix}$$

پس از حل سیستم معادلات، درجات آزادی مجھول عبارتند از:

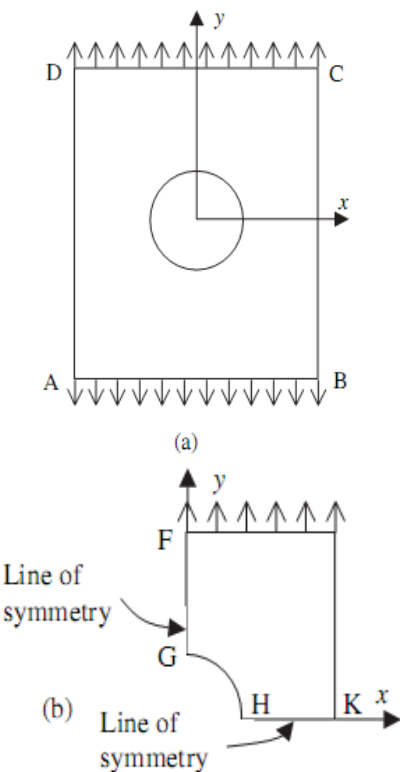
$$\begin{bmatrix} u_{x_1} \\ u_{y_1} \\ u_{x_2} \\ u_{y_2} \end{bmatrix} = 1 \cdot \begin{bmatrix} -1.17 \\ -9.77 \\ 2.77 \\ -9.94 \end{bmatrix}$$

کرنش‌ها و تنش‌های سیستم برای چهار نقطه گوسی برابرند با:

$$\begin{aligned} \varepsilon^{(e)}(\xi_i, \eta_j) &= \begin{bmatrix} \varepsilon_{xx} \\ \varepsilon_{yy} \\ \gamma_{xy} \end{bmatrix}_{(\xi_i, \eta_j)} = B^{(e)}(\xi_i, \eta_j) d^{(e)} \\ \varepsilon^{(e)}(\xi_1, \eta_1) &= 1.^\nu \begin{bmatrix} -2.71 \\ -0.728 \\ -39.4 \end{bmatrix}, & \varepsilon^{(e)}(\xi_1, \eta_2) &= 1.^\nu \begin{bmatrix} 8.82 \\ -0.728 \\ -4.3 \end{bmatrix} \\ \varepsilon^{(e)}(\xi_2, \eta_1) &= 1.^\nu \begin{bmatrix} -11.71 \\ -2.45 \\ 2.21 \end{bmatrix}, & \varepsilon^{(e)}(\xi_2, \eta_2) &= 1.^\nu \begin{bmatrix} 6.650 \\ -2.460 \\ 0.90 \end{bmatrix} \\ \sigma^{(e)}(\xi_i, \eta_j) &= \begin{bmatrix} \sigma_{xx} \\ \sigma_{yy} \\ \sigma_{xy} \end{bmatrix}_{(\xi_i, \eta_j)}^{(e)} = D^{(e)} \varepsilon^{(e)}(\xi_i, \eta_j) \end{aligned}$$

$$\begin{aligned}\sigma^{(e)}(\xi_1, \eta_1) &= \begin{bmatrix} -12.0 \\ -0.74 \\ -40.0 \end{bmatrix}, & \sigma^{(e)}(\xi_1, \eta_2) &= \begin{bmatrix} 28.0 \\ 6.65 \\ -46.0 \end{bmatrix} \\ \sigma^{(e)}(\xi_2, \eta_1) &= \begin{bmatrix} -42.0 \\ -23.0 \\ 2.05 \end{bmatrix}, & \sigma^{(e)}(\xi_2, \eta_2) &= \begin{bmatrix} 18.0 \\ -4.82 \\ 1.04 \end{bmatrix}\end{aligned}$$

مثال ۵۰. برای ورق مربع شکل زیر به طول $w = 1\text{ in}$ با سوراخ دایره‌ای مرکز آن به شعاع $t = 0.1\text{ in}$ ، با لحاظ تقارن مساله تحت بارگذاری نشان داده شده در شکل ۱۱۲-۴، برنامه APDL را بنویسید. به دلیل تقارن، ربع مربع را مدل نمایید و به خاطر ضخامت خیلی کم آن، مساله را تنش صفحه‌ای فرض کنید. مدول الاستیسیتی و نسبت پوآسون مربوط به ورق به ترتیب $E = 30 \times 10^6 \text{ lb/in}^2$ و $\nu = 0.3$ فرض می‌شوند. بار کششی گستردگاری شدت $q = 10 \text{ psi}$ باشد.



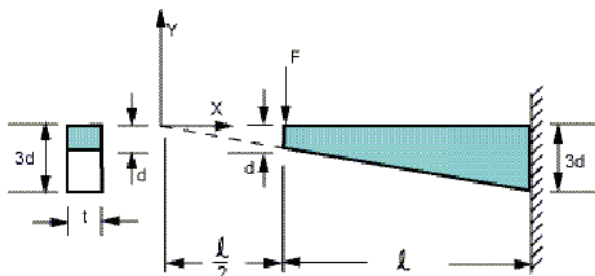
شکل ۱۱۲-۴

برنامه APDL مربوط عبارت است از:

```

/PREPv
!*
ET,1,42          ! Select element type as PLANE44
KEYOPT,1,3,3      ! Specify plane stress with thickness
R,1,,1
!*
MP,EX,1,3,E6
MP,NUXY,1,,3
!*
W=4
R=1
P=1.
K,1              ! Create keypoint (1,1)
K,1,R
K,1,W/4
K,1,R
K,1,W/4
K,1,W/4,W/4
L,1,1            ! Create lines
L,1,1            ! Create lines
L,1,2
L,1,3
L,1,4
LARC,4,1,1,R     ! Create Arc
!*
LESIZE,1,,1.      ! Specify number of Element along lines
LESIZE,1,,1.
LESIZE,1,,10
LESIZE,1,,10
LESIZE,1,,10
LESIZE,1,,10
LESIZE,1,,10
LESIZE,1,,10
!*
AL,1,2,3,4,5     ! Create area
LCCAT,1,1          ! Concatenate Lines for mapped meshing
MSHKEY,1           !Use mapped meshing
AMESH,ALL
!*
FINISH
!*
/SOLU
NSEL,S,LOC,X,
D,ALL,UX
NSEL,S,LOC,Y,.,D,ALL,UY
NSEL,S,LOC,Y,.,D,ALL,UY
NSEL,S,LOC,Y,W/4
SF,ALL,PRES,-P
ALLSEL
SOLVE
FINISH
/POST
PLDISP,y          ! Plot deformed shape
PLNSOL,S,Y        ! plot stress in Y-Dir
FINISH

```



شکل ۱۱۳-۴

مثال ۱۵. یک تیر یک سر گیردار به ضخامت " $t=2$ " و طول $l=50\text{ in}$ طبق شکل ۱۱۳-۴ دارای شکل شیبدار است. نیروی $F=400\text{ lb}$ در سر آزاد آن وارد می‌شود. تنش خمشی ماکزیمم در وسط طول تیر ($x=l$) و در انتهای ثابت تیر را پیدا کنید. مقادیر $d=3\text{ in}$ فرض شود و خواص مکانیکی $E=20 \times 10^7$ و $\nu=0.3$ هستند.

این مثال با دو نوع المان چهار ضلعی چهار گرهی (PLANE42) و هشت گرهی (PLANE82) حل می‌شود و نتایج با هم مقایسه خواهد شد. ضخامت $t=2\text{ in}$ با استفاده از حالت تنش صفحه‌ای با گزینه ضخامت شرکت داده می‌شود. نسبت پواسن صفر تنظیم می‌شود که با تئوری تیر موافقت داشته باشد. برنامه مربوط به المان چهار ضلعی چهار گرهی عبارت است از:

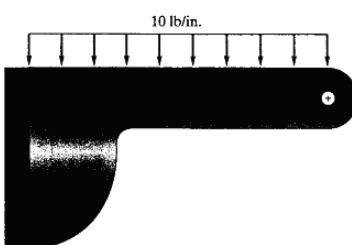
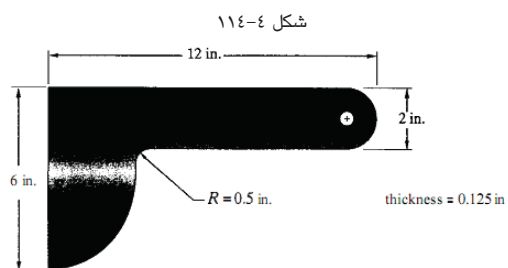
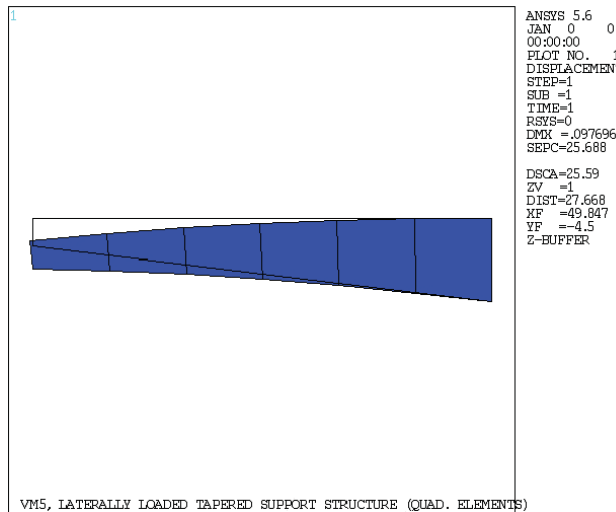
```
/PREPV
ANTYPE,STATIC
ET,1,PLANE42,,3,,2
R,1,2
MP,EX,1.3,E6
MP,NUXY,1.0.,
N,1,25
N,7,75
FILL
N,8,25,-3
N,14,75,-9
FILL
E,7,1,8,9
EGEN,6,1,1
NSEL,S,LOC,X,75
D,ALL,ALL
NSEL,ALL
F,1,FY,-4...
FINISH
/SOLU
OUTPR,,1
SOLUE
FINISH
```

```
/POST\
END-NODE(v5...)
NSEL,S,NODE,,END-NODE
PRNSOL,S,X
MID-NODE=NODE(5...)
NSEL,ALL
NSEL,S,NODE,,MID-NODE
PRNSOL,S,PRIN,SEQV
PLDISP,
FINISH
```

برنامه APDL مربوط به المان چهار ضلعی هشت گرهی عبارت است از:

```
/PREPV
ET,,PLANE8,V,,,R,,Y
EMID
NSEL,ALL
NSEL,R,LOC,X,v5
NSEL,R,LOC,Y,-4.5
D,ALL,ALL
NSEL,ALL
FINISH
/SOLU
SOLUE
FINISH
/POST\
END-NODE,NODE(v5...)
NSEL,S,NODE,,END-NODE
PRNSOL,S,X
NSEL,ALL
MID-NODE=NODE(5...)
NSEL,S,NODE,,MID-NODE
PRNSOL,S,PRIN,SEQV
NSEL,ALL
FINISH
!*
```

نتایج تحلیل با المان چهار ضلعی چهار گرهی در نقطه انتهای $\sigma_x = 7151.096 \text{ psi}$ و در نقطه میانی $\sigma = 8162.656 \text{ psi}$ می‌باشد و برای المان چهار ضلعی هشت گرهی به ترتیب $\sigma_x = 74.898$ و $\sigma = 8363.709 \text{ psi}$ هستند و ملاحظه می‌شود نتایج به دست آمده با المان هشت گرهی از دقت بهتری برخوردارند.



- مثال ۵۲. پایه فولادی ($V = 10 \times 29 \times \frac{lb}{in^3}$, $E = 30 \times 10^6$) شکل ۴ را که بعنوان تکیهگاه در جاکتابی به کار می‌رود در نظر بگیرید. این پایه در امتداد سطح بالایی اش بطور یکنواخت بارگذاری گردیده و در امتداد لبه

سمت چپ ثابت شده است. تحت بارگذاری و قیود بالا، شکل تغییر یافته پایه را رسم نموده و تنش‌های اصلی و تنش‌های فون میزز در پایه را تعیین نمایید.

برنامه *APDL* این تمرین به شرح زیر است:

```
/PREPV
ET,1,PLANE84
KEYOPT,1,3,3
R,10,125
MP,EX,1.29E-6
MP,PRXY,10,*
K,1,0,0
K,2,4,4
K,3,0,4
K,4,11,4
K,5,11,6
K,6,11,5,5
K,7,0,6
LARC,1,2,3,4
L,2,4
LARC,4,5,6,1
L,5,1
L,7,1
LFILLT,1,2,0,5
AL,11,6,2,3,4,5
CYL4,11,5,0,25
ASBA,1,7
NUMCMP,AREA
ESIZE,1,15
AMESH,\n
NSEL,S,LOC,X,0
D,ALL,ALL
NSEL,ALL
LSEL,S,LOC,Y,0
SFL,ALLPRES,1
FINISH
/SOLU
SOLUE
FINISH
/POST1
PLNSOL,U,Y,1,1,0
PLNSOL,S,EQV,1,1,0
FINISH
```

مثال ۵۳. تیر دو بعدی یکسر گیردار شکل زیر را در محیط انسیس تحلیل نموده و تغییر مکان در نقطه اعمال بار و همچنین توزیع تنش طولی در تیر را محاسبه نمایید.

$$E=210 \text{ Gpa} \quad \nu = 0.3$$

حل دقیق: براساس تئوری تیرها حداکثر جابجایی تیرها δ_{max} از رابطه زیر به دست می آید:

شکل ۱۱۶-۴

$$\delta_{max} = \frac{Pl^3}{\gamma EI} \left(1 + \frac{\gamma l_1}{l_\gamma} \right)$$

حداکثر تنش کششی $\sigma_{max,x}$ در نقطه x در جهت طولی در سطح بالایی تیر ظاهر می شود. در سطح مقطعی به فاصله x از دیوار خواهیم داشت:

$$\sigma_{max}^{(x)} = \begin{cases} \frac{P(l_1 - x) h}{I} & 0 \leq x \leq l_1 \\ 0 & l_1 \leq x \end{cases}$$

برنامه APDL عبارت است از:

```
/PREPV
ET,V,PLANE8V           !Solid, Vnode
KEYOPT,1,3,3             !Plain stress with thickness
R,1,1,1                  !Thickness=1,1
BLC4,0,0,0,9,0,0,5       !Rectangular area creation
MP,EX,1,2,1e11
MPPRXY,1,0,3
ESIZE,1,0,2,0            !Mesh length=1,0,2,0 m
AMESH,ALL
```

```

LSEL,S,LOC,X,·
DL,ALL,ALL
LSEL,ALL
NSEL,S,LOC,X,·,·,·
NSEL,R,LOC,LOC,Y,·,·,·
F,ALL,FY,-·,·,·,NSEL,ALL
FINISH
/SOLU
SOLVE
FINISH
/POST\

PLNSOL,U,Y,·,·,·           !Plot x component of displacement (Dof Solution)
PLESOL,S,X,·,·,·            !Plot contour nodal solution,x-component of stress
FINISH

```

مقایسه نتایج حاصل از روش المان محدود با نتایج تجربی

*نتایج تا حدود زیادی با هم همخوانی دارند.

*با افزایش میزان نیروی اعمالی، اختلاف نتایج به خصوص در انتهای گیردار افزایش می یابد.

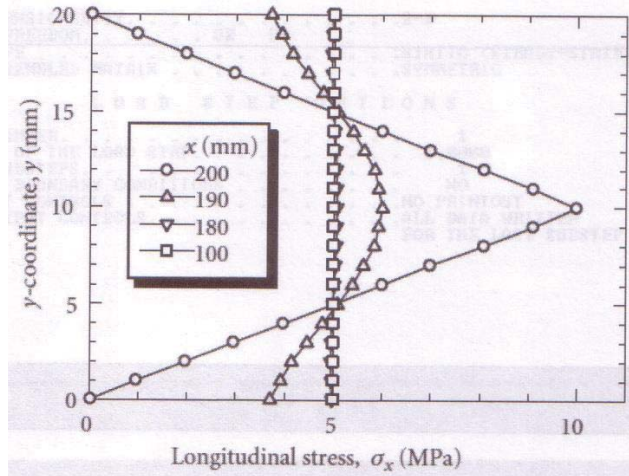
شکل ۱۱۷-۴

شکل ۱۱۸-۴

مثال ۵۴. یک تسمه الاستیک در معرض ترکشی طبق شکل قرار گرفته و انتهای آن کاملاً مقید شده است. برنامه معادل تحلیل FE این حالت را نوشته و توزیع تنش را در طول تیر در فواصل مختلف از انتهای اعمال نیرو محاسبه کنید.

$$E_{steel} = 21 \cdot Gpa, \quad \nu = 0.3$$

```
/PREPV
!*
ET,\$PLANE8V
KEYOPT,\$3\$3
R,\$1\$1
!*
MP,EX,\$2.\$e5
MP,PRXY,\$0.\$0
BLC\$100.\$200.\$0
!*
ESIZE,\$1.
LSEL,S,LOC,X,\$..
LDIV,ALL,\$5,\$1.
LSEL,ALL
AMESH,ALL
LSEL,S,LOC,X,.
DL,ALL,ALL
LSEL,ALL
LSEL,S,LOC,X,\$..
LSEL,R,LOC,Y,\$1.\$0
SFL,ALL,PRES,\$1..\$.
LSEL,ALL
LSEL,S,LOC,X,\$..
LSEL,R,LOC,Y,\$0,\$1.
SFL,ALL,PRES,\$0,\$1.
FINISH
/SOLU
SOLVE
FINISH
/POST1
PLNSOL,S,X,\$1.\$.
FINISH
```



شکل ۱۱۹-۴

بحث و بررسی

توزیع تنش طولی در سطح مقطع نوار الاستیک در چند موقعیت x در شکل ۱۱۹-۴ نشان داده شده است. در انتهای آزاد تیر که نیرو اعمال شده توزیع تنش حالت مثلثی به خود گرفته به طوریکه مقدار آن در بالا و پایین صفر و در مرکز ماقریزم مقدار یعنی 10 MPa می باشد. توزیع تنش طولی با افزایش فاصله از این انتها تغییر می کند تا جاییکه در موقعی $x=180 \text{ mm}$ که فاصله از انتهای برابر عرض تسمه است کاملاً یکنواخت و مساوی 5 MPa می شود. این نتیجه اصل سنت ونان را تایید می کند.

شکل ۱۲۰-۴

مثال ۵۵. گاهی اجسام بدون هیچ اتصال صلب و یا لولایی، روی هم واقع شده و به صورتهای مختلف تحت نیرو قرار می‌گیرند. یک استوانه الستیک به شعاع R از جنس فولاد نرم با فشار' p به یک بلوک الستیک از همان جنس فشرده می‌شود. تحلیل المان محدود را در این خصوص انجام داده و تنش تماسی حاصل را در محدوده نقطه تماس محاسبه نمایید. فرض کنید شرایط کرنش صفحه‌ای در هردو جسم برقرار است.

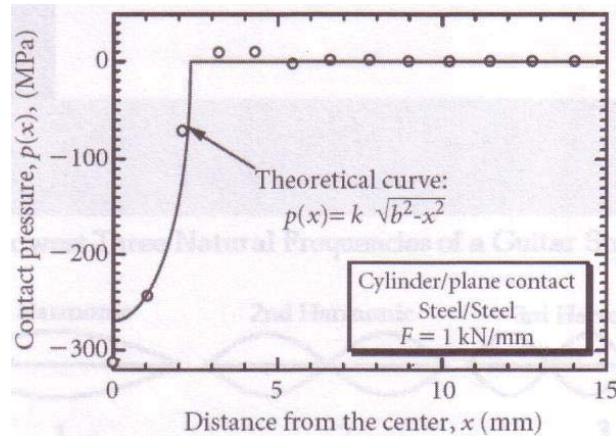
$$p' = \sqrt{\frac{KN}{mm^2}}, V = 0.3, E = 210 Gpa$$

```
/PREPV
RECTENG,0.000,-0.000
CYL40.000,0.000,-90.000
!Circular area
AGLUE,18
NUMCMP,AREA
MP,EX,1.2,E0
MP,PRXY,0.3
ET,1,PLANE18
KEYPOT,1.2.2
!PLANE STRAIN
ET,1,TARGE169
ET,1,CONTA177
LSEL,S,LOC,Y,.
LSEL,A,LOC,X,S,.
LESIZE,ALL,,100,1
LSEL,INVE
LSEL,S,LOC,Y,-0.000
LESIZE,ALL,,10.00
LSEL,INVE
LSEL,S,LOC,Y,0.000
LSEL,U,LOC,Y,0.000
LESIZE,ALL,,10.00
LSEL,ALL
LSEL,S,LOC,Y,0.000
LESIZE,ALL,,10.00
ALLSEL,ALL,ALL
AMESH,ALL
LSEL,S,LOC,Y,0.000
LSEL,U,LOC,X,.
LSEL,U,LOC,Y,0.000
NSLL,R,1
```

```

NSEL,R,LOC,X,*,*
TYPE,*
ESURF,,BOT,
ALLSEL,ALL,ALL
LSEL,S,LOC,Y,*
NSELL,R,*
NSEL,R,LOC,X,*,*
TYPE,*
ESURF, ,TOP
ALLSEL,ALL,ALL
LSEL,S,LOC,X,*
DL,ALL,,UX,*
LSEL,INVE
LSEL,R,LOC,Y,-*.*
DL,ALL,,UY,*
LSEL,ALL
LSEL,S,LOC,Y,*.*
SFL,ALL,PRES,*
ALLSEL,ALL,ALL
FINISH
/SOLU
/SOLVE
FINISH
/POST*
PLNSOL,S,Y,*.*.
!Plot modal solution,Ystress,true scale
FINISH

```



شکل ۱۲۱-۴

منحنی مقایسه نتایج تحلیلی و عددی به شرح زیر است:

منحنی تئوری $p(x) = k\sqrt{b^2 - x^2}$ است که در این مساله x : فاصله از مرکز تماس، (x) تنش تماسی در نقطه x ضریبی که توسط معادله $k = \frac{\pi b'}{N} = 110.4$ به دست می‌آید و b نصف طول تماس یا

$$b = 1.022 \sqrt{\frac{b'E}{R}} = 2.348 \text{ mm}$$

$$p(x) = 110.4 \sqrt{2.348^2 - x^2}$$

از طرف دیگر در شکل زیر نقاط دایره‌ای توخالی کانتور مولفه σ تنش یا تنش عمودی محاسبه شده توسط

ANSYS را در سطوح بالایی صفحه مسطح نشان می‌دهند. تنش ماکزیمم p در مرکز سطح تماس رخ داده

$$\text{و به صورت } p = 0.418 \sqrt{\frac{p'E}{R}} = 270.9 \text{ MPa}$$

شکل ۱۲۲-۴

مثال ۵۶. یک صفحه الاستیک طبق شکل ۱۲۲-۴ با یک سوراخ بیضی شکل در مرکز آن در معرض تنش کششی محوری یکنواختی برابر σ در انتهای سمت راست خود قرار گرفته و در انتهای دیگر محدود شده است. ماکزیمم تنش σ_{max} و ضریب مرکز تنش $\alpha = \frac{\sigma_{max}}{\sigma}$ را محاسبه نمایید. تغییرات توزیع تنش طولی را نیز در خط ارتباط بین سوراخ و لبه صفحه بررسی کنید.

برنامه APDL معادل این مساله عبارت است از:

```
/PREP V
ET,1,PLANE 82
KEYOPT,1,2
!* !Plane stress with thickness
R,1,1
!* MP,EX,1,1,E1
MP,PRXY,1,0,0
```

```

BLC4,,.,,.,.          !Because of symmetry only a quarter of the plate
CYL4,,.,,.,.          !arscale,A\,,A\,,AING,Rx,Ry,Rz,KING,NoELEM,IMOVE
ARSCALE,.,.,,.,,     !arscale,A\,,A\,,AING,Rx,Ry,Rz,KING,NoELEM,IMOVE
ASBA,.,,             !Result to area\,
ESIZE,.,,.,,          .
AMESH,.
LSEL,S,LOC,X,.
DL,ALL,UX,.
LSEL,S,LOC,Y,.
DL,ALL,UY,.
LSEL,S,LOC,X,.
SFL,ALL,PRES,-\.
LSEL,ALL
FINISH
/SOLU
ANTYPE,.
SOLVE
FINISH
/POST\

PLNSOL,S,X,\          !PLNSOL,Item,comp,KUND,FACT,FileID
/PBC,RFOR,,\           !plot all reactions
/PSF,PRES,NORM,\       !Plot surface load symbols as arrows
PLNSOL,S,X,\           .
FINISH

```

بحث و بررسی

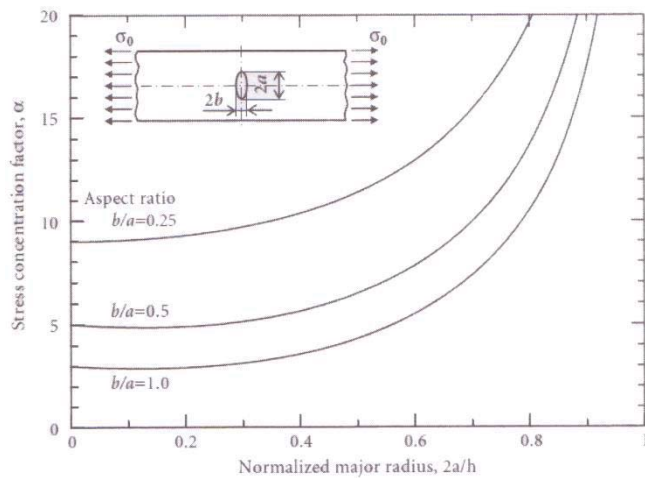
مقدار ماکریم تنش σ_{max} در قسمت انتهای سوراخ اتفاق خواهد افتاد. به صورت تحلیلی این تنش عبارت است از:

$$\sigma_{max} = \left(1 + \frac{\gamma a}{b} \right) \sigma_+ = \left(1 + \sqrt{\frac{a}{\rho}} \right) \sigma_+ = \alpha \cdot \sigma_+$$

که ρ شعاع داخلی منحنی قسمت انتهایی سوراخ بیضوی، a شعاع بزرگ و b شعاع کوچک بیضوی و α . ضرایب مرکز تنش هستند.

$$\alpha_+ = \frac{\sigma_{max}}{\sigma_+} = \left(1 + \frac{\gamma a}{b} \right) = \left(1 + \sqrt{\frac{a}{\rho}} \right)$$

برای این مساله از شکل $\alpha = 0.16$ است در حالیکه با محاسبه چون $\sigma_{max} = 49.4 MPa$ است $\alpha = 4.94$ می شود که دارای خطای 4.26% خواهد بود.



شکل ۱۲۳-۴

مثال ۵۷. تیر شکل زیر تحت تاثیر نیروی وزن خود قرار داشته و انتهای سمت چپ آن به دیوار مقید شده است. نیروی عکس العمل تکیه گاهی، وضعیت تغییر شکل تیر و جابجایی نقاط مختلف آن را با تحلیل در محیط انسیس برآورد کنید. مدول یانگ فولاد $E=200 \text{ Gpa}$ ، نسبت پواسن $\nu=0.3$ ، چگالی $\rho=7.86e-6 \frac{\text{kg}}{\text{mm}^3}$ و $g=9.8 \frac{\text{m}}{\text{s}^2}$.

شکل ۱۲۴-۴

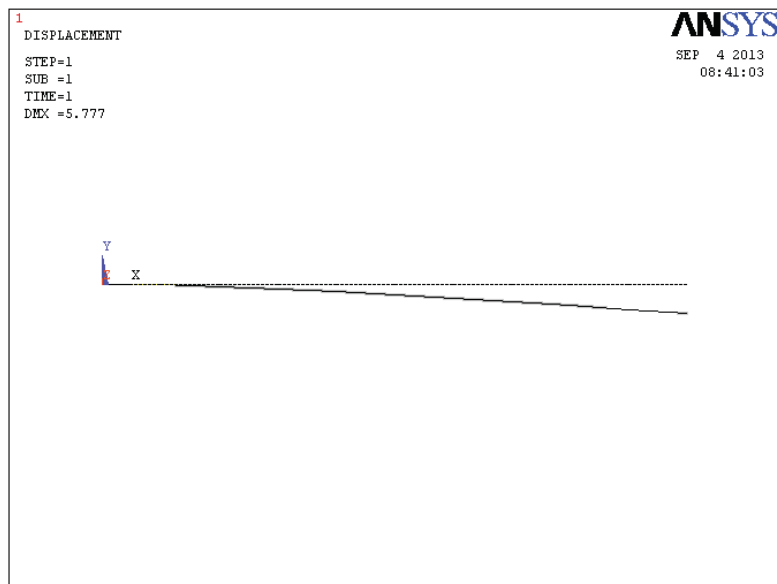
برنامه APDL معادل این حالت عبارت است از:

```
/PREPV
K,\_
K,\_,\_...
L,\_
MP,EX,\_Eo
MP,PRXY,\_.,\_
MP,DENS,\_.,\_\_
ET,\_,BEAM\_
R,\_.,\_,\_,\_,\_,\_,\_          !Real,AREA,IZZ,HEIGHT,SHEARZ,ISTRN,ADDMAS
LESIZE,ALL,\_..           !LESIZE,NLI,SIZE,ANGSIZE,NDIV, ...
LMESH,ALL
ACEL,\_,\_,\_,\_
FINISH
!*
/SOLU
SOLVE
FINISH
/POST\_
PRRSOL,F      !NODE    FX   FY
!*             \     .,.  28,514
PLDISP,\_      ! Def+undefinedge
PLNSOL,U,SUM,.
ETABLE,SMAX,NMISC,\_      !
PRETAB,SMAX
FINISH
/EOF
```

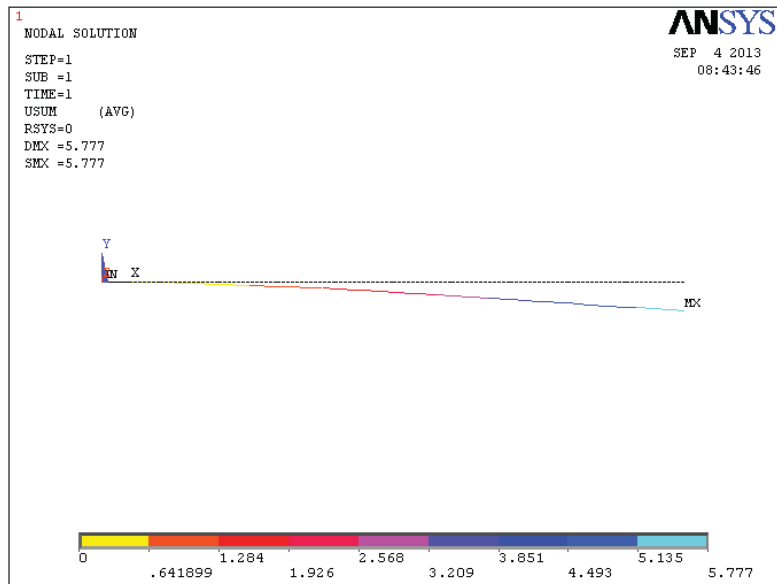
نتایج پلاس PLNSOL و PLDISP طبق شکل ها است. تنش خمشی ماکریم در گره I هر المان عبارتند از:

جدول ۱۵-۴

ELEM	SMAX
۱	۲۲,۱۰۸
۲	۱۸,۷۱۸
۳	۱۴,۷۸۹
۴	۱۱,۳۲۳
۵	۸,۳۱۹۰
۶	۵,۷۷۷۱
۷	۳,۶۹۷۳
۸	۲,۰۷۹۸
۹	۰,۹۲۴۳۴
۱۰	۰,۲۳۱۰۸



شکل ۱۲۵-۴



شکل ۱۲۶-۴

مسایل ۸۳) مثال ۴-۶ را با روش دستی حل و نتایج را با نتایج بالا مقایسه نمایید. آیا جواب تحلیلی هم برای این مساله می‌توانید ارائه نمایید؟

۴-۳۳ تعیین شکل ضعیف برای مسایل سه بعدی

معادلات شکل قوی و ضعیف از نظر ساختاری در حالت سه بعدی فرقی با حالت دو بعدی نمی‌کنند فقط بُعد سوم بردارها هم به آنها اضافه می‌گردد. بردار \vec{q} بر حسب بردارهای یکه سه بعدی به صورت زیر تعریف می‌گردد:

$$q = q_x \vec{i} + q_y \vec{j} + q_z \vec{k} \quad (۳۹۴-۴)$$

شکل ماتریسی این بردار به صورت $[q_x, q_y, q_z]^T = q$ است. در این حالت دامنه مساله، یک حجم (Ω) و مرزش، یک سطح (T) می‌باشد. عملگر گرادیان در حالت سه بعدی به صورت‌های برداری و ماتریسی به شکل زیر تعریف می‌شود:

$$\vec{\nabla} = \vec{i} \frac{\partial}{\partial x} + \vec{j} \frac{\partial}{\partial y} + \vec{k} \frac{\partial}{\partial z} \quad (۳۹۵-۴)$$

$$\vec{\nabla} \theta = \vec{i} \frac{\partial \theta}{\partial x} + \vec{j} \frac{\partial \theta}{\partial y} + \vec{k} \frac{\partial \theta}{\partial z} \quad (۳۹۶-۴)$$

$$\nabla = \begin{bmatrix} \frac{\partial}{\partial x} \\ \frac{\partial}{\partial y} \\ \frac{\partial}{\partial z} \end{bmatrix}, \quad \nabla \theta = \begin{bmatrix} \frac{\partial \theta}{\partial x} \\ \frac{\partial \theta}{\partial y} \\ \frac{\partial \theta}{\partial z} \end{bmatrix} \quad (۳۹۷-۴)$$

با تعریف بالا از بردارها و عملگر برداری گرادیان، دیورژنس و لaplس میدان برداری عبارتند از:

$$\operatorname{div} \vec{q} = \nabla \cdot q = \frac{\partial q_x}{\partial x} + \frac{\partial q_y}{\partial y} + \frac{\partial q_z}{\partial z} \quad (۳۹۸-۴)$$

$$\nabla^T = \vec{\nabla} \cdot \vec{\nabla} = \nabla^T \cdot \nabla = \frac{\partial^T}{\partial x^T} + \frac{\partial^T}{\partial y^T} + \frac{\partial^T}{\partial z^T} \quad (۳۹۹-۴)$$

شکل قوی در بیان برداری و ماتریسی با معادلات پیش گفته دو بعدی یکی هستند. لازم به ذکر است که قانون فوريه که مولفه‌های درجه حرارت را به مولفه‌های شار حرارت ربط می‌دهد بر حسب یک ماتریس مثبت معین متقارن (D) تعریف می‌شود.

$$D = \begin{bmatrix} k_{xx} & k_{xy} & k_{xz} \\ k_{yx} & k_{yy} & k_{yz} \\ k_{zx} & k_{zy} & k_{zz} \end{bmatrix} \quad (۴۰-۴)$$

شکل ضعیف نیز در حالت سه بعدی عین حالت دو بعدی پیش گفته است.

۴-۳۳-۱ المان های سه بعدی

دو نوع اصلی از المان های سه بعدی، المان های شش وجهی و چهار وجهی هستند.

۴-۳۳-۲ المان های شش وجهی

دامنه المان والدین مربوط به المان شش وجهی هشت گرهی (المان آجر) یک مکعب واحد با مختصات ξ و η و ζ است. نگاشت به دامنه فیزیکی به صورت

$$x(\xi, \eta, \zeta) = N^{AH}(\xi, \eta, \zeta)x^e \quad (4.1-4)$$

$$y(\xi, \eta, \zeta) = N^{AH}(\xi, \eta, \zeta)y^e$$

$$z(\xi, \eta, \zeta) = N^{AH}(\xi, \eta, \zeta)z^e$$

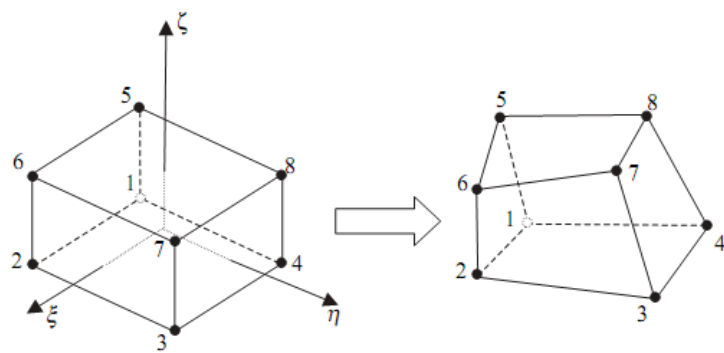
است که در آن N^{AH} توابع شکل تعریف شده در سیستم مختصات والدین طبق شکل ۴-۲۷ می باشدند. توابع شکل شش وجهی هشت گرهی را می توان با ضرب تansوری توابع شکل خطی یک بعدی پیش گفته تعریف کرد:

$$N_L^{AH}(\xi, \eta, \zeta) = N_I^{YL}(\xi)N_J^{YL}(\eta)N_K^{YL}(\zeta) \quad (4.2-4)$$

رابطه بین شماره های گرهی یک بعدی و المان های شش وجهی در جدول ۱۶-۴ آورده شده است.

تقریب θ^e با استفاده از توابع شکل به صورت زیر صورت می گیرد:

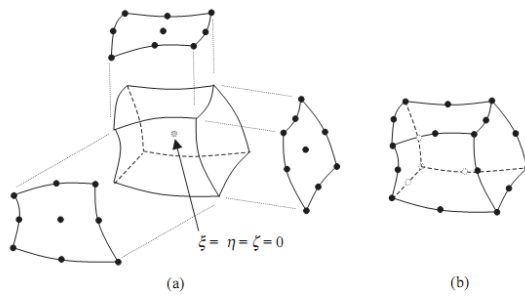
$$\theta^{(e)}(\xi, \eta, \zeta) = N^{AH}(\xi, \eta, \zeta)d^{(e)} \quad (4.3-4)$$



شکل ۴-۲۷

جدول ۱۶-۴

<i>L</i>	<i>I</i>	<i>J</i>	<i>K</i>
1	1	1	1
2	2	1	1
3	2	2	1
4	1	2	1
5	1	1	2
6	2	1	2
7	2	2	2
8	1	2	2



شکل ۱۲۸-۴

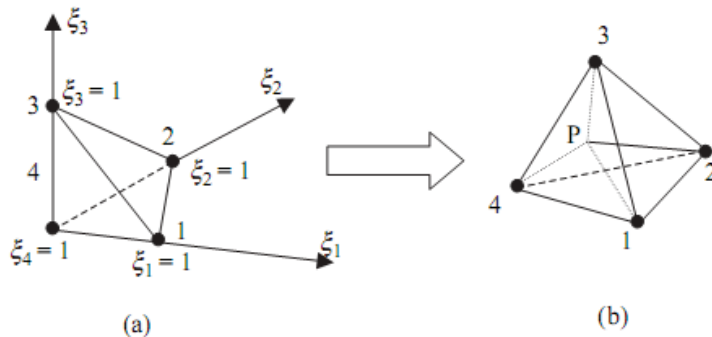
پیوستگی توابع میانیابی را می‌توان با بررسی رفتار آنها در امتداد یک وجه المان مشاهده کرد. به عنوان مثال برای $\zeta = 1$, جائیکه $N_{\zeta=1}^{(e)}(\xi)$, از رابطه توابع شکل $N^{(e)}$ ملاحظه می‌شود. یک تابع دوخطی است که با چهار مقدار گرهی روی این وجه می‌تواند به طور منحصر بفرد تعریف شود به طوری که پیوستگی C^1 تضمین شود.

المان‌های شش وجهی مرتبه بالاتر را هم می‌توان با ضرب تانسوری توابع شکل یک بعدی مرتبه بالاتر به دست آورد. شکل ۱۲۸-۴ یک المان شش وجهی بیست و هفت گرهی را نشان می‌دهد. ماتریس ژاکوبی $J^{(e)}$ در سه بعد عبارت است از:

$$J^{(e)} = \begin{bmatrix} \frac{\partial x}{\partial \xi} & \frac{\partial y}{\partial \xi} & \frac{\partial z}{\partial \xi} \\ \frac{\partial x}{\partial \eta} & \frac{\partial y}{\partial \eta} & \frac{\partial z}{\partial \eta} \\ \frac{\partial x}{\partial \zeta} & \frac{\partial y}{\partial \zeta} & \frac{\partial z}{\partial \zeta} \end{bmatrix} \quad (404-4)$$

انتگرال روی دامنه المان شش وجهی به صورت زیر بیان می‌گردد:

$$\begin{aligned} I &= \int_{\Omega} f(\xi, \eta, \zeta) d\Omega = \int_{\xi=-1}^1 \int_{\eta=-1}^1 \int_{\zeta=-1}^1 U^e(\xi, \eta, \zeta) |f(\xi, \eta, \zeta)| f(\xi, \eta, \zeta) d\xi d\eta d\zeta = \\ &\sum_{i=1}^{n_{gp}} \sum_{j=1}^{n_{gp}} \sum_{k=1}^{n_{gp}} w_i w_j w_k |f^e(\xi_i, \eta_j, \zeta_k)| f(\xi_i, \eta_j, \zeta_k) \end{aligned} \quad (405-4)$$



شکل ۱۲۹-۴

۳-۳-۴ المان‌های چهار وجهی

دامنهای والدین و فیزیکی چهار وجهی در شکل ۱۲۹-۴ نشان داده شده‌اند. مختصات چهار وجهی یک نقطه P با ξ_1, ξ_2, ξ_3 نشان داده می‌شوند. این مختصات، مختصات حجم چهار وجهی را به این صورت تعریف می‌کنند که هر نقطه P در دامنه المان فیزیکی حجم Ω^e (Ω^e) المان اصلی را به چهار وجهی تقسیم می‌کند. به این ترتیب مختصات حجم عبارت خواهد بود از:

$$\xi_1 = \frac{P_{234} \text{ حجم}}{\Omega^e}, \xi_2 = \frac{P_{134} \text{ حجم}}{\Omega^e}, \xi_3 = \frac{P_{124} \text{ حجم}}{\Omega^e}, \xi_4 = \frac{P_{123} \text{ حجم}}{\Omega^e}$$

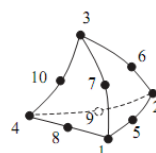
در این حالت $\xi_1 + \xi_2 + \xi_3 + \xi_4 = 1$. هر مختصه روی یک سطح صفر و در گره مقابل به آن سطح یک است. توابع شکل المان چهار وجهی چهارگرهی عبارتند از:

$$N_1^{\xi Tet} = \xi_1 \quad (4.7-4)$$

$$N_2^{\xi Tet} = \xi_2$$

$$N_3^{\xi Tet} = \xi_3$$

$$N_4^{\xi Tet} = \xi_4 = 1 - \xi_1 - \xi_2 - \xi_3$$



شکل ۱۳۰-۴

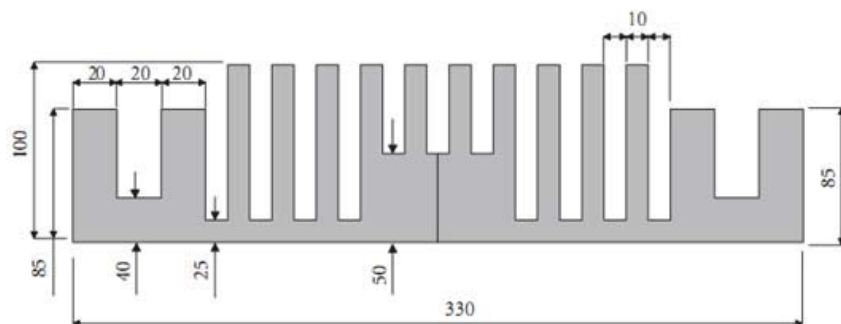
جدول ۱۷-۴

I	$\xi_1(x_I^e, y_I^e)$	$\xi_2(x_I^e, y_I^e)$	$\xi_3(x_I^e, y_I^e)$	$\xi_4(x_I^e, y_I^e)$	$N_I^{10\text{Tet}}(\xi_1, \xi_2, \xi_3, \xi_4)$
1	1	0	0	0	$2\xi_1(\xi_1 - 1/2)$
2	0	1	0	0	$2\xi_2(\xi_2 - 1/2)$
3	0	0	1	0	$2\xi_3(\xi_3 - 1/2)$
4	0	0	0	1	$2\xi_4(\xi_4 - 1/2)$
5	$1/2$	$1/2$	0	0	$4\xi_1\xi_2$
6	0	$1/2$	$1/2$	0	$4\xi_2\xi_3$
7	$1/2$	0	$1/2$	0	$4\xi_1\xi_3$
8	$1/2$	0	0	$1/2$	$4\xi_1\xi_4$
9	0	$1/2$	0	$1/2$	$4\xi_2\xi_4$
10	0	0	$1/2$	$1/2$	$4\xi_3\xi_4$

جدول ۱۸-۴ نقاط و وزن‌های کوادراتور گوسی برای دامنه‌های چهار وجهی

Integration order	Degree of precision	ξ_1	ξ_2	ξ_3	Weights
One-point	2	0.25	0.25	0.25	1
		0.58 541 020	0.13 819 660	0.13 819 660	0.25
		0.13 819 660	0.58 541 020	0.13 819 660	0.25
Four-point	3	0.13 819 660	0.13 819 660	0.58 541 020	0.25
		0.13 819 660	0.13 819 660	0.13 819 660	0.25
		0.25	0.25	0.25	-0.8
Five-point	4	1/3	1/6	1/6	0.45
		1/6	1/3	1/6	0.45
		1/6	1/6	1/3	0.45
		1/6	1/6	1/6	0.45

یک المان چهار وجهی ده گرهی در شکل ۱۳۰-۴ نشان داده شده است. توابع شکل به روشهای مشابه توابع شکل المان‌های مثلثی شش گرهی به دست می‌آیند. به عنوان مثال موقع تعريف $N_I^{10\text{Tet}}$ دنبال تابعی خواهیم بود که در گره I برابر یک و در سایر گره‌ها صفر بوده و حداقل از درجه دو باشند. تابع به ازای $I=1$ این شرایط را اقتصاع می‌کند. توابع شکل این نوع المان در جدول ۱۷-۴ آمده است.



شکل ۱۳۱-۴

فرمول‌های انتگرال‌گیری برای المان چهار وجهی مشابه المان‌های مثلثی هستند. ماتریس ژاکوبی هم با حالت المان‌های شش وجهی یکسان است جز این که مشتقات به جای ξ_1, ξ_2, ξ_3 نسبت به ξ_1, ξ_2, ξ_3 گرفته می‌شوند. نقاط و وزن‌های گوسی در جدول ۱۸-۴ خلاصه شده‌اند.

مثال ۵.۵۸. شکل ۱۳۱-۴ پیکره‌بندی و هندسه یک فین آلومینیومی با هدایت حرارتی ویژه $k = 170 \frac{W}{mK}$ را نشان می‌دهد. سطح زیرین فین در معرض یک شار حرارتی ثابت $q = 100 \frac{W}{m^2}$ قرار دارد. جریان هوا روی سطوح دیگر فین باعث می‌شود دمای اطراف در ۲۹۳ درجه کلوین قرار داشته باشد. ضریب انتقال حرارت بین فین و اتمسفر اطراف $h = 40 \frac{W}{m^2K}$ است. توزیع درجه حرارت داخل فین را پیدا کنید.

برنامه APDL معادل این مثال عبارت است از:

```

ii
NUMCNP,AREA
RECTNG, 105,165,85,100
ASBA, 1,2
NUMCNP,AREA
RECTNG,-145,-125,40,85
ASBA, 1,2
NUMCNP,AREA
RECTNG, 125,145,40,85
ASBA, 1,2
NUMCNP,AREA
RECTNG,-105,-95,25,100
ASBA, 1,2
NUMCNP,AREA
RECTNG,-85,-55,25,100
ASBA, 1,2
NUMCNP,AREA
RECTNG,-45,-35,25,100
ASBA, 1,2
NUMCNP,AREA
RECTNG,85,55,25,100

```

```

ASBA,1,2
NUMCNP,AREA
RECTNG,35,45,25,100

ASBA,1,2
NUMCNP,AREA
RECTNG,-15,-15,50,100

ASBA,1,2
NUMCNP,AREA
RECTNG,15,25,50,100

ASBA,1,2
NUMCNP,AREA
VOFFST,1,100

VMESH,\

ASEL,S,LOC,Y,*  

ASEL,INVE  

SFA,ALL,,CONV,4,293  

ASEL,ALL  

ASEL,S,LOC,Y,*  

SFA,ALL,,HFLUX,1000  

ASEL,ALL  

FINISH  

/SOLU  

SOLVE  

FINISH  

/POST\  

PLNSOL,TF,SUM  

PATH,AB,1,100,100  

PPATH,\,,*,*,*,*  

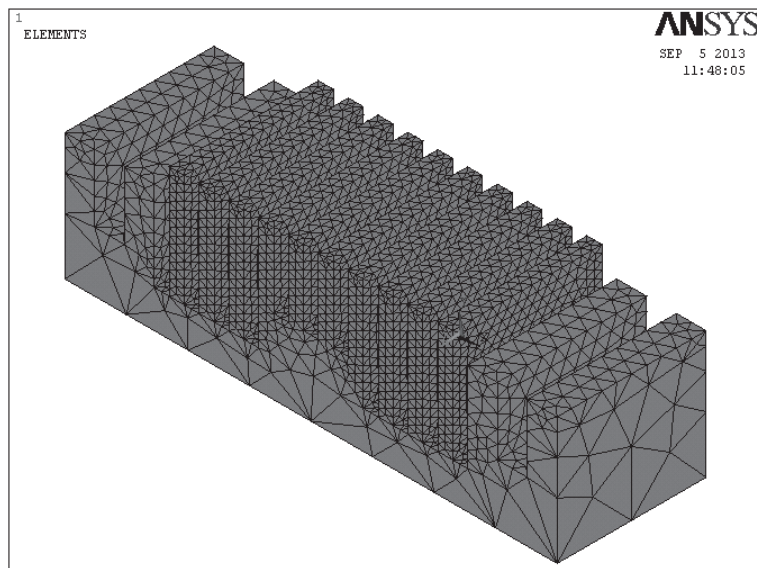
PPATH,1,,*,50,*,*  

PDEF,,TG,SUM  

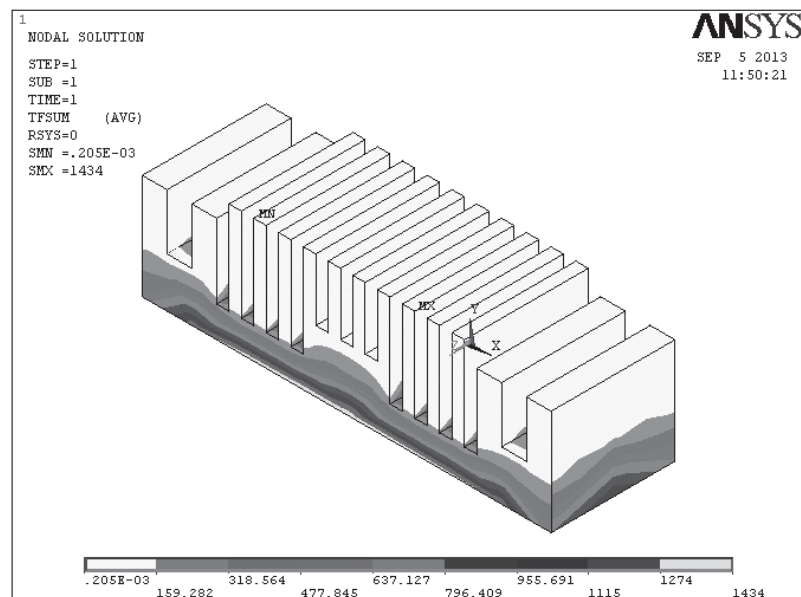
PLPATH,TGSUM  

FINISH

```



شکل ۱۲۳-۴



شکل ۱۲۴-۴

۴-۴ مسایل وابسته به زمان (یک بعدی)

در این بخش، مدل‌های المان محدود مسایل وابسته به زمان یک بعدی را تدوین نموده و طرحهای تقریب زمانی برای تبدیل معادلات دیفرانسیل عادی بر حسب زمان به معادلات جبری را تشریح می‌کنیم. مدل‌های المان محدود نوع وابسته به زمان از معادلات دیفرانسیل بخش‌های قبل را در نظر می‌گیریم. این معادلات شامل معادلات پارabolیک (یعنی مشتق زمانی اول) و هیپربولیک (یعنی مشتق زمانی دوم) مرتبه دوم (در فضای) و معادلات هیپربولیک مرتبه چهار حاکم بر خمش تیرها می‌شوند. یادآوری می‌شود که معادلات پارabolیک مرتبه دوم در انتقال حرارت و مکانیک سیالات مطرح می‌شوند در حالی که معادلات هیپربولیک مرتبه دوم و چهارم در مسایل مکانیک جامدات کاربرد دارند. فرمول بندهای المان محدود مسایل وابسته به زمان در دو مرحله انجام می‌گیرد.

(۱) تقریب فضایی: با انتخاب حل آزمایشی به صورت

$$u(x, t) \approx \tilde{u}^e(x, t) = \sum_{j=1}^n u_j^e(t) \phi_j^e(x) \quad (4.8-4)$$

مدل المان محدود فضایی معادله با استفاده از روال مسایل استاتیک یا پایدار در عین در برداشتن تمام عبارات وابسته زمانی در فرمول‌بندی، تدوین می‌شود. در این مرحله یکسری معادلات دیفرانسیل عادی (یعنی یک سیستم معادلات شبیه گسسته) در لحظه برای متغیرهای گرهی \mathbf{u} المان به دست می‌آید. معادله (۴.۸-۴) تقریب فضایی " برای لحظه t را بیان می‌کند. وقتی که حل مساله قابل تدقیک به توابع فقط زمانی و فقط فضایی مثل $U(x, t) = T(t)X(x)$ باشد، این تقریب به وضوح توجیه‌پذیر است. در غیر این صورت می‌توان نشان داد که به شرط کوچک بودن گام زمانی به قدر کافی، تقریب خوبی از حل واقعی قابل حصول خواهد بود.

(۲) تقریب زمانی: سیستم معادلات دیفرانسیل اغلب با استفاده از فرمول‌های تفاضل محدود (*finite difference*) بازهم بر حسب زمان تقریب زده می‌شود. در این مرحله امکان تبدیل سیستم معادلات دیفرانسیل عادی در قالب مجموعه‌ای از معادلات جبری میان \mathbf{u} در لحظه t_{s+1} و t_s فراهم می‌شود که گام زمانی Δt یک عدد صحیح است. تمام طرحهای تقریب زمانی دنبال یافتن \mathbf{u} در لحظه t_{s+1} با استفاده از مقادیر معلوم \mathbf{u} از لحظه‌های قبل هستند:

$$\{\mathbf{u}\}_{s+1} \text{ را با استفاده از } \{\mathbf{u}\}_{s-1}, \dots, \{\mathbf{u}\}_s \text{ و محاسبه کنید} \quad (4.9-4)$$

بنابراین در انتهای تقریب دو مرحله‌ای بالا، جواب فضایی پیوسته در بازه‌های زمانی گسسته وجود دارد: $\tilde{u}^e(x, t_s) = \sum_{j=1}^n u_j^e(t_s) \phi_j^e(x) (s = 0, 1, \dots)$

برای مطالعه جزئیات در حل تقریب بالا معادله دیفرانسیل کلی

$$-\frac{\partial}{\partial x} \left(a \frac{\partial u}{\partial x} \right) + \frac{\partial^\gamma}{\partial x^\gamma} \left(b \frac{\partial^\gamma u}{\partial x^\gamma} \right) + c_1 u + c_\gamma \frac{\partial u}{\partial t} + c_\gamma \frac{\partial^\gamma u}{\partial t^\gamma} = f(x, t) \quad (4.10-4)$$

را با شرایط مرزی

$$u(x, t) \quad \text{یا} \quad -a \frac{\partial u(x, t)}{\partial x} + \frac{\partial}{\partial x} \left(b \frac{\partial^\gamma u}{\partial x^\gamma} \right) \quad \text{معین} \quad (4.11-4)$$

یا

$$\frac{\partial u}{\partial x}(x, t) \quad \text{یا} \quad -b \frac{\partial^\gamma u}{\partial x^\gamma} \quad \text{معین} \quad (4.12-4)$$

در $x=0, L$ و شرایط اولیه

$$c_\gamma u(x, \cdot) \quad \text{و} \quad c_\gamma \dot{u}(x, \cdot) + c_1 u(x, \cdot) \quad (4.13-4)$$

که $\dot{u} = \frac{\partial u}{\partial t}$ است در نظر می‌گیریم.

4-۳۵ مدل های المان محدود شبیه گسسته (semidiscrete)

شكل ضعیف معادله دیفرانسیل کلی به صورت زیر به دست می‌آید:

$$\begin{aligned} \cdot &= \int_{x_A}^{x_B} w \left[-\frac{\partial}{\partial x} \left(a \frac{\partial u}{\partial x} \right) + \frac{\partial^\gamma}{\partial x^\gamma} \left(b \frac{\partial^\gamma u}{\partial x^\gamma} \right) + c_1 u + c_\gamma \frac{\partial u}{\partial t} + c_\gamma \frac{\partial^\gamma u}{\partial t^\gamma} - f \right] dx \\ &= \int_{x_A}^{x_B} \left[\frac{\partial w}{\partial x} a \frac{\partial u}{\partial x} + \frac{\partial^\gamma w}{\partial x^\gamma} \left(b \frac{\partial^\gamma u}{\partial x^\gamma} \right) + c_1 w u + c_\gamma w \frac{\partial u}{\partial t} + c_\gamma w \frac{\partial^\gamma u}{\partial t^\gamma} - w f \right] dx \\ &\quad + \left[w \left[\left(-a \frac{\partial u}{\partial x} \right) + \frac{\partial}{\partial x} \left(b \frac{\partial^\gamma u}{\partial x^\gamma} \right) \right] + \frac{\partial w}{\partial x} \left(-b \frac{\partial^\gamma u}{\partial x^\gamma} \right) \right]_{x_A}^{x_B} \\ &= \int_{x_A}^{x_B} \left(a \frac{\partial w}{\partial x} \frac{\partial u}{\partial x} + b \frac{\partial^\gamma w}{\partial x^\gamma} \frac{\partial^\gamma u}{\partial x^\gamma} + c_1 w u + c_\gamma w \frac{\partial u}{\partial t} + c_\gamma w \frac{\partial^\gamma u}{\partial t^\gamma} - w f \right) dx \\ &\quad - \hat{Q}_1 w(x_A) - \hat{Q}_\gamma w(x_B) - \hat{Q}_\gamma \left(-\frac{\partial w}{\partial x} \right) \Big|_{x_A} - \hat{Q}_\gamma \left(-\frac{\partial w}{\partial x} \right) \Big|_{x_B} \end{aligned} \quad (4.14-4)$$

که

$$\hat{Q}_\chi = \left[-a \frac{\partial u}{\partial x} + \frac{\partial}{\partial x} \left(b \frac{\partial^\chi u}{\partial x^\chi} \right) \right] \Big|_{x_A}, \quad \hat{Q}_\gamma = \left(b \frac{\partial^\chi u}{\partial x^\chi} \right) \Big|_{x_A} \quad (4.10-4)$$

$$\hat{Q}_\tau = - \left[-a \frac{\partial u}{\partial x} + \frac{\partial}{\partial x} \left(b \frac{\partial^\chi u}{\partial x^\chi} \right) \right] \Big|_{x_B}, \quad \hat{Q}_\xi = - \left(b \frac{\partial^\chi u}{\partial x^\chi} \right) \Big|_{x_B}$$

با انتخاب $u(x, t) = \sum_{j=1}^n u_j^e(t) N_j^e(x)$ فرض کردیم که u قابل تجزیه به یک مولفه وابسته به زمان فقط و یک مولفه وابسته به فقط فضاست که فرض درکل معتبری نیست ولی اگر گام زمانی به قدر کافی کوچک باشد حصول جوابهای دقیق امکان‌پذیر می‌باشد. با این حال حل المان محدود به دست آمده در آخر تحلیل در فضا پیوسته است ولی بر حسب زمان پیوسته نیست. جواب به دست آمده به شکل زیر خواهد بود:

$$u(x, t) = \sum_{j=1}^n u_j^e(t_s) N_j^e(x) = \sum_{j=1}^n (u_j^s)^e N_j^e(s = 1, 2, \dots) \quad (4.16-4)$$

که $(u_j^s)^e$ مقدار $u(x, t)$ در لحظه $t=t_s$ و گره‌j از المان Ω^e است. با جایگذاری $w=N_i^{(x)}$ خواهیم داشت:

$$\begin{aligned} \cdot &= \int_{x_A}^{x_B} \left[a \frac{dN_i}{dx} \left(\sum_{j=1}^n \frac{dN_j}{dx} \right) + b \frac{d^\chi N_i}{dx^\chi} \left(\sum_{j=1}^n u_j \frac{d^\chi N_j}{dx^\chi} \right) + c \cdot \phi_i \left(\sum_{j=1}^n u_j N_j \right) + c_\chi N_i \left(\sum_{j=1}^n \frac{du_j}{dt} N_j \right) \right. \\ &\quad \left. + c_\tau N_i \left(\sum_{j=1}^n \frac{d^\chi u_j}{dt^\chi} N_j \right) - N_i f \right] dx - \\ &- \hat{Q}_\chi N_i(x_A) - \hat{Q}_\tau N_i(x_B) - \hat{Q}_\gamma \left(-\frac{dN_i}{dx} \right) \Big|_{x_A} - \hat{Q}_\xi \left(-\frac{dN_i}{dx} \right) \Big|_{x_B} \end{aligned} \quad (4.17-4)$$

در قالب ماتریسی داریم:

$$[K][u] + [M^1][\dot{u}] + [M^\chi][\ddot{u}] = [F] \quad (4.18-4)$$

$$[K] = [K^1] + [K^\chi] + [M^1] \quad (4.19-4)$$

$$M_{ij}^1 = \int_{x_A}^{x_B} c \cdot \phi_i \phi_j dx \quad (4.20-4)$$

$$M_{ij}^\chi = \int_{x_A}^{x_B} c_\chi \phi_i \phi_j dx, \quad M_{ij}^\tau = \int_{x_A}^{x_B} c_\tau \phi_i \phi_j dx \quad (4.21-4)$$

$$K_{ij}^1 = \int_{x_A}^{x_B} a \frac{d\phi_i}{dx} \frac{d\phi_j}{dx} dx, \quad K_{ij}^\chi = \int_{x_A}^{x_B} b \frac{d^\chi \phi_i}{dx^\chi} \frac{d^\chi \phi_j}{dx^\chi} dx \quad (4.22-4)$$

$$F_i = \int_{x_A}^{x_B} \phi_i f dx + \hat{Q}_i \quad (4.23-4)$$

۴-۳۶ تقریب‌های زمانی

به عنوان حالات خاص معادله شکل ضعیف استخراج شده، حاوی معادله پارابولیک ($[M] = [0 \cdot \cdot M^1]$) و معادله هیپربولیک ($[M^1] = [0 \cdot \cdot M]$) می‌باشد. در حالت اول تقریب زمانی معادلات پارابولیک و در حالت دوم معادلات هیپربولیک در نظر گرفته می‌شوند.

حالت اول - معادلات پارابولیک: معادله پارابولیک زیر را در نظر بگیرید:

$$[M^1][\dot{u}] + [k][u] = [F] \quad (424-4)$$

شرط اولیه $[u]_0 = u_0$ است یعنی مقادیر u در لحظه صفر $([u]_0)$ بصورت بردار ستونی $\begin{bmatrix} u_0 \\ \vdots \\ u_s \end{bmatrix}$ حاوی u_s می‌باشد. متداولترین روش حل معادله بالا، «خانواده α از تقریب» است که در آن یک میانگین وزن دار از مشتقات زمانی یک متغیر وابسته در دو گام متوالی با میانیابی خطی از مقادیر متغیر در این دو گام تقریب زده می‌شود.

$$(1 - \alpha)[\dot{u}]_s + \alpha[\dot{u}]_{s+1} = \frac{[u]_{s+1} - [u]_s}{\Delta t_{s+1}} \quad \text{for } 0 \leq \alpha \leq 1 \quad (425-4)$$

که $[u]_s$ مقدار کثیت داخل قلاب در لحظه t_s و $t = t_s = \sum_{i=1}^s \Delta t_i$ است. اگر $\Delta t_s = t_s - t_{s-1}$ و $s \Delta t = s \Delta t_s$ معادله بالا را می‌توان به صورت بازه زمانی $[T_s, T_{s+1}]$ به گام‌های زمانی مساوی تقسیم شود

$$[u]_{s+\alpha} = [u]_s + \Delta t [\dot{u}]_{s+\alpha} \quad (426-4)$$

$$[\dot{u}]_{s+\alpha} = (1 - \alpha)[\dot{u}]_s + \alpha[\dot{u}]_{s+1} \quad \text{for } 0 \leq \alpha \leq 1$$

به ازای مقادیر مختلف α ، روش‌های شناخته شده انتگرالگیری عددی زیر به دست می‌آیند:

$\alpha = 0$: روش تفاضل رو به جلو (اولر-بطور مشروط پایدار): مرتبه دقت $O(\Delta t)$

$\alpha = \frac{1}{2}$: روش کرنک-نیکلسن (پایدار): $O((\Delta t)^2)$

$\alpha = \frac{2}{3}$: روش گالرکین (پایدار): $O((\Delta t)^2)$

$\alpha = 1$: روش تفاضل رو به عقب (پایدار): $O(\Delta t)$

از طرفی چون رابطه (424-4) برای هر $t > 0$ صادق است لذا برای $t = t_s$ و $t = t_{s+1}$ هم صادق است و

$$([M^1]) = ([M])$$

$$[M][\dot{u}]_s + [K]_s[u]_s = [F]_s \quad (427-4)$$

$$[M][\dot{u}]_{s+1} + [K]_{s+1}[u]_{s+1} = [F]_{s+1} \quad (428-4)$$

در روابط (۴۲۷-۴) و (۴۲۸-۴) فرض شد که ماتریس جرم $[M]$ مستقل از زمان است. با ضرب طرفین رابطه (۴۲۰-۴) در Δt_{s+1} و ضرب $[M]$ در طرفین داریم:

$$\Delta t_{s+1} \alpha [M][\dot{u}]_{s+1} + \Delta t_{s+1} (1 - \alpha) [M][\dot{u}]_s = [M]([u]_{s+1} - [u]_s) \quad (429-4)$$

با جایگذاری (۱۵) در (۱۶) خواهیم داشت:

$$\Delta t_{s+1} \alpha ([F]_{s+1} - [K]_{s+1}[u]_{s+1}) + \Delta t_{s+1} (1 - \alpha) ([F]_s - [K]_s[u]_s) = [M]([u]_{s+1} - [u]_s) \quad (430-4)$$

با مرتب کردن رابطه (۴۳۰-۴) بر حسب معلومات و مجهولات خواهیم داشت:

$$[\bar{K}]_{s+1}[u]_{s+1} = [\bar{K}]_s[u]_s + [\hat{F}]_{s,s+1} \quad (431-4)$$

که در آن

$$[\hat{k}]_{s+1} = [M^1] + a_1[k]_{s+1}, \quad [\bar{k}]_s = [M^1] - a_2[k]_s \quad (432-4)$$

$$[\hat{F}]_{s,s+1} = \Delta t_{s+1} [\alpha [F]_{s+1} + (1 - \alpha) [F]_s], \quad a_1 = \alpha \Delta t_{s+1}, \quad a_2 = (1 - \alpha) \Delta t_{s+1}$$

در استخراج این روابط فرض شده است که $[M^1]$ مستقل از زمان و گام زمانی غیر یکنواخت است.

معادلات (۴۳۲-۴) برای هر المان نمونه‌ای صادقند. مونتاژ، اعمال شرایط مرزی و حل معادلات مونتاژ شده همچون حالت مسایل استاتیک (یا حالت پایدار) است. محاسبه $[\bar{K}]$ و $[\hat{F}]$ در لحظه $t=0$ به دانستن شرایط اولیه $[u]$ و تغییرات زمانی $[F]$ نیاز دارد. لازم به ذکر است که برای $\alpha=0$ (روش تقاضل رو به جلو) $[\hat{k}] = [\bar{K}]$ زمانی که ماتریس جرم $[M^1]$ قطری است، معادلات (۴۳۲-۴) صریح خواهند شد و می‌توان $[u]_{s+1}$ را مستقیماً بدون عکس کردن \bar{R} حل کرد. ماتریس جرم به دست آمده براساس شکل ضعیف که ماتریس جرم سازگار نامیده می‌شود قطری نیست ولی چندین روش برای قطری کردن آن وجود دارد که متعاقباً ذکر می‌شوند.

۴-۳۷-۴ پایداری و دقیقت

چون رابطه (۴۲۵-۴) یک تقریب است که برای استخراج رابطه (۴۳۲-۴) مورد استفاده قرار می‌گیرد، در حل $[u]_{s+1}$ در هر گام زمانی خطای وارد می‌کند. علاوه بر خطای قطع کردن (truncation) وارده موقع تقریب مشتق، خطاهای گرد کردن هم می‌تواند به خاطر حسابگری محدود به کار رفته در محاسباتمان اعمال گردد. چون جواب t_{s+1} به جواب t_s بستگی دارد، خطای زمان می‌تواند افزایش یابد. اگر افزایش خطای

زمان بی حد و محدود باشد، طرح یا روش حل ناپایدار خواهد بود. اما اگر محدوده داشت (یعنی در یک گام زمانی افزایش و برای دیگری کاهش یافت اما هیچ وقت از مقدار محدود مشخصی عدول نکرد) به این طرح حل پایدار می‌گویند. به روش عددی مربوط به رابطه سازگار با مساله پیوسته گفته می‌شود اگر خطاهای انقطاع و گرد کردن با $\rightarrow \Delta t$ به سمت صفر پیش بروند. وقت روش حل عددی معیاری از نزدیکی بین حل‌های تقریبی و دقیق است در صورتی پایداری حل معیاری از محدود بودن حل تقریبی با زمان است. همانطور که انتظار می‌رود سایز گام زمانی بردقت و پایداری تاثیر می‌گذارد. به طرح تقریب زمانی ای که به ازای t_s و Δt ثابت، مقدار عددی $[u]_s$ با $\rightarrow \Delta t$ به مقدار واقعی آن $\{u(t_s)\}$ همگرا می‌شود، همگرا (convergent) می‌گویند. وقت برحسب نرخی که تحت آن حل تقریبی همگرا می‌شود، اندازه گیری می‌شود. اگر طرح عددی پایدار و سازگار باشد همگرا هم خواهد بود.

به طرح عددی ای «پایدار مشروط» گفته می‌شود که فقط در محدوده گام زمانی معینی پایدار باشد. برای تمام طرحهای عددی که در آنها $\alpha < \frac{1}{\lambda}$ ، خانواده α از تقریب‌ها فقط زمانی پایدار خواهند بود که گام زمانی شرط زیر را اقانع کند.

$$\Delta t < \Delta t_{cr} \equiv \frac{\gamma}{(\gamma - 2\alpha)\lambda} \quad (433-4)$$

که λ بزرگترین مقدار ویژه معادلات المان محدود (433-4) است. لازم به ذکر است که باید از همان مشی که برای تحلیل گذرا استفاده می‌شود برای محاسبه مقادیر ویژه نیز استفاده شود.

مثال ۵۹ مساله هدایت حرارت گذرایی را با معادله

$$\frac{\partial u}{\partial t} - \frac{\partial^2 u}{\partial x^2} = 0 \quad 0 < x < 1$$

$$u(\cdot, t) = 0 \quad , \quad \frac{\partial u}{\partial t}(1, t) = 0$$

با شرایط مرزی

$$u(x, 0) = 100$$

و شرایط اولیه

در نظر بگیرید. با مقایسه معادله دیفرانسیل با معادله (40-4) ملاحظه می‌شود $c_1 = 0$ ، $b = 0$ ، $a = 1$ ، $f = 0$ است. مدل المان محدود از رابطه (424-4) عبارت می‌شود از:

$$[M^e][\dot{u}] + [K^e][u] = [Q^e]$$

که در آن

$$M_{ij}^e = \int_{x_A}^{x_B} \phi_i^e \phi_j^e dx, \quad k_{ij}^e = \int_{x_A}^{x_B} \frac{d\phi_i^e}{dx} \frac{d\phi_j^e}{dx} dx$$

با انتخاب المان خطی داریم:

$$\frac{l}{\gamma} \begin{bmatrix} 2 & -1 \\ 1 & 2 \end{bmatrix} \begin{bmatrix} \dot{u}_1 \\ \dot{u}_2 \end{bmatrix} + \frac{\lambda}{l} \begin{bmatrix} 1 & -1 \\ -1 & 1 \end{bmatrix} \begin{bmatrix} u_1 \\ u_2 \end{bmatrix} = \begin{bmatrix} Q_1 \\ Q_2 \end{bmatrix}$$

کاربرد «خانواده α از تقریب» معادلات زیر را نتیجه می‌دهد:

$$([M^e] + \Delta t \alpha [k^e]) [u^e]_{s+1} = ([M^e] + \Delta t (1-\alpha) [K^e]) [u^e]_s + \Delta t (\alpha [Q^e]_{s+1} + (1-\alpha) [Q^e]_s)$$

برای یک المان ($l=1$)

$$\begin{bmatrix} \frac{l}{\gamma} + \frac{\alpha \Delta t}{l} & \frac{l}{\gamma} - \frac{\alpha \Delta t}{l} \\ \frac{l}{\gamma} - \frac{\alpha \Delta t}{l} & \frac{l}{\gamma} + \frac{\alpha \Delta t}{l} \end{bmatrix} \begin{bmatrix} U_1 \\ U_2 \end{bmatrix}_{s+1} = \begin{bmatrix} \frac{l}{\gamma} - \frac{(1-\alpha) \Delta t}{l} & \frac{l}{\gamma} + \frac{(1-\alpha) \Delta t}{l} \\ \frac{l}{\gamma} + \frac{(1-\alpha) \Delta t}{l} & \frac{l}{\gamma} - \frac{(1-\alpha) \Delta t}{l} \end{bmatrix} \begin{bmatrix} U_1 \\ U_2 \end{bmatrix}_s + \Delta t \begin{bmatrix} \bar{Q}_1 \\ \bar{Q}_2 \end{bmatrix}$$

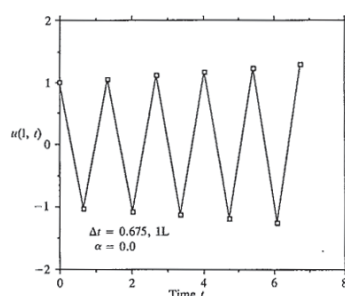
$(Q_i^e)_s = \bar{Q}_i$ شرایط مرزی مساله ایجاب می‌کند که $s > 0$ (یا $t > 0$) و $(U_1)_s = 0$. درحالی که شرایط اولیه لازم دارد که:

$$(U_1)_s = 1, \quad (U_2)_s = 1, \quad t=0.$$

چون شرایط اولیه باید با شرایط مرزی سازگار باشد $(U_1)_s = 1$. با اعمال شرایط مرزی برای یک المان خطی می‌توان نوشت:

$$\left(\frac{l}{\gamma} + \frac{\alpha \Delta t}{l} \right) (U_2)_{s+1} = \left[\frac{l}{\gamma} - \frac{(1-\alpha) \Delta t}{h} \right] (U_2)_s$$

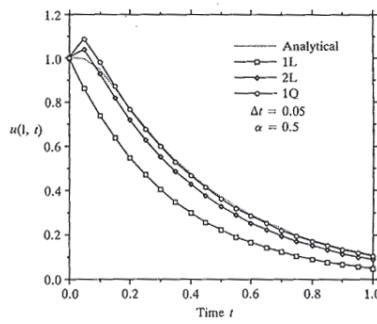
طرح تفاضل رو به جلو ($\alpha=0$) به طور مشروط پایدار است. گام زمانی بحرانی با رابطه $\Delta t_{cr} = \frac{\gamma}{\lambda_{max}}$ تعیین می‌شود که در آن λ_{max} ماکزیمم مقدار ویژه مرتبط با رابطه المانی یعنی $-\lambda[M][U] + [K][U] = [\cdot]$



شکل ۴-۱۳۵

است که از آن $\lambda_{max} = \Delta t_{cr} = 0.6667$ بنا بر این برای پایدار بودن روش تفاضل رو به جلو باید Δt کوچکتر از Δt_{cr} باشد. در شکل ۴-۱۳۵ نمودار $u(t)$ برای حالت $\alpha = 0.5$ نشان می‌دهد که ناپایدار است. برای طرح‌های پایدار غیرمشروط ($\alpha \geq 0$) محدودیتی از نظر گام زمانی وجود ندارد. ولی برای حصول به نتایج دقیق، باید گام زمانی را به صورت کسری از Δt_{cr} فرض کرد. البته دقت حل به سایز مش هم بستگی دارد. هر چه سایز کمتر شود Δt_{cr} هم کاهش خواهد یافت.

شکل ۴-۱۳۶ نمودار $u(l,t)$ را بر حسب زمان و به ازای $\alpha = 0.5$ و $\Delta t = 0.05$ نشان می‌دهد. جوابهای پیش‌بینی شده با مش‌های یک و دو المان خطی و مش با یک المان درجه دوم با جواب دقیق مقایسه شده‌اند. همگرایی حل با افزایش تعداد المانها مشخص است. حل‌های المان محدود به دست آمده با روش‌های مختلف، گام‌های زمانی و مش‌های متفاوت با حل دقیق در جدول ۱۹-۴ مقایسه شده‌اند.



شکل ۴-۱۳۶

جدول ۱۹-۴

Time	1L		Linear elements ($\alpha = 0.5$)				Quadratic elements ($\alpha = 0.5, t = 0.05$)			Exact solution
	$\alpha = 0$	$\alpha = 1$	1L	2L	4L	8L	1Q	2Q	4Q	
0.00	1.0000	1.0000	1.0000	1.0000	1.0000	1.0000	1.0000	1.0000	1.0000	1.0000
0.05	0.8500	0.8696	0.8605	0.9359	0.9951	0.9933	1.0870	0.9942	0.9928	0.9969
0.10	0.7225	0.7561	0.7404	0.9279	0.9588	0.9554	0.9819	0.9550	0.9549	0.9493
0.15	0.6141	0.6575	0.6371	0.8169	0.8639	0.8707	0.8693	0.8831	0.8725	0.8642
0.20	0.5220	0.5718	0.5482	0.7176	0.7557	0.7694	0.7679	0.7633	0.7731	0.7723
0.25	0.4437	0.4972	0.4717	0.6300	0.6759	0.6824	0.6780	0.6933	0.6855	0.6854
0.30	0.3771	0.4323	0.4059	0.5533	0.5906	0.6037	0.5987	0.6006	0.6070	0.6068
0.35	0.3206	0.3759	0.3492	0.4858	0.5250	0.5325	0.5286	0.5394	0.5358	0.5367
0.40	0.2725	0.3269	0.3005	0.4266	0.4608	0.4713	0.4668	0.4710	0.4741	0.4745
0.45	0.2316	0.2843	0.2586	0.3746	0.4083	0.4158	0.4121	0.4201	0.4188	0.4194
0.50	0.1969	0.2472	0.2225	0.3289	0.3592	0.3676	0.3639	0.3687	0.3701	0.3708
0.55	0.1673	0.2149	0.1914	0.2888	0.3176	0.3247	0.3213	0.3275	0.3273	0.3277
0.60	0.1422	0.1869	0.1647	0.2536	0.2798	0.2868	0.2837	0.2883	0.2890	0.2897
0.65	0.1209	0.1625	0.1418	0.2227	0.2472	0.2535	0.2505	0.2556	0.2561	
0.70	0.1028	0.1413	0.1220	0.1955	0.2180	0.2238	0.2212	0.2253	0.2258	0.2264
0.75	0.0874	0.1229	0.1050	0.1717	0.1924	0.1979	0.1953	0.1995	0.1996	0.2001
0.80	0.0743	0.1069	0.0903	0.1508	0.1697	0.1747	0.1725	0.1761	0.1764	0.1769
0.85	0.0631	0.0929	0.0777	0.1324	0.1498	0.1544	0.1523	0.1557	0.1559	0.1563
0.90	0.0536	0.0808	0.0669	0.1162	0.1322	0.1363	0.1345	0.1375	0.1378	0.1382
0.95	0.0456	0.0703	0.0575	0.1020	0.1166	0.1205	0.1187	0.1216	0.1218	0.1222
1.00	0.0388	0.0611	0.0495	0.0896	0.1029	0.1065	0.1048	0.1074	0.1076	0.1080

Further References:

۱. غ. رحیمی؛ "جزوه درسی المان محدود": دانشگاه تربیت مدرس، ۱۳۷۶.

- ۲. *Solution Manual-An Introduction to The FEM-REDDY*(۲۰۰۵)
- ۳. *ANSYS workbench tutorial-Lawrence*(۲۰۰۶)
- ۴. *Applied FE modeling Practical Problem Solving for Engineers-Steele*(۱۹۸۹)
- ۵. *Discontinuous FE in Fluid Dynamics and Heat Transfer-Li*(۲۰۰۷)
- ۶. *Engineering Analysis With ANSYS Software-Nakasone*(۲۰۰۷)
- ۷. *FE procedures-Bathe*(۱۹۹۷)
- ۸. *FEA with Error Estimators-Akin*(۲۰۰۵)
- ۹. *FEA-Bhavikatti*(۲۰۰۵)
- ۱۰. *FEA-Flaherty*(۲۰۰۷)
- ۱۱. *FEM for engineers-Fenner*(۱۹۹۷)
- ۱۲. *FEM/BEM NOTES-Hunter*(۲۰۰۱)
- ۱۳. *FEMs and Their Applications-Chen*(۲۰۰۵)
- ۱۴. *FEs-BRAESS*(۲۰۰۷)
- ۱۵. *Fundamentals of FEA-Hutton*(۲۰۰۵)
- ۱۶. *Fundamentals of the FEA for heat and fluid flow-Lewis*
- ۱۷. *Introduction to the FEM-Barkanov*(۲۰۰۱)
- ۱۸. *Mixed FEs, Compatibility Conditions, and Applications-Boffi*(۲۰۰۸)
- ۱۹. *Numerical Analysis and Modelling in Geomechanics-Bull*(۲۰۰۲)
- ۲۰. *Process Modelling and Simulation with FEM-Zimmerman*(۲۰۰۵)
- ۲۱. *Structural Analysis with FEs-Hartmann*(۲۰۰۷)
- ۲۲. *The FEM in engineering-Rao*(۲۰۰۵)
- ۲۳. *The FEM-v1-Basis-Zienkiewicz*(۲۰۰۷)
- ۲۴. *The FEM-v1-Solid-Zienkiewicz*(۲۰۰۷)
- ۲۵. *The FEM-v1-Fluid-Zienkiewicz*(۲۰۰۷)
- ۲۶. *The FEM-Zienkiewicz*(۲۰۰۵)
- ۲۷. *The Mathematical Theory of FEMs-Brenner*(۲۰۰۸)
- ۲۸. *The Mathematics of FEs and Applications-Whiteman*(۲۰۰۷)
- ۲۹. *Understanding and Implementing the FEM-Gockenbach*(۲۰۰۷)
- ۳۰. *USING FEs IN MECHANICAL DESIGN-MOTTRAM*(۱۹۹۶)
- ۳۱. *an_introduction_to_nonlinear_finite_element_analysis_reddy()*
- ۳۲. *applied_finite_element_analysis_Segerlind*(۱۹۸۵)
- ۳۳. *FINITE ELEMENT-MORATAL*(۲۰۱۰)
- ۳۴. *Finite Element Modeling For Stress Analysis –Cook*(۱۹۹۰)
- ۳۵. *FEM Parallel Sparse Statics And Eigen Solutions- Nguyen*(۲۰۰۷)
- ۳۶. *The Finite Element Method - A practical course-Lio*(۲۰۰۲)
- ۳۷. *I. Zied; CAD/CAM Theory and Practice; McGraw-Hill, ۱۹۹۱.*
- ۳۸. *L. Piegl, W. Tiller; The NURBS Book; Springer, ۱۹۹۶.*

۱۴. I. Zied; *Mastering CAD/CAM*; McGraw-Hill, ۲۰۰۵.
۱۵. L. Naryan; *Computer Aided Design And Manufacturing*; Prentice Hall, ۲۰۰۸.
۱۶. C. R. Alavala; *Cad/Cam: Concepts And Applications*; Prentice Hall, ۲۰۰۸.
۱۷. P. N. Rao; *CAD/CAM: principles and applications*; McGraw-Hill, ۲۰۱۰.
۱۸. J.N. Reddy; "An Introduction to the Finite Element Method"; McGraw-Hill, ۱۹۹۳.
۱۹. J.Fish, T. Belytschko; "A First Course in Finite Elements"; John Wiley & Sons., ۲۰۰۷.
۲۰. S. Moaveni; "Finite Element Analysis. Theory and Application With ANSYS"; Prentice Hall, ۱۹۹۹.
۲۱. S. Kobayashi, S. Oh, T. Altan; "Metal Forming and the Finite Element Method"; Oxford University, ۱۹۸۴.
۲۲. E. Madenci, I. Guven; "The Finite Element Method and Applications in Engineering Using ANSYS"; Springer, ۲۰۰۷.
۲۳. Y.W. Kwon, H. Bang; " The Finite Element Method Using Matlab"; CRC Press, ۱۹۹۷.